

Το **A'**alto Λεξικό της Μηχανικής Μάθησης

Alexander Jung¹, Konstantina Olioumtsevs¹, Ekkehard Schnoor¹,
Tommi Flores Ryyänänen¹, Juliette Gronier², Salvatore Rastelli¹, και
Mikko Seesto¹

¹Aalto University ²ENS Lyon

Μετάφραση από την Konstantina Olioumtsevs

January 29, 2026



αναφορά ως: A. Jung, K. Olioumtsevs, E. Schnoor, T.
Ryyänänen, J. Gronier, S. Rastelli, and M. Seesto, *The Aalto
Dictionary of Machine Learning*, (in Greek). Espoo, Finland:
Aalto University, 2026.

Ευχαριστίες

Αυτό το λεξικό της μηχανικής μάθησης αναπτύχθηκε κατά τον σχεδιασμό και την υλοποίηση διαφορετικών μαθημάτων, συμπεριλαμβανομένων των CS-E3210 Machine Learning: Basic Principles, CS-C3240 Machine Learning, CS-E4800 Artificial Intelligence, CS-EJ3211 Machine Learning with Python, CS-EJ3311 Deep Learning with Python, CS-E4740 Federated Learning, και CS-E407507 Human-Centered Machine Learning. Αυτά τα μαθήματα προσφέρονται στο Aalto University <https://www.aalto.fi/en>, σε ενήλικους/ες σπουδαστές/σπουδάστριες μέσω του The Finnish Institute of Technology (FITech) <https://fitech.io/en/>, και σε διεθνείς φοιτητές/φοιτήτριες μέσω της European University Alliance Unite! <https://www.aalto.fi/en/unite>. Είμαστε ευγνώμονες στους/στις σπουδαστές/σπουδάστριες που παρείχαν πολύτιμα σχόλια που ήταν καθοριστικά για το συγκεκριμένο λεξικό. Αυτό το έργο υποστηρίχθηκε από

- το Research Council of Finland (grants 331197, 363624, 349966).
- την Ευρωπαϊκή Ένωση (grant 952410).
- το Jane and Aatos Erkkö Foundation (grant A835).
- την Business Finland, ως μέρος του έργου Forward-Looking AI Governance in Banking and Insurance (FLAIG).

Η μετάφραση στα ελληνικά βασίστηκε ιδιαίτερα σε σχετικά σχολικά βιβλία λυκείου <https://ebooks.edu.gr/ebooks>, σε αρχεία από την Εθνική Υπηρεσία Πληροφοριών της Ελλάδας <https://www.nis.gr/en>, σε έγγραφα της Ευρωπαϊκής Ένωσης όπως <https://eur-lex.europa.eu/legal-content/EL/>

TXT/?uri=CELEX:32024R1689, και σε σχετικά λεξικά:

Γ. Γεωργίου, *Αγγλοελληνικό Λεξικό Μαθηματικής Ορολογίας*, 1999. [Διαδικτυακά]. Διαθέσιμο: <https://www.mas.ucy.ac.cy/georgios/bookfiles/dict1.pdf>. Πρόσβαση: 30 Μαΐου 2025.

Α. Καλογεροπούλου, Μ. Γκίκας, Δ. Καραγιαννάκης, και Μ. Λάμπρου, *Αγγλοελληνικό Λεξικό Μαθηματικών Όρων*. Αθήνα, Ελλάδα: Τροχαλία, 1992.

Σ. Καπιδάκης, Κ. Τοράκη, Σ. Χατζημαρή, Κ. Βαλεοντής, και Υ. Κύττα, *Λεξικό Επιστήμης της Πληροφόρησης*. Αθήνα, Ελλάδα: Κάλλιπος, Ανοιχτές Ακαδημαϊκές Εκδόσεις, 2024.

Περιεχόμενα

Κατάλογοι Συμβόλων	5
Μαθηματικά Εργαλεία	27
Έννοιες Μηχανικής Μάθησης	72
Ενισχυτική Μάθηση	237
Συστήματα Μηχανικής Μάθησης	245
Κανονισμός Μηχανικής Μάθησης	249
Index	256
References	267

Κατάλογοι Συμβόλων

Σύνολα και Συναρτήσεις

$a \in \mathcal{A}$ Το αντικείμενο a είναι ένα στοιχείο του συνόλου \mathcal{A} .

$a := b$ Ορίζουμε το a ως b .

$|\mathcal{A}|$ Η καρδινικότητα (δηλαδή ο αριθμός των στοιχείων) ενός πεπερασμένου συνόλου \mathcal{A} .

$\mathcal{A} \subseteq \mathcal{B}$ Το \mathcal{A} είναι ένα υποσύνολο του \mathcal{B} .

$\mathcal{A} \subset \mathcal{B}$ Το \mathcal{A} είναι ένα αυστηρό υποσύνολο του \mathcal{B} .

$\mathcal{A} \times \mathcal{B}$ Το Καρτεσιανό γινόμενο των συνόλων \mathcal{A} και \mathcal{B} .

\mathbb{N} Οι φυσικοί αριθμοί $1, 2, \dots$.

\mathbb{R} Οι πραγματικοί αριθμοί x [1].

\mathbb{R}_+ Οι μη αρνητικοί πραγματικοί αριθμοί $x \geq 0$.

\mathbb{R}_{++} Οι θετικοί πραγματικοί αριθμοί $x > 0$.

$\{0, 1\}$ Το σύνολο που αποτελείται από τους δύο πραγματικούς αριθμούς 0 και 1.

$[0, 1]$ Το κλειστό διάστημα που αποτελείται από $x \in \mathbb{R}$ για κάθε $0 \leq x \leq 1$.

$\arg \min_{\mathbf{w} \in \mathcal{C}} f(\mathbf{w})$	<p>Το σύνολο των $\mathbf{w} \in \mathcal{C}$ που ελαχιστοποιούν τη συνάρτηση πραγματικής τιμής $f : \mathcal{C} \rightarrow \mathbb{R}$.</p> <p>Βλέπε επίσης: συνάρτηση.</p>
$\mathbb{S}^{(n)}$	<p>Το σύνολο των διανυσμάτων μοναδιαίας νόρμας στο \mathbb{R}^{n+1}.</p> <p>Βλέπε επίσης: νόρμα, διάνυσμα.</p>
$\exp(a)$	<p>Η εκθετική συνάρτηση που αξιολογείται στον πραγματικό αριθμό $a \in \mathbb{R}$.</p> <p>Βλέπε επίσης: συνάρτηση.</p>
$\log a$	<p>Ο λογάριθμος του θετικού αριθμού $a \in \mathbb{R}_{++}$.</p>
$f(\cdot) : \mathcal{A} \rightarrow \mathcal{B} : a \mapsto f(a)$	<p>Μία συνάρτηση (ή απεικόνιση) από ένα σύνολο \mathcal{A} σε ένα σύνολο \mathcal{B}, η οποία αποδίδει σε κάθε είσοδο $a \in \mathcal{A}$ μία καλά ορισμένη έξοδο $f(a) \in \mathcal{B}$. Το σύνολο \mathcal{A} είναι το πεδίο της συνάρτησης f και το σύνολο \mathcal{B} είναι το πεδίο τιμών της f. Η μηχανική μάθηση στοχεύει να μάθει μία συνάρτηση που αντιστοιχίζει χαρακτηριστικά \mathbf{x} ενός σημείου δεδομένων σε μία πρόβλεψη $h(\mathbf{x})$ για την ετικέτα του y.</p> <p>Βλέπε επίσης: συνάρτηση, απεικόνιση, έξοδος, πεδίο, πεδίο τιμών, ml, χαρακτηριστικό, data point, πρόβλεψη, ετικέτα.</p>

$\text{epi}(f)$	<p>Το επίγραμμα μίας συνάρτησης πραγματικής τιμής $f : \mathbb{R}^d \rightarrow \mathbb{R}$.</p> <p>Βλέπε επίσης: epigraph, συνάρτηση.</p>
$(a_r)_{r \in \mathbb{N}}, (a^{(r)})_{r \in \mathbb{N}}, \{a^{(r)}\}_{r \in \mathbb{N}}$	<p>Μία ακολουθία στοιχείων.</p> <p>Βλέπε επίσης: ακολουθία.</p>
$\mathbb{I}_{\mathcal{A}}(x)$	<p>Η συνάρτηση-δείκτης ενός συνόλου \mathcal{A} παραδίδει $f(x) = 1$ για κάθε $x \in \mathcal{A}$ και $f(x) = 0$ διαφορετικά.</p> <p>Βλέπε επίσης: συνάρτηση.</p>
$\frac{\partial f(w_1, \dots, w_d)}{\partial w_j}$	<p>Η μερική παράγωγος (αν υφίσταται) μίας συνάρτησης πραγματικής τιμής $f : \mathbb{R}^d \rightarrow \mathbb{R}$ αναφορικά με το w_j [2, Κεφ. 9].</p> <p>Βλέπε επίσης: μερική παράγωγος, συνάρτηση.</p>
$\nabla f(\mathbf{w})$	<p>Η κλίση μίας παραγωγίσιμης συνάρτησης πραγματικής τιμής $f : \mathbb{R}^d \rightarrow \mathbb{R}$ είναι το διάνυσμα $\nabla f(\mathbf{w}) = (\partial f / \partial w_1, \dots, \partial f / \partial w_d)^T \in \mathbb{R}^d$ [2, Κεφ. 9].</p> <p>Βλέπε επίσης: κλίση, παραγωγίσιμη, συνάρτηση, διάνυσμα.</p>
$\partial \mathcal{C}$	<p>Το όριο ενός υποσυνόλου \mathcal{C} κάποιου μετρικού χώρου.</p> <p>Βλέπε επίσης: όριο, μετρικός χώρος.</p>

Πίνακες και Διανύσματα

$\mathbf{x} = (x_1, \dots, x_d)^T$	Ένα διάνυσμα μήκους d , με την j στή του καταχώριση να είναι x_j . Βλέπε επίσης: διάνυσμα.
\mathbb{R}^d	Το σύνολο όλων των διανυσμάτων $\mathbf{x} = (x_1, \dots, x_d)^T$ που αποτελούνται από d καταχωρίσεις πραγματικών τιμών $x_1, \dots, x_d \in \mathbb{R}$. Βλέπε επίσης: διάνυσμα.
$\mathbf{I}_{l \times d}$	Ένας γενικευμένος πίνακας ταυτότητας με l γραμμές και d στήλες. Οι καταχωρίσεις του $\mathbf{I}_{l \times d} \in \mathbb{R}^{l \times d}$ είναι ίσες με 1 κατά μήκος της κύριας διαγωνίου και με 0 διαφορετικά. Βλέπε επίσης: πίνακας.
\mathbf{I}_d, \mathbf{I}	Ένας τετραγωνικός πίνακας ταυτότητας μεγέθους $d \times d$. Αν το μέγεθος είναι προφανές από τα συμφραζόμενα, παραλείπουμε τον δείκτη. Βλέπε επίσης: πίνακας.
$\ \mathbf{x}\ _2$	Η Ευκλείδειος (ή ℓ_2) νόρμα του διανύσματος $\mathbf{x} = (x_1, \dots, x_d)^T \in \mathbb{R}^d$ ορίζεται ως $\ \mathbf{x}\ _2 := \sqrt{\sum_{j=1}^d x_j^2}$. Βλέπε επίσης: νόρμα, διάνυσμα.
$\ \mathbf{x}\ $	Κάποια νόρμα του διανύσματος $\mathbf{x} \in \mathbb{R}^d$ [3]. Εκτός αν προσδιορίζεται διαφορετικά, εννοούμε την Ευκλείδεια νόρμα $\ \mathbf{x}\ _2$. Βλέπε επίσης: νόρμα, διάνυσμα, Ευκλείδεια νόρμα.

\mathbf{x}^T	<p>Η ανάστροφος ενός διανύσματος $\mathbf{x} \in \mathbb{R}^d$ είναι ένας πίνακας $\mathbf{x}^T \in \mathbb{R}^{1 \times d}$ με το διάνυσμα ως μοναδική του γραμμή.</p> <p>Βλέπε επίσης: ανάστροφος, διάνυσμα, πίνακας.</p>
\mathbf{X}^T	<p>Ο ανάστροφος πίνακας $\mathbf{X} \in \mathbb{R}^{m \times d}$. Ένας τετραγωνικός πίνακας πραγματικών τιμών $\mathbf{X} \in \mathbb{R}^{m \times m}$ λέγεται συμμετρικός αν $\mathbf{X} = \mathbf{X}^T$.</p> <p>Βλέπε επίσης: ανάστροφος, πίνακας.</p>
\mathbf{X}^{-1}	<p>Ο αντίστροφος πίνακας ενός πίνακα $\mathbf{X} \in \mathbb{R}^{d \times d}$.</p> <p>Βλέπε επίσης: αντίστροφος πίνακας, πίνακας.</p>
$\mathbf{0} = (0, \dots, 0)^T$	<p>Το διάνυσμα στο \mathbb{R}^d με κάθε καταχώριση να είναι ίση με μηδέν.</p> <p>Βλέπε επίσης: διάνυσμα.</p>
$\mathbf{1} = (1, \dots, 1)^T$	<p>Το διάνυσμα στο \mathbb{R}^d με κάθε καταχώριση να είναι ίση με ένα.</p> <p>Βλέπε επίσης: διάνυσμα.</p>
$(\mathbf{v}^T, \mathbf{w}^T)^T$	<p>Το διάνυσμα μήκους $d + d'$ που προκύπτει από την αλληλουχία των καταχωρίσεων του διανύσματος $\mathbf{v} \in \mathbb{R}^d$ με τις καταχωρίσεις του $\mathbf{w} \in \mathbb{R}^{d'}$.</p> <p>Βλέπε επίσης: διάνυσμα.</p>

$\text{span}(\mathbf{B})$	<p>Το εύρος ενός πίνακα $\mathbf{B} \in \mathbb{R}^{a \times b}$, που είναι ο υποχώρος όλων των γραμμικών συνδυασμών των στηλών του \mathbf{B}, έτσι ώστε $\text{span}(\mathbf{B}) = \{\mathbf{B}\mathbf{a} : \mathbf{a} \in \mathbb{R}^b\} \subseteq \mathbb{R}^a$.</p> <p>Βλέπε επίσης: πίνακας, υποχώρος.</p>
$\text{null}(\mathbf{A})$	<p>Ο nullspace ενός πίνακα $\mathbf{A} \in \mathbb{R}^{a \times b}$, ο οποίος είναι ο υποχώρος των διανυσμάτων $\mathbf{a} \in \mathbb{R}^b$, έτσι ώστε $\mathbf{A}\mathbf{a} = \mathbf{0}$.</p> <p>Βλέπε επίσης: nullspace, πίνακας, subspace, διάνυσμα.</p>
$\det(\mathbf{C})$	<p>Η ορίζουσα του πίνακα \mathbf{C}.</p> <p>Βλέπε επίσης: ορίζουσα, πίνακας.</p>
$\text{tr}(\mathbf{C})$	<p>Το ίχνος του πίνακα \mathbf{C}.</p> <p>Βλέπε επίσης: ίχνος, πίνακας.</p>
$\mathbf{A} \otimes \mathbf{B}$	<p>Το γινόμενο Kronecker των πινάκων \mathbf{A} και \mathbf{B} [4].</p> <p>Βλέπε επίσης: γινόμενο Kronecker, πίνακας.</p>
$\mathbf{a} \geq \mathbf{b}$	<p>Η ανισότητα από άποψη καταχωρίσεων μεταξύ των διανυσμάτων $\mathbf{a}, \mathbf{b} \in \mathbb{R}^d$, δηλαδή</p> $a_j \geq b_j \text{ για } j = 1, \dots, d.$ <p>Βλέπε επίσης: διάνυσμα.</p>
$\bar{\mathcal{B}}_\varepsilon(\mathbf{x})$	<p>Κλειστή μπάλα σε κάποιον μετρικό χώρο που περιέχει όλα τα σημεία με απόσταση από το \mathbf{x} μικρότερη ή ίση της ε.</p> <p>Βλέπε επίσης: μετρικός χώρος.</p>

Θεωρία Πιθανοτήτων

$\mathbf{x} \sim \mathbb{P}(\mathbf{z})$ Η τυχαία μεταβλητή \mathbf{x} κατανέμεται σύμφωνα με την κατανομή πιθανότητας $\mathbb{P}(\mathbf{z})$ [5], [6].

Βλέπε επίσης: τυχαία μεταβλητή, κατανομή πιθανότητας.

$\mathbb{E}_p\{f(\mathbf{z})\}$ Η προσδοκία μίας τυχαίας μεταβλητής $f(\mathbf{z})$ που προκύπτει από την εφαρμογή μίας ντετερμινιστικής συνάρτησης f σε μία τυχαία μεταβλητή \mathbf{z} της οποίας η κατανομή πιθανότητας είναι $\mathbb{P}(\mathbf{z})$. Αν η κατανομή πιθανότητας είναι προφανής από τα συμφραζόμενα, γράφουμε απλώς $\mathbb{E}\{f(\mathbf{z})\}$.

Βλέπε επίσης: προσδοκία, τυχαία μεταβλητή, συνάρτηση, κατανομή πιθανότητας.

$\text{cov}(x, y)$ Η συνδιακύμανση μεταξύ δύο τυχαίων μεταβλητών πραγματικής τιμής που ορίζεται πάνω σε έναν κοινό χώρο πιθανοτήτων.

Βλέπε επίσης: συνδιακύμανση, τυχαία μεταβλητή, κατανομή πιθανότητας.

$\mathbb{P}(\mathbf{x}, y)$ Μία (από κοινού) κατανομή πιθανότητας μίας τυχαίας μεταβλητής της οποίας οι πραγματώσεις είναι σημεία δεδομένων με χαρακτηριστικά \mathbf{x} και ετικέτα y .

Βλέπε επίσης: κατανομή πιθανότητας, τυχαία μεταβλητή, πραγματώση, data point, feature, ετικέτα.

$\mathbb{P}(y \mathbf{x})$	<p>Μία υπό συνθήκη κατανομή πιθανότητας μίας τυχαίας μεταβλητής y δεδομένης (ή υπό τον όρο) της τιμής μίας άλλης τυχαίας μεταβλητής \mathbf{x} [7, Sec. 3.5].</p> <p>Βλέπε επίσης: υπό συνθήκη κατανομή πιθανότητας, τυχαία μεταβλητή.</p>
$\mathbb{P}(\mathcal{A})$	<p>Η πιθανότητα του μετρήσιμου γεγονότος \mathcal{A}.</p> <p>Βλέπε επίσης: probability, μετρήσιμο, γεγονός.</p>
$M_x(t)$	<p>Η moment generating function (MGF) μίας τυχαίας μεταβλητής x.</p> <p>Βλέπε επίσης: κατανομή πιθανότητας, συνάρτηση πυκνότητας πιθανότητας.</p>
$\mathbb{P}(\mathcal{D})$	<p>Η εμπειρική κατανομή ενός συνόλου δεδομένων \mathcal{D}.</p> <p>Βλέπε επίσης: εμπειρική κατανομή, σύνολο δεδομένων, εκκίνηση.</p>
$\mathbb{P}(\mathbf{x};\mathbf{w})$	<p>Μία παραμετροποιημένη κατανομή πιθανότητας μίας τυχαίας μεταβλητής \mathbf{x}. Η κατανομή πιθανότητας εξαρτάται από ένα παραμετρικό διάνυσμα \mathbf{w}. Για παράδειγμα, $\mathbb{P}(\mathbf{x};\mathbf{w})$ θα μπορούσε να είναι μία πολυμεταβλητή κανονική κατανομή με το παραμετρικό διάνυσμα \mathbf{w} που δίνεται από τις καταχωρίσεις του διανύσματος μέσης τιμής $\mathbb{E}\{\mathbf{x}\}$ και τον πίνακα συνδιακύμανσης $\mathbb{E}\left\{\left(\mathbf{x} - \mathbb{E}\{\mathbf{x}\}\right)\left(\mathbf{x} - \mathbb{E}\{\mathbf{x}\}\right)^T\right\}$.</p> <p>Βλέπε επίσης: κατανομή πιθανότητας, τυχαία μεταβλητή, παράμετρος, διάνυσμα, πολυμεταβλητή κανονική κατανομή, μέση τιμή, πίνακας συνδιακύμανσης, πιθανοτικό μοντέλο.</p>

$\mathcal{N}(\mu, \sigma^2)$	<p>Η κατανομή πιθανότητας μίας Gaussian τυχαίας μεταβλητής $x \in \mathbb{R}$ με μέση τιμή (ή προσδοκία) $\mu = \mathbb{E}\{x\}$ και διακύμανση $\sigma^2 = \mathbb{E}\{(x - \mu)^2\}$.</p> <p>Βλέπε επίσης: κατανομή πιθανότητας, Gaussian random variable (Gaussian RV), μέση τιμή, expectation, διακύμανση.</p>
$\mathcal{N}(\boldsymbol{\mu}, \mathbf{C})$	<p>Η πολυμεταβλητή κανονική κατανομή μίας Gaussian τυχαίας μεταβλητής τιμής διανύσματος $\mathbf{x} \in \mathbb{R}^d$ με μέση τιμή (ή προσδοκία) $\boldsymbol{\mu} = \mathbb{E}\{\mathbf{x}\}$ και πίνακα συνδιακύμανσης $\mathbf{C} = \mathbb{E}\{(\mathbf{x} - \boldsymbol{\mu})(\mathbf{x} - \boldsymbol{\mu})^T\}$.</p> <p>Βλέπε επίσης: πολυμεταβλητή κανονική κατανομή, διάνυσμα, Gaussian RV, μέση τιμή, expectation, πίνακας συνδιακύμανσης.</p>
Δ^k	<p>Το probability simplex, το οποίο αποτελείται από όλα τα διανύσματα $\mathbf{p} = (p_1, \dots, p_k)^T \in \mathbb{R}^k$ με μη αρνητικές καταχωρίσεις που αθροίζουν στο ένα, δηλαδή $p_c \geq 0$ για $c = 1, \dots, k$ και $\sum_{c=1}^k p_c = 1$.</p> <p>Βλέπε επίσης: συνάρτηση μάζας πιθανότητας.</p>
$H(x)$	<p>Η εντροπία μίας διακριτής τυχαίας μεταβλητής x.</p> <p>Βλέπε επίσης: εντροπία, discrete random variable (discrete RV).</p>
Ω	<p>Ένας δειγματικός χώρος όλων των πιθανών εκβάσεων ενός τυχαίου πειράματος.</p> <p>Βλέπε επίσης: δειγματικός χώρος, έκβαση, τυχαίο πείραμα, γεγονός.</p>
Σ	<p>Μία συλλογή μετρήσιμων υποσυνόλων ενός δειγματικού χώρου Ω.</p> <p>Βλέπε επίσης: μετρήσιμο, δειγματικός χώρος, γεγονός.</p>

Ένας χώρος πιθανοτήτων που αποτελείται από έναν δειγματικό χώρο Ω , μία σ -άλγεβρα Σ μετρήσιμων υποσυνόλων του Ω , και μία κατανομή πιθανότητας $\mathbb{P}(\cdot)$.

Βλέπε επίσης: χώρος πιθανοτήτων, δειγματικός χώρος, σ -άλγεβρα, μετρήσιμο, κατανομή πιθανότητας.

Μηχανική Μάθηση

r	<p>Ένας δείκτης $r = 1, 2, \dots$ που απαριθμεί τα σημεία δεδομένων.</p> <p>Βλέπε επίσης: data point.</p>
m	<p>Ο αριθμός των σημείων δεδομένων σε ένα σύνολο δεδομένων (δηλαδή το μέγεθός του).</p> <p>Βλέπε επίσης: data point, σύνολο δεδομένων.</p>
\mathcal{D}	<p>Ένα σύνολο δεδομένων $\mathcal{D} = \{\mathbf{z}^{(1)}, \dots, \mathbf{z}^{(m)}\}$ είναι μία λίστα μεμονωμένων σημείων δεδομένων $\mathbf{z}^{(r)}$, for $r = 1, \dots, m$.</p> <p>Βλέπε επίσης: σύνολο δεδομένων, data point.</p>
d	<p>Ο αριθμός των χαρακτηριστικών που χαρακτηρίζουν ένα σημείο δεδομένων.</p> <p>Βλέπε επίσης: feature, data point.</p>
x_j	<p>Το jστό χαρακτηριστικό ενός σημείου δεδομένων. Το πρώτο χαρακτηριστικό δηλώνεται με x_1, το δεύτερο χαρακτηριστικό x_2, και ούτω καθεξής.</p> <p>Βλέπε επίσης: data point, feature.</p>
\mathbf{x}	<p>Το διάνυσμα χαρακτηριστικών $\mathbf{x} = (x_1, \dots, x_d)^T$ ενός σημείου δεδομένων. Του διανύσματος οι καταχωρίσεις είναι τα μεμονωμένα χαρακτηριστικά ενός σημείου δεδομένων.</p> <p>Βλέπε επίσης: διάνυσμα χαρακτηριστικών, data point, διάνυσμα, feature.</p>

\mathcal{X} Ο χώρος χαρακτηριστικών \mathcal{X} είναι το σύνολο όλων των πιθανών τιμών που μπορούν να πάρουν τα χαρακτηριστικά \mathbf{x} ενός σημείου δεδομένων. Βλέπε επίσης: χώρος χαρακτηριστικών, feature, data point.

\mathbf{z} Αντί του συμβόλου \mathbf{x} , χρησιμοποιούμε μερικές φορές \mathbf{z} ως ένα άλλο σύμβολο για να δηλώσουμε ένα διάνυσμα του οποίου οι καταχωρίσεις είναι τα μεμονωμένα χαρακτηριστικά ενός σημείου δεδομένων. Χρειαζόμαστε δύο διαφορετικά σύμβολα για να διακρίνουμε τα ακατέργαστα χαρακτηριστικά από αυτά που έχουν μαθευτεί [8, Κεφ. 9]. Βλέπε επίσης: διάνυσμα, feature, data point.

$\mathbf{x}^{(r)}$ Το διάνυσμα χαρακτηριστικών του r -στού σημείου δεδομένων εντός ενός συνόλου δεδομένων. Βλέπε επίσης: διάνυσμα χαρακτηριστικών, data point, σύνολο δεδομένων.

$x_j^{(r)}$ Το j -στό χαρακτηριστικό του r -στού σημείου δεδομένων εντός ενός συνόλου δεδομένων. Βλέπε επίσης: feature, data point, σύνολο δεδομένων.

\mathcal{B} Μία μικρο-δέσμη (ή υποσύνολο) τυχαία επιλεγμένων σημείων δεδομένων. Βλέπε επίσης: δέσμη, data point.

B Το μέγεθος μίας μικρο-δέσμης (δηλαδή ο αριθμός των σημείων δεδομένων σε αυτή). Βλέπε επίσης: data point, δέσμη.

y	<p>Η ετικέτα (ή η ποσότητα ενδιαφέροντος) ενός σημείου δεδομένων.</p> <p>Βλέπε επίσης: ετικέτα, data point.</p>
$y^{(r)}$	<p>Η ετικέτα του rστού σημείου δεδομένων.</p> <p>Βλέπε επίσης: ετικέτα, data point.</p>
$(\mathbf{x}^{(r)}, y^{(r)})$	<p>Τα χαρακτηριστικά και η ετικέτα του rστού σημείου δεδομένων.</p> <p>Βλέπε επίσης: feature, ετικέτα, data point.</p>
\mathcal{Y}	<p>Ο χώρος ετικετών \mathcal{Y} μίας μεθόδου μηχανικής μάθησης αποτελείται από όλες τις πιθανές τιμές ετικετών που ένα σημείο δεδομένων μπορεί να φέρει. Ο ονομαστικός χώρος ετικετών μπορεί να είναι μεγαλύτερος από το σύνολο των διαφορετικών τιμών ετικετών που προκύπτουν σε ένα συγκεκριμένο σύνολο δεδομένων (π.χ. ένα σύνολο εκπαίδευσης). Προβλήματα (ή μέθοδοι) μηχανικής μάθησης που χρησιμοποιούν έναν αριθμητικό χώρο ετικετών, όπως $\mathcal{Y} = \mathbb{R}$ ή $\mathcal{Y} = \mathbb{R}^3$, αναφέρονται ως προβλήματα (ή μέθοδοι) παλινδρόμησης. Προβλήματα (ή μέθοδοι) μηχανικής μάθησης που χρησιμοποιούν έναν διακριτό χώρο ετικετών, όπως $\mathcal{Y} = \{0, 1\}$ ή $\mathcal{Y} = \{\text{γάτα}, \text{σκύλος}, \text{ποντίκι}\}$, αναφέρονται ως προβλήματα (ή μέθοδοι) ταξινόμησης.</p> <p>Βλέπε επίσης: χώρος ετικετών, ml, ετικέτα, data point, σύνολο δεδομένων, σύνολο εκπαίδευσης, regression, ταξινόμηση.</p>

η	<p>Ο ρυθμός μάθησης (ή το μέγεθος βήματος) που χρησιμοποιείται από τις μεθόδους με βάση την κλίση.</p> <p>Βλέπε επίσης: ρυθμός μάθησης, μέγεθος βήματος, μέθοδος με βάση την κλίση.</p>
$h(\cdot)$	<p>Μία απεικόνιση υπόθεσης που αντιστοιχίζει τα χαρακτηριστικά ενός σημείου δεδομένων σε μία πρόβλεψη $\hat{y} = h(\mathbf{x})$ για την ετικέτα του y.</p> <p>Βλέπε επίσης: υπόθεση, απεικόνιση, feature, data point, πρόβλεψη, ετικέτα.</p>
$\mathcal{Y}^{\mathcal{X}}$	<p>Δεδομένων δύο συνόλων \mathcal{X} και \mathcal{Y}, δηλώνουμε με $\mathcal{Y}^{\mathcal{X}}$ το σύνολο όλων των πιθανών απεικόνιση υπόθεσης $h : \mathcal{X} \rightarrow \mathcal{Y}$.</p> <p>Βλέπε επίσης: υπόθεση, απεικόνιση.</p>
\mathcal{H}	<p>Ένας χώρος υποθέσεων ή μοντέλο που χρησιμοποιείται από μία μέθοδο μηχανικής μάθησης. Ο χώρος υποθέσεων αποτελείται από διαφορετικές απεικόνιση υπόθεσης $h : \mathcal{X} \rightarrow \mathcal{Y}$ μεταξύ των οποίων η μέθοδος μηχανικής μάθησης πρέπει να επιλέξει.</p> <p>Βλέπε επίσης: χώρος υποθέσεων, μοντέλο, ml, υπόθεση, απεικόνιση.</p>
$d_{\text{eff}}(\mathcal{H})$	<p>Η αποτελεσματική διάσταση ενός χώρου υποθέσεων \mathcal{H}.</p> <p>Βλέπε επίσης: αποτελεσματική διάσταση, χώρος υποθέσεων.</p>

B^2	<p>Η τετραγωνική μεροληψία μίας υπόθεσης \hat{h} που έχει μαθευτεί, ή των παραμέτρων της. Σημείωση ότι η \hat{h} γίνεται μία τυχαία μεταβλητή αν μαθαίνεται από σημεία δεδομένων που είναι και τα ίδια τυχαίες μεταβλητές.</p> <p>Βλέπε επίσης: μεροληψία, υπόθεση, παράμετρος, τυχαία μεταβλητή, data point.</p>
V	<p>Η διακύμανση μίας υπόθεσης \hat{h} που έχει μαθευτεί, ή των παραμέτρων της. Σημείωση ότι η \hat{h} γίνεται μία τυχαία μεταβλητή αν μαθαίνεται από σημεία δεδομένων που είναι και τα ίδια τυχαίες μεταβλητές.</p> <p>Βλέπε επίσης: διακύμανση, υπόθεση, παράμετρος, τυχαία μεταβλητή, data point.</p>
$L((\mathbf{x}, y), h)$	<p>Η απώλεια που προκαλείται από την πρόβλεψη της ετικέτας y ενός σημείου δεδομένων χρησιμοποιώντας την πρόβλεψη $\hat{y} = h(\mathbf{x})$. Η πρόβλεψη \hat{y} προκύπτει από την αξιολόγηση της υπόθεσης $h \in \mathcal{H}$ για το διάνυσμα χαρακτηριστικών \mathbf{x} του σημείου δεδομένων.</p> <p>Βλέπε επίσης: απώλεια, ετικέτα, data point, πρόβλεψη, υπόθεση, διάνυσμα χαρακτηριστικών.</p>
E_v	<p>Το σφάλμα επικύρωσης μίας υπόθεσης h, το οποίο είναι η μέση της απώλεια που προκαλείται σε ένα σύνολο επικύρωσης.</p> <p>Βλέπε επίσης: σφάλμα επικύρωσης, υπόθεση, loss, σύνολο επικύρωσης.</p>

$\hat{L}(h \mathcal{D})$	<p>Η εμπειρική διακινδύνευση, ή η μέση απώλεια, που προκαλείται από την υπόθεση h σε ένα σύνολο δεδομένων \mathcal{D}.</p> <p>Βλέπε επίσης: εμπειρική διακινδύνευση, loss, υπόθεση, σύνολο δεδομένων.</p>
E_t	<p>Το σφάλμα εκπαίδευσης μίας υπόθεσης h, που είναι η μέση της απώλεια που προκαλείται σε ένα σύνολο εκπαίδευσης.</p> <p>Βλέπε επίσης: training error, υπόθεση, loss, σύνολο εκπαίδευσης.</p>
t	<p>Ένας δείκτης διακριτού χρόνου $t = 0, 1, \dots$ που χρησιμοποιείται για την απαρίθμηση ακολουθιακών γεγονότων (ή χρονικών στιγμών).</p> <p>Βλέπε επίσης: γεγονός.</p>
t	<p>Ένας δείκτης που απαριθμεί εργασίες μάθησης εντός ενός προβλήματος μάθησης πολυδιεργασίας.</p> <p>Βλέπε επίσης: εργασία μάθησης, μάθηση πολυδιεργασίας.</p>
α	<p>Μία παράμετρος ομαλοποίησης που ελέγχει το ποσό της ομαλοποίησης.</p> <p>Βλέπε επίσης: παράμετρος, ομαλοποίηση.</p>
$\lambda_j(\mathbf{Q})$	<p>Η jστή ιδιοτιμή (ταξινομημένη σε αύξουσα ή φθίνουσα σειρά) ενός θετικά ημιορισμένου πίνακα \mathbf{Q}. Χρησιμοποιούμε επίσης τη συντομογραφία λ_j αν ο αντίστοιχος πίνακας είναι προφανής από τα συμφραζόμενα.</p> <p>Βλέπε επίσης: ιδιοτιμή, θετικά ημιορισμένος, πίνακας.</p>

$\sigma(\cdot)$	<p>Η συνάρτηση ενεργοποίησης που χρησιμοποιείται από έναν τεχνητό νευρώνα εντός ενός τεχνητού νευρωνικού δικτύου.</p> <p>Βλέπε επίσης: συνάρτηση ενεργοποίησης, τεχνητό νευρωνικό δίκτυο.</p>
$\mathcal{R}_{\vec{y}}$	<p>Μία περιοχή αποφάσεων εντός ενός χώρου χαρακτηριστικών.</p> <p>Βλέπε επίσης: περιοχή αποφάσεων, χώρος χαρακτηριστικών.</p>
\mathbf{w}	<p>Ένα παραμετρικό διάνυσμα $\mathbf{w} = (w_1, \dots, w_d)^T$ ενός μοντέλου, π.χ. τα βάρη ενός γραμμικού μοντέλου ή ενός τεχνητού νευρωνικού δικτύου.</p> <p>Βλέπε επίσης: παράμετρος, διάνυσμα, model, βάρη, γραμμικό μοντέλο, ΤΝΔ.</p>
$h^{(\mathbf{w})}(\cdot)$	<p>Μία απεικόνιση υπόθεσης που περιλαμβάνει παράμετρους μοντέλου w_1, \dots, w_d που μπορούν να ρυθμιστούν στοιβαγμένες στο διάνυσμα $\mathbf{w} = (w_1, \dots, w_d)^T$.</p> <p>Βλέπε επίσης: υπόθεση, απεικόνιση, παράμετρος μοντέλου, διάνυσμα.</p>
$\phi(\cdot)$	<p>Ένας χάρτης χαρακτηριστικών $\phi : \mathcal{X} \rightarrow \mathcal{X}' : \mathbf{x} \mapsto \phi(\mathbf{x})$ που μετασχηματίζει το διάνυσμα χαρακτηριστικών \mathbf{x} ενός σημείου δεδομένων σε ένα νέο διάνυσμα χαρακτηριστικών $\mathbf{x}' = \phi(\mathbf{x}) \in \mathcal{X}'$.</p> <p>Βλέπε επίσης: χάρτης χαρακτηριστικών, διάνυσμα χαρακτηριστικών, data point.</p>

$K(\cdot, \cdot)$	<p>Δεδομένου κάποιου χώρου χαρακτηριστικών \mathcal{X}, ένας πυρήνας είναι μία απεικόνιση $K : \mathcal{X} \times \mathcal{X} \rightarrow \mathbb{C}$ που είναι θετικά ημιορισμένη.</p> <p>Βλέπε επίσης: χώρος χαρακτηριστικών, πυρήνας, απεικόνιση, θετικά ημιορισμένος.</p>
$\text{VCdim}(\mathcal{H})$	<p>Η διάσταση Vapnik–Chervonenkis του χώρου υποθέσεων \mathcal{H}.</p> <p>Βλέπε επίσης: διάσταση Vapnik–Chervonenkis, χώρος υποθέσεων.</p>

Ομοσπονδιακή Μάθηση

$\mathcal{G} = (\mathcal{V}, \mathcal{E})$	<p>Ένας μη κατευθυνόμενος γράφος του οποίου οι κόμβοι $i \in \mathcal{V}$ αντιπροσωπεύουν συσκευές εντός ενός δικτύου ομοσπονδιακής μάθησης. Οι μη κατευθυνόμενες σταθμισμένες ακμές \mathcal{E} αντιπροσωπεύουν τη συνεκτικότητα μεταξύ συσκευών και τις στατιστικές ομοιότητες μεταξύ των συνόλων δεδομένων τους και των εργασιών μάθησης.</p> <p>Βλέπε επίσης: μη κατευθυνόμενος γράφος, συσκευή, δίκτυο ομοσπονδιακής μάθησης, σύνολο δεδομένων, εργασία μάθησης.</p>
$i \in \mathcal{V}$	<p>Ένας κόμβος που αντιπροσωπεύει κάποια συσκευή εντός ενός δικτύου ομοσπονδιακής μάθησης. Η συσκευή μπορεί να έχει πρόσβαση σε ένα τοπικό σύνολο δεδομένων και να εκπαιδεύσει ένα τοπικό μοντέλο.</p> <p>Βλέπε επίσης: συσκευή, δίκτυο ομοσπονδιακής μάθησης, τοπικό σύνολο δεδομένων, local model.</p>
$\mathcal{G}^{(\mathcal{C})}$	<p>Ο επαγόμενος υπογράφος του \mathcal{G} χρησιμοποιώντας τους κόμβους στο $\mathcal{C} \subseteq \mathcal{V}$.</p>
$\mathbf{L}^{(\mathcal{G})}$	<p>Ο πίνακας Laplace ενός γράφου \mathcal{G}.</p> <p>Βλέπε επίσης: πίνακας Laplace, γράφος.</p>
$\mathbf{L}^{(\mathcal{C})}$	<p>Ο πίνακας Laplace του επαγόμενου γράφου $\mathcal{G}^{(\mathcal{C})}$.</p> <p>Βλέπε επίσης: πίνακας Laplace, graph.</p>

$\mathcal{N}^{(i)}$	<p>Η γειτονιά του κόμβου i σε έναν γράφο \mathcal{G}.</p> <p>Βλέπε επίσης: γειτονιά, graph.</p>
$d^{(i)}$	<p>Ο σταθμισμένος βαθμός κόμβου $d^{(i)} := \sum_{i' \in \mathcal{N}^{(i)}} A_{i,i'}$ του κόμβου i.</p> <p>Βλέπε επίσης: βαθμός κόμβου.</p>
$d_{\max}^{(\mathcal{G})}$	<p>Ο μέγιστος σταθμισμένος βαθμός κόμβου ενός γράφου \mathcal{G}.</p> <p>Βλέπε επίσης: μέγιστο, βαθμός κόμβου, graph.</p>
$\mathcal{D}^{(i)}$	<p>Το τοπικό σύνολο δεδομένων $\mathcal{D}^{(i)}$ που φέρει ο κόμβος $i \in \mathcal{V}$ ενός δικτύου ομοσπονδιακής μάθησης.</p> <p>Βλέπε επίσης: τοπικό σύνολο δεδομένων, δίκτυο ομοσπονδιακής μάθησης.</p>
m_i	<p>Ο αριθμός των σημείων δεδομένων (δηλαδή το μέγεθος δείγματος) που περιέχονται στο τοπικό σύνολο δεδομένων $\mathcal{D}^{(i)}$ στον κόμβο $i \in \mathcal{V}$.</p> <p>Βλέπε επίσης: data point, μέγεθος δείγματος, τοπικό σύνολο δεδομένων.</p>
$\mathbf{x}^{(i,r)}$	<p>Τα χαρακτηριστικά του rστού σημείου δεδομένων στο τοπικό σύνολο δεδομένων $\mathcal{D}^{(i)}$.</p> <p>Βλέπε επίσης: feature, data point, τοπικό σύνολο δεδομένων.</p>
$y^{(i,r)}$	<p>Η ετικέτα του rστού σημείου δεδομένων στο τοπικό σύνολο δεδομένων $\mathcal{D}^{(i)}$.</p> <p>Βλέπε επίσης: ετικέτα, data point, τοπικό σύνολο δεδομένων.</p>

$\mathbf{w}^{(i)}$	<p>Οι τοπικοί παράμετροι μοντέλου της συσκευής i εντός ενός δικτύου ομοσπονδιακής μάθησης.</p> <p>Βλέπε επίσης: model parameter, συσκευή, δίκτυο ομοσπονδιακής μάθησης.</p>
$L_i(\mathbf{w})$	<p>Η τοπική συνάρτηση απώλειας που χρησιμοποιείται από τη συσκευή i για να μετρήσει τη χρησιμότητα κάποιας επιλογής \mathbf{w} για τις τοπικές παράμετρους μοντέλου.</p> <p>Βλέπε επίσης: συνάρτηση απώλειας, συσκευή, model parameter.</p>
$L^{(d)}(\mathbf{x}, h(\mathbf{x}), h'(\mathbf{x}))$	<p>Η απώλεια που προκαλείται από μία υπόθεση h' σε ένα σημείο δεδομένων με χαρακτηριστικά \mathbf{x} και ετικέτα $h(\mathbf{x})$ που προκύπτει από μία άλλη υπόθεση.</p> <p>Βλέπε επίσης: loss, υπόθεση, data point, feature, ετικέτα.</p>
$\text{stack}\{\mathbf{w}^{(i)}\}_{i=1}^n$	<p>Το διάνυσμα $\left((\mathbf{w}^{(1)})^T, \dots, (\mathbf{w}^{(n)})^T \right)^T \in \mathbb{R}^{dn}$ που προκύπτει από την κάθετη στοίβαξη των τοπικών παραμέτρων μοντέλου $\mathbf{w}^{(i)} \in \mathbb{R}^d$, για $i = 1, \dots, n$.</p> <p>Βλέπε επίσης: διάνυσμα, stacking, model parameter.</p>
$h^{(i)}$	<p>Μία υπόθεση $h^{(i)} \in \mathcal{H}^{(i)}$ σε κάποιον κόμβο i εντός ενός δικτύου ομοσπονδιακής μάθησης.</p> <p>Βλέπε επίσης: υπόθεση, δίκτυο ομοσπονδιακής μάθησης.</p>

$\hat{h}^{(i)}$

Μία υπόθεση $\hat{h}^{(i)} \in \mathcal{H}^{(i)}$ που έχει μαθευτεί, η οποία έχει προκύψει από κάποια μέθοδο ομοσπονδιακής μάθησης, σε κάποιον κόμβο i εντός ενός δικτύου ομοσπονδιακής μάθησης.

Βλέπε επίσης: υπόθεση, federated learning (FL), δίκτυο ομοσπονδιακής μάθησης.

Μαθηματικά Εργαλεία

ακολουθία Μία ακολουθία είναι μία διατεταγμένη συλλογή τιμών από ένα σύνολο \mathcal{A} . Για παράδειγμα, μία ακολουθία τιμών από το σύνολο $\mathcal{A} = \{\star, \otimes\}$ θα μπορούσε να είναι

$$a = (\star, \otimes, \star, \star, \otimes, \dots).$$

Τυπικά, μία ακολουθία a είναι μία συνάρτηση [2]

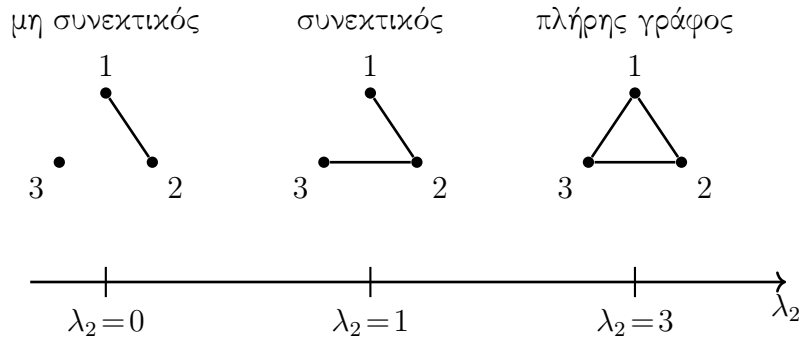
$$a : \mathbb{N} \rightarrow \mathcal{A} : r \mapsto a_r.$$

Δηλώνουμε μία ακολουθία με $(a_r)_{r \in \mathbb{N}}$ ή $(a^{(r)})_{r \in \mathbb{N}}$. Μερικές φορές χρησιμοποιούμε και τον συμβολισμό $\{a^{(r)}\}_{r \in \mathbb{N}}$. Σημείωση ότι η ίδια τιμή $a \in \mathcal{A}$ μπορεί να εμφανιστεί πολλές φορές στην ακολουθία σε διαφορετικές θέσεις r . Οι ακολουθίες είναι θεμελιώδεις για τη μελέτη μεθόδων μηχανικής μάθησης, για παράδειγμα όταν περιγράφουμε διαδοχικές επαναλήψεις $\{\mathbf{w}^{(t)}\}_{t \in \mathbb{N}}$ ενός επαναληπτικού αλγόριθμου. Μπορούμε επίσης να χρησιμοποιήσουμε μία ακολουθία για να αναπαραστήσουμε ένα άπειρο σύνολο δεδομένων

$$\mathcal{D} = \{ (\mathbf{x}^{(1)}, y^{(1)}), (\mathbf{x}^{(2)}, y^{(2)}), \dots \}.$$

Βλέπε επίσης: συνάρτηση, ml, αλγόριθμος, σύνολο δεδομένων.

αλγεβρική συνεκτικότητα Η αλγεβρική συνεκτικότητα (algebraic connectivity) ενός μη κατευθυνόμενου γράφου είναι η δεύτερη μικρότερη ιδιοτιμή λ_2 του πίνακα Laplace του. Ένας μη κατευθυνόμενος γράφος είναι συνεκτικός αν και μόνο αν $\lambda_2 > 0$ (βλέπε Σχ. 1) [9], [10].



Σχ. 1. Τρία παραδείγματα μη κατευθυνόμενων γράφων.

Βλέπε επίσης: μη κατευθυνόμενος γράφος, ιδιοτιμή, πίνακας Laplace, συνεκτικός, graph.

ανάστροφος Η ανάστροφος (transpose) ενός πίνακα πραγματικής τιμής προκύπτει με την ανταλλαγή γραμμών και στηλών. Για έναν πίνακα $\mathbf{A} \in \mathbb{R}^{m \times d}$, η ανάστροφός του δηλώνεται με \mathbf{A}^T και ικανοποιεί $(\mathbf{A}^T)_{j,j'} = \mathbf{A}_{j',j}$.

Βλέπε επίσης: πίνακας, συμμετρικός πίνακας.

ανεξάρτητες και ταυτόσημα κατανομημένες Μία συλλογή τυχαίων μεταβλητών $\mathbf{z}^{(1)}, \dots, \mathbf{z}^{(m)}$ αναφέρεται ως ανεξάρτητη και ταυτόσημα κατανομημένη (independent and identically distributed - i.i.d.) αν κάθε

$\mathbf{z}^{(r)}$ ακολουθεί την ίδια κατανομή πιθανότητας, και οι τυχαίες μεταβλητές είναι αμοιβαία ανεξάρτητες. Για την ακρίβεια, για οποιαδήποτε συλλογή γεγονότων $\mathcal{A}_1, \dots, \mathcal{A}_m$, έχουμε

$$\mathbb{P}(\mathbf{z}^{(1)} \in \mathcal{A}_1, \dots, \mathbf{z}^{(m)} \in \mathcal{A}_m) = \prod_{r=1}^m \mathbb{P}(\mathbf{z}^{(r)} \in \mathcal{A}_r).$$

Βλέπε επίσης: κατανομή πιθανότητας, τυχαία μεταβλητή, γεγονός, data point, παραδοχή ανεξάρτητων και ταυτόσημα κατανεμημένων.

ανισότητα του Markov Consider a real-valued nonnegative τυχαία μεταβλητή x for which ...

ανισότητα συγκέντρωσης Η ανισότητα συγκέντρωσης (concentration inequality) αναφέρεται σε ένα άνω φράγμα της πιθανότητας ότι μία τυχαία μεταβλητή αποκλίνει περισσότερο από ένα καθορισμένο ποσό από την προσδοκία της [11].

Βλέπε επίσης: probability, τυχαία μεταβλητή, expectation, ανισότητα του Markov, ανισότητα του Chebyshev, ανισότητα του Hoeffding, φράγμα Chernoff.

ανισότητα του Chebyshev Consider a real-valued τυχαία μεταβλητή ...

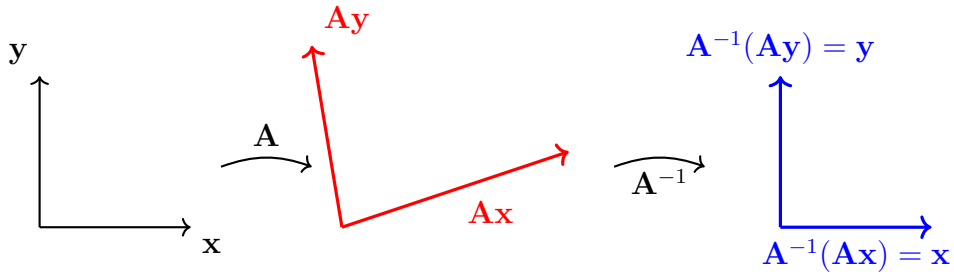
ανισότητα του Hoeffding Hoeffding's inequality ...

αντίστροφος πίνακας Ένας αντίστροφος πίνακας (inverse matrix) \mathbf{A}^{-1} ορίζεται για έναν τετραγωνικό πίνακα $\mathbf{A} \in \mathbb{R}^{n \times n}$ που είναι πλήρους τάξης, που σημαίνει ότι οι στήλες του είναι γραμμικά ανεξάρτητες. Σε αυτή την

περίπτωση, ο \mathbf{A} λέγεται ότι είναι αντιστρέψιμος, και ο αντίστροφός του ικανοποιεί

$$\mathbf{A}\mathbf{A}^{-1} = \mathbf{A}^{-1}\mathbf{A} = \mathbf{I}.$$

Ένας τετραγωνικός πίνακας είναι αντιστρέψιμος αν και μόνο αν η ορίζουσά του είναι μη μηδενική. Οι αντίστροφοι πίνακες είναι θεμελιώδεις στη λύση συστημάτων γραμμικών εξισώσεων και στην κλειστής μορφής λύση γραμμικής παλινδρόμησης [12], [13]. Η έννοια ενός αντίστροφου πίνακα μπορεί να επεκταθεί σε πίνακες που δεν είναι τετραγωνικοί ή πλήρους τάξης. Μπορεί κανείς να ορίσει έναν «αριστερό αντίστροφο» \mathbf{B} που ικανοποιεί $\mathbf{B}\mathbf{A} = \mathbf{I}$ ή έναν «δεξιό αντίστροφο» \mathbf{C} που ικανοποιεί $\mathbf{A}\mathbf{C} = \mathbf{I}$. Για γενικούς ορθογώνιους ή ιδιάζοντες πίνακες, ο ψευδοαντίστροφος Moore–Penrose \mathbf{A}^+ παρέχει μία ενοποιημένη έννοια ενός γενικευμένου αντίστροφου πίνακα [3].



Σχ. 2. Ένας πίνακας \mathbf{A} αναπαριστά έναν γραμμικό μετασχηματισμό του \mathbb{R}^2 . Ο αντίστροφος πίνακας \mathbf{A}^{-1} αναπαριστά τον αντίστροφο μετασχηματισμό.

Βλέπε επίσης: πίνακας, full-rank, linearly independent, ορίζουσα, γραμμική παλινδρόμηση, ψευδοαντίστροφος.

βαθμός κόμβου Ο βαθμός $d^{(i)}$ ενός κόμβου $i \in \mathcal{V}$ (node degree) σε έναν μη

κατευθυνόμενο γράφο είναι ο αριθμός των γειτόνων του, δηλαδή $d^{(i)} := |\mathcal{N}^{(i)}|$. Για έναν σταθμισμένο μη κατευθυνόμενο γράφο $\mathcal{G} = (\mathcal{V}, \mathcal{E}, \mathbf{A})$, μπορούμε εναλλακτικά να ορίσουμε τον (σταθμισμένο) βαθμό κόμβου ως το άθροισμα των βαρών όλων των ακμών που συνδέονται με τον κόμβο i , δηλαδή $d^{(i)} = \sum_{i' \in \mathcal{V}} A_{i,i'}$ [14].

Βλέπε επίσης: μη κατευθυνόμενος γράφος, γείτονας, συνεκτικός, μέσος βαθμός κόμβου.

βελτιστοποίηση Βλέπε κυρτή βελτιστοποίηση, μέθοδος βελτιστοποίησης, πρόβλημα βελτιστοποίησης.

γεγονός Θεωρούμε μία τυχαία μεταβλητή \mathbf{x} , ορισμένη σε κάποιον χώρο πιθανοτήτων \mathcal{P} , η οποία παίρνει τιμές σε έναν μετρήσιμο χώρο \mathcal{X} . Ένα γεγονός (event) $\mathcal{A} \subseteq \mathcal{X}$ είναι ένα υποσύνολο του \mathcal{X} , έτσι ώστε η πιθανότητα $\mathbb{P}(\mathbf{x} \in \mathcal{A})$ είναι καλά ορισμένη. Με άλλα λόγια, η προεικόνα $\mathbf{x}^{-1}(\mathcal{A})$ ενός γεγονότος ανήκει στην υποκείμενη σ -άλγεβρα, δηλαδή η προεικόνα είναι ένα μετρήσιμο υποσύνολο του δειγματικού χώρου [1], [6], [15]. Στο περίπου, ένα γεγονός αντιπροσωπεύει ένα σύνολο πιθανών εκβάσεων κάποιας διαδικασίας. Ένα παράδειγμα μίας τέτοιας διαδικασίας θα μπορούσε επίσης να είναι η θεραπευτική αγωγή ενός ασθενή υγειονομικής περίθαλψης.

Βλέπε επίσης: τυχαία μεταβλητή, χώρος πιθανοτήτων, μετρήσιμο, probability, προεικόνα, data point, παραδοχή ανεξάρτητων και ταυτόσημα κατανεμημένων, πιθανοτικό μοντέλο.

γειτονιά Θεωρούμε κάποιον μετρικό χώρο \mathcal{X} με μία μετρική $d : \mathcal{X} \times \mathcal{X} \rightarrow \mathbb{R}_+$. Η γειτονιά (neighborhood) ενός σημείου $\mathbf{x} \in \mathcal{X}$ είναι το σύνολο

άλλων σημείων που έχουν μία επαρκώς μικρή απόσταση από το \mathbf{x} . Για παράδειγμα, η ϵ -γειτονιά του \mathbf{x} ορίζεται ως

$$\{\mathbf{x}' \in \mathcal{X} : d(\mathbf{x}, \mathbf{x}') \leq \epsilon\}.$$

Αν ο \mathcal{X} είναι ένας μη κατευθυνόμενος γράφος, ο οποίος αποτελεί μία ειδική περίπτωση μετρικού χώρου, η γειτονιά ενός κόμβου $i \in \mathcal{V}$ είναι το σύνολο των γειτόνων του.

Βλέπε επίσης: μετρικός χώρος, μετρική, μη κατευθυνόμενος γράφος, γείτονας.

γράφος Ένας γράφος $\mathcal{G} = (\mathcal{V}, \mathcal{E})$ είναι ένα ζεύγος που αποτελείται από ένα σύνολο κόμβων \mathcal{V} και ένα σύνολο ακμών \mathcal{E} . Στην πιο γενική του μορφή, ένας γράφος προσδιορίζεται από μία απεικόνιση που αποδίδει σε κάθε ακμή $e \in \mathcal{E}$ ένα ζεύγος κόμβων [16]. Μία σημαντική οικογένεια γράφων είναι οι απλοί μη κατευθυνόμενοι γράφοι. Ένας απλός μη κατευθυνόμενος γράφος προκύπτει από την ταυτοποίηση κάθε ακμής $e \in \mathcal{E}$ με δύο διαφορετικούς κόμβους $\{i, i'\}$. Οι σταθμισμένοι γράφοι προσδιορίζουν επίσης αριθμητικά βάρη A_e για κάθε ακμή $e \in \mathcal{E}$.

Βλέπε επίσης: απεικόνιση, βάρη.

γραμμικά ανεξάρτητο A subset $\{\mathbf{a}^{(1)}, \dots, \mathbf{a}^{(d)}\} \in \mathcal{V}$ of a διανυσματικός χώρος is linearly independent ...

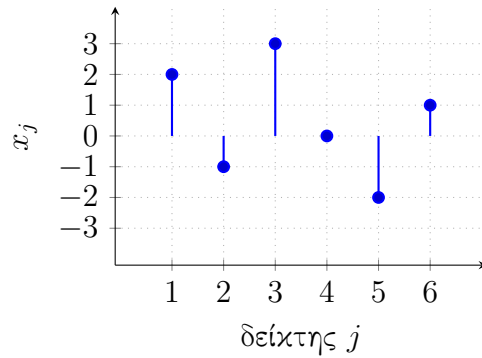
διακριτή τυχαία μεταβλητή A τυχαία μεταβλητή, i.e., a συνάρτηση that maps the outcomes of a τυχαίο πείραμα to elements of a μετρήσιμο space \mathcal{X} , is referred to as discrete if its value space \mathcal{X} is a countable set [6].

See also: probability, τυχαία μεταβλητή, κατανομή πιθανότητας.

διάνυσμα Ένα διάνυσμα είναι ένα στοιχείο ενός διανυσματικού χώρου. Στο πλαίσιο της μηχανικής μάθησης, ένα ιδιαίτερα σημαντικό παράδειγμα διανυσματικού χώρου είναι ο Ευκλείδειος χώρος \mathbb{R}^d , όπου $d \in \mathbb{N}$ είναι η (πεπερασμένη) διάσταση του χώρου. Ένα διάνυσμα $\mathbf{x} \in \mathbb{R}^d$ μπορεί να αναπαρασταθεί ως μία λίστα ή μονοδιάστατη (1-D) διάταξη πραγματικών αριθμών, δηλαδή x_1, \dots, x_d με $x_j \in \mathbb{R}$ για $j = 1, \dots, d$. Η τιμή x_j είναι η j στή είσοδος του διανύσματος \mathbf{x} . Μπορεί επίσης να είναι χρήσιμο να θεωρήσουμε ένα διάνυσμα $\mathbf{x} \in \mathbb{R}^d$ ως μία συνάρτηση που αντιστοιχίζει κάθε δείκτη $j \in \{1, \dots, d\}$ σε μία τιμή $x_j \in \mathbb{R}$, δηλαδή $\mathbf{x} : j \mapsto x_j$. Αυτή η προοπτική είναι ιδιαίτερα χρήσιμη για την μελέτη των μεθόδων πυρήνα. Βλέπε Σχ. 3 για τις δύο όψεις ενός διανύσματος.

2, -1, 3, 0, -2, 1

(a)



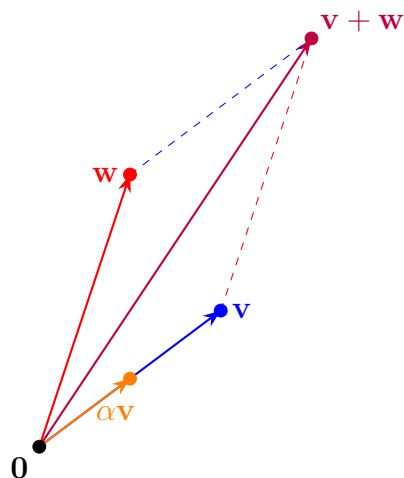
(b)

Σχ. 3. Δύο ισοδύναμες όψεις ενός διανύσματος $\mathbf{x} = (2, -1, 3, 0, -2, 1)^T \in \mathbb{R}^6$. (a) Ως μία αριθμητική διάταξη. (b) Ως μία απεικόνιση $j \mapsto x_j$.

Βλέπε επίσης: διανυσματικός χώρος, ml, Ευκλείδειος χώρος, συνάρτηση,

μέθοδος πυρήνα, απεικόνιση, γραμμική απεικόνιση.

διανυσματικός χώρος Ένας διανυσματικός χώρος \mathcal{V} (που ονομάζεται επίσης γραμμικός χώρος) είναι μία συλλογή στοιχείων, τα οποία ονομάζονται διανύσματα, μαζί με τις εξής δύο λειτουργίες (βλέπε επίσης Σχ. 4): 1) πρόσθεση (που δηλώνεται με $\mathbf{v} + \mathbf{w}$) δύο διανυσμάτων \mathbf{v}, \mathbf{w} και 2) πολλαπλασιασμός (που δηλώνεται με $c \cdot \mathbf{v}$) ενός διανύσματος \mathbf{v} με έναν βαθμωτό c που ανήκει σε κάποιο αριθμητικό πεδίο (με μία τυπική επιλογή για αυτό το πεδίο να είναι ο \mathbb{R}). Η καθοριστική ιδιότητα ενός διανυσματικού χώρου είναι ότι είναι κλειστός υπό δύο συγκεκριμένες λειτουργίες. Πρώτον, αν $\mathbf{v}, \mathbf{w} \in \mathcal{V}$, τότε $\mathbf{v} + \mathbf{w} \in \mathcal{V}$. Δεύτερον, αν $\mathbf{v} \in \mathcal{V}$ και $c \in \mathbb{R}$, τότε $c\mathbf{v} \in \mathcal{V}$.



Σχ. 4. Ένας διανυσματικός χώρος \mathcal{V} είναι μία συλλογή διανυσμάτων, έτσι ώστε η κλίμακα και η πρόσθεσή τους πάντα αποφέρει ένα άλλο διάνυσμα στο \mathcal{V} .

Ένα κοινό παράδειγμα ενός διανυσματικού χώρου είναι ο Ευκλείδειος χώρος \mathbb{R}^n , ο οποίος χρησιμοποιείται ευρέως στη μηχανική μάθηση για την

αναπαράσταση συνόλων δεδομένων. Μπορούμε επίσης να χρησιμοποιήσουμε τον \mathbb{R}^n για να αναπαραστήσουμε, είτε ακριβώς είτε προσεγγιστικά, τον χώρο υποθέσεων που χρησιμοποιείται από μία μέθοδο μηχανικής μάθησης. Ένα άλλο παράδειγμα διανυσματικού χώρου, ο οποίος σχετίζεται φυσικά με κάθε χώρο πιθανοτήτων $\mathcal{P} = (\Omega, \mathcal{R}, \mathbb{P}(\cdot))$, είναι η συλλογή όλων των τυχαίων μεταβλητών πραγματικής τιμής $x : \Omega \rightarrow \mathbb{R}$ [1], [17]. Βλέπε επίσης: διάνυσμα, Ευκλείδειος χώρος, ml, σύνολο δεδομένων, χώρος υποθέσεων, χώρος πιθανοτήτων, τυχαία μεταβλητή, γραμμικό μοντέλο, linear map.

διαφορική εντροπία Για μία τυχαία μεταβλητή $\mathbf{x} \in \mathbb{R}^d$ με μία συνάρτηση πυκνότητας πιθανότητας $p^{(\mathbf{x})}(\cdot)$, η διαφορική εντροπία (differential entropy) ορίζεται ως [18]

$$h(\mathbf{x}) := - \int_{\mathbf{x}' \in \mathbb{R}^d} \log p(\mathbf{x}') p^{(\mathbf{x})}(\mathbf{x}') d\mathbf{x}'.$$

Η διαφορική εντροπία μπορεί να είναι αρνητική και στερείται κάποιων ιδιοτήτων της εντροπίας για τυχαίες μεταβλητές διακριτών τιμών, όπως της αναλλοιωσιμότητας υπό μία αλλαγή μεταβλητών [18]. Μεταξύ όλων των τυχαίων μεταβλητών με μία δεδομένη μέση τιμή $\boldsymbol{\mu}$ και πίνακα συνδιακύμανσης \mathbf{C} , η $h(\mathbf{x})$ μεγιστοποιείται από $\mathbf{x} \sim \mathcal{N}(\boldsymbol{\mu}, \mathbf{C})$.

Βλέπε επίσης: τυχαία μεταβλητή, συνάρτηση πυκνότητας πιθανότητας, εντροπία, μέση τιμή, πίνακας συνδιακύμανσης, αβεβαιότητα, πιθανοτικό μοντέλο.

έκβαση Έκβαση είναι ένα πιθανό αποτέλεσμα μίας φυσικής διαδικασίας. Μία τέτοια διαδικασία θα μπορούσε να είναι η παρατήρηση ενός φυσικού φαι-

νομένου, ένας υπολογισμός που εκτελείται από έναν αλγόριθμο, ή ένα τυχαίο πείραμα [6].

Βλέπε επίσης: αλγόριθμος, τυχαίο πείραμα, δειγματικός χώρος.

ελάχιστο Δεδομένου ενός συνόλου πραγματικών αριθμών, το ελάχιστο είναι ο μικρότερος από αυτούς τους αριθμούς. Σημείωση ότι για κάποια σύνολα, όπως το σύνολο αρνητικών πραγματικών αριθμών, το ελάχιστο δεν υφίσταται.

εντροπία Η εντροπία (entropy) ποσοτικοποιεί την αβεβαιότητα ή τη μη προβλεψιμότητα που σχετίζεται με μία τυχαία μεταβλητή [18]. Για μία διακριτή τυχαία μεταβλητή x που παίρνει τιμές σε ένα πεπερασμένο σύνολο $\mathcal{S} = \{x_1, \dots, x_k\}$ με μία συνάρτηση μάζας πιθανότητας $p^{(x)}(x_c) (= \mathbb{P}(x = x_c))$, η εντροπία ορίζεται ως [18]

$$H(x) := - \sum_{c=1}^k p^{(x)}(x_c) \log p^{(x)}(x_c).$$

Για ένα δεδομένο σύνολο τιμών \mathcal{S} , η εντροπία μεγιστοποιείται για μία ομοιόμορφα κατανομημένη τυχαία μεταβλητή, όπου $p^{(x)}(x_c) = 1/k$. Η ελάχιστη εντροπία, η οποία είναι μηδέν, προκύπτει όταν $p^{(x)}(x_c) = 1$ για κάποια $x_c \in \mathcal{S}$. Η διαφορική εντροπία γενικεύει την έννοια της εντροπίας από διακριτές τυχαίες μεταβλητές σε συνεχείς τυχαίες μεταβλητές.

Βλέπε επίσης: αβεβαιότητα, τυχαία μεταβλητή, discrete RV, συνάρτηση μάζας πιθανότητας, διαφορική εντροπία, συνεχής, πιθανοτικό μοντέλο.

εξίσωση σταθερού σημείου A fixed-point equation is an equation of the form ...

επαυξημένος κατά Lagrange The augmented Lagrangian is a ...

Εσσιανός Θεωρούμε μία συνάρτηση $f : \mathbb{R}^d \rightarrow \mathbb{R}$ για την οποία οι μερικές παράγωγοι δεύτερης τάξης υφίστανται στο \mathbf{x}' . Τότε, ο Εσσιανός (Hessian) $\nabla^2 f(\mathbf{x}')$ της f στο \mathbf{x} ορίζεται ως ο πίνακας μερικών παραγώγων δεύτερης τάξης της f στο \mathbf{x}' , δηλαδή

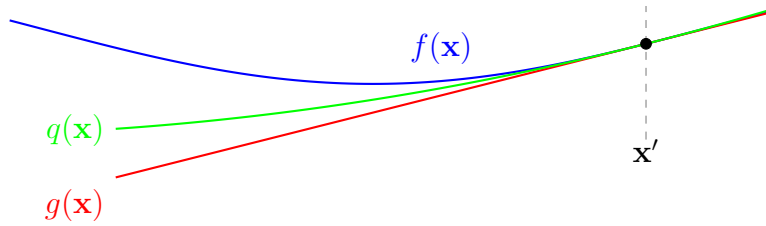
$$\nabla^2 f(\mathbf{x}') = \begin{pmatrix} \frac{\partial^2 f}{\partial x_1^2} & \frac{\partial^2 f}{\partial x_1 \partial x_2} & \cdots & \frac{\partial^2 f}{\partial x_1 \partial x_d} \\ \frac{\partial^2 f}{\partial x_2 \partial x_1} & \frac{\partial^2 f}{\partial x_2^2} & \cdots & \frac{\partial^2 f}{\partial x_2 \partial x_d} \\ \vdots & \vdots & \ddots & \vdots \\ \frac{\partial^2 f}{\partial x_d \partial x_1} & \frac{\partial^2 f}{\partial x_d \partial x_2} & \cdots & \frac{\partial^2 f}{\partial x_d^2} \end{pmatrix}.$$

Αν οι μερικές παράγωγοι δεύτερης τάξης είναι συνεχείς σε μία γειτονιά γύρω από το \mathbf{x}' , τότε ο Εσσιανός είναι ένας συμμετρικός πίνακας, δηλαδή $\partial^2 f / \partial x_j \partial x_{j'} = \partial^2 f / \partial x_{j'} \partial x_j$ για όλα τα j, j' [2]. Αν επιπλέον η f είναι κυρτή, τότε ο Εσσιανός είναι ένας θετικά ημιορισμένος πίνακας [19].

Ο Εσσιανός $\nabla^2 f(\mathbf{x}')$ μπορεί να χρησιμοποιηθεί για τον υπολογισμό μίας τετραγωνικής συνάρτησης

$$q(\mathbf{x}) = \frac{1}{2}(\mathbf{x} - \mathbf{x}')^T \underbrace{\nabla^2 f(\mathbf{x}')}_{\text{Εσσιανός}}(\mathbf{x} - \mathbf{x}') + (\mathbf{x} - \mathbf{x}')^T \underbrace{\nabla f(\mathbf{x}')}_{\text{κλίση}} + f(\mathbf{x}')$$

που προσεγγίζει τοπικά την f γύρω από το \mathbf{x}' (βλέπε επίσης Σχ. 5).



Σχ. 5. Μία συνάρτηση $f(\mathbf{x})$ που είναι επαρκώς λεία σε ένα σημείο \mathbf{x}' μπορεί να προσεγγιστεί τοπικά από μία τετραγωνική συνάρτηση $q(\mathbf{x})$, η οποία παρέχει μία πιο ορθή προσέγγιση σε σύγκριση με μία γραμμική συνάρτηση $g(\mathbf{x})$.

Βλέπε επίσης: συνάρτηση, partial derivative, πίνακας, συνεχής, γειτονιά, συμμετρικός πίνακας, κυρτό, θετικά ημιορισμένος, τετραγωνική συνάρτηση, gradient, λεία.

εσωτερικό γινόμενο Consider a διανυσματικός χώρος \mathcal{X} ...

Ευκλείδεια απόσταση Η Ευκλείδεια απόσταση (Euclidean distance) μεταξύ δύο διανυσμάτων $\mathbf{w}, \mathbf{w}' \in \mathbb{R}^d$ είναι η Ευκλείδεια νόρμα της διαφοράς $\mathbf{w} - \mathbf{w}'$.

Βλέπε επίσης: διάνυσμα, Ευκλείδεια νόρμα, Ευκλείδειος χώρος.

Ευκλείδεια νόρμα Η Ευκλείδεια νόρμα (Euclidean norm) $\|\mathbf{w}\|_2$ ενός διανύσματος

$$\mathbf{w} = (w_1, \dots, w_d) \in \mathbb{R}^d$$

ορίζεται ως

$$\|\mathbf{w}\|_2 := \sqrt{\sum_{j=1}^d w_j^2}.$$

Η Ευκλείδεια νόρμα είναι διαφορετική από όλες τις νόρμες στον \mathbb{R}^d , υπό την έννοια ότι επάγεται από το εσωτερικό γινόμενο $\mathbf{w}^T \mathbf{v}$ [1], [19], [20].

Με άλλα λόγια, $\|\mathbf{w}\|_2 = \sqrt{\mathbf{w}^T \mathbf{w}}$.

Βλέπε επίσης: νόρμα, διάνυσμα, εσωτερικό γινόμενο, Ευκλείδειος χώρος.

Ευκλείδειος χώρος Ο Ευκλείδειος χώρος \mathbb{R}^d διάστασης $d \in \mathbb{N}$ αποτελείται από διανύσματα $\mathbf{x} = (x_1, \dots, x_d)$, με d καταχωρίσεις πραγματικής τιμής $x_1, \dots, x_d \in \mathbb{R}$. Ένας τέτοιος Ευκλείδειος χώρος είναι εξοπλισμένος με μία γεωμετρική δομή που ορίζεται από το εσωτερικό γινόμενο $\mathbf{x}^T \mathbf{x}' = \sum_{j=1}^d x_j x'_j$ μεταξύ οποιωνδήποτε δύο διανυσμάτων $\mathbf{x}, \mathbf{x}' \in \mathbb{R}^d$ [2].

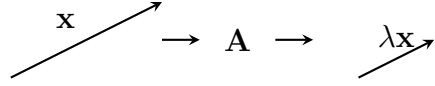
Βλέπε επίσης: διάνυσμα, εσωτερικό γινόμενο.

Θετικά ημιορισμένος Ένας συμμετρικός (πραγματικών τιμών) πίνακας $\mathbf{Q} = \mathbf{Q}^T \in \mathbb{R}^{d \times d}$ αναφέρεται ως θετικά ημιορισμένος (positive semi-definite - psd) αν $\mathbf{x}^T \mathbf{Q} \mathbf{x} \geq 0$ για κάθε διάνυσμα $\mathbf{x} \in \mathbb{R}^d$. Η ιδιότητά του να είναι θετικά ημιορισμένος μπορεί να επεκταθεί από πίνακες σε συμμετρικές (πραγματικών τιμών) απεικόνισης πυρήνα $K : \mathcal{X} \times \mathcal{X} \rightarrow \mathbb{R}$ (με $K(\mathbf{x}, \mathbf{x}') = K(\mathbf{x}', \mathbf{x})$) ως εξής: Για οποιοδήποτε πεπερασμένο σύνολο διανυσμάτων χαρακτηριστικών $\mathbf{x}^{(1)}, \dots, \mathbf{x}^{(m)}$, ο επακόλουθος πίνακας $\mathbf{Q} \in \mathbb{R}^{m \times m}$ με καταχωρίσεις $Q_{r,r'} = K(\mathbf{x}^{(r)}, \mathbf{x}^{(r')})$ είναι θετικά ημιορισμένος [21].

Βλέπε επίσης: πίνακας, διάνυσμα, πυρήνας, απεικόνιση, διάνυσμα χαρακτηριστικών.

ιδιότητα Markov Βλέπε Markov chain.

ιδιοτιμή Αναφερόμαστε σε έναν αριθμό $\lambda \in \mathbb{R}$ ως μία ιδιοτιμή ενός τετραγωνικού πίνακα $\mathbf{A} \in \mathbb{R}^{d \times d}$ αν υφίσταται ένα μη μηδενικό διάνυσμα $\mathbf{x} \in \mathbb{R}^d \setminus \{\mathbf{0}\}$ τέτοιο ώστε $\mathbf{A} \mathbf{x} = \lambda \mathbf{x}$ (βλέπε Σχ. 6).



Σχ. 6. Αυτό το διάνυσμα είναι το ιδιοδιάνυσμα που αντιστοιχεί στην ιδιοτιμή λ .

Βλέπε επίσης: πίνακας, διάνυσμα, ιδιοδιάνυσμα.

ίχνος The trace ...

See also: TBC.

κατάσταση Μία κατάσταση (state) είναι μία μαθηματική αναπαράσταση των ελάχιστων πληροφοριών που χρειάζονται για να χαρακτηριστεί ένα σύστημα σε μία δεδομένη στιγμή, έτσι ώστε, μαζί με τη δυναμική του συστήματος, να επαρκούν για την πρόβλεψη της μελλοντικής συμπεριφοράς του συστήματος [22], [23].

Βλέπε επίσης: διάνυσμα χαρακτηριστικών, υπόθεση, ενέργεια.

κυρτό Ένα υποσύνολο $\mathcal{C} \subseteq \mathbb{R}^d$ του Ευκλείδειου χώρου \mathbb{R}^d αναφέρεται ως κυρτό (convex) αν περιέχει το ευθύγραμμο τμήμα μεταξύ οποιωνδήποτε δύο σημείων $\mathbf{x}, \mathbf{y} \in \mathcal{C}$ σε αυτό το σύνολο, δηλαδή

$$\alpha \mathbf{x} + (1 - \alpha) \mathbf{y} \in \mathcal{C} \quad \text{για κάθε } \alpha \in [0, 1].$$

Όμοια, μία συνάρτηση $f : \mathbb{R}^d \rightarrow \mathbb{R}$ είναι κυρτή αν το επίγραμμά της $\{(\mathbf{w}^T, t)^T \in \mathbb{R}^{d+1} : t \geq f(\mathbf{w})\}$ είναι ένα κυρτό σύνολο [19]. Παρουσιάζουμε ένα παράδειγμα ενός κυρτού συνόλου και μίας κυρτής συνάρτησης στο Σχ. 7.



Σχ. 7. (a) Ένα κυρτό σύνολο $C \subseteq \mathbb{R}^d$. (b) Μία κυρτή συνάρτηση $f : \mathbb{R}^d \rightarrow \mathbb{R}$.

Βλέπε επίσης: Ευκλείδειος χώρος, συνάρτηση, epigraph.

μέθοδος βελτιστοποίησης Μία μέθοδος βελτιστοποίησης (optimization method) είναι ένας αλγόριθμος που διαβάζει μία αναπαράσταση ενός προβλήματος βελτιστοποίησης ως είσοδο και υπολογίζει μία (προσεγγιστική) λύση ως έξοδό του. Ένα κεντρικό παράδειγμα προβλήματος βελτιστοποίησης στη μηχανική μάθηση είναι η εμπειρική ελαχιστοποίηση διακινδύνευσης. Εφαρμόζοντας μία κατάλληλη μέθοδο βελτιστοποίησης στην εμπειρική ελαχιστοποίηση διακινδύνευσης, αποκτούμε έναν συγκεκριμένο αλγόριθμο μάθησης [19], [24], [25].

Βλέπε επίσης: βελτιστοποίηση, αλγόριθμος, optimization problem, output, ml, εμπειρική ελαχιστοποίηση διακινδύνευσης.

μέθοδος εναλλασσόμενων διευθύνσεων των πολλαπλασιαστών

Η μέθοδος εναλλασσόμενων διευθύνσεων των πολλαπλασιαστών (alternating direction method of multipliers - ADMM) είναι μία επαναληπτική μέθοδος βελτιστοποίησης για τη λύση ενός δομημένου προβλήματος βελτιστοποίησης. Συγκεκριμένα, η μέθοδος εναλλασσόμενων διευθύνσεων των πολλαπλασιαστών μπορεί να χρησιμοποιηθεί για τη λύση ενός

προβλήματος βελτιστοποίησης της μορφής

$$\begin{aligned} \min_{\mathbf{x} \in \mathbb{R}^d, \mathbf{x}' \in \mathbb{R}^{d'}} \quad & f(\mathbf{x}) + g(\mathbf{x}') \\ \text{s.t.} \quad & \mathbf{Ax} - \mathbf{Bx}' = \mathbf{c}, \end{aligned}$$

για δεδομένους πίνακες $\mathbf{A} \in \mathbb{R}^{p \times d}$ και $\mathbf{B} \in \mathbb{R}^{p \times d'}$, καθώς και ένα δεδομένο διάνυσμα $\mathbf{c} \in \mathbb{R}^p$.

Βλέπε επίσης: μέθοδος βελτιστοποίησης, optimization problem, πίνακας, διάνυσμα, μέθοδος των πολλαπλασιαστών.

μέθοδος των πολλαπλασιαστών Η μέθοδος των πολλαπλασιαστών (method of multipliers - MoM) είναι μία επαναληπτική μέθοδος βελτιστοποίησης για τη λύση ενός περιορισμένου προβλήματος βελτιστοποίησης της μορφής [26]

$$\begin{aligned} \min_{\mathbf{x} \in \mathbb{R}^d} \quad & f(\mathbf{x}) \\ \text{s.t.} \quad & \mathbf{Ax} = \mathbf{b}. \end{aligned}$$

Εδώ, $f : \mathbb{R}^d \rightarrow \mathbb{R}$ δηλώνει την αντικειμενική συνάρτηση, $\mathbf{A} \in \mathbb{R}^{m \times d}$ είναι ένας δεδομένος πίνακας, και $\mathbf{b} \in \mathbb{R}^m$ είναι ένα δεδομένο διάνυσμα. Η μέθοδος των πολλαπλασιαστών βασίζεται στον augmented Lagrangian

$$L_\rho(\mathbf{x}, \mathbf{y}) = f(\mathbf{x}) + \mathbf{y}^\top \mathbf{Ax} + \frac{\rho}{2} \|\mathbf{Ax} - \mathbf{b}\|_2^2$$

όπου \mathbf{y} δηλώνει το διάνυσμα των πολλαπλασιαστών του Lagrange και $\rho > 0$ είναι μία παράμετρος ποινής. Η μέθοδος των πολλαπλασιαστών κα-

τασκευάζει μία ακολουθία εκτιμήσεων $(\mathbf{x}^{(1)}, \mathbf{y}^{(1)})$, ... που συγκλίνει σε μία λύση του προβλήματος βελτιστοποίησης. Συγκεκριμένα, κατά τη διάρκεια κάθε επανάληψης t , οι τρέχουσες εκτιμήσεις $\mathbf{x}^{(k)}, \mathbf{y}^{(k)}$ ενημερώνονται ως εξής:

$$\begin{aligned}\mathbf{x}^{(k+1)} &= \arg \min_{\mathbf{x} \in \mathbb{R}^d} L_\rho(\mathbf{x}, \mathbf{y}^{(k)}) \\ \mathbf{y}^{(k+1)} &= \mathbf{y}^{(k)} + \rho (\mathbf{A}\mathbf{x}^{(k+1)} - \mathbf{b}).\end{aligned}$$

Η μέθοδος των πολλαπλασιαστών μπορεί να γραφεί ως μία επανάληψη σταθερού σημείου της μορφής

$$(\mathbf{x}^{(k+1)}, \mathbf{y}^{(k+1)}) = \mathcal{F}(\mathbf{x}^{(k)}, \mathbf{y}^{(k)})$$

με

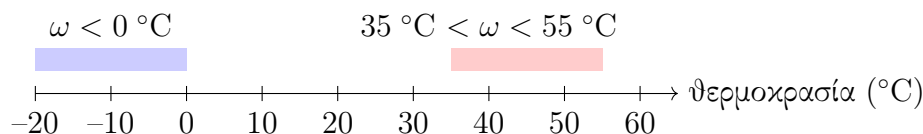
$$\begin{aligned}\mathcal{F} : \mathbb{R}^d \times \mathbb{R}^m &\rightarrow \mathbb{R}^d \times \mathbb{R}^m : (\mathbf{x}, \mathbf{y}) \mapsto (\mathbf{x}', \mathbf{y} + \rho(\mathbf{A}\mathbf{x}' - \mathbf{b})) \\ \text{με } \mathbf{x}' &= \arg \min_{\mathbf{x} \in \mathbb{R}^d} L_\rho(\mathbf{x}, \mathbf{y}).\end{aligned}$$

Βλέπε επίσης: μέθοδος βελτιστοποίησης, optimization problem, αντικειμενική συνάρτηση, πίνακας, διάνυσμα, augmented Lagrangian, παράμετρος, ακολουθία, επανάληψη, επανάληψη σταθερού σημείου.

μέσος βαθμός κόμβου The average βαθμός κόμβου \bar{d} of a weighted μη κατευθυνόμενος γράφος $\mathcal{G} = (\mathcal{V}, \mathcal{E}, \mathbf{A})$ is the average of all βαθμός κόμβους, i.e., $\bar{d} = (1/n) \sum_{i \in \mathcal{V}} d^{(i)}$.

See also: βαθμός κόμβου, μη κατευθυνόμενος γράφος, γείτονες.

μετρήσιμο Θεωρούμε ένα τυχαίο πείραμα, όπως την καταγραφή της θερμοκρασίας του αέρα σε ένα σταθμό καιρού του Φινλανδικού Μετεωρολογικού Ινστιτούτου. Ο αντίστοιχος δειγματικός χώρος Ω αποτελείται από όλες τις πιθανές εκβάσεις ω (π.χ. όλες τις πιθανές τιμές θερμοκρασίας σε βαθμούς Κελσίου). Σε πολλές εφαρμογές μηχανικής μάθησης, δε μας ενδιαφέρει η ακριβής έκβαση ω , αλλά μόνο το αν ανήκει σε ένα υποσύνολο $\mathcal{A} \subseteq \Omega$ (π.χ. ο καθορισμός του αν η θερμοκρασία είναι κάτω από το μηδέν). Ονομάζουμε ένα τέτοιο υποσύνολο \mathcal{A} μετρήσιμο (measurable) αν είναι δυνατό να αποφασίσουμε, για οποιαδήποτε έκβαση ω , αν $\omega \in \mathcal{A}$ (βλέπε Σχ. 8).



Σχ. 8. Ένας δειγματικός χώρος που αποτελείται από όλες τις πιθανές τιμές θερμοκρασίας ω που μπορούν να εμφανιστούν σε έναν σταθμό του Φινλανδικού Μετεωρολογικού Ινστιτούτου. Δύο μετρήσιμα υποσύνολα τιμών θερμοκρασίας, τα οποία συμβολίζονται με $\mathcal{A}^{(1)}$ και $\mathcal{A}^{(2)}$, επισημαίνονται. Για οποιαδήποτε πραγματική τιμή θερμοκρασίας ω , είναι δυνατό να καθοριστεί (μέσω κάποιου εξοπλισμού) αν $\omega \in \mathcal{A}^{(1)}$ και αν $\omega \in \mathcal{A}^{(2)}$.

Στη θεωρία, μετρήσιμα σύνολα μπορούν να επιλεγούν ελεύθερα (π.χ. ανάλογα με την ανάλυση του εξοπλισμού μέτρησης). Ωστόσο, είναι συχνά χρήσιμο να επιβάλλονται ορισμένες απαιτήσεις πληρότητας στη συλλογή των μετρήσιμων συνόλων. Για παράδειγμα, ο ίδιος ο δειγματικός

χώρος θα πρέπει να είναι μετρήσιμος, και η ένωση δύο μετρήσιμων συνόλων θα πρέπει επίσης να είναι μετρήσιμη. Αυτές οι απαιτήσεις πληρότητας μπορούν να τυποποιηθούν μέσω της έννοιας της σ -άλγεβρας (ή σ -field) [1], [6], [15]. Ένας μετρήσιμος χώρος είναι ένα ζεύγος $(\mathcal{X}, \mathcal{F})$ που αποτελείται από ένα αυθαίρετο σύνολο \mathcal{X} και μία συλλογή \mathcal{F} μετρήσιμων υποσυνόλων του \mathcal{X} που σχηματίζουν μία σ -άλγεβρα.

Βλέπε επίσης: τυχαίο πείραμα, Φινλανδικό Μετεωρολογικό Ινστιτούτο, δειγματικός χώρος, έκβαση, ml, σ -algebra, σ -field, probability.

μετρική Μία μετρική είναι ένα ποσοτικό μέτρο που χρησιμοποιείται για τη σύγκριση αντικειμένων. Στα μαθηματικά, μία μετρική μετράει την απόσταση μεταξύ δύο σημείων σε έναν χώρο και πρέπει να ακολουθεί συγκεκριμένους κανόνες, δηλαδή η απόσταση να είναι πάντα μη αρνητική, να είναι μηδενική μόνο αν τα σημεία είναι ίδια, να είναι συμμετρική, και να ικανοποιεί την τριγωνική ανισότητα [2]. Στο πλαίσιο της μηχανικής μάθησης, ο όρος μετρική αναφέρεται σε ένα ποσοτικό μέτρο του πόσο καλά επιδίδει ένα μοντέλο (κάπως όμοιο με μία συνάρτηση απώλειας). Παραδείγματα περιλαμβάνουν την ακρίβεια, την ακρίβεια, και τη μέση 0/1 απώλεια σε ένα σύνολο ελέγχου [27], [28]. Ο όρος συνάρτηση απώλειας χρησιμοποιείται συνήθως στο πλαίσιο της εκπαίδευσης μοντέλου, ενώ ο όρος μετρική χρησιμοποιείται στο πλαίσιο της επικύρωσης μοντέλου.

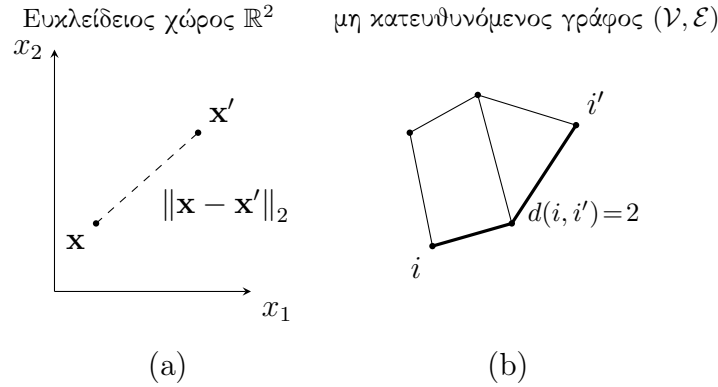
Βλέπε επίσης: μέτρο, ml, model, συνάρτηση απώλειας, ακρίβεια, ακρίβεια, 0/1 απώλεια, σύνολο ελέγχου, εκπαίδευση, επικύρωση, loss.

μετρικός χώρος Ένας μετρικός χώρος (metric space) είναι ένα σύνολο \mathcal{X} εξοπλισμένο με μία συνάρτηση (που αναφέρεται ως μία μετρική) $d(\cdot, \cdot) :$

$\mathcal{X} \times \mathcal{X} \rightarrow \mathbb{R}_+$, η οποία ικανοποιεί τις ακόλουθες απαιτήσεις για όλα τα $\mathbf{x}, \mathbf{x}', \mathbf{x}'' \in \mathcal{X}$:

- 1) Μη αρνητικότητα: $d(\mathbf{x}, \mathbf{x}') \geq 0$.
- 2) Ταυτότητα: $d(\mathbf{x}, \mathbf{x}') = 0$ αν και μόνο αν $\mathbf{x} = \mathbf{x}'$.
- 3) Συμμετρία: $d(\mathbf{x}, \mathbf{x}') = d(\mathbf{x}', \mathbf{x})$.
- 4) Τριγωνική ανισότητα: $d(\mathbf{x}, \mathbf{x}'') \leq d(\mathbf{x}, \mathbf{x}') + d(\mathbf{x}', \mathbf{x}'')$.

Τυπικά, ένας μετρικός χώρος είναι ένα ζεύγος $(\mathcal{X}, d(\cdot, \cdot))$ που ικανοποιεί τις παραπάνω απαιτήσεις.



Σχ. 9. Παραδείγματα μετρικών χώρων. (a) Ευκλείδειος χώρος \mathbb{R}^2 με την Ευκλείδεια απόσταση ως μία μετρική. (b) Μη κατευθυνόμενος γράφος $(\mathcal{V}, \mathcal{E})$ με την απόσταση της συντομότερης διαδρομής ως μία μετρική.

Ένα περίφημο παράδειγμα μετρικού χώρου είναι ο Ευκλείδειος χώρος εξοπλισμένος με μία μετρική που δίνεται από την Ευκλείδεια απόσταση $d(\mathbf{x}, \mathbf{x}') = \|\mathbf{x} - \mathbf{x}'\|_2$. Ένα άλλο καλά γνωστό παράδειγμα μετρικού χώρου είναι ένας μη κατευθυνόμενος γράφος $\mathcal{G} = (\mathcal{V}, \mathcal{E})$, με τη μετρική $d(i, i')$ ορισμένη από το μήκος της συντομότερης διαδρομής που συνδέει

τους κόμβους i και i' .

Βλέπε επίσης: μετρική, συνάρτηση, Ευκλείδειος χώρος, μη κατευθυνόμενος γράφος, Ευκλείδεια απόσταση, χώρος χαρακτηριστικών.

μέτρο A measure ...

See also: TBC.

μη κατευθυνόμενος γράφος Βλέπε graph.

ολοκλήρωμα Lebesgue The Lebesgue integral assigns ...

ολοκληρώσιμη A μετρήσιμο συνάρτηση $f : \Omega \rightarrow \mathbb{R}$ defined on a χώρος μέτρου (Ω, Σ, μ) is called integrable if the ολοκλήρωμα Lebesgue of its absolute value is finite, i.e.,

$$\int_{\Omega} |f(x)| \, d\mu < \infty.$$

In this case, the ολοκλήρωμα Lebesgue $\int_{\Omega} f(x) \, d\mu$ is well defined and finite. An τυχαία μεταβλητή x defined on the δειγματικός χώρος of a χώρος πιθανοτήτων $(\Omega, \Sigma, \mathbb{P})$ is integrable if

$$\mathbb{E}\{|x|\} = \int_{\Omega} |x(\omega)| \, d\mathbb{P} < \infty,$$

which is equivalent to the existence of the expectation $\mathbb{E}\{x\}$ (i.e., it is finite).

See also: χώρος μέτρου, μέτρο.

πεδίο The domain ...

See also: TBC.

πεδίο τιμών The ...

See also: TBC.

πιθανοτικό μοντέλο Ένα πιθανοτικό μοντέλο ερμηνεύει σημεία δεδομένων ως πραγματώσεις τυχαίων μεταβλητών με κοινή κατανομή πιθανότητας. Αυτή η κοινή κατανομή πιθανότητας συνήθως περιλαμβάνει παραμέτρους που πρέπει να επιλεγούν χειρωνακτικά ή να μαθευτούν μέσω μεθόδων στατιστικής συμπερασματολογίας όπως η εκτίμηση μέγιστης πιθανοφάνειας [29].

Βλέπε επίσης: model, data point, πραγμάτωση, τυχαία μεταβλητή, κατανομή πιθανότητας, παράμετρος, μέγιστη πιθανοφάνεια.

πίνακας Ένας πίνακας μεγέθους $m \times d$ είναι μία 2-D διάταξη αριθμών, η οποία δηλώνεται με

$$\mathbf{A} = \begin{bmatrix} A_{1,1} & A_{1,2} & \dots & A_{1,d} \\ A_{2,1} & A_{2,2} & \dots & A_{2,d} \\ \vdots & \vdots & \ddots & \vdots \\ A_{m,1} & A_{m,2} & \dots & A_{m,d} \end{bmatrix} \in \mathbb{R}^{m \times d}.$$

Εδώ, $A_{r,j}$ δηλώνει την καταχώριση του πίνακα στην r στή γραμμή και την j στή στήλη. Οι πίνακες είναι χρήσιμες αναπαραστάσεις διάφορων μαθηματικών αντικειμένων [30], συμπεριλαμβανομένων των εξής:

- Συστήματα γραμμικών εξισώσεων: Μπορούμε να χρησιμοποιήσουμε έναν πίνακα για να αναπαραστήσουμε ένα σύστημα γραμμικών

εξισώσεων

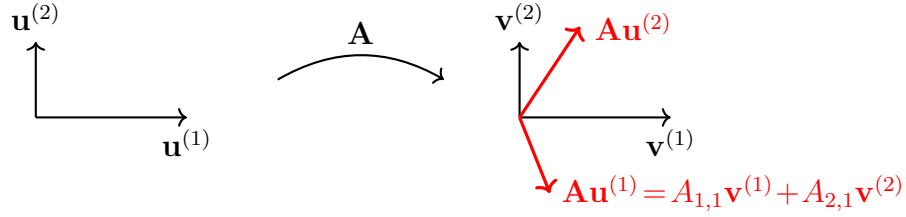
$$\begin{pmatrix} A_{1,1} & A_{1,2} \\ A_{2,1} & A_{2,2} \end{pmatrix} \begin{pmatrix} w_1 \\ w_2 \end{pmatrix} = \begin{pmatrix} y_1 \\ y_2 \end{pmatrix} \quad \text{συμπαγώς ως} \quad \mathbf{A}\mathbf{w} = \mathbf{y}.$$

Ένα σημαντικό παράδειγμα συστημάτων γραμμικών εξισώσεων είναι η συνθήκη βελτιστότητας για τις παραμέτρους μοντέλου εντός γραμμικής παλινδρόμησης.

- Linear maps: Θεωρούμε έναν d -διάστατο διανυσματικό χώρο \mathcal{U} και έναν m -διάστατο διανυσματικό χώρο \mathcal{V} . Αν σταθεροποιήσουμε μία βάση $\mathbf{u}^{(1)}, \dots, \mathbf{u}^{(d)}$ για \mathcal{U} και μία βάση $\mathbf{v}^{(1)}, \dots, \mathbf{v}^{(m)}$ για \mathcal{V} , κάθε πίνακας $\mathbf{A} \in \mathbb{R}^{m \times d}$ ορίζει φυσικά μία linear map $\alpha : \mathcal{U} \rightarrow \mathcal{V}$ (βλέπε Σχ. 10), έτσι ώστε

$$\mathbf{u}^{(j)} \mapsto \sum_{r=1}^m A_{r,j} \mathbf{v}^{(r)}.$$

- Σύνολα δεδομένων: Μπορούμε να χρησιμοποιήσουμε έναν πίνακα για να αναπαραστήσουμε ένα σύνολο δεδομένων. Κάθε γραμμή αντιστοιχεί σε ένα μοναδικό σημείο δεδομένων, και κάθε στήλη αντιστοιχεί σε ένα συγκεκριμένο χαρακτηριστικό ή ετικέτα ενός σημείου δεδομένων.



Σχ. 10. Ένας πίνακας \mathbf{A} ορίζει μία linear map μεταξύ δύο διανυσματικών χώρων.

Βλέπε επίσης: παράμετροι μοντέλου, γραμμική παλινδρόμηση, linear map, διανυσματικός χώρος, σύνολο δεδομένων, data point, feature, ετικέτα, γραμμικό μοντέλο.

πίνακας συνδιακύμανσης Ο πίνακας συνδιακύμανσης (covariance matrix) μίας τυχαίας μεταβλητής $\mathbf{x} \in \mathbb{R}^d$ ορίζεται ως η προσδοκία (αν υφίσταται):

$$\mathbf{C}^{(\mathbf{x})} := \mathbb{E} \left\{ (\mathbf{x} - \mathbb{E}\{\mathbf{x}\}) (\mathbf{x} - \mathbb{E}\{\mathbf{x}\})^T \right\}.$$

Βλέπε επίσης: συνδιακύμανση, πίνακας, τυχαία μεταβλητή, expectation.

πλήρους τάξης Α πίνακας $\mathbf{A} \in \mathbb{R}^{m \times d}$ is ...

πολυμεταβλητή κανονική κατανομή The multivariate normal distribution, which is denoted by $\mathcal{N}(\boldsymbol{\mu}, \mathbf{C})$, is a fundamental πιθανοτικό μοντέλο for numerical διάνυσμα χαρακτηριστικών of fixed dimension d . It defines a family of κατανομή πιθανότητας over διάνυσμα-valued τυχαία μεταβλητής $\mathbf{x} \in \mathbb{R}^d$ [7], [31], [32]. Each distribution in this family is fully

specified by its μέση τιμή διάνυσμα $\boldsymbol{\mu} \in \mathbb{R}^d$ and πίνακας συνδιακύμανσης $\mathbf{C} \in \mathbb{R}^{d \times d}$. When the πίνακας συνδιακύμανσης \mathbf{C} is invertible, the corresponding κατανομή πιθανότητας is characterized by the following συνάρτηση πυκνότητας πιθανότητας:

$$p(\mathbf{x}) = \frac{1}{\sqrt{(2\pi)^d \det(\mathbf{C})}} \exp \left[-\frac{1}{2}(\mathbf{x} - \boldsymbol{\mu})^T \mathbf{C}^{-1}(\mathbf{x} - \boldsymbol{\mu}) \right].$$

Note that this συνάρτηση πυκνότητας πιθανότητας is only defined when \mathbf{C} is invertible. More generally, any τυχαία μεταβλητή $\mathbf{x} \sim \mathcal{N}(\boldsymbol{\mu}, \mathbf{C})$ admits the following representation:

$$\mathbf{x} = \mathbf{A}\mathbf{z} + \boldsymbol{\mu}$$

where $\mathbf{z} \sim \mathcal{N}(\mathbf{0}, \mathbf{I})$ is a standard normal random vector and $\mathbf{A} \in \mathbb{R}^{d \times d}$ satisfies $\mathbf{A}\mathbf{A}^T = \mathbf{C}$. This representation remains valid even when \mathbf{C} is singular, in which case \mathbf{A} is not full rank [33, Ch. 23]. The family of multivariate normal distributions is exceptional among πιθανοτικό μοντέλος for numerical quantities, at least for the following reasons. First, the family is closed under affine transformations, i.e.,

$$\mathbf{x} \sim \mathcal{N}(\boldsymbol{\mu}, \mathbf{C}) \text{ implies } \mathbf{B}\mathbf{x} + \mathbf{c} \sim \mathcal{N}(\mathbf{B}\boldsymbol{\mu} + \mathbf{c}, \mathbf{B}\mathbf{C}\mathbf{B}^T).$$

Second, the κατανομή πιθανότητας $\mathcal{N}(\mathbf{0}, \mathbf{C})$ maximizes the διαφορική εντροπία among all distributions with the same πίνακας συνδιακύμανσης \mathbf{C} [18].

Βλέπε επίσης: πιθανοτικό μοντέλο, διάνυσμα χαρακτηριστικών, κατανο-

μή πιθανότητας, διάνυσμα, τυχαία μεταβλητή, μέση τιμή, πίνακας συνδιακύμανσης, συνάρτηση πυκνότητας πιθανότητας, standard normal random vector, διαφορική εντροπία, Gaussian RV.

προεικόνα Θεωρούμε μία συνάρτηση $f: \mathcal{U} \rightarrow \mathcal{V}$ μεταξύ δύο συνόλων. Η προεικόνα $f^{-1}(\mathcal{B})$ ενός υποσυνόλου $\mathcal{B} \subseteq \mathcal{V}$ είναι το σύνολο όλων των εισόδων $u \in \mathcal{U}$ που αντιστοιχούνται στο \mathcal{B} από την f , δηλαδή

$$f^{-1}(\mathcal{B}) := \{u \in \mathcal{U} \mid f(u) \in \mathcal{B}\}.$$

Η προεικόνα είναι καλά ορισμένη ακόμα και αν η συνάρτηση f είναι μη αντιστρέψιμη [2].

Βλέπε επίσης: συνάρτηση.

σ-άλγεβρα Consider a ...

See also: TBC.

σταθερό σημείο Consider some τελεστής $\mathcal{F}: \mathcal{H} \rightarrow \mathcal{H}$...

στοχαστική Αναφερόμαστε σε μία μέθοδο ως στοχαστική αν περιλαμβάνει μία τυχαία συνιστώσα ή διέπεται από πιθανοτικούς νόμους. Οι μέθοδοι μηχανικής μάθησης χρησιμοποιούν τυχειότητα για να μειώσουν την υπολογιστική πολυπλοκότητα (π.χ. βλέπε στοχαστική κάθοδος κλίσης) ή για να αποτυπώσουν την αβεβαιότητα σε πιθανοτικά μοντέλα.

Βλέπε επίσης: ml, στοχαστική κάθοδος κλίσης, αβεβαιότητα, πιθανοτικό μοντέλο.

στοχαστική διαδικασία Μία στοχαστική διαδικασία είναι μία συλλογή τυχαίων μεταβλητών που ορίζονται πάνω σε έναν κοινό χώρο πιθανοτήτων

και που έχουν δείκτες από κάποιο σύνολο \mathcal{I} [34], [31], [35]. Το σύνολο δεικτών \mathcal{I} συνήθως αναπαριστά χρόνο και χώρο, επιτρέποντάς μας να αναπαραστήσουμε τυχαία φαινόμενα που εξελίσσονται στον χρόνο ή σε χωρικές διαστάσεις—για παράδειγμα, θόρυβο αισθητήρα ή οικονομικές χρονοσειρές. Οι στοχαστικές διαδικασίες δεν περιορίζονται σε χρονικά ή χωρικά περιβάλλοντα. Για παράδειγμα, τυχαίοι γράφοι όπως ο Erdős–Rényi (ER) graph ή το μοντέλο στοχαστικής ομάδας μπορούν επίσης να θεωρηθούν στοχαστικές διαδικασίες. Εδώ, το σύνολο δεικτών \mathcal{I} αποτελείται από ζεύγη κόμβων που ευρετηριάζουν τυχαίες μεταβλητές των οποίων οι τιμές κωδικοποιούν την παρουσία ή το βάρος μίας ακμής μεταξύ δύο κόμβων. Επιπλέον, οι στοχαστικές διαδικασίες προκύπτουν φυσικά στην ανάλυση στοχαστικών αλγόριθμων, όπως της στοχαστικής καθόδου κλίσης, οι οποίοι κατασκευάζουν μία ακολουθία τυχαίων μεταβλητών.

Βλέπε επίσης: στοχαστική, τυχαία μεταβλητή, χώρος πιθανοτήτων, graph, ER graph, μοντέλο στοχαστικής ομάδας, στοχαστικός αλγόριθμος, στοχαστική κάθοδος κλίσης, αβεβαιότητα, πιθανοτικό μοντέλο.

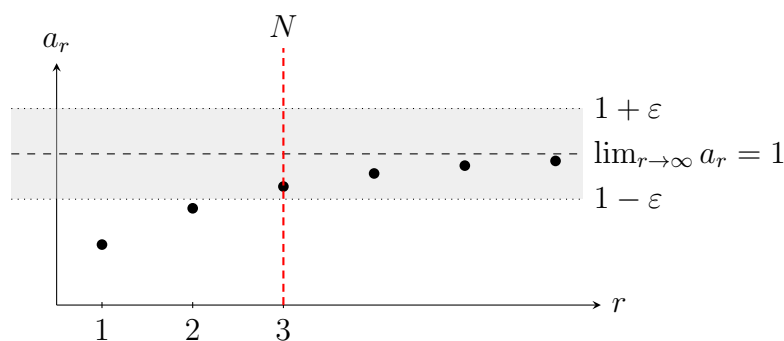
σύγκλιση Θεωρούμε μία ακολουθία $(a_r)_{r \in \mathbb{N}}$ με αριθμητικές τιμές $a_r \in \mathbb{R}$.

Λέμε ότι αυτή η ακολουθία συγκλίνει σε μία τιμή a^* αν οι τιμές a_r γίνονται αυθαίρετα κοντινές στην a^* για επαρκώς μεγάλους δείκτες r . Από μαθηματικής άποψης, η ακολουθία συγκλίνει στην a^* αν [1], [2]

$$\forall \epsilon > 0, \exists N \in \mathbb{N} : r > N \Rightarrow |a_r - a^*| < \epsilon.$$

Δηλώνουμε τη σύγκλιση (convergence) μίας ακολουθίας στην a^* με

$$\lim_{r \rightarrow \infty} a_r = a^*.$$



Σχ. 11. Μία ακολουθία πραγματικής τιμής $(a_r)_{r \in \mathbb{N}}$ που συγκλίνει στο όριο $a^* = 1$.

Η έννοια της σύγκλισης μίας ακολουθίας πραγματικής τιμής (όπου $\mathcal{A} = \mathbb{R}$) επεκτείνεται φυσικά σε μία ακολουθία σε έναν αυθαίρετο μετρικό χώρο \mathcal{A} . Πράγματι, χρειάζεται απλώς να αντικαταστήσουμε την απόλυτη διαφορά $|a_r - a^*|$ με τη μετρική $d(a_r, a^*)$. Σημείωση ότι μία ακολουθία μπορεί να συγκλίνει μόνο αν είναι μία ακολουθία Cauchy [2]. Ωστόσο, δε συγκλίνει κάθε ακολουθία Cauchy, εκτός αν ο υποκείμενος μετρικός χώρος είναι πλήρης.

Βλέπε επίσης: ακολουθία, μετρικός χώρος, μετρική, ακολουθία Cauchy.

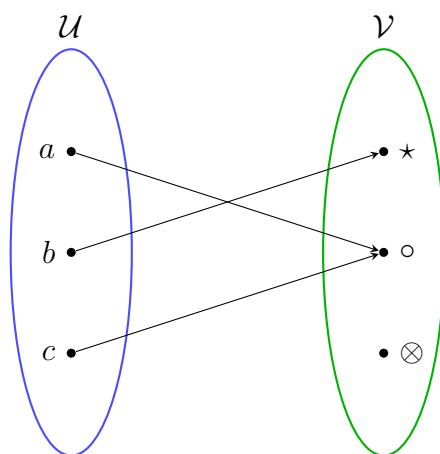
συμμετρικός πίνακας A symmetric πίνακας is a square ...

συνάρτηση Μία συνάρτηση (function) μεταξύ δύο συνόλων \mathcal{U} και \mathcal{V} αποδίδει σε κάθε στοιχείο $u \in \mathcal{U}$ ακριβώς ένα στοιχείο $f(u) \in \mathcal{V}$ [2]. Το γράφουμε

αυτό ως

$$f : \mathcal{U} \rightarrow \mathcal{V} : u \mapsto f(u),$$

όπου \mathcal{U} είναι το πεδίο και \mathcal{V} το πεδίο τιμών της f . Για την ακρίβεια, η συνάρτηση f ορίζει μία μοναδική έξοδο $f(u) \in \mathcal{V}$ για κάθε είσοδο $u \in \mathcal{U}$ (βλέπε Σχ. 12).

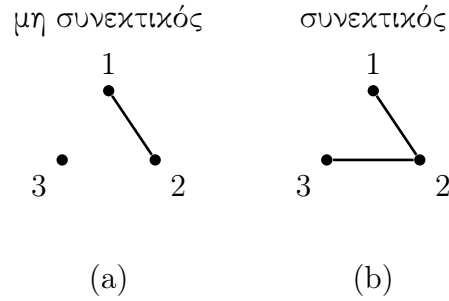


Σχ. 12. Μία συνάρτηση $f : \mathcal{U} \rightarrow \mathcal{V}$ που αντιστοιχίζει κάθε στοιχείο του πεδίου $\mathcal{U} = \{a, b, c\}$ σε ακριβώς ένα στοιχείο του πεδίου τιμών $\mathcal{V} = \{\star, o, \otimes\}$.

Βλέπε επίσης: domain, co-domain, output.

συνάρτηση μάζας πιθανότητας The pmf of a discrete RV x is a ...

συνεκτικός Ένας μη κατευθυνόμενος γράφος $\mathcal{G} = (\mathcal{V}, \mathcal{E})$ είναι συνεκτικός αν, για κάθε μη κενό υποσύνολο $\mathcal{V}' \subset \mathcal{V}$, μπορούμε να βρούμε τουλάχιστον μία ακμή που συνδέει έναν κόμβο στο \mathcal{V}' με κάποιον κόμβο στο $\mathcal{V} \setminus \mathcal{V}'$. Παρουσιάζουμε δύο παραδείγματα μη κατευθυνόμενων γράφων στο Σχ. 13.



Σχ. 13. (a) Ένας γράφος που είναι μη συνεκτικός. (b) Ένας γράφος που είναι συνεκτικός.

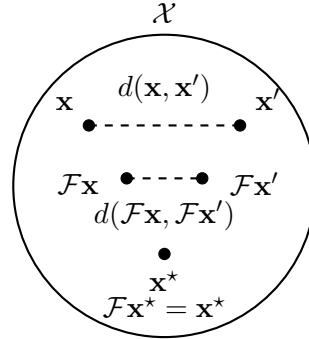
Βλέπε επίσης: μη κατευθυνόμενος γράφος, graph, αλγεβρική συνεκτικότητα.

συνεχής A συνάρτηση $f : \mathbb{R}^d \rightarrow \mathbb{R}$ is continuous ...

συστολικός τελεστής Ένας τελεστής $\mathcal{F} : \mathbb{R}^d \rightarrow \mathbb{R}^d$ λέγεται συστολή (ή συστολικός (contractive operator)) αν, για κάποιον $\kappa \in [0, 1)$, [36], [37]

$$\|\mathcal{F}\mathbf{w} - \mathcal{F}\mathbf{w}'\|_2 \leq \kappa \|\mathbf{w} - \mathbf{w}'\|_2 \quad \text{ισχύει για κάθε } \mathbf{w}, \mathbf{w}' \in \mathbb{R}^d.$$

Η έννοια του συστολικού τελεστή γενικεύει φυσικά από \mathbb{R}^d σε αυθαίρετους μετρικούς χώρους [36].



Σχ. 14. Ένας συστολικός τελεστής $\mathcal{F} : \mathcal{X} \rightarrow \mathcal{X}$ έχει ένα μοναδικό σταθερό σημείο \mathbf{x}^* με $\mathcal{F}\mathbf{x}^* = \mathbf{x}^*$. Για οποιαδήποτε δύο σημεία \mathbf{x}, \mathbf{x}' στον ίδιο χώρο, η απόσταση μεταξύ των εικόνων τους $\mathcal{F}\mathbf{x}$ και $\mathcal{F}\mathbf{x}'$ είναι αυστηρά μικρότερη.

Ενστικτωδώς, ένας συστολικός τελεστής φέρνει οποιαδήποτε δύο σημεία από το πεδίο του πιο κοντά μεταξύ τους τουλάχιστον κατά έναν παράγοντα κ .

Βλέπε επίσης: τελεστής, μετρικός χώρος, σταθερό σημείο, domain.

τάξη The rank of a πίνακας ...

τελεστής Ένας τελεστής (operator) είναι μία συνάρτηση της οποίας το πεδίο και το πεδίο τιμών διαθέτουν μία συγκεκριμένη μαθηματική δομή, όπως έναν διανυσματικό χώρο, έναν χώρο Hilbert, ή έναν μετρικό χώρο [38], [39]. Πολλές μέθοδοι μηχανικής μάθησης περιλαμβάνουν τελεστές των οποίων το πεδίο και το πεδίο τιμών είναι Ευκλείδειοι χώροι.

Βλέπε επίσης: συνάρτηση, domain, co-domain, διανυσματικός χώρος, χώρος Hilbert, μετρικός χώρος, ml, Ευκλείδειος χώρος.

τυχαία μεταβλητή Μία τυχαία μεταβλητή (random variable - RV) είναι μία συνάρτηση που αντιστοιχίζει τα αποτελέσματα ενός τυχαίου πειράματος σε έναν χώρο τιμών [6], [31]. Από μαθηματικής άποψης, μία τυχαία

μεταβλητή είναι μία συνάρτηση $x : \Omega \rightarrow \mathcal{X}$ που ορίζεται πάνω στον δειγματικό χώρο Ω ενός χώρου πιθανοτήτων. Διαφορετικοί τύποι τυχαίων μεταβλητών περιλαμβάνουν

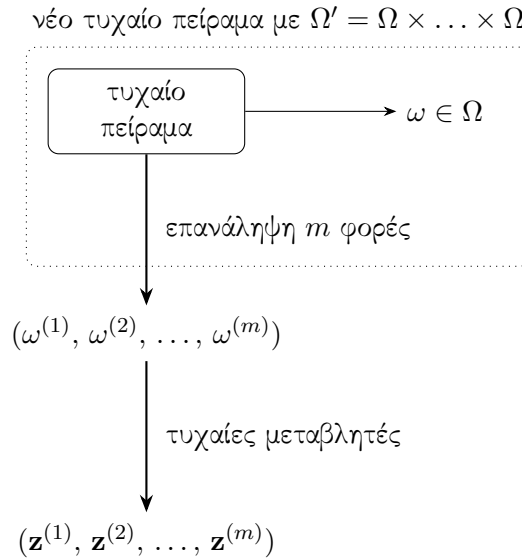
- δυαδικές τυχαίες μεταβλητές, οι οποίες αντιστοιχούν κάθε αποτέλεσμα σε ένα στοιχείο ενός δυαδικού συνόλου (π.χ. $\{-1, 1\}$ ή $\{\text{γάτα}, \text{όχι γάτα}\}$).
- τυχαίες μεταβλητές πραγματικής τιμής, οι οποίες παίρνουν τιμές στους πραγματικούς αριθμούς \mathbb{R} .
- τυχαίες μεταβλητές διανυσματικής τιμής, οι οποίες αντιστοιχούν αποτελέσματα στον Ευκλείδειο χώρο \mathbb{R}^d .

Η θεωρία πιθανοτήτων χρησιμοποιεί την έννοια των μετρήσιμων χώρων για να ορίσει ενδελεχώς και να μελετήσει τις ιδιότητες συλλογών τυχαίων μεταβλητών [6].

Βλέπε επίσης: συνάρτηση, τυχαίο πείραμα, δειγματικός χώρος, χώρος πιθανοτήτων, διάνυσμα, Ευκλείδειος χώρος, probability, μετρήσιμο.

τυχαίο πείραμα Ένα τυχαίο πείραμα είναι μία φυσική (ή αφηρημένη) διαδικασία που παράγει ένα αποτέλεσμα ω από ένα σύνολο πιθανοτήτων Ω . Αυτό το σύνολο όλων των πιθανών αποτελεσμάτων αναφέρεται ως ο δειγματικός χώρος του πειράματος. Το βασικότερο χαρακτηριστικό ενός τυχαίου πειράματος είναι ότι το αποτέλεσμά του είναι απρόβλεπτο (ή αβέβαιο). Οποιαδήποτε μέτρηση ή παρατήρηση του αποτελέσματος είναι μία τυχαία μεταβλητή, δηλαδή μία συνάρτηση του αποτελέσματος $\omega \in \Omega$. Η θεωρία πιθανοτήτων χρησιμοποιεί έναν χώρο πιθανοτήτων ως μία μαθηματική δομή για τη μελέτη τυχαίων πειραμάτων. Μία κύρια εννοιολογική ιδιότητα

ενός τυχαίου πειράματος είναι ότι μπορεί να επαναληφθεί υπό ταυτόσημες συνθήκες. Αυστηρά μιλώντας, η επανάληψη ενός τυχαίου πειράματος έναν δεδομένο αριθμό m φορές ορίζει ένα νέο τυχαίο πείραμα. Τα αποτελέσματα αυτού του νέου πειράματος είναι ακολουθίες μήκους m αποτελεσμάτων από το αρχικό πείραμα (βλέπε Σχ. 15). Ενώ το αποτέλεσμα ενός μοναδικού πειράματος είναι αβέβαιο, η μακροπρόθεσμη συμπεριφορά των αποτελεσμάτων επαναλαμβανόμενων πειραμάτων τείνει να γίνεται ολοένα και περισσότερο προβλέψιμη. Αυτός ο ανεπίσημος ισχυρισμός μπορεί να γίνει ακριβής μέσω θεμελιωδών αποτελεσμάτων της θεωρίας πιθανοτήτων, όπως ο νόμος των μεγάλων αριθμών και το κεντρικό οριακό θεώρημα.



Σχ. 15. Ένα τυχαίο πείραμα παράγει ένα αποτέλεσμα $\omega \in \Omega$ από ένα σύνολο πιθανοτήτων (ή δειγματικό χώρο) Ω . Η επανάληψη του πειράματος m φορές αποφέρει ένα άλλο τυχαίο πείραμα, του οποίου τα αποτελέσματα είναι ακολουθίες $(\omega^{(1)}, \omega^{(2)}, \dots, \omega^{(m)}) \in \Omega \times \dots \times \Omega$. Ένα παράδειγμα τυχαίου πειράματος που προκύπτει σε πολλές εφαρμογές μηχανικής μάθησης είναι η συγκέντρωση ενός συνόλου εκπαίδευσης $\mathbf{z}^{(1)}, \dots, \mathbf{z}^{(m)}$.

Παραδείγματα τυχαίων πειραμάτων που προκύπτουν σε εφαρμογές μηχανικής μάθησης περιλαμβάνουν τα εξής:

- Συλλογή δεδομένων: Τα σημεία δεδομένων που συλλέγονται σε μεθόδους βασισμένες στην εμπειρική ελαχιστοποίηση διακινδύνευσης μπορούν να ερμηνευτούν ως τυχαίες μεταβλητές, δηλαδή ως συναρτήσεις του αποτελέσματος $\omega \in \Omega$ ενός τυχαίου πειράματος.
- Η στοχαστική κάθοδος κλίσης χρησιμοποιεί ένα τυχαίο πείραμα σε κάθε επανάληψη για την επιλογή ενός υποσυνόλου του συνόλου εκπαίδευσης.
- Οι μέθοδοι προστασίας της ιδιωτικότητας χρησιμοποιούν τυχαία πειράματα για να παραγάγουν θόρυβο που προστίθεται στις εξόδους μίας μεθόδου μηχανικής μάθησης για να εξασφαλιστεί η διαφορική ιδιωτικότητα.

Βλέπε επίσης: δειγματικός χώρος, τυχαία μεταβλητή, συνάρτηση, probability, χώρος πιθανοτήτων, νόμος των μεγάλων αριθμών, κεντρικό οριακό θεώρημα, δειγματικός χώρος, ml, σύνολο εκπαίδευσης, δεδομένα, data point, εμπειρική ελαχιστοποίηση διακινδύνευσης, στοχαστική κάθοδος κλίσης, προστασία της ιδιωτικότητας, διαφορική ιδιωτικότητα.

υπό συνθήκη κατανομή πιθανότητας Θεωρούμε μία στοχαστική διαδικασία που αποτελείται από δύο τυχαίες μεταβλητές x και y με κατανομή πιθανότητας $\mathbb{P}^{(x,y)}$. Η υπό συνθήκη κατανομή πιθανότητας της y δεδομένης (ή υπό τον όρο) της x δηλώνεται με $\mathbb{P}^{(y|x)}$. Ορίζεται μέσω των υπό συνθήκη προσδοκιών των συναρτήσεων-δεικτών μετρήσιμων συνόλων στη σ -άλγεβρα που παράγεται από την τυχαία μεταβλητή y [6], [40].

Βλέπε επίσης: στοχαστική διαδικασία, τυχαία μεταβλητή, κατανομή πιθανότητας, conditional expectation, συνάρτηση, μετρήσιμο, σ -algebra.

conditional expectation Consider a ...

See also: TBC.

υποχώρος A subset of a ...

See also: TBC.

φράγμα Chernoff The Chernoff bound is a ...

χαρακτηριστική συνάρτηση Η χαρακτηριστική συνάρτηση μίας τυχαίας μεταβλητής πραγματικής τιμής x είναι η συνάρτηση [6, Sec. 26]

$$\phi_x(t) := \mathbb{E} \exp(jtx) \text{ με } j = \sqrt{-1}.$$

Η χαρακτηριστική συνάρτηση προσδιορίζει μοναδικά την κατανομή πιθανότητας της x .

Βλέπε επίσης: συνάρτηση, τυχαία μεταβλητή, κατανομή πιθανότητας.

χώρος καταστάσεων Ο χώρος καταστάσεων (state space) ενός συστήματος αποτελείται από όλες τις πιθανές καταστάσεις του συστήματος σε οποιαδήποτε χρονική στιγμή.

Βλέπε επίσης: κατάσταση, διάνυσμα χαρακτηριστικών, υπόθεση, ενέργεια.

χώρος μέτρου Ένας χώρος μέτρου (measure space) είναι μία τριάδα (Ω, Σ, μ) που αποτελείται από ένα σύνολο Ω , μία σ -άλγεβρα Σ υποσυνόλων του Ω ,

και ένα μέτρο $\mu : \Sigma \rightarrow [0, \infty)$. Το μέτρο μ αποδίδει έναν μη αρνητικό αριθμό σε κάθε μετρήσιμο σύνολο $\mathcal{A} \in \Sigma$, γενικεύοντας τις έννοιες του μήκους, του εμβαδού, ή του όγκου σε Ευκλείδειους χώρους [2], [41]. Οι χώροι μέτρου παρέχουν τη μαθηματική θεμελίωση για το ολοκλήρωμα Lebesgue ή για τον ορισμό τυχαίων μεταβλητών ως μετρήσιμων αντιστοιχίσεων μεταξύ χώρων μέτρου. Ένας χώρος πιθανοτήτων είναι μία ειδική περίπτωση χώρου μέτρου όπου το συνολικό μέτρο του δειγματικού χώρου κανονικοποιείται στη μονάδα, δηλαδή $\mu(\Omega) = 1$. Σε αυτή την περίπτωση, το μ λέγεται κατανομή πιθανότητας.

Βλέπε επίσης: μέτρο, σ -algebra, μετρήσιμο, Ευκλείδειος χώρος, ολοκλήρωμα Lebesgue, τυχαία μεταβλητή, χώρος πιθανοτήτων, δειγματικός χώρος, κατανομή πιθανότητας.

χώρος πιθανοτήτων Ένας χώρος πιθανοτήτων είναι μία μαθηματική δομή που μας επιτρέπει να συλλογιστούμε για ένα τυχαίο πείραμα, π.χ. την παρατήρηση ενός φυσικού φαινομένου. Τυπικά, ένας χώρος πιθανοτήτων \mathcal{P} είναι μία τριάδα $(\Omega, \mathcal{F}, \mathbb{P}(\cdot))$, όπου

- Ω είναι ένας δειγματικός χώρος που περιλαμβάνει όλα τα πιθανά αποτελέσματα ενός τυχαίου πειράματος.
- \mathcal{F} είναι μία σ -άλγεβρα, δηλαδή μία συλλογή υποσυνόλων του Ω (που ονομάζονται γεγονότα) που ικανοποιεί ορισμένες ιδιότητες κλειστότητας υπό ένα σύνολο πράξεων.
- $\mathbb{P}(\cdot)$ είναι μία κατανομή πιθανότητας, δηλαδή μία συνάρτηση που αποδίδει μία πιθανότητα $P(\mathcal{A}) \in [0, 1]$ σε κάθε γεγονός $\mathcal{A} \in \mathcal{F}$. Αυτή η συνάρτηση πρέπει να ικανοποιεί $\mathbb{P}(\Omega) = 1$ και $\mathbb{P}(\bigcup_{i=1}^{\infty} \mathcal{A}_i) =$

$\sum_{i=1}^{\infty} \mathbb{P}(\mathcal{A}_i)$ για οποιαδήποτε μετρήσιμη ακολουθία κατά ζεύγη ξένων γεγονότων $\mathcal{A}_1, \mathcal{A}_2, \dots$ στο \mathcal{F} .

Οι χώροι πιθανοτήτων παρέχουν τη θεμελίωση των πιθανοτικών μοντέλων που μπορούν να χρησιμοποιηθούν για να μελετηθεί η συμπεριφορά των μεθόδων μηχανικής μάθησης [6], [31], [42].

Βλέπε επίσης: probability, τυχαίο πείραμα, δειγματικός χώρος, γεγονός, κατανομή πιθανότητας, συνάρτηση, πιθανοτικό μοντέλο, ml.

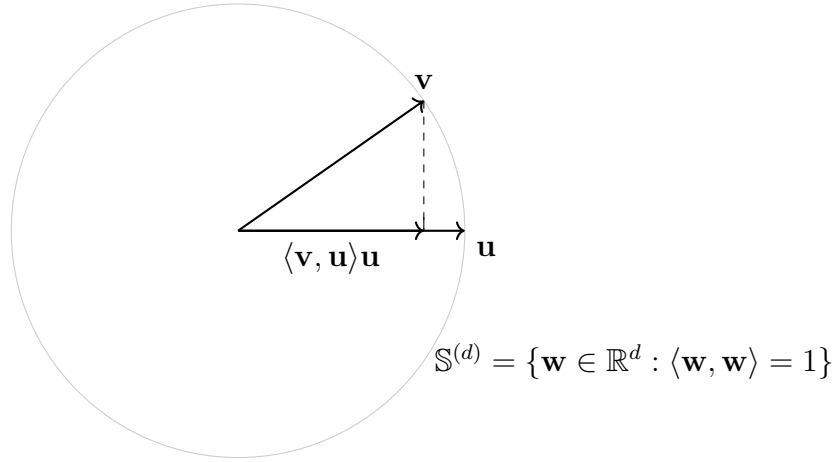
χώρος στηλών Ο χώρος στηλών (column space) ενός πίνακα $\mathbf{A} \in \mathbb{R}^{m \times d}$, που δηλώνεται με $\text{span}(\mathbf{A})$, είναι το σύνολο όλων των γραμμικών συνδυασμών των στηλών του \mathbf{A} . Με άλλα λόγια,

$$\text{span}(\mathbf{A}) = \{\mathbf{A}\mathbf{w} : \mathbf{w} \in \mathbb{R}^d\}.$$

Ο χώρος στηλών $\text{span}(\mathbf{A})$ του πίνακα \mathbf{A} είναι ένας υποχώρος του Ευκλείδειου χώρου \mathbb{R}^m .

Βλέπε επίσης: πίνακας, subspace, Ευκλείδειος χώρος, διανυσματικός χώρος.

χώρος Hilbert Ένας χώρος Hilbert (Hilbert space) \mathcal{H} είναι ένας πλήρης χώρος με εσωτερικό γινόμενο [43]. Επομένως, ο \mathcal{H} είναι ένας διανυσματικός χώρος εξοπλισμένος με ένα εσωτερικό γινόμενο. Το εσωτερικό γινόμενο επάγει μία νόρμα $\|\cdot\|_2$ μέσω $\|\mathbf{w}\|_2 = \sqrt{\langle \mathbf{w}, \mathbf{w} \rangle}$. Επιπλέον, ο \mathcal{H} είναι πλήρης, με την έννοια ότι κάθε ακολουθία Cauchy $(\mathbf{w}^{(r)})_{r \in \mathbb{N}}$ στον \mathcal{H} συγκλίνει σε ένα όριο $\lim_{r \rightarrow \infty} \mathbf{w}^{(r)}$ που επίσης περιέχεται στον \mathcal{H} .



Σχ. 16. Για δύο διανύσματα μοναδιαίας νόρμας $\mathbf{u}, \mathbf{v} \in \mathbb{S}^{(d)} \subseteq \mathbb{R}^d$, το εσωτερικό γινόμενο $\langle \mathbf{u}, \mathbf{v} \rangle$ είναι ο συντελεστής αναπτύγματος για την προβολή του \mathbf{v} στον υποχώρο $\{c\mathbf{u} : c \in \mathbb{R}\}$ παραγόμενος από το \mathbf{u} . Η απόλυτη τιμή $|\langle \mathbf{u}, \mathbf{v} \rangle|$ μετράει τη νόρμα αυτής της προβολής.

Ένα σημαντικό παράδειγμα χώρου Hilbert είναι ο Ευκλείδειος χώρος \mathbb{R}^d με το εσωτερικό γινόμενο $\langle \mathbf{w}, \mathbf{w}' \rangle = \mathbf{w}^\top \mathbf{w}'$.

Βλέπε επίσης: εσωτερικό γινόμενο, διανυσματικός χώρος, νόρμα, ακολουθία Cauchy, διάνυσμα, προβολή, subspace, Ευκλείδειος χώρος.

ψευδοαντίστροφος Ο ψευδοαντίστροφος (pseudoinverse) Moore–Penrose \mathbf{A}^+ ενός πίνακα $\mathbf{X} \in \mathbb{R}^{m \times d}$ γενικεύει την έννοια ενός αντίστροφου πίνακα [3]. Ο ψευδοαντίστροφος ανακύπτει φυσικά στην αμφικλινή παλινδρόμηση για ένα σύνολο δεδομένων με πίνακα χαρακτηριστικών \mathbf{X} και διάνυσμα ετικετών \mathbf{y} [44, Κεφ. 3]. Οι παράμετροι μοντέλου που μαθαίνονται μέσω της αμφικλινούς παλινδρόμησης δίνονται από

$$\hat{\mathbf{w}}^{(\alpha)} = (\mathbf{X}^\top \mathbf{X} + \alpha \mathbf{I})^{-1} \mathbf{X}^\top \mathbf{y}, \quad \alpha > 0.$$

Μπορούμε τότε να ορίσουμε τον ψευδοαντίστροφο $\mathbf{X}^+ \in \mathbb{R}^{d \times m}$ μέσω του ορίου [45, Κεφ. 3]:

$$\lim_{\alpha \rightarrow 0^+} \hat{\mathbf{w}}^{(\alpha)} = \mathbf{X}^+ \mathbf{y}.$$

Βλέπε επίσης: πίνακας, αντίστροφος πίνακας, αμφικλινής παλινδρόμηση, σύνολο δεδομένων, πίνακας χαρακτηριστικών, διάνυσμα ετικετών, model parameters.

moment generating function (MGF) Consider the MGF ...

See also: TBC.

standard normal random vector A standard normal random διάνυσμα is a random διάνυσμα $\mathbf{x} = (x_1, \dots, x_d)^T$ whose entries are ανεξάρτητες και ταυτόσημα κατανεμημένες Gaussian RVs $x_j \sim \mathcal{N}(0, 1)$. It is a special case of a πολυμεταβλητή κανονική κατανομή, $\mathbf{x} \sim (\mathbf{0}, \mathbf{I})$.

See also: διάνυσμα, ανεξάρτητες και ταυτόσημα κατανεμημένες, Gaussian RV, πολυμεταβλητή κανονική κατανομή, τυχαία μεταβλητή.

expectation–maximization (EM) The EM

probabilistic principal component analysis (PPCA) PPCA extends basic ανάλυση κύριων συνιστωσών by using a πιθανοτικό μοντέλο for data points. The πιθανοτικό μοντέλο of PPCA frames the task of μείωση της διαστασιμότητας as an estimation problem that can be solved using expectation–maximization (EM) [46].

See also: principal component analysis, πιθανοτικό μοντέλο, μείωση της διαστασιμότητας, EM.

Markov chain A Markov chain is a ...

Lagrangian Consider a constrained ...

tall matrix A πίνακας ...

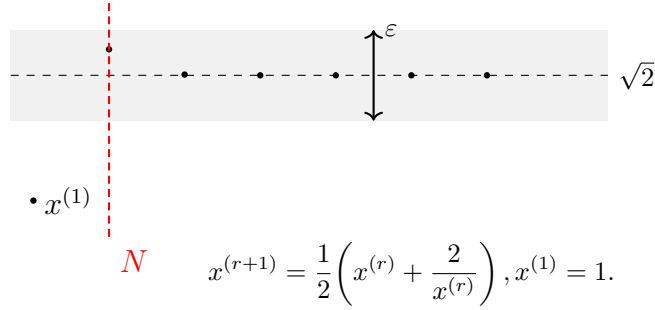
σ -field See σ -algebra.

Gaussian See Gaussian RV.

ακολουθία Cauchy Μία ακολουθία Cauchy είναι μία ακολουθία $(\mathbf{x}^{(r)})_{r \in \mathbb{N}}$ σε έναν μετρικό χώρο $(\mathcal{X}, d(\cdot, \cdot))$, έτσι ώστε τα στοιχεία $\mathbf{x}^{(r)} \in \mathcal{X}$ γίνονται τελικά αυθαίρετα κοντινά το ένα στο άλλο. Με άλλα λόγια, [2, Def. 3.8],

$$\forall \epsilon > 0, \exists N \in \mathbb{N} \text{ έτσι ώστε } \forall r, r' \geq N, d(\mathbf{x}^{(r)}, \mathbf{x}^{(r')}) < \epsilon.$$

Το Σχ. 17 δείχνει μία ακολουθία Cauchy στον μετρικό χώρο $(\mathbb{Q}, |\cdot|)$ ρητών αριθμών.



Σχ. 17. Μία ακολουθία Cauchy $(x^{(r)})_{r \in \mathbb{N}}$ στον μετρικό χώρο $(\mathbb{Q}, |\cdot|)$. Αυτή η ακολουθία παράγεται από μία επανάληψη σταθερού σημείου που χρησιμοποιείται για την προσέγγιση του $\sqrt{2}$. Για όλα τα $r \geq N$, τα στοιχεία της ακολουθίας βρίσκονται εντός μίας ζώνης πλάτους ε . Σημείωση ότι η ακολουθία δεν συγχλίνει στον \mathbb{Q} , εφόσον $\sqrt{2} \notin \mathbb{Q}$ [2, Παράδειγμα 1.1].

Βλέπε επίσης: ακολουθία, μετρικός χώρος, επανάληψη σταθερού σημείου.

απεικόνιση Χρησιμοποιούμε τον όρο απεικόνιση (map) ως συνώνυμο της συνάρτησης.

Βλέπε επίσης: συνάρτηση.

γραμμική απεικόνιση A linear απεικόνιση $f : \mathbb{R}^d \rightarrow \mathbb{R}^m$ is a συνάρτηση that satisfies additivity, i.e., $f(\mathbf{x} + \mathbf{y}) = f(\mathbf{x}) + f(\mathbf{y})$, and homogeneity, i.e., $f(c\mathbf{x}) = cf(\mathbf{x})$, for all διάνυσμας $\mathbf{x}, \mathbf{y} \in \mathbb{R}^d$ and scalars $c \in \mathbb{R}$. In particular, $f(\mathbf{0}) = \mathbf{0}$. Any linear απεικόνιση can be represented as a πίνακας multiplication $f(\mathbf{x}) = \mathbf{A}\mathbf{x}$ for some πίνακας $\mathbf{A} \in \mathbb{R}^{m \times n}$. The collection of real-valued linear απεικονίσης (where $m = 1$), for a given dimension d , constitutes a γραμμικό μοντέλο. The notion of a linear απεικόνιση can be generalized from the domain \mathbb{R}^d and co-domain \mathbb{R}^m to arbitrary διανυσματικός χώρος.

See also: απεικόνιση, συνάρτηση, διάνυσμα, πίνακας, γραμμικό μοντέλο.

εμπειρική κατανομή Consider a ...

See also: TBC.

κυρτή βελτιστοποίηση TBD.

μερική παράγωγος Consider a ...

See also: TBC.

ορίζουσα Η ορίζουσα $\det(\mathbf{A})$ ενός τετραγωνικού πίνακα $\mathbf{A} = (\mathbf{a}^{(1)}, \dots, \mathbf{a}^{(d)}) \in \mathbb{R}^{d \times d}$ είναι μία συνάρτηση των στηλών του $\mathbf{a}^{(1)}, \dots, \mathbf{a}^{(d)} \in \mathbb{R}^d$, δηλαδή πληροί τις ακόλουθες ιδιότητες [47]:

- Κανονικοποιημένη:

$$\det(\mathbf{I}) = 1$$

- Πολυγραμμική:

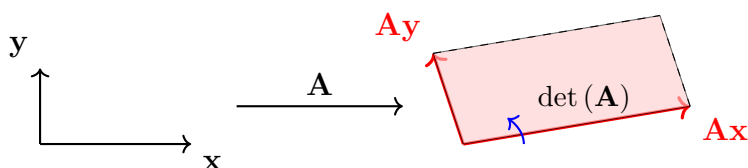
$$\begin{aligned} \det(\mathbf{a}^{(1)}, \dots, \alpha \mathbf{u} + \beta \mathbf{v}, \dots, \mathbf{a}^{(d)}) &= \alpha \det(\mathbf{a}^{(1)}, \dots, \mathbf{u}, \dots, \mathbf{a}^{(d)}) \\ &\quad + \beta \det(\mathbf{a}^{(1)}, \dots, \mathbf{v}, \dots, \mathbf{a}^{(d)}) \end{aligned}$$

- Αντισυμμετρική:

$$\det(\dots, \mathbf{a}^{(j)}, \dots, \mathbf{a}^{(j')}, \dots) = -\det(\dots, \mathbf{a}^{(j')}, \dots, \mathbf{a}^{(j)}, \dots).$$

Μπορούμε να ερμηνεύσουμε έναν πίνακα \mathbf{A} ως έναν γραμμικό μετασχηματισμό στον \mathbb{R}^d . Η ορίζουσα $\det(\mathbf{A})$ χαρακτηρίζει πώς οι όγκοι στον \mathbb{R}^d (και ο προσανατολισμός τους) μεταβάλλονται από αυτόν τον μετασχηματισμό (βλέπε Σχ. 18) [3], [12]. Συγκεκριμένα, $\det(\mathbf{A}) > 0$

διατηρεί τον προσανατολισμό, $\det(\mathbf{A}) < 0$ αντιστρέφει τον προσανατολισμό, και $\det(\mathbf{A}) = 0$ συρρικνώνει πλήρως τον όγκο, υποδεικνύοντας ότι ο \mathbf{A} είναι μη αντιστρέψιμος. Η ορίζουσα ικανοποιεί επίσης $\det(\mathbf{AB}) = \det(\mathbf{A}) \cdot \det(\mathbf{B})$, και αν ο \mathbf{A} είναι διαγωνοποιήσιμος με ιδιοτιμές $\lambda_1, \dots, \lambda_d$, τότε $\det(\mathbf{A}) = \prod_{j=1}^d \lambda_j$ [48]. Για τις ειδικές περιπτώσεις $d = 2$ (δηλαδή δισδιάστατη ή 2-Δ) και $d = 3$ (δηλαδή τρισδιάστατη ή 3-Δ), η ορίζουσα μπορεί να ερμηνευτεί ως ένα προσανατολισμένο εμβαδόν ή όγκος παραγόμενος από τα διανύσματα στηλών του \mathbf{A} .



Σχ. 18. Μπορούμε να ερμηνεύσουμε έναν τετραγωνικό πίνακα \mathbf{A} ως έναν γραμμικό μετασχηματισμό του \mathbb{R}^d στον εαυτό του. Η ορίζουσα $\det(\mathbf{A})$ χαρακτηρίζει πώς αυτός ο μετασχηματισμός μεταβάλλει έναν προσανατολισμένο όγκο.

Βλέπε επίσης: πίνακας, συνάρτηση, ιδιοτιμή, διάνυσμα, αντίστροφος πίνακας.

όριο Consider a subset ...

πρόβλημα βελτιστοποίησης Ένα πρόβλημα βελτιστοποίησης (optimization problem) είναι μία μαθηματική δομή που αποτελείται από μία αντικειμενική συνάρτηση $f : \mathcal{U} \rightarrow \mathcal{V}$ ορισμένη πάνω σε μία μεταβλητή βελτιστοποίησης $\mathbf{w} \in \mathcal{U}$, μαζί με ένα εφικτό σύνολο $\mathcal{W} \subseteq \mathcal{U}$. Το πεδίο τιμών \mathcal{V} θεωρείται ότι είναι διατεταγμένο, που σημαίνει ότι για οποιαδήποτε δύο στοιχεία $\mathbf{a}, \mathbf{b} \in \mathcal{V}$, μπορούμε να καθορίσουμε αν $\mathbf{a} < \mathbf{b}$, $\mathbf{a} = \mathbf{b}$, ή $\mathbf{a} > \mathbf{b}$.

Ο στόχος της βελτιστοποίησης είναι να βρούμε εκείνες τις τιμές $\mathbf{w} \in \mathcal{W}$ για τις οποίες η αντικειμενική $f(\mathbf{w})$ είναι ακρότατη—δηλαδή ελάχιστη ή μέγιστη [24], [19], [25].

Βλέπε επίσης: αντικειμενική συνάρτηση.

Newton’s method Newton’s method is an iterative μέθοδος βελτιστοποίησης for finding local ελάχιστος or maximums of a παραγωγίσιμη αντικειμενική συνάρτηση $f(\mathbf{w})$. Like μέθοδος με βάση την κλίσης, Newton’s method also computes a new estimate $\hat{\mathbf{w}}_{t+1}$ by optimizing a local approximation of $f(\mathbf{w})$ around the current estimate $\hat{\mathbf{w}}_t$. In contrast to μέθοδος με βάση την κλίσης, which use the gradient to build a local linear approximation, Newton’s method uses the Εσσιανός πίνακας to build a local quadratic approximation. In particular, starting from an initial estimate $\hat{\mathbf{w}}_0$, Newton’s method iteratively updates the estimate according to

$$\hat{\mathbf{w}}_{t+1} = \hat{\mathbf{w}}_t - (\nabla^2 f(\hat{\mathbf{w}}_t))^{-1} \nabla f(\hat{\mathbf{w}}_t), \text{ for } t = 0, 1, \dots$$

Here, $\nabla f(\hat{\mathbf{w}}_t)$ is the gradient, and $\nabla^2 f(\mathbf{w}^{(t)})$ is the Εσσιανός of the αντικειμενική συνάρτηση f . Since using a τετραγωνική συνάρτηση as local approximation is more accurate than using a linear συνάρτηση (which is a special case of a τετραγωνική συνάρτηση), Newton’s method tends to converge faster than μέθοδος με βάση την κλίσης (see Fig. 19). However, this faster σύγκλιση comes at the increased computational complexity of the iterations. Indeed, each iteration of Newton’s method requires the inversion of the Εσσιανός.

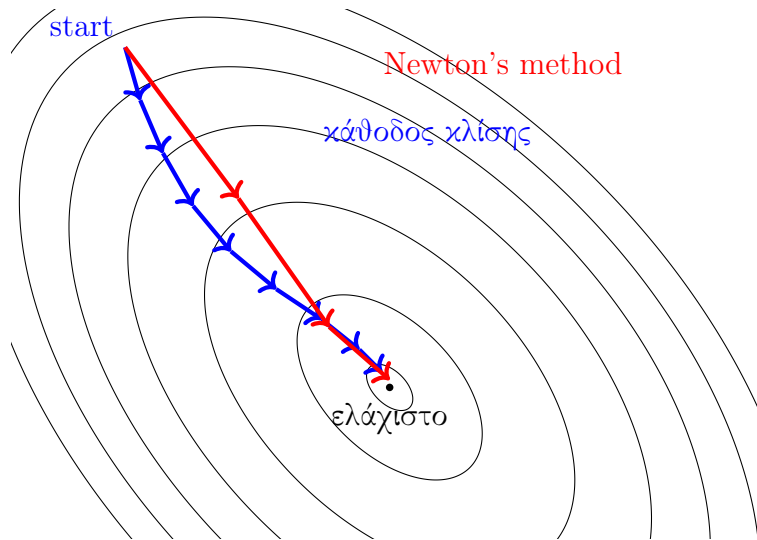


Fig. 19. Comparison of $\kappa\acute{\alpha}\theta\omicron\delta\omicron\varsigma\ \kappa\lambda\acute{\iota}\sigma\eta\varsigma$ (blue) and Newton's method (red) paths toward the $\epsilon\lambda\acute{\alpha}\chi\iota\sigma\tau\omicron$ of a συνάρτηση απώλειας.

Βλέπε επίσης: μέθοδος βελτιστοποίησης, $\epsilon\lambda\acute{\alpha}\chi\iota\sigma\tau\omicron$, maximum, παραγωγίσιμη, αντικειμενική συνάρτηση, μέθοδος με βάση την κλίση, gradient, Εσσιανός, πίνακας, τετραγωνική συνάρτηση, συνάρτηση, σύγκλιση, $\kappa\acute{\alpha}\theta\omicron\delta\omicron\varsigma\ \kappa\lambda\acute{\iota}\sigma\eta\varsigma$, $\epsilon\lambda\acute{\alpha}\chi\iota\sigma\tau\omicron$, συνάρτηση απώλειας.

probability simplex The ...

See also: TBC.

Έννοιες Μηχανικής Μάθησης

base learner A base learner is an ml method that is part of an σύνολο method.

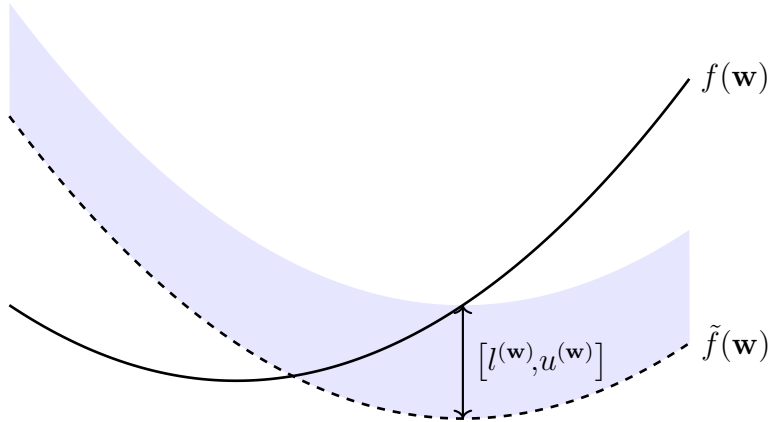
See also: σύνολο, bagging (or bootstrap aggregation), stacking, boosting.

αβεβαιότητα Στο πλαίσιο της μηχανικής μάθησης, η αβεβαιότητα αναφέρεται στην παρουσία πολλαπλών εύλογων αποτελεσμάτων ή εξηγήσεων με βάση τα διαθέσιμα δεδομένα. Για παράδειγμα, η πρόβλεψη $\hat{h}(\mathbf{x})$ που παράγεται από ένα εκπαιδευμένο μοντέλο μηχανικής μάθησης \hat{h} συχνά ανταναχλά ένα πεδίο πιθανών τιμών για την αληθή ετικέτα ενός συγκεκριμένου σημείου δεδομένων. Όσο πιο ευρύ το πεδίο, τόσο μεγαλύτερη η σχετική αβεβαιότητα. Η θεωρία πιθανοτήτων μας επιτρέπει να αναπαριστούμε, να ποσοτικοποιούμε, και να συλλογιστούμε για την αβεβαιότητα με έναν μαθηματικά ενδεδειγμένο τρόπο.

Βλέπε επίσης: ml, εξήγηση, data, πρόβλεψη, model, ετικέτα, data point, probability, πιθανοτικό μοντέλο, διακινδύνευση, εντροπία, διακύμανση.

αισιοδοξία παρά την αβεβαιότητα Οι μέθοδοι μηχανικής μάθησης μαθαίνουν παραμέτρους μοντέλου \mathbf{w} σύμφωνα με κάποιο κριτήριο επίδοσης $\bar{f}(\mathbf{w})$. Ωστόσο, δεν μπορούν να έχουν άμεση πρόσβαση στο $\bar{f}(\mathbf{w})$, αλλά βασίζονται σε μία εκτίμηση (ή προσέγγιση) $f(\mathbf{w})$ του $\bar{f}(\mathbf{w})$. Ως ένα χαρακτηριστικό παράδειγμα, οι μέθοδοι βασιμμένες στην εμπειρική ελαχιστοποίηση διακινδύνευσης χρησιμοποιούν τη μέση απώλεια σε ένα συγκεκριμένο σύνολο δεδομένων (δηλαδή το σύνολο εκπαίδευσης) ως μία εκτίμηση για τη διακινδύνευση μίας υπόθεσης. Χρησιμοποιώντας ένα πιθανοτικό μοντέλο, μπορεί κανείς να κατασκευάσει ένα διάστημα εμπι-

στοσύνης $[l^{(\mathbf{w})}, u^{(\mathbf{w})}]$ για κάθε επιλογή \mathbf{w} για τις παραμέτρους μοντέλου. Μία απλή κατασκευή είναι $l^{(\mathbf{w})} := f(\mathbf{w}) - \sigma/2$, $u^{(\mathbf{w})} := f(\mathbf{w}) + \sigma/2$, με το σ να είναι ένα μέτρο της (αναμενόμενης) απόκλισης του $f(\mathbf{w})$ από το $\bar{f}(\mathbf{w})$. Μπορούμε επίσης να χρησιμοποιήσουμε άλλες κατασκευές για αυτό το διάστημα εφόσον εξασφαλίζουν ότι $\bar{f}(\mathbf{w}) \in [l^{(\mathbf{w})}, u^{(\mathbf{w})}]$ με αρκετά υψηλή πιθανότητα. Ένας αισιόδοξος επιλέγει τις παραμέτρους μοντέλου σύμφωνα με την πιο ευνοϊκή—αλλά εύλογη—τιμή $\tilde{f}(\mathbf{w}) := l^{(\mathbf{w})}$ του κριτηρίου επίδοσης (βλέπε Σχ. 20). Δύο παραδείγματα μεθόδων μηχανικής μάθησης που χρησιμοποιούν μία τέτοια αισιόδοξη κατασκευή μίας αντικειμενικής συνάρτησης είναι οι μέθοδοι ελαχιστοποίησης δομικής διακινδύνευσης [49, Κεφ. 11] και άνω φράγματος εμπιστοσύνης για διαδοχική λήψη αποφάσεων [50, Sec. 2.2].



Σχ. 20. Οι μέθοδοι μηχανικής μάθησης μαθαίνουν παραμέτρους μοντέλου \mathbf{w} χρησιμοποιώντας κάποια εκτίμηση του $f(\mathbf{w})$ για το τελικό κριτήριο επίδοσης $\bar{f}(\mathbf{w})$. Χρησιμοποιώντας ένα πιθανοτικό μοντέλο, κανείς μπορεί να χρησιμοποιήσει το $f(\mathbf{w})$ για να κατασκευάσει διαστήματα εμπιστοσύνης $[l^{(\mathbf{w})}, u^{(\mathbf{w})}]$, τα οποία περιέχουν το $\bar{f}(\mathbf{w})$ με υψηλή πιθανότητα. Το καλύτερο εύλογο μέτρο επίδοσης για μία συγκεκριμένη επιλογή \mathbf{w} των παραμέτρων του μοντέλου είναι $\tilde{f}(\mathbf{w}) := l^{(\mathbf{w})}$.

Βλέπε επίσης: ml, παράμετροι μοντέλου, εμπειρική ελαχιστοποίηση διακινδύνευσης, loss, σύνολο δεδομένων, σύνολο εκπαίδευσης, διακινδύνευση, υπόθεση, πιθανοτικό μοντέλο, probability, αντικειμενική συνάρτηση, ελαχιστοποίηση δομικής διακινδύνευσης, άνω φράγμα εμπιστοσύνης.

ακρίβεια Η ακρίβεια (precision) είναι μία μετρική που χρησιμοποιείται συχνά στη δυαδική ταξινόμηση. Μετράει το ποσοστό των αληθώς θετικών (δηλαδή των σωστά προβλεφθέντων θετικών σημείων δεδομένων) μεταξύ όλων των σημείων δεδομένων που προβλέφθηκαν ως θετικά. Με άλλα λόγια, είναι η ακρίβεια των σημείων δεδομένων που προβλέφθηκαν ως θετικά. Η ακρίβεια μπορεί επίσης να επεκταθεί στην ταξινόμηση πολλαπλών κλάσεων.

Η ακρίβεια σπάνια χρησιμοποιείται από μόνη της, καθώς ενθαρρύνει την επιλογή μόνο των πιο πιθανών σημείων δεδομένων. Ωστόσο, σε αντίθεση με την ακρίβεια, η ακρίβεια παραμένει μία έγκυρη μετρική ακόμα και με μη ισορροπημένα σύνολα δεδομένων.

Βλέπε επίσης: μετρική, δυαδική ταξινόμηση, data point, ακρίβεια, ταξινόμηση, σύνολο δεδομένων, πίνακας σύγχυσης, ανάκληση.

ακραία τιμή Πολλές μέθοδοι μηχανικής μάθησης παρακινούνται από την παραδοχή ανεξάρτητων και ταυτόσημα κατανεμημένων, η οποία ερμηνεύει σημεία δεδομένων ως πραγματώσεις ανεξάρτητων και ταυτόσημα κατανεμημένων τυχαίων μεταβλητών με κοινή κατανομή πιθανότητας. Η παραδοχή ανεξάρτητων και ταυτόσημα κατανεμημένων είναι χρήσιμη για εφαρμογές όπου οι στατιστικές ιδιότητες της διαδικασίας παραγωγής δεδομένων είναι στάσιμες (ή χρονικά αναλλοίωτες) [34]. Ωστόσο, σε κάποιες εφαρμο-

γές, τα δεδομένα αποτελούνται από μία πλειοψηφία ομαλών σημείων δεδομένων που συμμορφώνονται με την παραδοχή ανεξάρτητων και ταυτόσημα κατανεμημένων καθώς και από έναν μικρό αριθμό σημείων δεδομένων που έχουν θεμελιωδώς διαφορετικές στατιστικές ιδιότητες συγκριτικά με τα ομαλά σημεία δεδομένων. Αναφερόμαστε σε ένα σημείο δεδομένων που αποκλίνει ουσιαστικά από τις στατιστικές ιδιότητες των περισσότερων σημείων δεδομένων ως μία ακραία τιμή. Διαφορετικές μέθοδοι για την ανίχνευση ακραίας τιμής χρησιμοποιούν διαφορετικά μέτρα για αυτή την απόκλιση. Η θεωρία στατιστικής μάθησης μελετάει τα θεμελιώδη όρια στη δυνατότητα να μετριάσουν αξιόπιστα οι ακραίες τιμές [51], [52].

Βλέπε επίσης: ml, παραδοχή ανεξάρτητων και ταυτόσημα κατανεμημένων, data point, πραγμάτωση, ανεξάρτητες και ταυτόσημα κατανεμημένες, τυχαία μεταβλητή, κατανομή πιθανότητας, data, μέτρο, στιβαρότητα, ευστάθεια, παλινδρόμηση Huber, πιθανοτικό μοντέλο.

αλγόριθμος Ένας αλγόριθμος (algorithm) είναι μία ακριβής, βήμα προς βήμα προδιαγραφή για την παραγωγή μίας εξόδου (output) από μία συγκεκριμένη είσοδο (input) εντός ενός πεπερασμένου αριθμού υπολογιστικών βημάτων [53]. Για παράδειγμα, ένας αλγόριθμος για την εκπαίδευση ενός γραμμικού μοντέλου περιγράφει ρητά πώς να μετασχηματιστεί ένα δεδομένο σύνολο εκπαίδευσης σε παραμέτρους του μοντέλου μέσω μίας ακολουθίας βημάτων κλίσης. Για να μελετήσουμε αλγόριθμους ενδελεχώς, μπορούμε να τους αναπαραστήσουμε (ή να τους προσεγγίσουμε) με διαφορετικές μαθηματικές δομές [54]. Μία προσέγγιση είναι να αναπαραστήσουμε έναν αλγόριθμο ως μία συλλογή πιθανών εκτελέσεων. Κάθε

μεμονωμένη εκτέλεση είναι τότε μία ακολουθία της μορφής

input, s_1, s_2, \dots, s_T , output.

Αυτή η ακολουθία ξεκινάει από μία είσοδο και προοδεύει μέσω ενδιάμεσων βημάτων μέχρι να παραδοθεί μία έξοδος. Είναι κρίσιμο ότι ένας αλγόριθμος συμπεριλαμβάνει περισσότερα από απλώς μία αντιστοίχιση από είσοδο σε έξοδο· περιλαμβάνει επίσης ενδιάμεσα υπολογιστικά βήματα s_1, \dots, s_T .

Βλέπε επίσης: γραμμικό μοντέλο, σύνολο εκπαίδευσης, παράμετροι μοντέλου, βήμα κλίσης, model, στοχαστική.

αλγόριθμος k -μέσων Η αρχή του αλγόριθμου k -μέσων

Βλέπε επίσης: συσταδοποίηση, data point, διάνυσμα χαρακτηριστικών, hard clustering, σύνολο δεδομένων, συστάδα, μέση τιμή, διάγραμμα διασποράς, optimization problem.

αμοιβαίες πληροφορίες Οι αμοιβαίες πληροφορίες (mutual information -

MI) $I(\mathbf{x}; y)$ μεταξύ δύο τυχαίων μεταβλητών \mathbf{x}, y που ορίζονται στον ίδιο χώρο πιθανοτήτων δίνονται από [18]

$$I(\mathbf{x}; y) := \mathbb{E} \left\{ \log \frac{p(\mathbf{x}, y)}{p(\mathbf{x})p(y)} \right\}.$$

Αποτελεί μέτρο του πόσο καλά μπορούμε να εκτιμήσουμε την y βάσει μόνο του \mathbf{x} . Μία μεγάλη τιμή του $I(\mathbf{x}; y)$ υποδεικνύει ότι η y μπορεί να προβλεφθεί καλά μόνο από το \mathbf{x} . Αυτή η πρόβλεψη θα μπορούσε να προκύψει από μία υπόθεση που μαθαίνεται από μία μέθοδο μηχανικής μά-

θησης βασισμένη στην εμπειρική ελαχιστοποίηση διακινδύνευσης.

Βλέπε επίσης: τυχαία μεταβλητή, χώρος πιθανοτήτων, πρόβλεψη, υπόθεση, εμπειρική ελαχιστοποίηση διακινδύνευσης, ml.

αμφικλινής παλινδρόμηση Θεωρούμε ένα πρόβλημα παλινδρόμησης όπου ο στόχος είναι να μάθουμε μία υπόθεση $h^{(w)}$ για την πρόβλεψη της αριθμητικής ετικέτας ενός σημείου δεδομένων με βάση το διάνυσμα χαρακτηριστικών του. Η αμφικλινής παλινδρόμηση μαθαίνει τις παραμέτρους w ελαχιστοποιώντας τη μέση απώλεια τετραγωνικού σφάλματος που έχει επιβληθεί ως ποινή. Η μέση απώλεια τετραγωνικού σφάλματος μετράται σε ένα σύνολο σημείων δεδομένων με ετικέτες (δηλαδή το σύνολο εκπαίδευσης)

$$(\mathbf{x}^{(1)}, y^{(1)}), \dots, (\mathbf{x}^{(m)}, y^{(m)}).$$

Ο όρος ποινής είναι η ανηγμένη Ευκλείδεια νόρμα $\alpha \|\mathbf{w}\|_2^2$ με μία παράμετρο ομαλοποίησης $\alpha > 0$. Ο σκοπός του όρου ποινής είναι η ομαλοποίηση, δηλαδή η αποφυγή υπερπροσαρμογής στο καθεστώς υψηλής διάστασης, όπου ο αριθμός χαρακτηριστικών d υπερβαίνει τον αριθμό σημείων δεδομένων m στο σύνολο εκπαίδευσης. η προσθήκη του $\alpha \|\mathbf{w}\|_2^2$ στη μέση απώλεια τετραγωνικού σφάλματος ισοδυναμεί με τον υπολογισμό της μέσης απώλεια τετραγωνικού σφάλματος σε ένα επαυξημένο σύνολο εκπαίδευσης. Αυτό το επαυξημένο σύνολο εκπαίδευσης προκύπτει αντικαθιστώντας κάθε σημείο δεδομένων $(\mathbf{x}^{(r)}, y^{(r)})$ στο αρχικό σύνολο εκπαίδευσης με την πραγμάτωση άπειρα πολλών ανεξάρτητων και ταυτόσημα κατανομημένων τυχαίων μεταβλητών, των οποίων η κατανομή πιθανότητας είναι κεντρική στο $(\mathbf{x}^{(r)}, y^{(r)})$.

Βλέπε επίσης: regression, υπόθεση, ετικέτα, data point, διάνυσμα χαρακτηριστικών, παράμετρος, απώλεια τετραγωνικού σφάλματος, σημείο δεδομένων με ετικέτα, σύνολο εκπαίδευσης, νόρμα, ομαλοποίηση, υπερπροσαρμογή, feature, πραγμάτωση, ανεξάρτητες και ταυτόσημα καταγεγραμμένες, τυχαία μεταβλητή, κατανομή πιθανότητας, απεικόνιση, data augmentation.

ανάκληση Η ανάκληση (recall) είναι μία μετρική που χρησιμοποιείται συχνά στη δυαδική ταξινόμηση. Είναι ο λόγος των αληθώς θετικών (δηλαδή των σωστά προβλεφθέντων θετικών σημείων δεδομένων) προς όλα τα πραγματικά θετικά (δηλαδή τα σημεία δεδομένων με μία θετική πραγματική ετικέτα). Με άλλα λόγια, δείχνει το ποσοστό των αληθώς θετικών με σωστή ετικέτα. Η ανάκληση μπορεί επίσης να επεκταθεί στην ταξινόμηση πολλαπλών κλάσεων.

Η ανάκληση συνήθως δεν χρησιμοποιείται μόνης της, καθώς τέλεια ανάκληση μπορεί να επιτευχθεί με το να δίνεται σε όλα τα σημεία θετική ετικέτα. Ωστόσο, είναι στιβαρή σε μη ισορροπημένα σύνολα δεδομένων, σε αντίθεση, για παράδειγμα, με την ακρίβεια.

Βλέπε επίσης: μετρική, δυαδική ταξινόμηση, data point, ετικέτα, ταξινόμηση, σύνολο δεδομένων, ακρίβεια, πίνακας σύγχυσης, ακρίβεια.

ανάλυση ιδιαζουσών τιμών Η ανάλυση ιδιαζουσών τιμών (singular value decomposition - SVD) για έναν πίνακα $\mathbf{A} \in \mathbb{R}^{m \times d}$ είναι μία παραγοντοποίηση της μορφής

$$\mathbf{A} = \mathbf{V}\mathbf{\Lambda}\mathbf{U}^T$$

με ορθοκανονικούς πίνακες $\mathbf{V} \in \mathbb{R}^{m \times m}$ και $\mathbf{U} \in \mathbb{R}^{d \times d}$ [3]. Ο πίνακας $\mathbf{\Lambda} \in \mathbb{R}^{m \times d}$ είναι μη μηδενικός μόνο κατά την κύρια διαγώνιο, της οποίας οι καταχωρίσεις $\Lambda_{j,j}$ είναι μη αρνητικές και αναφέρονται ως ιδιάζουσες τιμές.

Βλέπε επίσης: πίνακας.

ανάλυση ιδιοτιμών Η ανάλυση ιδιοτιμών (eigenvalue decomposition - EVD) για έναν τετραγωνικό πίνακα $\mathbf{A} \in \mathbb{R}^{d \times d}$ είναι μία παραγοντοποίηση της μορφής

$$\mathbf{A} = \mathbf{V}\mathbf{\Lambda}\mathbf{V}^{-1}.$$

Οι στήλες του πίνακα $\mathbf{V} = (\mathbf{v}^{(1)}, \dots, \mathbf{v}^{(d)})$ είναι τα ιδιοδιανύσματα του πίνακα \mathbf{V} . Ο διαγώνιος πίνακας $\mathbf{\Lambda} = \text{diag}\{\lambda_1, \dots, \lambda_d\}$ περιέχει τις ιδιοτιμές λ_j που αντιστοιχούν στα ιδιοδιανύσματα $\mathbf{v}^{(j)}$. Σημείωση ότι η παραπάνω ανάλυση υφίσταται μόνο αν ο πίνακας \mathbf{A} είναι διαγωνοποιήσιμος.

Βλέπε επίσης: πίνακας, ιδιοδιάνυσμα, ιδιοτιμή.

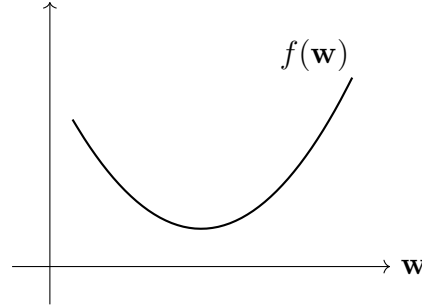
ανάλυση κύριων συνιστωσών Η ανάλυση κύριων συνιστωσών (principal component analysis - PCA) καθορίζει έναν γραμμικό χάρτη χαρακτηριστικών, έτσι ώστε τα νέα χαρακτηριστικά να μας επιτρέπουν να ξανακατασκευάσουμε τα αρχικά χαρακτηριστικά με το ελάχιστο σφάλμα ανακατασκευής [8].

Βλέπε επίσης: χάρτης χαρακτηριστικών, feature, ελάχιστο.

ανταμοιβή Μία ανταμοιβή αναφέρεται σε κάποια παρατηρούμενη (ή μετρημένη) ποσότητα που μας επιτρέπει να εκτιμήσουμε την απώλεια που προκύπτει από την πρόβλεψη (ή απόφαση) μίας υπόθεσης $h(\mathbf{x})$. Για παράδειγ-

μα, σε μία εφαρμογή μηχανικής μάθησης σε αυτοοδηγούμενα οχήματα, η $h(\mathbf{x})$ θα μπορούσε να αναπαριστά την τρέχουσα κατεύθυνση οδήγησης ενός οχήματος. Θα μπορούσαμε να κατασκευάσουμε μία ανταμοιβή από τις μετρήσεις ενός αισθητήρα σύγκρουσης που υποδεικνύει αν το όχημα κινείται προς ένα εμπόδιο. Ορίζουμε μία χαμηλή ανταμοιβή για την κατεύθυνση οδήγησης $h(\mathbf{x})$ αν το όχημα κινείται επικίνδυνα προς ένα εμπόδιο. Βλέπε επίσης: loss, πρόβλεψη, υπόθεση, ml, MAB, ενισχυτική μάθηση.

αντικειμενική συνάρτηση Μία αντικειμενική συνάρτηση είναι μία απεικόνιση που αποδίδει μία αριθμητική αντικειμενική τιμή $f(\mathbf{w})$ σε κάθε επιλογή \mathbf{w} κάποιας μεταβλητής που θέλουμε να βελτιστοποιήσουμε (βλέπε Σχ. 21). Στο πλαίσιο της μηχανικής μάθησης, η μεταβλητή βελτιστοποίησης θα μπορούσε να είναι οι παράμετροι μοντέλου μίας υπόθεσης $h(\mathbf{w})$. Κοινές αντικειμενικές συναρτήσεις περιλαμβάνουν τη διακινδύνευση (δηλαδή την προσδοκώμενη απώλεια) ή την εμπειρική διακινδύνευση (δηλαδή τη μέση απώλεια πάνω σε ένα σύνολο εκπαίδευσης). Οι μέθοδοι μηχανικής μάθησης εφαρμόζουν τεχνικές βελτιστοποίησης, όπως τις μεθόδους με βάση την κλίση, για να βρούν την επιλογή \mathbf{w} με τη βέλτιστη τιμή (π.χ., το ελάχιστο ή το μέγιστο) της αντικειμενικής συνάρτησης.



Σχ. 21. Μία αντικειμενική συνάρτηση αντιστοιχίζει κάθε πιθανή τιμή \mathbf{w} μίας μεταβλητής βελτιστοποίησης, όπως οι παράμετροι μοντέλου ενός μοντέλου μηχανικής μάθησης, σε μία τιμή που μετράει τη χρησιμότητα της \mathbf{w} .

Βλέπε επίσης: συνάρτηση, απεικόνιση, ml, παράμετροι μοντέλου, υπόθεση, διακινδύνευση, loss, empirical risk, σύνολο εκπαίδευσης, μέθοδος με βάση την κλίση, ελάχιστο, maximum, model, συνάρτηση απώλειας, εμπειρική ελαχιστοποίηση διακινδύνευσης, optimization problem.

αντιστροφή μοντέλου A model inversion is a form of επίθεση της ιδιωτικότητας on a ml system. An adversary seeks to infer ευαίσθητο ιδιοχαρακτηριστικός of individual data points by exploiting partial access to a trained model $\hat{h} \in \mathcal{H}$. This access typically consists of querying the model for πρόβλεψης $\hat{h}(\mathbf{x})$ using carefully chosen inputs. Basic model inversion techniques have been demonstrated in the context of facial image ταξινόμηση, where images are reconstructed using the (gradient of) model outputs combined with auxiliary information such as a person's name [55].

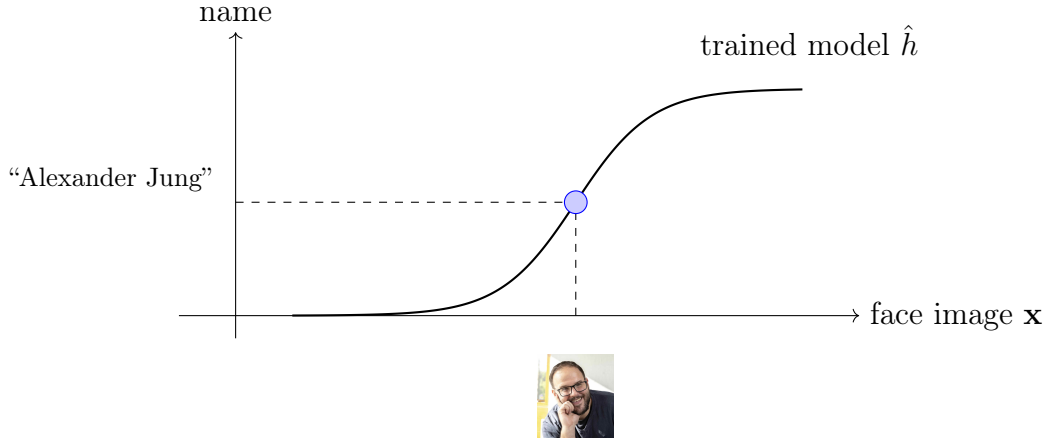


Fig. 22. Model inversion techniques implemented in the context of facial image classification.

Βλέπε επίσης: model, επίθεση της ιδιωτικότητας, ml, ευαίσθητο ιδιο-
 χαρακτηριστικό, data point, πρόβλεψη, ταξινόμηση, gradient, αξιόπιστη
 τεχνητή νοημοσύνη (αξιόπιστη TN), προστασία της ιδιωτικότητας.

άνω φράγμα εμπιστοσύνης (ΑΦΕ) Θεωρούμε μία εφαρμογή μηχανικής
 μάθησης που απαιτεί την επιλογή, σε κάθε χρονικό βήμα t , μίας ενέρ-
 γειας a_t από ένα πεπερασμένο σύνολο εναλλακτικών \mathcal{A} . Η χρησιμότητα
 της επιλογής της ενέργειας a_t ποσοτικοποιείται από ένα αριθμητικό σήμα
 ανταμοιβής $r^{(a_t)}$. Ένα ευρέως χρησιμοποιούμενο πιθανοτικό μοντέλο για
 αυτόν τον τύπο προβλήματος ακολουθιακής λήψης αποφάσεων είναι το πε-
 ριβάλλον στοχαστικής MAB [50]. Σε αυτό το μοντέλο, η ανταμοιβή $r^{(a)}$
 θεωρείται ως η πραγμάτωση μίας τυχαίας μεταβλητής με άγνωστη μέση
 τιμή $\mu^{(a)}$. Ιδανικά, θα επιλέγαμε πάντα την ενέργεια με την μεγαλύτερη
 αναμενόμενη ανταμοιβή $\mu^{(a)}$, αλλά αυτές οι μέσες τιμές είναι άγνωστες

και πρέπει να εκτιμηθούν από παρατηρούμενα δεδομένα. Το να επιλεγεί απλά η ενέργεια με τη μεγαλύτερη εκτίμηση $\hat{\mu}^{(a)}$ μπορεί να οδηγήσει σε υποβέλτιστα αποτελέσματα λόγω της αβεβαιότητας στην εκτίμηση. Η στρατηγική ΑΦΕ (upper confidence bound - UCB) το αντιμετωπίζει αυτό επιλέγοντας ενέργειες όχι μόνο με βάση τις εκτιμώμενες μέσες τιμές αλλά και ενσωματώνοντας έναν όρο που αντανακλά την αβεβαιότητα σε αυτές τις εκτιμήσεις—ευνοώντας ενέργειες με υψηλή πιθανή ανταμοιβή και υψηλή αβεβαιότητα. Θεωρητικές εγγυήσεις για την επίδοση στρατηγικών ΑΦΕ, συμπεριλαμβανομένων των ορίων λογαριθμικής ρήτρα μεταβολής γνώμης, καταδεικνύονται στο [50].

Βλέπε επίσης: ml, ανταμοιβή, πιθανοτικό μοντέλο, στοχαστική, MAB, model, πραγμάτωση, τυχαία μεταβλητή, μέση τιμή, data, αβεβαιότητα, regret.

απόκλιση Θεωρούμε μία εφαρμογή ομοσπονδιακής μάθησης με networked data που αναπαριστώνται από ένα δίκτυο ομοσπονδιακής μάθησης. Οι μέθοδοι ομοσπονδιακής μάθησης χρησιμοποιούν ένα μέτρο απόκλισης για να συγκρίνουν απεικόνισης υπόθεσης από τοπικά μοντέλα σε κόμβους i, i' , συνδεδεμένοι με μία ακμή στο δίκτυο ομοσπονδιακής μάθησης.

Βλέπε επίσης: FL, networked data, δίκτυο ομοσπονδιακής μάθησης, υπόθεση, απεικόνιση, local model.

απόκλιση Kullback–Leibler (απόκλιση KL) Η απόκλιση KL (Kullback–Leibler divergence - KL divergence) είναι ένα ποσοτικό μέτρο του πόσο διαφορετική είναι μία κατανομή πιθανότητας από μία άλλη [18].

Βλέπε επίσης: κατανομή πιθανότητας.

απόκλιση Rényi Η απόκλιση Rényi μετράει την (αν)ομοιότητα μεταξύ δύο κατανομών πιθανοτήτων [56].

Βλέπε επίσης: κατανομή πιθανότητας.

αποτελεσματική διάσταση Η αποτελεσματική διάσταση $d_{\text{eff}}(\mathcal{H})$ ενός άπειρου χώρου υποθέσεων \mathcal{H} είναι ένα μέτρο του μεγέθους του. Σε γενικές γραμμές, η αποτελεσματική διάσταση είναι ίση με τον αποτελεσματικό αριθμό ανεξάρτητων παραμέτρων μοντέλου που μπορούν να ρυθμιστούν. Αυτές οι παράμετροι μπορεί να είναι συντελεστές που χρησιμοποιούνται σε μία linear map ή τα βάρη και οι όροι μεροληψίας ενός τεχνητού νευρωνικού δικτύου.

Βλέπε επίσης: χώρος υποθέσεων, παράμετροι μοντέλου, παράμετρος, linear map, βάρη, μεροληψία, TNΔ.

απώλεια Οι μέθοδοι μηχανικής μάθησης χρησιμοποιούν μία συνάρτηση απώλειας $L(\mathbf{z}, h)$ για να μετρήσουν το σφάλμα που προκαλείται από την εφαρμογή μίας συγκεκριμένης υπόθεσης σε ένα συγκεκριμένο σημείο δεδομένων. Με μία μικρή κατάχρηση του συμβολισμού, χρησιμοποιούμε τον όρο απώλεια και για την ίδια τη συνάρτηση απώλειας L και για τη συγκεκριμένη τιμή $L(\mathbf{z}, h)$, για ένα σημείο δεδομένων \mathbf{z} και μία υπόθεση h .

Βλέπε επίσης: ml, συνάρτηση απώλειας, υπόθεση, data point.

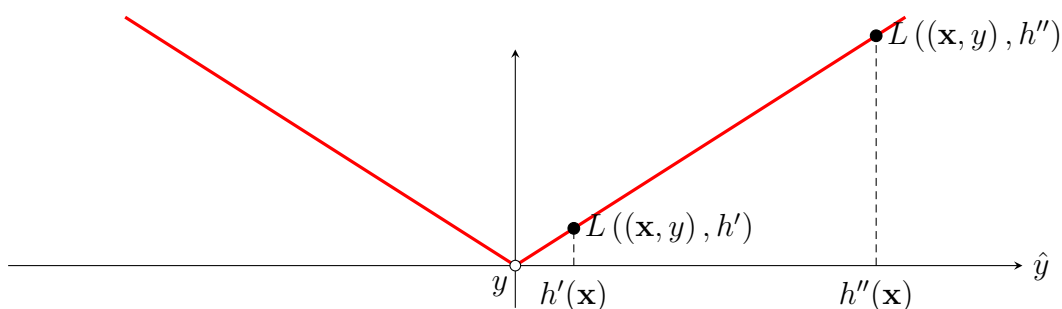
απώλεια απόλυτου σφάλματος Θεωρούμε ένα σημείο δεδομένων με χαρακτηριστικά $\mathbf{x} \in \mathcal{X}$ και αριθμητική ετικέτα $y \in \mathbb{R}$. Όπως υποδηλώνει και το όνομά της, η απώλεια απόλυτου σφάλματος που προκαλείται από

μία υπόθεση $h : \mathcal{X} \rightarrow \mathbb{R}$ ορίζεται ως

$$L((\mathbf{x}, y), h) = |y - h(\mathbf{x})|.$$

Το Σχ. 23 απεικονίζει την απώλεια απόλυτου σφάλματος για ένα σταθερό σημείο δεδομένων με διάνυσμα χαρακτηριστικών \mathbf{x} και ετικέτα y . Υποδεικνύει επίσης τις τιμές απώλειας που προκαλούνται από δύο διαφορετικές υποθέσεις h' και h'' . Όμοια με την απώλεια τετραγωνικού σφάλματος, η απώλεια απόλυτου σφάλματος είναι επίσης μία κυρτή συνάρτηση της πρόβλεψης $\hat{y} = h(\mathbf{x})$. Ωστόσο, σε αντίθεση με την απώλεια τετραγωνικού σφάλματος, η απώλεια απόλυτου σφάλματος είναι μη λεία, καθώς δεν είναι παραγωγίσιμη στη βέλτιστη πρόβλεψη $\hat{y} = y$. Αυτή η ιδιότητα καθιστά τις μεθόδους βασισμένες στην εμπειρική ελαχιστοποίηση διακινδύνευσης που χρησιμοποιούν την απώλεια απόλυτου σφάλματος υπολογιστικά πιο απαιτητικές [25], [57]. Για να κατανοήσουμε καλύτερα, είναι χρήσιμο να παρατηρήσουμε τις δύο υποθέσεις που απεικονίζονται στο Σχ. 23. Απλώς ελέγχοντας την κλίση της L γύρω από τα $h'(\mathbf{x})$ και $h''(\mathbf{x})$, είναι απίθανο να προσδιορίσουμε εάν βρισκόμαστε πολύ κοντά στο βέλτιστο (στη h') ή ακόμα μακριά (στη h''). Ως αποτέλεσμα, οποιαδήποτε μέθοδος βελτιστοποίησης που βασίζεται σε τοπικές προσεγγίσεις της συνάρτησης απώλειας (όπως η μέθοδος υποκλίσης) πρέπει να χρησιμοποιεί έναν φθίνοντα ρυθμό μάθησης για να αποφευχθεί η υπέρβαση κατά την προσέγγιση του βέλτιστου. Αυτή η απαιτούμενη μείωση στον ρυθμό μάθησης τείνει να επιβραδύνει τη σύγκλιση της μεθόδου βελτιστοποίησης. Εκτός από την αυξημένη υπολογιστική πολυπλοκότητα, η χρήση της απώλειας απόλυτου σφάλματος στην εμπειρική ελαχιστοποίηση δια-

κινδύνευσης μπορεί να είναι ωφέλιμη στην παρουσία ακραίων τιμών στο σύνολο εκπαίδευσης. Σε αντίθεση με την απώλεια τετραγωνικού σφάλματος, η κλίση της απώλειας απόλυτου σφάλματος δεν αυξάνεται με την αύξηση του σφάλματος πρόβλεψης $y - h(\mathbf{x})$. Ως αποτέλεσμα, η επίδραση της εισαγωγής μίας ακραίας τιμής με μεγάλο σφάλμα πρόβλεψης στη λύση \hat{h} της εμπειρικής ελαχιστοποίησης διακινδύνευσης με απώλεια απόλυτου σφάλματος είναι πολύ μικρότερη συγκριτικά με την επίδραση στη λύση της εμπειρικής ελαχιστοποίησης διακινδύνευσης με απώλεια τετραγωνικού σφάλματος.



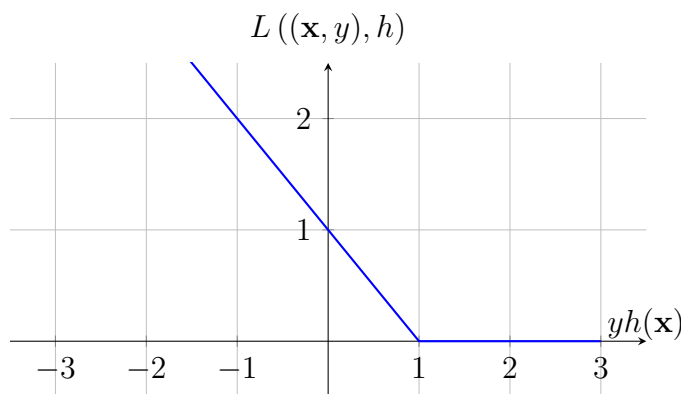
Σχ. 23. Για ένα σημείο δεδομένων με αριθμητική ετικέτα $y \in \mathbb{R}$, το απόλυτο σφάλμα $|y - h(\mathbf{x})|$ μπορεί να χρησιμοποιηθεί ως μία συνάρτηση απώλειας για να καθοδηγήσει τη μάθηση μίας υπόθεσης h .

Βλέπε επίσης: data point, feature, ετικέτα, loss, υπόθεση, διάνυσμα χαρακτηριστικών, απώλεια τετραγωνικού σφάλματος, κυρτό, συνάρτηση, πρόβλεψη, μη λεία, παραγωγίσιμη, εμπειρική ελαχιστοποίηση διακινδύνευσης, μέθοδος βελτιστοποίησης, συνάρτηση απώλειας, κάθοδος υποκλίσης, ρυθμός μάθησης, σύγκλιση, ακραία τιμή, σύνολο εκπαίδευσης.

απώλεια άρθρωσης Θεωρούμε ένα σημείο δεδομένων που χαρακτηρίζεται

από ένα διάνυσμα χαρακτηριστικών $\mathbf{x} \in \mathbb{R}^d$ και μία δυαδική ετικέτα $y \in \{-1, 1\}$. Η απώλεια άρθρωσης που προκαλείται από μία απεικόνιση υπόθεσης $h(\mathbf{x})$ πραγματικής τιμής ορίζεται ως

$$L((\mathbf{x}, y), h) := \max\{0, 1 - yh(\mathbf{x})\}. \quad (1)$$



Σχ. 24. Η απώλεια άρθρωσης που προκαλείται από την πρόβλεψη $h(\mathbf{x}) \in \mathbb{R}$ για ένα σημείο δεδομένων με ετικέτα $y \in \{-1, 1\}$. Μία ομαλοποιημένη παραλλαγή της απώλειας άρθρωσης χρησιμοποιείται από τη μηχανή διανυσμάτων υποστήριξης [58].

Βλέπε επίσης: data point, διάνυσμα χαρακτηριστικών, ετικέτα, loss, υπόθεση, απεικόνιση, πρόβλεψη, μηχανή διανυσμάτων υποστήριξης, ταξινόμηση, ταξινομητής.

απώλεια τετραγωνικού σφάλματος Η απώλεια τετραγωνικού σφάλματος (squared error loss) μετράει το σφάλμα πρόβλεψης μίας υπόθεσης h όταν προβλέπει μία αριθμητική ετικέτα $y \in \mathbb{R}$ από τα χαρακτηριστικά \mathbf{x}

ενός σημείου δεδομένων. Ορίζεται ως

$$L((\mathbf{x}, y), h) := (y - \underbrace{h(\mathbf{x})}_{=\hat{y}})^2.$$

Βλέπε επίσης: loss, πρόβλεψη, υπόθεση, ετικέτα, feature, data point.

απώλεια Huber Η απώλεια Huber ενώνει την απώλεια τετραγωνικού σφάλματος και την απώλεια απόλυτου σφάλματος.

Βλέπε επίσης: loss, απώλεια τετραγωνικού σφάλματος, απώλεια απόλυτου σφάλματος.

αριθμός συνθήκης Ο αριθμός συνθήκης $\kappa(\mathbf{Q}) \geq 1$ ενός θετικά ορισμένου πίνακα $\mathbf{Q} \in \mathbb{R}^{d \times d}$ είναι ο λόγος α/β μεταξύ της μεγαλύτερης α και της μικρότερης β ιδιοτιμής του \mathbf{Q} . Ο αριθμός συνθήκης είναι χρήσιμος για την ανάλυση μεθόδων μηχανικής μάθησης. Η υπολογιστική πολυπλοκότητα των μεθόδων με βάση την κλίση για γραμμική παλινδρόμηση εξαρτάται κρίσιμα από τον αριθμό συνθήκης του πίνακα $\mathbf{Q} = \mathbf{X}\mathbf{X}^T$, με τον πίνακα χαρακτηριστικών \mathbf{X} του συνόλου εκπαίδευσης. Συνεπώς, από υπολογιστικής άποψης, προτιμούμε χαρακτηριστικά σημεία δεδομένων, έτσι ώστε ο \mathbf{Q} να έχει έναν αριθμό συνθήκης κοντά στο 1.

Βλέπε επίσης: πίνακας, ιδιοτιμή, ml, μέθοδος με βάση την κλίση, γραμμική παλινδρόμηση, πίνακας χαρακτηριστικών, σύνολο εκπαίδευσης, feature, data point.

αρχή της ελαχιστοποίησης των δεδομένων Ο Ευρωπαϊκός κανονισμός για την προστασία δεδομένων περιλαμβάνει μία αρχή ελαχιστοποίησης δεδομένων. Αυτή η αρχή απαιτεί έναν υπεύθυνο επεξεργασίας δε-

δομένων για να περιορίσει τη συλλογή προσωπικών πληροφοριών σε ό,τι είναι άμεσα σχετικό και απαραίτητο για την εκπλήρωση ενός προσδιορισμένου σκοπού. Τα δεδομένα πρέπει να φυλάσσονται μόνο για το χρονικό διάστημα που είναι απαραίτητα προκειμένου να εκπληρωθεί αυτός ο σκοπός [59, Άρθρο 5(1)(c)], [60].

Βλέπε επίσης: data.

αυτοεποπτευόμενη μάθηση Self-supervised learning uses ...

αυτοκωδικοποιητής Ένας αυτοκωδικοποιητής (autoencoder) είναι μία μέθοδος μηχανικής μάθησης που μαθαίνει ταυτόχρονα έναν κωδικοποιητή απεικόνιση $h(\cdot) \in \mathcal{H}$ και έναν αποκωδικοποιητή απεικόνιση $h^*(\cdot) \in \mathcal{H}^*$. Είναι μία περίπτωση της εμπειρικής ελαχιστοποίησης διακινδύνευσης που χρησιμοποιεί μία απώλεια υπολογιζόμενη από το σφάλμα ανακατασκευής $\mathbf{x} - h^*(h(\mathbf{x}))$.

Βλέπε επίσης: ml, απεικόνιση, εμπειρική ελαχιστοποίηση διακινδύνευσης, loss, μάθηση χαρακτηριστικών, μείωση της διαστασιμότητας.

βαθιά μάθηση Βλέπε βαθύ δίκτυο.

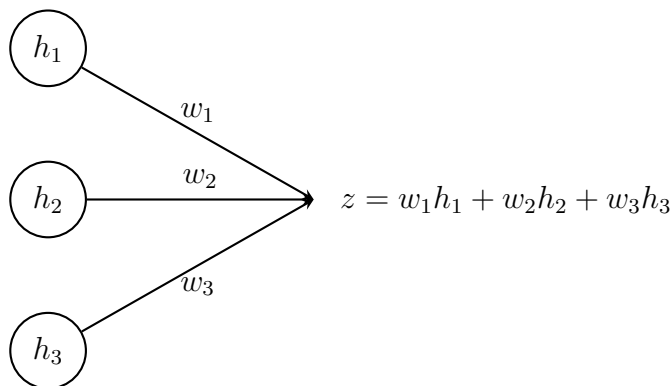
βαθμός συσχέτισης Ο βαθμός συσχέτισης είναι ένας αριθμός που υποδεικνύει το κατά πόσο ένα σημείο δεδομένων ανήκει σε μία συστάδα [8, Κεφ. 8]. Ο βαθμός της συσχέτισης μπορεί να ερμηνευτεί ως μία μαλακή απόδοση συστάδας. Οι μέθοδοι μαλακής συσταδοποίησης μπορούν να κωδικοποιήσουν τον βαθμό συσχέτισης με έναν πραγματικό αριθμό στο διάστημα $[0, 1]$. Η σκληρή συσταδοποίηση προκύπτει ως η ακραία περίπτωση όταν ο βαθμός συσχέτισης παίρνει μόνο τιμές 0 or 1.

Βλέπε επίσης: data point, συστάδα, soft clustering, hard clustering.

βαθύ δίκτυο Ένα βαθύ δίκτυο είναι ένα τεχνητό νευρωνικό δίκτυο με έναν (σχετικά) μεγάλο αριθμό κρυφών στρώματων. Η βαθιά μάθηση είναι ένας όρος-ομπρέλα για μεθόδους μηχανικής μάθησης που χρησιμοποιούν ένα βαθύ δίκτυο ως το μοντέλο τους [27].

Βλέπε επίσης: ΤΝΔ, στρώμα, βαθιά μάθηση, ml, model, μεγάλο γλωσσικό μοντέλο.

βάρη Θεωρούμε έναν παραμετροποιημένο χώρο υποθέσεων \mathcal{H} . Χρησιμοποιούμε τον όρο βάρη για αριθμητικές παραμέτρους μοντέλου που χρησιμοποιούνται για να κλιμακώσουν χαρακτηριστικά ή τους μετασχηματισμούς τους προκειμένου να υπολογίσουμε $h^{(\mathbf{w})} \in \mathcal{H}$. Ένα γραμμικό μοντέλο χρησιμοποιεί βάρη $\mathbf{w} = (w_1, \dots, w_d)^T$ για να υπολογίσει τον γραμμικό συνδυασμό $h^{(\mathbf{w})}(\mathbf{x}) = \mathbf{w}^T \mathbf{x}$. Βάρη χρησιμοποιούνται επίσης σε τεχνητά νευρωνικά δίκτυα για να σχηματιστούν γραμμικοί συνδυασμοί χαρακτηριστικών ή των εξόδων νευρώνων σε κρυφά στρώματα (βλέπε Σχ. 25).



Σχ. 25. Ένα τμήμα ενός τεχνητού νευρωνικού δικτύου που περιέχει ένα κρυφό στρώμα με εξόδους (ή ενεργοποιήσεις) h_1, h_2 , και h_3 . Αυτές οι εξόδους συνδυάζονται γραμμικά για να υπολογιστεί το z , το οποίο μπορεί να χρησιμοποιηθεί είτε ως έξοδος του τεχνητού νευρωνικού δικτύου είτε ως είσοδος σε ένα άλλο στρώμα.

Βλέπε επίσης: χώρος υποθέσεων, παράμετροι μοντέλου, feature, γραμμικό μοντέλο, ΤΝΔ, στρώμα, ενεργοποίηση.

βάρος ακμής Σε κάθε ακμή $\{i, i'\}$ ενός δικτύου ομοσπονδιακής μάθησης αποδίδεται ένα μη αρνητικό βάρος ακμής $A_{i,i'} \geq 0$. Ένα μηδενικό βάρος ακμής $A_{i,i'} = 0$ υποδεικνύει την απουσία μίας ακμής μεταξύ κόμβων $i, i' \in \mathcal{V}$.

Βλέπε επίσης: δίκτυο ομοσπονδιακής μάθησης.

βάση αναφοράς Consider some ml method that produces a learned υπόθεση (or trained model) $\hat{h} \in \mathcal{H}$. We evaluate the quality of a trained model by computing the average loss on a σύνολο ελέγχου. But how can we assess whether the resulting σύνολο ελέγχου performance is sufficiently good? How can we determine if the trained model performs close to

optimal such that there is little point in investing more resources (for data collection or computation) to improve it? To this end, it is useful to have a reference (or baseline) level against which we can compare the performance of the trained model.

Such a reference value might be obtained from human performance, e.g., the misclassification rate of dermatologists who diagnose cancer from visual inspection of skin [61]. Another source for a baseline is an existing, but for some reason unsuitable, ml method. For example, the existing ml method might be computationally too expensive for the intended ml application. Nevertheless, its σύνολο ελέγχου error can still serve as a baseline. Another, somewhat more principled, approach to constructing a baseline is via a πιθανοτικό μοντέλο. In many cases, given a πιθανοτικό μοντέλο $p(\mathbf{x}, y)$, we can precisely determine the ελάχιστο achievable διακινδύνευση among any hypotheses (not even required to belong to the χώρος υποθέσεων \mathcal{H}) [29].

This ελάχιστο achievable διακινδύνευση (referred to as the διακινδύνευση Bayes) is the διακινδύνευση of the εκτιμητής Bayes for the ετικέτα y of a data point, given its features \mathbf{x} . Note that, for a given choice of συνάρτηση απώλειας, the εκτιμητής Bayes (if it exists) is completely determined by the κατανομή πιθανότητας $p(\mathbf{x}, y)$ [29, Ch. 4]. However, computing the εκτιμητής Bayes and διακινδύνευση Bayes presents two main challenges. First, the κατανομή πιθανότητας $p(\mathbf{x}, y)$ is unknown and must be estimated from observed data. Second, even if $p(\mathbf{x}, y)$ were known, computing the διακινδύνευση Bayes exactly may be computationally infeasible [62]. A widely used πιθανοτικό μοντέλο is the

πολυμεταβλητή κανονική κατανομή $(\mathbf{x}, y) \sim \mathcal{N}(\boldsymbol{\mu}, \boldsymbol{\Sigma})$ for data points characterized by numeric features and ετικέτας. Here, for the απώλεια τετραγωνικού σφάλματος, the εκτιμητής Bayes is given by the posterior μέση τιμή $\mu_{y|\mathbf{x}}$ of the ετικέτα y , given the features \mathbf{x} [29], [31]. The corresponding διακινδύνευση Bayes is given by the posterior διακύμανση $\sigma_{y|\mathbf{x}}^2$ (see Fig. 26).

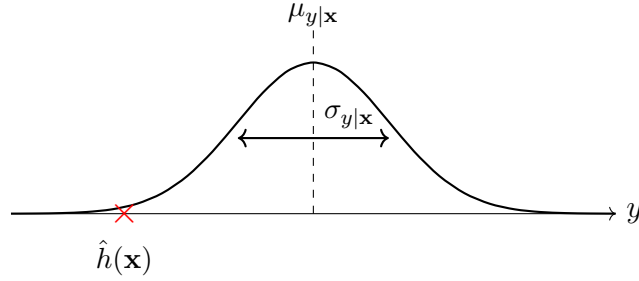


Fig. 26. If the features and the ετικέτα of a data point are drawn from a πολυμεταβλητή κανονική κατανομή, we can achieve the ελάχιστο διακινδύνευση (under απώλεια τετραγωνικού σφάλματος) by using the εκτιμητής Bayes $\mu_{y|\mathbf{x}}$ to predict the ετικέτα y of a data point with features \mathbf{x} . The corresponding ελάχιστο διακινδύνευση is given by the posterior διακύμανση $\sigma_{y|\mathbf{x}}^2$. We can use this quantity as a baseline for the average loss of a trained model \hat{h} .

Βλέπε επίσης: ml, υπόθεση, model, loss, σύνολο ελέγχου, data, πιθανοτικό μοντέλο, ελάχιστο, διακινδύνευση, χώρος υποθέσεων, διακινδύνευση Bayes, εκτιμητής Bayes, ετικέτα, data point, feature, συνάρτηση απώλειας, κατανομή πιθανότητας, πολυμεταβλητή κανονική κατανομή, απώλεια τετραγωνικού σφάλματος, μέση τιμή, διακύμανση.

βήμα κλίσης Given a παραγωγίσιμη real-valued συνάρτηση $f(\cdot) : \mathbb{R}^d \rightarrow \mathbb{R}$ and a διάνυσμα $\mathbf{w} \in \mathbb{R}^d$, the gradient step updates \mathbf{w} by adding the

scaled negative gradient $\nabla f(\mathbf{w})$ to obtain the new διάνυσμα (see Fig. 27)

$$\hat{\mathbf{w}} := \mathbf{w} - \eta \nabla f(\mathbf{w}). \quad (2)$$

Mathematically, the gradient step is an operator $\mathcal{T}^{(f,\eta)}$ that is parametrized by the συνάρτηση f and the μέγεθος βήματος η .

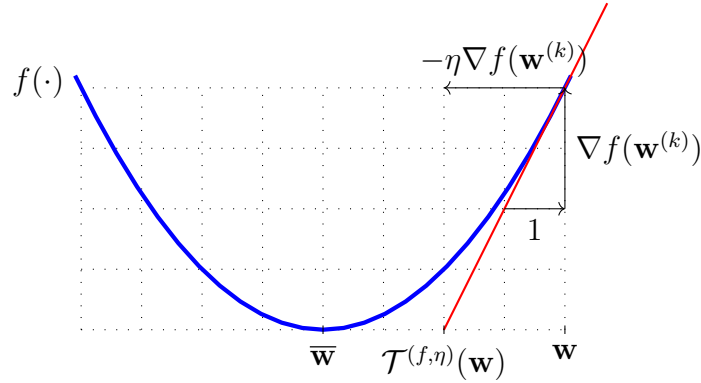


Fig. 27. The basic gradient step (2) maps a given διάνυσμα \mathbf{w} to the updated διάνυσμα \mathbf{w}' . It defines an operator $\mathcal{T}^{(f,\eta)}(\cdot) : \mathbb{R}^d \rightarrow \mathbb{R}^d : \mathbf{w} \mapsto \hat{\mathbf{w}}$.

Note that the gradient step (2) optimizes locally—in a γειτονιά whose size is determined by the μέγεθος βήματος η —a linear approximation to the συνάρτηση $f(\cdot)$. A natural γενίκευση of (2) is to locally optimize the συνάρτηση itself—instead of its linear approximation—such that

$$\hat{\mathbf{w}} = \arg \min_{\mathbf{w}' \in \mathbb{R}^d} f(\mathbf{w}') + \frac{1}{\eta} \|\mathbf{w} - \mathbf{w}'\|_2^2. \quad (3)$$

We intentionally use the same symbol η for the παράμετρος in (3) as we used for the μέγεθος βήματος in (2). The larger the η we choose in (3), the more progress the update will make toward reducing the συνάρτηση

value $f(\hat{\mathbf{w}})$. Note that, much like the gradient step (2), the update (3) also defines an operator that is parametrized by the συνάρτηση $f(\cdot)$ and the ρυθμός μάθησης η . For a κυρτό συνάρτηση $f(\cdot)$, this operator is known as the τελεστής εγγύτητας of $f(\cdot)$ [37].

Βλέπε επίσης: παραγωγίσιμη, συνάρτηση, διάνυσμα, gradient, μέγεθος βήματος, γειτονιά, γενίκευση, παράμετρος, ρυθμός μάθησης, κυρτό, τελεστής εγγύτητας.

γείτονας Ένας γείτονας (neighbor) ενός κόμβου $i \in \mathcal{V}$ εντός ενός μη κατευθυνόμενου γράφου είναι ένας κόμβος $i' \in \mathcal{V} \setminus \{i\}$ που συνδέεται με τον κόμβο i μέσω μίας ακμής.

Βλέπε επίσης: μη κατευθυνόμενος γράφος, συνεκτικός.

γενικευμένη ολική μεταβολή Η γενικευμένη ολική μεταβολή (generalized total variation - GTV) είναι ένα μέτρο της μεταβολής των εκπαιδευμένων τοπικών μοντέλων $h^{(i)}$ (ή των παραμέτρων του μοντέλου τους $\mathbf{w}^{(i)}$) που αποδίδονται στους κόμβους $i = 1, \dots, n$ ενός μη κατευθυνόμενου σταθμισμένου γράφου \mathcal{G} με ακμές \mathcal{E} . Δεδομένου ενός μέτρου $d^{(h,h')}$ για την απόκλιση μεταξύ απεικόνισης υπόθεσης h, h' , η γενικευμένη ολική μεταβολή είναι

$$\sum_{\{i,i'\} \in \mathcal{E}} A_{i,i'} d^{(h^{(i)}, h^{(i')})}.$$

Εδώ, $A_{i,i'} > 0$ δηλώνει το βάρος της μη κατευθυνόμενης ακμής $\{i, i'\} \in \mathcal{E}$.

Βλέπε επίσης: local model, παράμετροι μοντέλου, graph, απόκλιση, υπόθεση, απεικόνιση.

γενίκευση Generalization refers to the ability of a model trained on a

σύνολο εκπαίδευσης to make accurate πρόβλεψης on new unseen data points. This is a central goal of ml and τεχνητή νοημοσύνη (TN), i.e., to learn patterns that extend beyond the σύνολο εκπαίδευσης. Most ml systems use εμπειρική ελαχιστοποίηση διακινδύνευσης to learn a υπόθεση $\hat{h} \in \mathcal{H}$ by minimizing the average loss over a σύνολο εκπαίδευσης of data points $\mathbf{z}^{(1)}, \dots, \mathbf{z}^{(m)}$, denoted by $\mathcal{D}^{(t)}$. However, success on the σύνολο εκπαίδευσης does not guarantee success on unseen data—this discrepancy is the challenge of generalization.

To study generalization mathematically, we need to formalize the notion of “unseen” data. A widely used approach is to assume a πιθανοτικό μοντέλο for data generation, such as the παραδοχή ανεξάρτητων και ταυτόσημα κατανομημένων. Here, we interpret data points as independent τυχαία μεταβλητής with an identical κατανομή πιθανότητας $p(\mathbf{z})$. This κατανομή πιθανότητας, which is assumed fixed but unknown, allows us to define the διακινδύνευση of a trained model \hat{h} as the expected loss

$$\bar{L}(\hat{h}) = \mathbb{E}_{\mathbf{z} \sim p(\mathbf{z})} \{L(\hat{h}, \mathbf{z})\}.$$

The difference between διακινδύνευση $\bar{L}(\hat{h})$ and empirical risk $\hat{L}(\hat{h}|\mathcal{D}^{(t)})$ is known as the generalization gap. Tools from probability theory, such as ανισότητα συγκέντρωσης and uniform σύγκλιση, allow us to bound this gap under certain conditions [49].

Generalization without probability: Probability theory is one way to study how well a model generalizes beyond the σύνολο εκπαίδευσης, but it is not the only way. Another option is to use simple deterministic changes to the data points in the σύνολο εκπαίδευσης. The basic idea

is that a good model \hat{h} should be robust, i.e., its πρόβλεψη $\hat{h}(\mathbf{x})$ should not change much if we slightly change the features \mathbf{x} of a data point \mathbf{z} . For example, an object detector trained on smartphone photos should still detect the object if a few random pixels are masked [63]. Similarly, it should deliver the same result if we rotate the object in the image [64]. See Fig. 28 for a visual illustration.

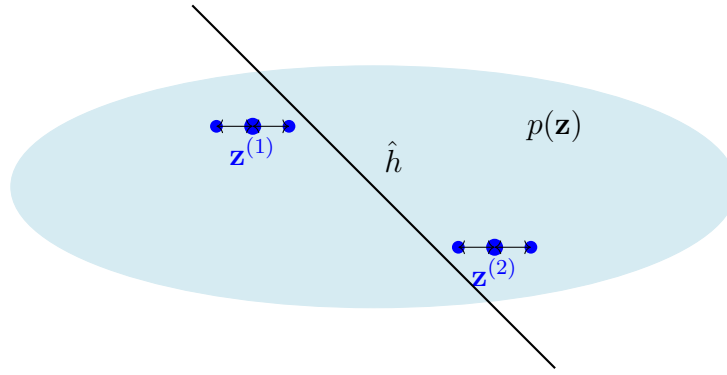


Fig. 28. Two data points $\mathbf{z}^{(1)}, \mathbf{z}^{(2)}$ that are used as a σύνολο εκπαίδευσης to learn a υπόθεση \hat{h} via εμπειρική ελαχιστοποίηση διακινδύνευσης. We can evaluate \hat{h} outside $\mathcal{D}^{(t)}$ either by an παραδοχή ανεξάρτητων και ταυτόσημα κατανεμημένων with some underlying κατανομή πιθανότητας $p(\mathbf{z})$ or by perturbing the data points.

Βλέπε επίσης: model, σύνολο εκπαίδευσης, πρόβλεψη, data point, ml, TN, εμπειρική ελαχιστοποίηση διακινδύνευσης, υπόθεση, loss, data, πιθανοτικό μοντέλο, παραδοχή ανεξάρτητων και ταυτόσημα κατανεμημένων, τυχαία μεταβλητή, κατανομή πιθανότητας, διακινδύνευση, empirical risk, generalization gap, probability, ανισότητα συγκέντρωσης, σύγκλιση, feature, υπερπροσαρμογή, επικύρωση.

γινόμενο Kronecker Το γινόμενο Kronecker (Kronecker product) δύο πι-

νόχων $\mathbf{A} \in \mathbb{R}^{m \times n}$ και $\mathbf{B} \in \mathbb{R}^{p \times q}$ είναι ένας σύνθετος πίνακας που δηλώνεται με $\mathbf{A} \otimes \mathbf{B}$ και ορίζεται ως [3], [48]

$$\mathbf{A} \otimes \mathbf{B} = \begin{bmatrix} a_{11}\mathbf{B} & \cdots & a_{1n}\mathbf{B} \\ \vdots & \ddots & \vdots \\ a_{m1}\mathbf{B} & \cdots & a_{mn}\mathbf{B} \end{bmatrix} \in \mathbb{R}^{mp \times nq}.$$

Το γινόμενο Kronecker είναι μία ειδική περίπτωση του τανυστικού γινομένου για πίνακες και χρησιμοποιείται ευρέως στην πολυμεταβλητή στατιστική, στη γραμμική άλγεβρα, και σε δομημένα μοντέλα μηχανικής μάθησης. Ικανοποιεί το ταυτοτικό στοιχείο $(\mathbf{A} \otimes \mathbf{B})(\mathbf{x} \otimes \mathbf{y}) = (\mathbf{A}\mathbf{x}) \otimes (\mathbf{B}\mathbf{y})$ για διανύσματα \mathbf{x} και \mathbf{y} συμβατών διαστάσεων.

Βλέπε επίσης: πίνακας, ml, model, διάνυσμα.

γραμμική παλινδρόμηση Η γραμμική παλινδρόμηση στοχεύει να μάθει μία γραμμική απεικόνιση υπόθεσης για να προβλέψει μία αριθμητική ετικέτα με βάση τα αριθμητικά χαρακτηριστικά ενός σημείου δεδομένων. Η ποιότητα μίας γραμμικής απεικόνιση υπόθεσης μετράται χρησιμοποιώντας τη μέση απώλεια τετραγωνικού σφάλματος που προκαλείται σε ένα σύνολο σημείων δεδομένων με ετικέτες, στο οποίο αναφερόμαστε ως το σύνολο εκπαίδευσης.

Βλέπε επίσης: regression, υπόθεση, απεικόνιση, ετικέτα, feature, data point, απώλεια τετραγωνικού σφάλματος, σημείο δεδομένων με ετικέτα, σύνολο εκπαίδευσης.

γραμμικό μοντέλο Consider an ml application involving data points, each represented by a numeric διάνυσμα χαρακτηριστικών $\mathbf{x} \in \mathbb{R}^d$. A linear

model defines a $\chi\acute{\omega}\rho\omicron\varsigma$ υποθέσεων consisting of all real-valued linear maps from \mathbb{R}^d to \mathbb{R} such that

$$\mathcal{H}^{(d)} := \{h : \mathbb{R}^d \rightarrow \mathbb{R} \mid h(\mathbf{x}) = \mathbf{w}^\top \mathbf{x} \text{ for some } \mathbf{w} \in \mathbb{R}^d\}.$$

Each value of d defines a different $\chi\acute{\omega}\rho\omicron\varsigma$ υποθέσεων, corresponding to the number of features used to compute the πρόβλεψη $h(\mathbf{x})$. The choice of d is often guided not only by υπολογιστική διάστασης (e.g., fewer features reduce computation) and στατιστική διάστασης (e.g., more features typically reduce μεροληψία and διακινδύνευση), but also by ερμηνευσιμότητα. A linear model using a small number of well-chosen features is generally considered more interpretable [65], [66]. The linear model is attractive because it can typically be trained using scalable κυρτό μέθοδος βελτιστοποίησης [44], [24]. Moreover, linear models often permit rigorous statistical analysis, including fundamental limits on the ελάχιστο achievable διακινδύνευση [11]. They are also useful for analyzing more complex nonlinear models such as TNΔs. For instance, a βαθύ δίκτυο can be viewed as the composition of a χάρτης χαρακτηριστικών—implemented by the input and hidden στρώμας—and a linear model in the output στρώμα. Similarly, a decision tree can be interpreted as applying a one-hot-encoded χάρτης χαρακτηριστικών based on περιοχή αποφάσεως, followed by a linear model that assigns a πρόβλεψη to each region. More generally, any trained model $\hat{h} \in \mathcal{H}$ that is παραγωγίσιμη at some \mathbf{x}' can be locally approximated by a linear map $g(\mathbf{x})$. Fig. 29 illustrates such a local linear approximation, defined by the gradient $\nabla \hat{h}(\mathbf{x}')$. Note that the gradient is only defined where

\hat{h} is παραγωγίσιμη. To ensure στιβαρότητα in the context of αξιόπιστη TN, one may prefer models whose associated απεικόνιση \hat{h} is Lipschitz continuous. A classic result in mathematical analysis—Rademacher’s Theorem—states that if \hat{h} is Lipschitz continuous with some constant L over an open set $\Omega \subseteq \mathbb{R}^d$, then \hat{h} is παραγωγίσιμη almost everywhere in Ω [67, Th. 3.1].

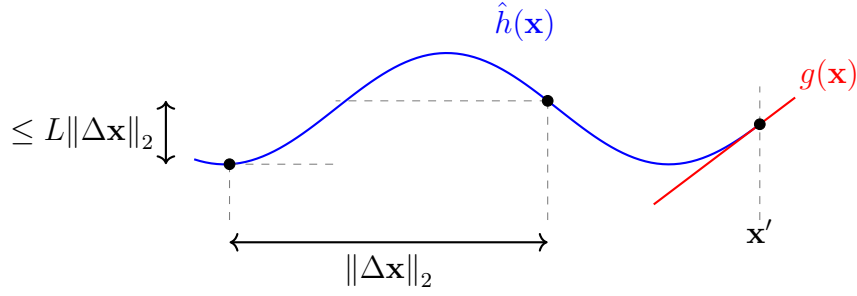


Fig. 29. A trained model $\hat{h}(\mathbf{x})$ that is παραγωγίσιμη at a point \mathbf{x}' can be locally approximated by a linear map $g \in \mathcal{H}^{(d)}$. This local approximation is determined by the gradient $\nabla \hat{h}(\mathbf{x}')$.

Βλέπε επίσης: ml, data point, διάνυσμα χαρακτηριστικών, model, χώρος υποθέσεων, linear map, feature, πρόβλεψη, υπολογιστική διάσταση, στατιστική διάσταση, μεροληψία, διακινδύνευση, ερμηνευσιμότητα, κυρτό, μέθοδος βελτιστοποίησης, ελάχιστο, TNΔ, βαθύ δίκτυο, χάρτης χαρακτηριστικών, στρώμα, decision tree, περιοχή αποφάσεων, παραγωγίσιμη, gradient, στιβαρότητα, αξιόπιστη TN, απεικόνιση, LIME.

γραμμικός ταξινομητής Θεωρούμε σημεία δεδομένων που χαρακτηρίζονται από αριθμητικά χαρακτηριστικά $\mathbf{x} \in \mathbb{R}^d$ και μία ετικέτα $y \in \mathcal{Y}$ από κάποιον πεπερασμένο χώρο ετικετών \mathcal{Y} . Ένας γραμμικός ταξινομητής χαρακτηρίζεται από το γεγονός ότι έχει περιοχές αποφάσεων που διαχω-

ρίζονται από υπερεπίπεδα στο \mathbb{R}^d [8, Κεφ. 2].

Βλέπε επίσης: data point, feature, ετικέτα, χώρος ετικετών, ταξινομητής, περιοχή αποφάσεων.

γράφος ομοιότητας Κάποιες εφαρμογές μηχανικής μάθησης παράγουν σημεία δεδομένων που σχετίζονται μέσω μίας έννοιας ομοιότητας που εξαρτάται από το πεδίο. Αυτές οι ομοιότητες μπορούν να αναπαρασταθούν με ευκολία χρησιμοποιώντας έναν γράφο ομοιότητας $\mathcal{G} = (\mathcal{V} := \{1, \dots, m\}, \mathcal{E})$. Ο κόμβος $r \in \mathcal{V}$ αντιπροσωπεύει το r στό σημείο δεδομένων. Δύο κόμβοι συνδέονται με μία μη κατευθυνόμενη ακμή αν τα αντίστοιχα σημεία δεδομένων είναι όμοια.

Βλέπε επίσης: ml, data point, graph.

δεδομένα Στο πλαίσιο της μηχανικής μάθησης, ο όρος δεδομένα (data) χρησιμοποιείται συχνά ως συνώνυμο του συνόλου δεδομένων [68], [69]. Το πρότυπο ISO/IEC 2382:2015 ορίζει τα δεδομένα ως μία «επανερμηνεύσιμη αναπαράσταση πληροφοριών με έναν τυποποιημένο τρόπο κατάλληλο για επικοινωνία, ερμηνεία, ή επεξεργασία» ("reinterpretable representation of information in a formalized manner suitable for communication, interpretation, or processing") [70].

Βλέπε επίσης: ml, σύνολο δεδομένων, data point, δείγμα.

δείγμα Μία πεπερασμένη ακολουθία (ή λίστα) σημείων δεδομένων $\mathbf{z}^{(1)}, \dots, \mathbf{z}^{(m)}$ που προκύπτει ή ερμηνεύεται ως η πραγμάτωση m ανεξάρτητων και ταυτόσημα καταναμετημένων τυχαίων μεταβλητών με κοινή κατανομή πιθανότητας $p(\mathbf{z})$. Το μήκος m της ακολουθίας αναφέρεται ως το μέγεθος δείγματος.

Βλέπε επίσης: data point, πραγμάτωση, ανεξάρτητες και ταυτόσημα κατα-
νεμημένες, τυχαία μεταβλητή, κατανομή πιθανότητας, μέγεθος δείγματος.

δειγματικός χώρος Ένας δειγματικός χώρος είναι το σύνολο όλων των
πιθανών αποτελεσμάτων ενός τυχαίου πειράματος [6], [7], [35], [71].

Βλέπε επίσης: δείγμα, τυχαίο πείραμα, χώρος πιθανοτήτων.

δέντρο αποφάσεων A decision tree is a flowchart-like representation of a
υπόθεση απεικόνιση h . More formally, a decision tree is a directed graph
containing a root node that reads in the διάνυσμα χαρακτηριστικών \mathbf{x}
of a data point. The root node then forwards the data point to one
of its child nodes based on some elementary test on the features \mathbf{x} . If
the receiving child node is not a leaf node, i.e., it has child nodes itself,
it represents another test. Based on the test result, the data point is
forwarded to one of its descendants. This testing and forwarding of
the data point is continued until the data point ends up in a leaf node
without any children. See Fig. 30 for visual illustrations.

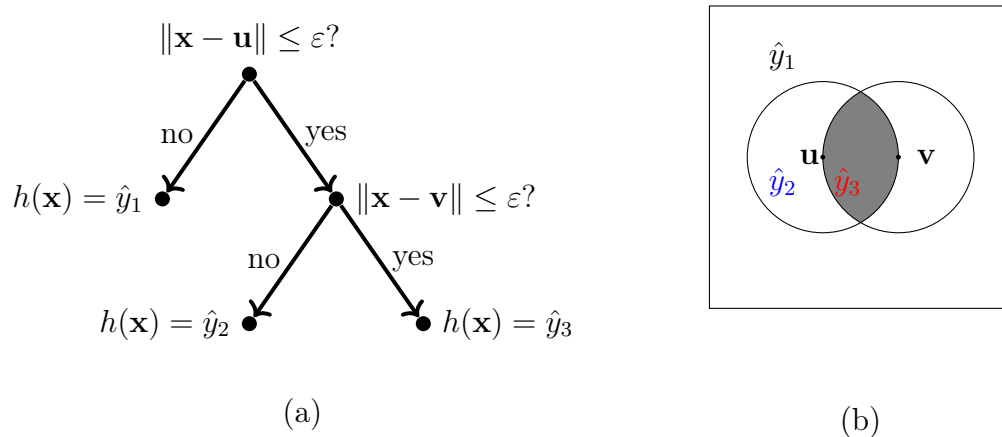


Fig. 30. (a) A decision tree is a flowchart-like representation of a piecewise constant υπόθεση $h : \mathcal{X} \rightarrow \mathbb{R}$. Each piece is a περιοχή αποφάσεων $\mathcal{R}_{\hat{y}} := \{\mathbf{x} \in \mathcal{X} : h(\mathbf{x}) = \hat{y}\}$. The depicted decision tree can be applied to numeric διάνυσμα χαρακτηριστικών, i.e., $\mathcal{X} \subseteq \mathbb{R}^d$. It is parametrized by the threshold $\varepsilon > 0$ and the διάνυσμα $\mathbf{u}, \mathbf{v} \in \mathbb{R}^d$. (b) A decision tree partitions the χώρος χαρακτηριστικών \mathcal{X} into περιοχή αποφάσεων. Each περιοχή αποφάσεων $\mathcal{R}_{\hat{y}} \subseteq \mathcal{X}$ corresponds to a specific leaf node in the decision tree.

Βλέπε επίσης: υπόθεση, απεικόνιση, graph, διάνυσμα χαρακτηριστικών, data point, feature, περιοχή αποφάσεων, διάνυσμα, χώρος χαρακτηριστικών.

δέσμη Στο πλαίσιο της στοχαστικής καθόδου κλίσης, μία δέσμη αναφέρεται σε ένα τυχαία επιλεγμένο υποσύνολο του γενικού συνόλου εκπαίδευσης. Χρησιμοποιούμε τα σημεία δεδομένων σε αυτό το υποσύνολο για να εκτιμήσουμε την κλίση του σφάλματος εκπαίδευσης και στη συνέχεια να ενημερώσουμε τις παραμέτρους του μοντέλου.

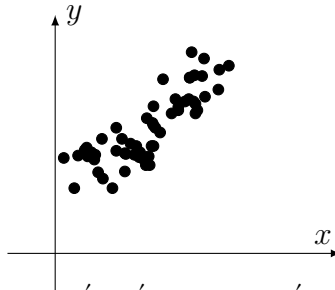
Βλέπε επίσης: στοχαστική κάθοδος κλίσης, σύνολο εκπαίδευσης, data point, gradient, training error, model parameter.

δηλητηρίαση δεδομένων Η δηλητηρίαση δεδομένων (data poisoning) α-

ναφέρεται στον σχόπιο χειρισμό (ή επινόηση) σημείων δεδομένων για να κατευθύνει κακόβουλα την εκπαίδευση ενός μοντέλου μηχανικής μάθησης [72], [73]. Οι επιθέσεις δηλητηρίασης δεδομένων λαμβάνουν διάφορες μορφές, συμπεριλαμβανομένων των επιθέσεων κερκόπορτας και των επιθέσεων άρνησης υπηρεσιών. Μία επίθεση κερκόπορτας εμφυτεύει ενεργοποιητές στα δεδομένα εκπαίδευσης, έτσι ώστε το εκπαιδευμένο μοντέλο να συμπεριφέρεται κανονικά για τυπικά σημεία δεδομένων αλλά να ταξινομεί λανθασμένα ένα σημείο δεδομένων με ένα διάνυσμα χαρακτηριστικών που περιέχει ένα μοτίβο ενεργοποίησης. Μία επίθεση άρνησης υπηρεσιών υποβαθμίζει τη συνολική επίδοση του εκπαιδευμένου μοντέλου μέσω της εισαγωγής αντιπαραθετικών παραδειγμάτων ή παραδειγμάτων με λανθασμένη ετικέτα για την αποφυγή αποτελεσματικής μάθησης. Η δηλητηρίαση δεδομένων είναι ιδιαίτερα επιβλαβής σε αποκεντρωμένα ή κατανεμημένα περιβάλλοντα μηχανικής μάθησης (όπως η ομοσπονδιακή μάθηση), όπου τα δεδομένα εκπαίδευσης δεν μπορούν να επαληθευτούν κεντρικά.

Βλέπε επίσης: data, data point, εκπαίδευση, ml, model, επίθεση, κερκόπορτα, επίθεση άρνησης υπηρεσιών, διάνυσμα χαρακτηριστικών, FL, αξιόπιστη TN.

διάγραμμα διασποράς Μία τεχνική οπτικοποίησης που απεικονίζει σημεία δεδομένων χρησιμοποιώντας σημεία σε ένα 2-D επίπεδο. Το Σχ. 31 απεικονίζει ένα παράδειγμα ενός διαγράμματος διασποράς.



Σχ. 31. Ένα διάγραμμα διασποράς κάποιων σημείων δεδομένων που αντιπροσωπεύουν καθημερινές καιρικές συνθήκες στη Φινλανδία. Κάθε σημείο δεδομένων χαρακτηρίζεται από την ελάχιστη θερμοκρασία της ημέρας x ως το χαρακτηριστικό του και τη μέγιστη θερμοκρασία της ημέρας y ως την ετικέτα του. Οι θερμοκρασίες έχουν μετρηθεί στον σταθμό καιρού του Φινλανδικού Μετεωρολογικού Ινστιτούτου στο Ελσίνκι Καισάνιεμι κατά την περίοδο 1 Σεπτεμβρίου 2024—28 Οκτωβρίου 2024.

Ένα διάγραμμα διασποράς μπορεί να επιτρέψει τον οπτικό έλεγχο σημείων δεδομένων που αναπαριστώνται φυσικά από διανύσματα χαρακτηριστικών σε χώρους υψηλής διάστασης.

Βλέπε επίσης: data point, ελάχιστο, feature, maximum, ετικέτα, Φινλανδικό Μετεωρολογικό Ινστιτούτο, διάνυσμα χαρακτηριστικών, μείωση της διαστασιμότητας.

διαδικτυακή μάθηση Some ml methods are designed to process data in a sequential manner, updating their model parameters one at a time, as new data points become available. A typical example is time-series data, such as daily ελάχιστο and maximum temperatures recorded by an Φινλανδικό Μετεωρολογικό Ινστιτούτο weather station. These values form a chronological sequence of observations. During each time step t , online learning methods update (or refine) the current υπόθεση $h^{(t)}$ (or model parameters $\mathbf{w}^{(t)}$) based on the newly observed data point $\mathbf{z}^{(t)}$.

Βλέπε επίσης: ml, data, παράμετροι μοντέλου, data point, ελάχιστο, max-

imum, Φινλανδικό Μετεωρολογικό Ινστιτούτο, υπόθεση, online gradient descent (online GD), διαδικτυακός αλγόριθμος.

διαδικτυακός αλγόριθμος An online αλγόριθμος processes input data incrementally, receiving data points sequentially and making decisions or producing outputs (or decisions) immediately without having access to the entire input in advance [79], [80]. Unlike an offline αλγόριθμος, which has the entire input available from the start, an online αλγόριθμος must handle αβεβαιότητα about future inputs and cannot revise past decisions. Similar to an offline αλγόριθμος, we represent an online αλγόριθμος formally as a collection of possible executions. However, the execution ακολουθία for an online αλγόριθμος has a distinct structure as follows:

$$\text{in}_1, s_1, \text{out}_1, \text{in}_2, s_2, \text{out}_2, \dots, \text{in}_T, s_T, \text{out}_T.$$

Each execution begins from an initial state (i.e., in_1) and proceeds through alternating computational steps, outputs (or decisions), and inputs. Specifically, at step t , the αλγόριθμος performs a computational step s_t , generates an output out_t , and then subsequently receives the next input (data point) in_{t+1} . A notable example of an online αλγόριθμος in ml is online GD, which incrementally updates model parameters as new data points arrive.

Βλέπε επίσης: αλγόριθμος, data, data point, αβεβαιότητα, ml, online GD, παράμετροι μοντέλου, διαδικτυακή μάθηση.

διακινδύνευση Θεωρούμε μία υπόθεση h που χρησιμοποιείται για να προβλε-

φθεί η ετικέτα y ενός σημείου δεδομένων βάσει των χαρακτηριστικών \mathbf{x} . Μετράμε την ποιότητα μίας συγκεκριμένης πρόβλεψης χρησιμοποιώντας μία συνάρτηση απώλειας $L((\mathbf{x}, y), h)$. Αν ερμηνεύσουμε τα σημεία δεδομένων ως τις πραγματώσεις ανεξάρτητων και ταυτόσημα κατανεμημένων τυχαίων μεταβλητών, τότε και η $L((\mathbf{x}, y), h)$ γίνεται η πραγμάτωση μίας τυχαίας μεταβλητής. Η παραδοχή ανεξάρτητων και ταυτόσημα κατανεμημένων μας επιτρέπει να ορίσουμε τη διακινδύνευση μίας υπόθεσης ως την αναμενόμενη απώλεια $\mathbb{E}\{L((\mathbf{x}, y), h)\}$. Σημείωση ότι η διακινδύνευση της h εξαρτάται τόσο από τη συγκεκριμένη επιλογή για τη συνάρτηση απώλειας όσο και από την κατανομή πιθανότητας των σημείων δεδομένων. Βλέπε επίσης: υπόθεση, ετικέτα, data point, feature, πρόβλεψη, συνάρτηση απώλειας, πραγμάτωση, ανεξάρτητες και ταυτόσημα κατανεμημένες τυχαία μεταβλητή, παραδοχή ανεξάρτητων και ταυτόσημα κατανεμημένων, loss, κατανομή πιθανότητας.

διακινδύνευση Bayes Θεωρούμε ένα πιθανοτικό μοντέλο με μία κοινή κατανομή πιθανότητας $p(\mathbf{x}, y)$ για τα χαρακτηριστικά \mathbf{x} και την ετικέτα y ενός σημείου δεδομένων. Η διακινδύνευση Bayes (Bayes risk) είναι η ελάχιστη πιθανή διακινδύνευση που μπορεί να επιτευχθεί από οποιαδήποτε υπόθεση $h : \mathcal{X} \rightarrow \mathcal{Y}$. Οποιαδήποτε υπόθεση που επιτυγχάνει τη διακινδύνευση Bayes αναφέρεται ως μία εκτιμητής Bayes [29].

Βλέπε επίσης: πιθανοτικό μοντέλο, κατανομή πιθανότητας, feature, ετικέτα, data point, διακινδύνευση, ελάχιστο, υπόθεση, εκτιμητής Bayes.

διακύμανση Η διακύμανση μίας τυχαίας μεταβλητής πραγματικής τιμής x ορίζεται ως η προσδοκία $\mathbb{E}\{(x - \mathbb{E}\{x\})^2\}$ της τετραγωνικής διαφοράς

μεταξύ της x και της προσδοκίας της $\mathbb{E}\{x\}$. Επεκτείνουμε αυτόν τον ορισμό σε τυχαίες μεταβλητές διανυσματικής τιμής \mathbf{x} ως $\mathbb{E}\{\|\mathbf{x}-\mathbb{E}\{\mathbf{x}\}\|_2^2\}$. Βλέπε επίσης: τυχαία μεταβλητή, expectation, διάνυσμα.

διάνυσμα ετικετών Given a σύνολο δεδομένων of m σημείο δεδομένων με ετικέτας

$$(\mathbf{x}^{(1)}, y^{(1)}), \dots, (\mathbf{x}^{(m)}, y^{(m)}),$$

it is convenient to collect the corresponding ετικέτας into a single ετικέτα διάνυσμα $\mathbf{y} := (y_1, \dots, y_m)^T$ [28], [44].

See also: σύνολο δεδομένων, σημείο δεδομένων με ετικέτα, ετικέτα, data point.

διάνυσμα χαρακτηριστικών Το διάνυσμα χαρακτηριστικών αναφέρεται σε ένα διάνυσμα $\mathbf{x} = (x_1, \dots, x_d)^T$ του οποίου οι καταχωρίσεις είναι ξεχωριστά χαρακτηριστικά x_1, \dots, x_d . Πολλές μέθοδοι μηχανικής μάθησης χρησιμοποιούν διανύσματα χαρακτηριστικών που ανήκουν σε κάποιον Ευκλείδειο χώρο \mathbb{R}^d πεπερασμένης διάστασης. Για κάποιες μεθόδους μηχανικής μάθησης, ωστόσο, μπορεί να είναι πιο βολικό να δουλεύουμε με διανύσματα χαρακτηριστικών που ανήκουν σε έναν διανυσματικό χώρο άπειρης διάστασης (π.χ. βλέπε kernel method).

Βλέπε επίσης: feature, διάνυσμα, ml, Ευκλείδειος χώρος, διανυσματικός χώρος.

διαρροή ιδιωτικότητας Θεωρούμε μία εφαρμογή μηχανικής μάθησης που επεξεργάζεται ένα σύνολο δεδομένων \mathcal{D} και δίνει κάποια έξοδο, όπως οι προβλέψεις που προκύπτουν για νέα σημεία δεδομένων. Διαρροή ιδιωτικότητας ανακύπτει αν η έξοδος φέρει πληροφορίες σχετικά με ένα

ιδιωτικό (ή ευαίσθητο) χαρακτηριστικό ενός σημείου δεδομένων του \mathcal{D} (όπως έναν άνθρωπο). Με βάση ένα πιθανοτικό μοντέλο για την παραγωγή δεδομένων, μπορούμε να μετρήσουμε τη διαρροή ιδιωτικότητας μέσω των αμοιβαίων πληροφοριών μεταξύ της εξόδου και του ευαίσθητου χαρακτηριστικού. Ένα άλλο ποιοτικό μέτρο διαρροής ιδιωτικότητας είναι η διαφορική ιδιωτικότητα. Οι σχέσεις μεταξύ διαφορετικών μέτρων διαρροής ιδιωτικότητας έχουν μελετηθεί στη βιβλιογραφία (βλέπε [74]).

Βλέπε επίσης: ml, σύνολο δεδομένων, πρόβλεψη, data point, feature, πιθανοτικό μοντέλο, data, αμοιβαίες πληροφορίες, διαφορική ιδιωτικότητα, επίθεση της ιδιωτικότητας, γενικός κανονισμός για την προστασία δεδομένων (ΓΚΠΔ).

διάσταση Vapnik–Chervonenkis The statistical properties of an εμπειρική ελαχιστοποίηση διακινδύνευσης-based method depends critically on the expressive capacity of its χώρος υποθέσεων (or model) \mathcal{H} . A standard measure of this capacity is the VC dimension (Vapnik–Chervonenkis dimension - VC dimension) $\text{VCdim}(\mathcal{H})$ [75]. Formally, it is the largest integer m such that there exists a σύνολο δεδομένων $\mathcal{D} = \mathbf{x}^{(1)}, \dots, \mathbf{x}^{(m)} \subseteq \mathcal{X}$ that can be perfectly classified (or shattered) by some $h \in \mathcal{H}$. In particular, for every one of the 2^m possible assignments of binary ετικέτας to each διάνυσμα χαρακτηριστικών in \mathcal{D} , there exists some υπόθεση $h \in \mathcal{H}$ that realizes this labeling. Intuitively, the VC dimension quantifies how well \mathcal{H} can fit arbitrary ετικέτα assignments, and thus captures its approximate power. It plays a central role in deriving bounds on the generalization gap. Fig. 32 illustrates the definition of the VC dimension for a γραμμικό μοντέλο $\mathcal{H}^{(2)}$ with $d = 2$ features. Fig. 32(a)

and 32(b) show the same set of three noncollinear διάνυσμα χαρακτηριστικών under two different binary labelings. In both cases, a separating hyperplane exists that realizes the labeling. Since this holds for all $2^3 = 8$ possible binary labelings of the three διάνυσμα χαρακτηριστικών, the set is shattered. Fig. 32(c) depicts four διάνυσμα χαρακτηριστικών with a specific labeling. No linear separator can correctly classify all data points in this case. Thus, $\text{VCdim}(\mathcal{H}^{(2)}) = 3$.

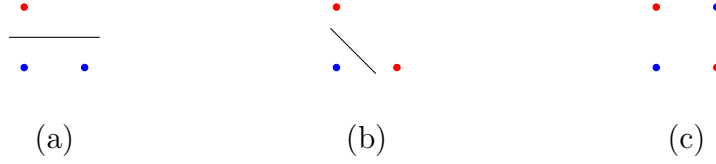


Fig. 32. Illustration of the VC dimension for a γραμμικό μοντέλο $\mathcal{H}^{(2)}$ that is used to learn a γραμμικός ταξινομητής in the χώρος χαρακτηριστικών \mathbb{R}^2 .

More generally, for a γραμμικό μοντέλο $\mathcal{H}^{(d)}$, the VC dimension equals $d + 1$. In other words, for γραμμικό μοντέλος, the VC dimension essentially matches the dimension of the underlying χώρος χαρακτηριστικών \mathbb{R}^d . For more complex χώρος υποθέσεων, such as decision trees or TNΔs, the relation between VC dimension and the dimension of the χώρος χαρακτηριστικών is far less direct. In these cases, alternative complexity measures, such as the πολυπλοκότητα Rademacher, can be more useful for analyzing εμπειρική ελαχιστοποίηση διακινδύνευσης-based methods.

Βλέπε επίσης: εμπειρική ελαχιστοποίηση διακινδύνευσης, χώρος υποθέσεων, model, σύνολο δεδομένων, ετικέτα, διάνυσμα χαρακτηριστικών,

υπόθεση, generalization gap, γραμμικό μοντέλο, feature, data point, γραμμικός ταξινομητής, χώρος χαρακτηριστικών, decision tree, ΤΝΔ, πολυπλοκότητα Rademacher, γενίκευση, ml, αποτελεσματική διάσταση.

διασταυρούμενη επικύρωση k -αναδιπλώσεων Η διασταυρούμενη επικύρωση k -αναδιπλώσεων (k -fold cross-validation - k -fold CV) είναι μία μέθοδος για την αξιολόγηση του χάσματος γενίκευσης μίας μεθόδου μηχανικής μάθησης βασισμένης στην εμπειρική ελαχιστοποίηση διακινδύνευσης. Η ιδέα είναι να διαιρεθεί ένα σύνολο δεδομένων \mathcal{D} ισότιμα σε k υποσύνολα (ή αναδιπλώσεις (folds)) $\mathcal{D}^{(1)}, \dots, \mathcal{D}^{(k)}$.

	$\mathcal{D}^{(1)}$	$\mathcal{D}^{(2)}$	$\mathcal{D}^{(3)}$	$\mathcal{D}^{(4)}$	$\mathcal{D}^{(5)}$
αναδίπλωση (fold) 1	■				
αναδίπλωση (fold) 2		■			
αναδίπλωση (fold) 3			■		
αναδίπλωση (fold) 4				■	
αναδίπλωση (fold) 5					■

Σχ. 33. Στη διασταυρούμενη επικύρωση k -αναδιπλώσεων, το διαθέσιμο σύνολο δεδομένων \mathcal{D} διαιρείται ισότιμα σε k αναδιπλώσεις $\mathcal{D}^{(1)}, \dots, \mathcal{D}^{(k)}$. Κάθε αναδίπλωση χρησιμοποιείται μία φορά ως σύνολο επικύρωσης, ενώ οι υπόλοιπες $k - 1$ αναδιπλώσεις σχηματίζουν το σύνολο εκπαίδευσης.

Για κάθε αναδίπλωση $b = 1, \dots, k$, εκπαιδεύουμε το μοντέλο στην ένωση όλων των αναδιπλώσεων εκτός του $\mathcal{D}^{(b)}$ και το επικυρώνουμε στο $\mathcal{D}^{(b)}$. Η συνολική επίδοση προκύπτει από τον μέσο όρο των αποτελεσμάτων επικύρωσης σε όλες τις k αναδιπλώσεις.

Βλέπε επίσης: generalization gap, εμπειρική ελαχιστοποίηση διακινδύνευσης, ml, σύνολο δεδομένων, σύνολο επικύρωσης, σύνολο εκπαίδευσης, model, επικύρωση.

διάυλος ιδιωτικότητας Ο διάυλος ιδιωτικότητας είναι μία μέθοδος για τη μάθηση φιλικών προς την ιδιωτικότητα χαρακτηριστικών σημείων δεδομένων [76].

Βλέπε επίσης: feature, data point.

διαφορική ιδιωτικότητα Consider some ml method \mathcal{A} that reads in a σύνολο δεδομένων (e.g., the σύνολο εκπαίδευσης used for εμπειρική ελαχιστοποίηση διακινδύνευσης) and delivers some output $\mathcal{A}(\mathcal{D})$. The output could be either the learned παράμετροι μοντέλου or the πρόβλεψη for specific data points. DP (differential privacy; DP) is a precise measure of διαρροή ιδιωτικότητας incurred by revealing the output. Roughly speaking, an ml method is differentially private if the κατανομή πιθανότητας of the output $\mathcal{A}(\mathcal{D})$ remains largely unchanged if the ευαίσθητο ιδιοχαρακτηριστικό of one data point in the σύνολο εκπαίδευσης is changed. Note that DP builds on a πιθανοτικό μοντέλο for an ml method, i.e., we interpret its output $\mathcal{A}(\mathcal{D})$ as the πραγμάτωση of an τυχαία μεταβλητή. The randomness in the output can be ensured by intentionally adding the πραγμάτωση of an auxiliary τυχαία μεταβλητή (noise) to the output of the ml method.

Βλέπε επίσης: ml, σύνολο δεδομένων, σύνολο εκπαίδευσης, εμπειρική ελαχιστοποίηση διακινδύνευσης, παράμετροι μοντέλου, πρόβλεψη, data point, διαρροή ιδιωτικότητας, κατανομή πιθανότητας, ευαίσθητο ιδιοχαρακτηριστικό, πιθανοτικό μοντέλο, πραγμάτωση, τυχαία μεταβλητή, επίθεση της ιδιωτικότητας, διάυλος ιδιωτικότητας.

διεπαφή προγραμματισμού εφαρμογών An API (application program-

ming interface; API) is a formal mechanism that allows software components to interact in a structured and modular way [77]. In the context of ml, APIs are commonly used to provide access to a trained ml model. Users—whether humans or machines—can submit the *διάνυσμα χαρακτηριστικών* of a data point and receive a corresponding *πρόβλεψη*. Suppose a trained ml model is defined as $\hat{h}(x) := 2x + 1$. Through an API, a user can input $x = 3$ and receive the output $\hat{h}(3) = 7$ without knowledge of the detailed structure of the ml model or its training. In practice, the model is typically deployed on a server connected to the Internet. Clients send requests containing feature values to the server, which responds with the computed *πρόβλεψη* $\hat{h}(\mathbf{x})$. APIs promote modularity in ml system design, i.e., one team can develop and train the model, while another team handles integration and user interaction. Publishing a trained model via an API also offers practical advantages. For instance, the server can centralize computational resources that are required to compute *πρόβλεψης*. Furthermore, the internal structure of the model remains hidden—which is useful for protecting intellectual property or trade secrets. However, APIs are not without *διακινδύνευση*. Techniques such as *αντιστροφή μοντέλου* can potentially reconstruct a model from its *πρόβλεψης* using carefully selected *διάνυσμα χαρακτηριστικών*.

Βλέπε επίσης: ml, model, *διάνυσμα χαρακτηριστικών*, data point, *πρόβλεψη*, feature, *αντιστροφή μοντέλου*.

δίκτυο ομοσπονδιακής μάθησης Ένα δίκτυο ομοσπονδιακής μάθησης (federated learning network - FL network) αποτελείται από έναν μη

κατευθυνόμενο σταθμισμένο γράφο \mathcal{G} . Οι κόμβοι του \mathcal{G} αντιπροσωπεύουν συσκευές που έχουν πρόσβαση σε ένα τοπικό σύνολο δεδομένων και εκπαιδεύουν ένα τοπικό μοντέλο. Οι ακμές του \mathcal{G} αντιπροσωπεύουν συνδέσμους επικοινωνίας μεταξύ συσκευών καθώς και στατιστικές ομοιότητες μεταξύ των τοπικών συνόλων δεδομένων τους. Μία προσέγγιση αρχών για την εκπαίδευση των τοπικών μοντέλων είναι η ελαχιστοποίηση γενικευμένης ολικής μεταβολής. Οι λύσεις της ελαχιστοποίησης γενικευμένης ολικής μεταβολής είναι τοπικοί παράμετροι μοντέλου που αντισταθμίζουν ιδανικά την απώλεια που προκαλείται σε τοπικά σύνολα δεδομένων με την απόκλισή τους μεταξύ των ακμών του \mathcal{G} .

Βλέπε επίσης: FL, graph, συσκευή, τοπικό σύνολο δεδομένων, local model, ελαχιστοποίηση γενικευμένης ολικής μεταβολής, παράμετροι μοντέλου, loss, απόκλιση.

δυναδική ταξινόμηση Η δυναδική ταξινόμηση (binary classification) αναφέρεται σε ταξινόμηση με δύο ετικέτες. Οι ετικέτες συνήθως ορίζονται ως $\{-1, 1\}$ ή $\{0, 1\}$.

Βλέπε επίσης: ταξινόμηση, ετικέτα, data point, feature.

εκκίνηση Για την ανάλυση μεθόδων μηχανικής μάθησης, είναι συχνά χρήσιμο να ερμηνεύουμε ένα συγκεκριμένο σύνολο σημείων δεδομένων $\mathcal{D} = \{\mathbf{z}^{(1)}, \dots, \mathbf{z}^{(m)}\}$ ως πραγματώσεις ανεξάρτητων και ταυτόσημα κατανομμένων τυχαίων μεταβλητών που εξάγονται από μία κοινή κατανομή πιθανότητας $p(\mathbf{z})$. Στην πράξη, η κατανομή πιθανότητας $p(\mathbf{z})$ είναι άγνωστη και πρέπει να εκτιμηθεί από το \mathcal{D} . Η προσέγγιση εκκίνησης χρησιμοποιεί το ιστόγραμμα του \mathcal{D} ως μία εκτιμήτρια για την $p(\mathbf{z})$.

Βλέπε επίσης: ml, data point, πραγμάτωση, ανεξάρτητες και ταυτόσημα κατανοημένες, τυχαία μεταβλητή, κατανομή πιθανότητας, ιστόγραμμα.

εκπαίδευση In the context of ml, training refers to the process

See also: model, loss, εμπειρική ελαχιστοποίηση διακινδύνευσης.

εκτιμητής Bayes Θεωρούμε ένα πιθανοτικό μοντέλο με μία από κοινού κατανομή πιθανότητας $p(\mathbf{x}, y)$ πάνω στα χαρακτηριστικά \mathbf{x} και την ετικέτα y ενός σημείου δεδομένων. Για μία δεδομένη συνάρτηση απώλειας $L(\cdot, \cdot)$, αναφερόμαστε σε μία υπόθεση h ως έναν εκτιμητή Bayes αν η διακινδύνευσή της $\mathbb{E}\{L((\mathbf{x}, y), h)\}$ είναι η ελάχιστη επιτεύξιμη διακινδύνευση [29]. Σημείωση ότι το αν μία υπόθεση πληροί τις προϋποθέσεις για να θεωρηθεί εκτιμητής Bayes εξαρτάται από την υποκείμενη κατανομή πιθανότητας και την επιλογή για τη συνάρτηση απώλειας $L(\cdot, \cdot)$.

Βλέπε επίσης: πιθανοτικό μοντέλο, κατανομή πιθανότητας, feature, ετικέτα, data point, συνάρτηση απώλειας, υπόθεση, διακινδύνευση, ελάχιστο.

ελάχιστο άνω φράγμα (ή supremum) The supremum (supremum or least upper bound) of a set of real numbers is the smallest number that is greater than or equal to every element in the set. More formally, a real number a is the supremum of a set $\mathcal{A} \subseteq \mathbb{R}$ if: 1) a is an upper bound of \mathcal{A} ; and 2) no number smaller than a is an upper bound of \mathcal{A} . Every non-empty set of real numbers that is bounded above has a supremum, even if it does not contain its supremum as an element [2, Sec. 1.4].

ελαχιστοποίηση γενικευμένης ολικής μεταβολής Η ελαχιστοποίηση γενικευμένης ολικής μεταβολής (generalized total variation minimiza-

tion - GTVMin) είναι μία περίπτωση ομαλοποιημένης ελαχιστοποίησης εμπειρικής διακινδύνευσης που χρησιμοποιεί την γενικευμένη ολική μεταβολή τοπικών παραμέτρων μοντέλου ως έναν ομαλοποιητή [78].

Βλέπε επίσης: ομαλοποιημένη ελαχιστοποίηση εμπειρικής διακινδύνευσης, γενικευμένη ολική μεταβολή, παράμετροι μοντέλου, ομαλοποιητής.

ελαχιστοποίηση δομικής διακινδύνευσης Η ελαχιστοποίηση δομικής διακινδύνευσης (structural risk minimization - SRM) είναι μία περίπτωση ομαλοποιημένης ελαχιστοποίησης εμπειρικής διακινδύνευσης, με την οποία το μοντέλο \mathcal{H} μπορεί να εκφραστεί ως μία μετρήσιμη ένωση υπομοντέλων: $\mathcal{H} = \bigcup_{n=1}^{\infty} \mathcal{H}^{(n)}$. Κάθε υπομοντέλο $\mathcal{H}^{(n)}$ επιτρέπει την παραγωγή ενός προσεγγιστικού άνω φράγματος στο σφάλμα γενίκευσης που προκαλείται κατά την εφαρμογή εμπειρικής ελαχιστοποίησης διακινδύνευσης για την εκπαίδευση του $\mathcal{H}^{(n)}$. Αυτά τα μεμονωμένα φράγματα—ένα για κάθε υπομοντέλο—συνδυάζονται έπειτα για να σχηματίσουν έναν ομαλοποιητή που χρησιμοποιείται στον στόχο ομαλοποιημένης ελαχιστοποίησης εμπειρικής διακινδύνευσης. Αυτά τα προσεγγιστικά άνω φράγματα (ένα για κάθε $\mathcal{H}^{(n)}$) συνδυάζονται στη συνέχεια για να κατασκευάσουν έναν ομαλοποιητή για την ομαλοποιημένη ελαχιστοποίηση εμπειρικής διακινδύνευσης [49, Sec. 7.2].

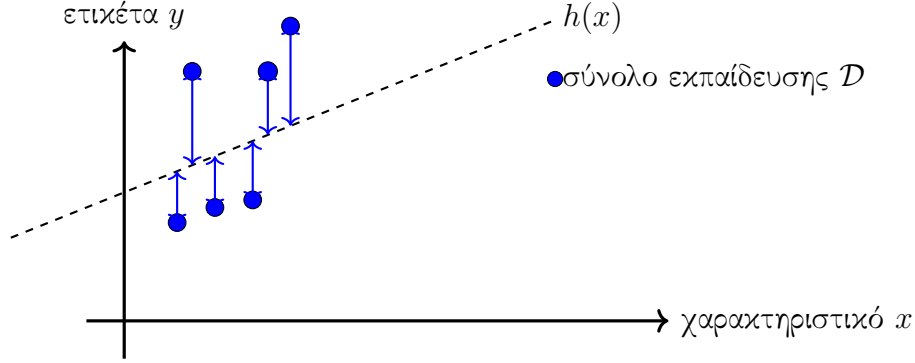
Βλέπε επίσης: ομαλοποιημένη ελαχιστοποίηση εμπειρικής διακινδύνευσης, model, γενίκευση, εμπειρική ελαχιστοποίηση διακινδύνευσης, ομαλοποιητής, διακινδύνευση.

εμπειρική διακινδύνευση Η εμπειρική διακινδύνευση $\hat{L}(h|\mathcal{D})$ μίας υπόθεσης σε ένα σύνολο δεδομένων \mathcal{D} είναι η μέση απώλεια που προκαλείται

από την h όταν εφαρμόζεται στα σημεία δεδομένων του \mathcal{D} .

Βλέπε επίσης: διακινδύνευση, υπόθεση, σύνολο δεδομένων, loss, data point.

εμπειρική ελαχιστοποίηση διακινδύνευσης Η εμπειρική ελαχιστοποίηση διακινδύνευσης (empirical risk minimization - ERM) είναι το πρόβλημα βελτιστοποίησης της εύρεσης μίας υπόθεσης $\hat{h} \in \mathcal{H}$ που προκαλεί την ελάχιστη μέση απώλεια σε ένα συγκεκριμένο σύνολο δεδομένων \mathcal{D} . Η υπόθεση επιλέγεται από έναν χώρο υποθέσεων (ή μοντέλο) \mathcal{H} . Το σύνολο δεδομένων \mathcal{D} αναφέρεται ως σύνολο εκπαίδευσης. Πολλές μέθοδοι μηχανικής μάθησης βασίζονται στην εμπειρική ελαχιστοποίηση διακινδύνευσης με συγκεκριμένες επιλογές σχεδιασμού για το σύνολο δεδομένων, το μοντέλο, και την απώλεια [8, Κεφ. 3]. Το Σχ. 34 απεικονίζει την εμπειρική ελαχιστοποίηση διακινδύνευσης για ένα γραμμικό μοντέλο και σημεία δεδομένων που χαρακτηρίζονται από ένα μοναδικό χαρακτηριστικό x και μία ετικέτα y . Η υπόθεση h είναι μία linear map που προβλέπει την ετικέτα ενός σημείου δεδομένων ως μία γραμμική συνάρτηση του χαρακτηριστικού του x , δηλαδή $h(x) = w_1x + w_0$, όπου w_1 και w_0 είναι οι παράμετροι μοντέλου της υπόθεσης h . Το πρόβλημα της εμπειρικής ελαχιστοποίησης διακινδύνευσης είναι η εύρεση των παραμέτρων μοντέλου w_1 και w_0 που ελαχιστοποιούν τη μέση απώλεια που προκαλείται από την υπόθεση h στο σύνολο εκπαίδευσης \mathcal{D} .



Σχ. 34. Η εμπειρική ελαχιστοποίηση διακινδύνευσης μαθαίνει μία υπόθεση $h \in \mathcal{H}$, από ένα μοντέλο \mathcal{H} , ελαχιστοποιώντας τη μέση απώλεια (ή εμπειρική διακινδύνευση) $1/m \sum_{r=1}^m L((\mathbf{x}^{(r)}, y^{(r)}), h)$ που προκαλείται σε ένα σύνολο εκπαίδευσης \mathcal{D} .

Βλέπε επίσης: optimization problem, υπόθεση, model, ελάχιστο, loss, empirical risk, σύνολο δεδομένων, σύνολο εκπαίδευσης, ml.

εμπειρογνώμονας ml aims to learn a υπόθεση h that accurately predicts the ετικέτα of a data point based on its features. We measure the πρόβλεψη error using some συνάρτηση απώλειας. Ideally, we want to find a υπόθεση that incurs minimal loss on any data point. We can make this informal goal precise via the παραδοχή ανεξάρτητων και ταυτόσημα κατανεμημένων and by using the διακινδύνευση Bayes as the βάση αναφοράς for the (average) loss of a υπόθεση. An alternative approach to obtaining a βάση αναφοράς is to use the υπόθεση h' learned by an existing ml method. We refer to this υπόθεση h' as an expert [79]. Regret minimization methods learn a υπόθεση that incurs a loss comparable to the best expert [79], [80].

Βλέπε επίσης: ml, υπόθεση, ετικέτα, data point, feature, πρόβλεψη,

συνάρτηση απώλειας, loss, παραδοχή ανεξάρτητων και ταυτόσημα κατανεμημένων, διακινδύνευση Bayes, βάση αναφοράς, regret.

ενεργοποίηση Η έξοδος ενός τεχνητού νευρώνα εντός ενός τεχνητού νευρωνικού δικτύου αναφέρεται ως η ενεργοποίησή του. Συγκεκριμένα, η ενεργοποίηση προκύπτει από την εφαρμογή μίας (συνήθως μη γραμμικής) συνάρτησης ενεργοποίησης σε ένα σταθμισμένο άθροισμα των εισόδων του.

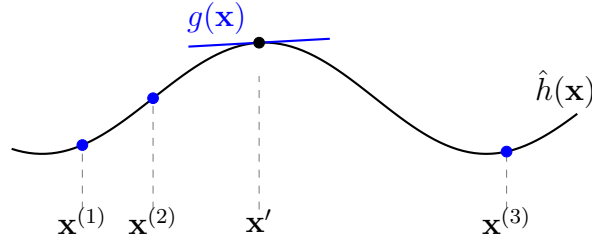
Βλέπε επίσης: ΤΝΔ, συνάρτηση ενεργοποίησης, βαθύ δίκτυο.

εξαγωγή συμπερασμάτων Στο πλαίσιο της μηχανικής μάθησης, η εξαγωγή συμπερασμάτων (inference) αναφέρεται στη διαδικασία αξιολόγησης μίας υπόθεσης που έχει μαθευτεί (ή ενός εκπαιδευμένου μοντέλου) $\hat{h}(\mathbf{x})$ με βάση τα χαρακτηριστικά ενός σημείου δεδομένων [28], [81]. Μία βασική ροή έργου μηχανικής μάθησης ξεκινάει με την εκπαίδευση του μοντέλου και στη συνέχεια χρησιμοποιεί το εκπαιδευμένο μοντέλο για την εξαγωγή συμπερασμάτων.

Βλέπε επίσης: ml, υπόθεση, model, feature, data point, εκπαίδευση, loss, εμπειρική ελαχιστοποίηση διακινδύνευσης.

εξήγηση Μία προσέγγιση για να ενισχυθεί η διαφάνεια μίας μεθόδου μηχανικής μάθησης για τον χρήστη της που είναι άνθρωπος είναι να παρέχεται μία εξήγηση μαζί με τις προβλέψεις που παραδίδονται από τη μέθοδο. Οι εξηγήσεις μπορούν να πάρουν διαφορετικές μορφές. Για παράδειγμα, μπορεί να αποτελούνται από κείμενο που είναι αναγνώσιμο από άνθρωπο ή ποσοτικούς δείκτες, όπως βαθμοί σημαντικότητας χαρακτηριστικών για τα μεμονωμένα χαρακτηριστικά ενός συγκεκριμένου σημείου δεδομένων [82].

Εναλλακτικά, οι εξηγήσεις μπορεί να είναι οπτικές—για παράδειγμα, απεικόνιση έντασης που επισημαίνουν περιοχές της εικόνας που ωθούν την πρόβλεψη [83]. Το Σχ. 35 απεικονίζει δύο τύπους εξηγήσεων. Ο πρώτος είναι μία τοπική γραμμική προσέγγιση $g(\mathbf{x})$ ενός μη γραμμικού εκπαιδευμένου μοντέλου $\hat{h}(\mathbf{x})$ γύρω από ένα συγκεκριμένο διάνυσμα χαρακτηριστικών \mathbf{x}' , όπως χρησιμοποιείται στη μέθοδο LIME. Η δεύτερη μορφή εξήγησης που απεικονίζεται στο σχήμα είναι ένα αραιό σύνολο προβλέψεων $\hat{h}(\mathbf{x}^{(1)})$, $\hat{h}(\mathbf{x}^{(2)})$, $\hat{h}(\mathbf{x}^{(3)})$ σε επιλεγμένα διανύσματα χαρακτηριστικών, προσφέροντας συγκεκριμένα σημεία αναφοράς για τον χρήστη.



Σχ. 35. Ένα εκπαιδευμένο μοντέλο $\hat{h}(\mathbf{x})$ μπορεί να εξηγηθεί τοπικά σε κάποιο σημείο \mathbf{x}' μέσω μίας γραμμικής προσέγγισης $g(\mathbf{x})$. Για μία παραγωγίσιμη $\hat{h}(\mathbf{x})$, αυτή η προσέγγιση καθορίζεται από την κλίση $\nabla \hat{h}(\mathbf{x}')$. Μία άλλη μορφή εξήγησης θα μπορούσε να είναι οι τιμές της συνάρτησης $\hat{h}(\mathbf{x}^{(r)})$ για $r = 1, 2, 3$.

Βλέπε επίσης: διαφάνεια, ml, πρόβλεψη, feature, data point, απεικόνιση, model, διάνυσμα χαρακτηριστικών, LIME, παραγωγίσιμη, gradient, συνάρτηση, ταξινόμηση.

εξηγήσιμη εμπειρική ελαχιστοποίηση διακινδύνευσης Η εξηγήσιμη εμπειρική ελαχιστοποίηση διακινδύνευσης (explainable empirical risk

minimization - EERM) είναι μία περίπτωση ελαχιστοποίησης δομικής διακινδύνευσης που προσθέτει έναν όρο ομαλοποίησης στη μέση απώλεια στην αντικειμενική συνάρτηση της εμπειρικής ελαχιστοποίησης διακινδύνευσης. Ο όρος ομαλοποίησης επιλέγεται ώστε να ευνοούνται απεικόνιση υπόθεσης που είναι εγγενώς εξηγήσιμοι για έναν συγκεκριμένο χρήστη. Αυτός ο χρήστης χαρακτηρίζεται από τις προβλέψεις του που παρέχονται για τα σημεία δεδομένων σε ένα σύνολο εκπαίδευσης [84].

Βλέπε επίσης: ελαχιστοποίηση δομικής διακινδύνευσης, ομαλοποίηση, loss, αντικειμενική συνάρτηση, εμπειρική ελαχιστοποίηση διακινδύνευσης, υπόθεση, απεικόνιση, πρόβλεψη, data point, σύνολο εκπαίδευσης.

εξηγήσιμη μηχανική μάθηση Οι μέθοδοι εξηγήσιμης μηχανικής μάθησης (explainable machine learning - XML) στοχεύουν να συμπληρώσουν κάθε πρόβλεψη με μία εξήγηση για το πώς έχει προκύψει η πρόβλεψη. Η κατασκευή μίας ρητής εξήγησης μπορεί να μην είναι απαραίτητη αν η μέθοδος μηχανικής μάθησης χρησιμοποιεί ένα επαρκώς απλό (ή ερμηνεύσιμο) μοντέλο [65].

Βλέπε επίσης: πρόβλεψη, εξήγηση, ml, model.

εξηγησιμότητα Ορίζουμε την (υποκειμενική) εξηγησιμότητα μίας μεθόδου μηχανικής μάθησης ως το επίπεδο προσομοιωσιμότητας [85] των προβλέψεων που παραδίδονται από ένα σύστημα μηχανικής μάθησης σε έναν χρήστη που είναι άνθρωπος. Ποσοτικά μέτρα για την (υποκειμενική) εξηγησιμότητα ενός εκπαιδευμένου μοντέλου μπορούν να κατασκευαστούν συγκρίνοντας τις προβλέψεις του με τις προβλέψεις που παρέχονται από έναν χρήστη σε ένα σύνολο ελέγχου [84], [85]. Εναλλακτικά, μπορούμε

να χρησιμοποιήσουμε πιθανοτικά μοντέλα για δεδομένα και να μετρήσουμε την εξηγησιμότητα ενός εκπαιδευμένου μοντέλου μηχανικής μάθησης μέσω της υπό συνθήκης (διαφορικής) εντροπίας των προβλέψεών του, δεδομένων των προβλέψεων του χρήστη [86], [87].

Βλέπε επίσης: ml, πρόβλεψη, model, σύνολο ελέγχου, πιθανοτικό μοντέλο, data, εντροπία, αξιόπιστη TN, ομαλοποίηση.

έξοδος The term ...

See also: TBC.

επανάληψη The elementary computational step during the execution of an algorithm is referred to as iteration [53], [88]. For example, ...

επανάληψη σταθερού σημείου A fixed-point iteration is an iterative method for solving a given optimization problem. It constructs a sequence $\mathbf{w}^{(0)}, \mathbf{w}^{(1)}, \dots$ by repeatedly applying an operator \mathcal{F} , i.e.,

$$\mathbf{w}^{(t+1)} = \mathcal{F}\mathbf{w}^{(t)}, \text{ for } t = 0, 1, \dots \quad (4)$$

The operator \mathcal{F} is chosen such that any of its fixed points is a solution $\hat{\mathbf{w}}$ to the given optimization problem. For example, given a παραγωγίσιμη and κυρτό συνάρτηση $f(\mathbf{w})$, the fixed points of the operator $\mathcal{F} : \mathbf{w} \mapsto \mathbf{w} - \nabla f(\mathbf{w})$ coincide with the minimizers of $f(\mathbf{w})$. In general, for a given optimization problem with solution $\hat{\mathbf{w}}$, there are many different operators \mathcal{F} whose fixed points are $\hat{\mathbf{w}}$. Clearly, we should use an operator

\mathcal{F} in (4) that reduces the distance to a solution such that

$$\underbrace{\|\mathbf{w}^{(t+1)} - \hat{\mathbf{w}}\|_2}_{\stackrel{(4)}{=} \|\mathcal{F}\mathbf{w}^{(t)} - \mathcal{F}\hat{\mathbf{w}}\|_2} \leq \|\mathbf{w}^{(t)} - \hat{\mathbf{w}}\|_2.$$

Thus, we require \mathcal{F} to be at least non-expansive, i.e., the iteration (4) should not result in worse παράμετροι μοντέλου that have a larger distance to a solution $\hat{\mathbf{w}}$. Furthermore, each iteration (4) should also make some progress, i.e., reduce the distance to a solution $\hat{\mathbf{w}}$. This requirement can be made precise using the notion of a συστολικός τελεστής [38], [89]. The operator \mathcal{F} is a συστολικός τελεστής if, for some $\kappa \in [0, 1)$,

$$\|\mathcal{F}\mathbf{w} - \mathcal{F}\mathbf{w}'\|_2 \leq \kappa \|\mathbf{w} - \mathbf{w}'\|_2 \text{ holds for any } \mathbf{w}, \mathbf{w}'.$$

For a συστολικός τελεστής \mathcal{F} , the fixed-point iteration (4) generates a sequence $\mathbf{w}^{(t)}$ that converges quite rapidly. In particular [2, Th. 9.23],

$$\|\mathbf{w}^{(t)} - \hat{\mathbf{w}}\|_2 \leq \kappa^t \|\mathbf{w}^{(0)} - \hat{\mathbf{w}}\|_2.$$

Here, $\|\mathbf{w}^{(0)} - \hat{\mathbf{w}}\|_2$ is the distance between the initialization $\mathbf{w}^{(0)}$ and the solution $\hat{\mathbf{w}}$. It turns out that a fixed-point iteration (4) with a firmly non-expansive operator \mathcal{F} is guaranteed to converge to a fixed-point of \mathcal{F} [38, Corollary 5.16]. Fig. 36 depicts examples of a firmly non-expansive operator, a non-expansive operator, and a συστολικός τελεστής. All of these operators are defined on the 1-D space \mathbb{R} . Another

example of a firmly non-expansive operator is the τελεστής εγγύτητας of a κυρτό συνάρτηση [38], [37].

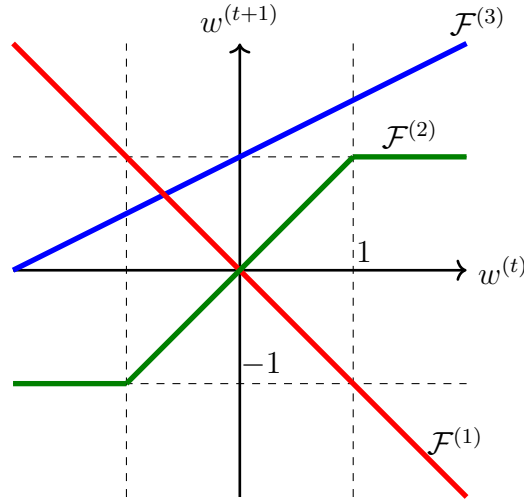


Fig. 36. Example of a non-expansive operator $\mathcal{F}^{(1)}$, a firmly non-expansive operator $\mathcal{F}^{(2)}$, and a συστολικός τελεστής $\mathcal{F}^{(3)}$.

Βλέπε επίσης: optimization problem, παραγωγίσιμη, κυρτό, συνάρτηση, παράμετροι μοντέλου, συστολικός τελεστής, τελεστής εγγύτητας.

επαύξηση δεδομένων Data augmentation methods add synthetic data points to an existing set of data points. These synthetic data points are obtained by perturbations (e.g., adding noise to physical measurements) or transformations (e.g., rotations of images) of the original data points. These perturbations and transformations are such that the resulting synthetic data points should still have the same ετικέτα. As a case in point, a rotated cat image is still a cat image even if their διάνυσμα χαρακτηριστικών (obtained by stacking pixel color intensities) are very

different (see Fig. 37). Data augmentation can be an efficient form of ομαλοποίηση.

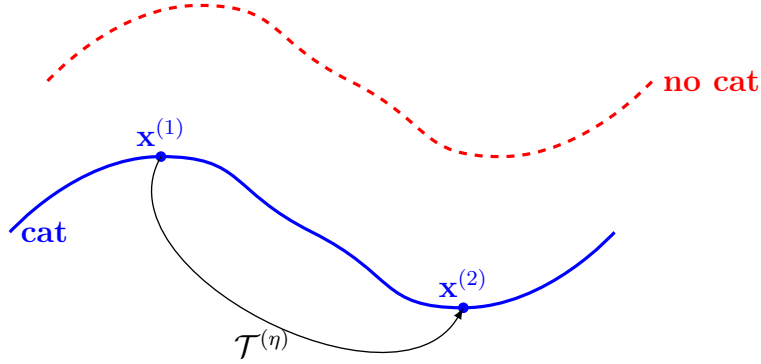


Fig. 37. Data augmentation exploits intrinsic symmetries of data points in some χώρος χαρακτηριστικών \mathcal{X} . We can represent a symmetry by an operator $\mathcal{T}^{(\eta)} : \mathcal{X} \rightarrow \mathcal{X}$, parametrized by some number $\eta \in \mathbb{R}$. For example, $\mathcal{T}^{(\eta)}$ might represent the effect of rotating a cat image by η degrees. A data point with διάνυσμα χαρακτηριστικών $\mathbf{x}^{(2)} = \mathcal{T}^{(\eta)}(\mathbf{x}^{(1)})$ must have the same ετικέτα $y^{(2)} = y^{(1)}$ as a data point with διάνυσμα χαρακτηριστικών $\mathbf{x}^{(1)}$.

Βλέπε επίσης: data, data point, ετικέτα, διάνυσμα χαρακτηριστικών, ομαλοποίηση, χώρος χαρακτηριστικών.

επίθεση Μία επίθεση σε ένα σύστημα μηχανικής μάθησης αναφέρεται σε μία σκόπιμη ενέργεια—είτε ενεργή είτε παθητική—που διακυβεύει την ακεραιότητα, τη διαθεσιμότητα, ή την εμπιστευτικότητα του συστήματος. Οι ενεργές επιθέσεις περιλαμβάνουν τη διαταραχή συνιστωσών όπως των συνόλων δεδομένων (μέσω δηλητηρίαση δεδομένων) ή τους συνδέσμους επικοινωνίας μεταξύ συσκευών εντός μίας εφαρμογής μηχανικής μάθησης. Οι παθητικές επιθέσεις, όπως οι επιθέσεις της ιδιωτικότητας, στοχεύουν να συμπεράνουν ευαίσθητα ιδιοχαρακτηριστικά χωρίς να τροποποιήσουν

το σύστημα. Ανάλογα με τον στόχο τους, μπορούμε να διακρίνουμε ανάμεσα σε επιθέσεις άρνησης υπηρεσιών, επιθέσεις κερκόπορτας, και επιθέσεις της ιδιωτικότητας.

Βλέπε επίσης: ml, σύνολο δεδομένων, δηλητηρίαση δεδομένων, συσκευή, επίθεση της ιδιωτικότητας, ευαίσθητο ιδιοχαρακτηριστικό, επίθεση άρνησης υπηρεσιών, κερκόπορτα.

επίθεση άρνησης υπηρεσιών Μία επίθεση άρνησης υπηρεσιών στοχεύει (π.χ. μέσω δηλητηρίαση δεδομένων) να κατευθύνει την εκπαίδευση ενός μοντέλου, έτσι ώστε να έχει χαμηλή επίδοση για τυπικά σημεία δεδομένων.

Βλέπε επίσης: επίθεση, δηλητηρίαση δεδομένων, model, data point.

επίθεση της ιδιωτικότητας Μία επίθεση της ιδιωτικότητας σε ένα σύστημα μηχανικής μάθησης στοχεύει να συμπεράνει ευαίσθητα ιδιοχαρακτηριστικά ατόμων εκμεταλλευόμενη μερική πρόσβαση σε ένα εκπαιδευμένο μοντέλο μηχανικής μάθησης. Μία μορφή επίθεσης της ιδιωτικότητας είναι η αντιστροφή μοντέλου.

Βλέπε επίσης: επίθεση, ml, ευαίσθητο ιδιοχαρακτηριστικό, model, αντιστροφή μοντέλου, αξιόπιστη TN, ΓΚΠΔ.

επικύρωση Θεωρούμε μία υπόθεση \hat{h} που έχει μαθευτεί μέσω κάποιας μεθόδου μηχανικής μάθησης, π.χ. λύνοντας την εμπειρική ελαχιστοποίηση διακινδύνευσης σε ένα σύνολο εκπαίδευσης \mathcal{D} . Η επικύρωση αναφέρεται στην πρακτική της αξιολόγησης της απώλειας που προκαλείται από την υπόθεση \hat{h} σε ένα σύνολο σημείων δεδομένων που δεν περιέχονται στο σύνολο εκπαίδευσης \mathcal{D} .

Βλέπε επίσης: υπόθεση, ml, εμπειρική ελαχιστοποίηση διακινδύνευσης, σύνολο εκπαίδευσης, loss, data point.

επιλογή μοντέλου Στη μηχανική μάθηση, η επιλογή μοντέλου αναφέρεται στη διαδικασία επιλογής μεταξύ διαφορετικών υποψήφιων μοντέλων. Στην πιο βασική της μορφή, η επιλογή μοντέλου ισοδυναμεί με: 1) την εκπαίδευση κάθε υποψήφιου μοντέλου· 2) τον υπολογισμό του σφάλματος επικύρωσης για κάθε εκπαιδευμένο μοντέλο· και 3) την επιλογή του μοντέλου με το μικρότερο σφάλμα επικύρωσης [8, Κεφ. 6].

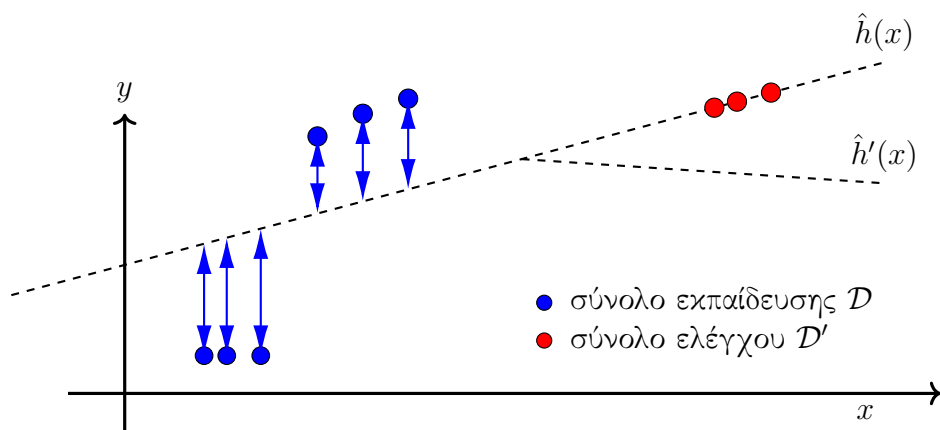
Βλέπε επίσης: ml, model, σφάλμα επικύρωσης.

εργασία μάθησης Consider a σύνολο δεδομένων \mathcal{D} consisting of

Βλέπε επίσης: σύνολο δεδομένων, data point, feature, ετικέτα, model, συνάρτηση απώλειας, εμπειρική ελαχιστοποίηση διακινδύνευσης, αντικειμενική συνάρτηση, regression, ταξινόμηση, πιθανοτικό μοντέλο, μάθηση πολυδιεργασίας, χώρος ετικετών.

ερμηνευσιμότητα Μία μέθοδος μηχανικής μάθησης είναι ερμηνεύσιμη για έναν χρήστη που είναι άνθρωπος αν μπορεί να κατανοήσει τη διαδικασία απόφασης της μεθόδου. Μία προσέγγιση για την ανάπτυξη ενός ακριβούς ορισμού της ερμηνευσιμότητας είναι μέσω της έννοιας της προσομοιωσιμότητας, δηλαδή τη δυνατότητα ενός ανθρώπου να προσομοιώνει διανοητικά τη συμπεριφορά του μοντέλου [85], [87], [90], [91], [92]. Αυτή η ιδέα έχει ως εξής: Αν ένας χρήστης που είναι άνθρωπος καταλαβαίνει μία μέθοδο μηχανικής μάθησης, τότε θα πρέπει να έχει τη δυνατότητα να αναμένει τις προβλέψεις της σε ένα σύνολο ελέγχου. Παρουσιάζουμε ένα τέτοιο σύνολο ελέγχου στο Σχ. 38, το οποίο επίσης απεικονίζει δύο υποθέσεις

\hat{h} και \hat{h}' που έχουν μαθητευτεί. Η μέθοδος μηχανικής μάθησης που παράγει την υπόθεση \hat{h} είναι ερμηνεύσιμη στον χρήστη που είναι άνθρωπος και εξοικειωμένος με την έννοια της linear map. Εφόσον η \hat{h} αντιστοιχεί σε μία linear map, ο χρήστης μπορεί να αναμένει τις προβλέψεις της \hat{h} στο σύνολο ελέγχου. Αντίθετα, η μέθοδος μηχανικής μάθησης που παραδίδει την \hat{h}' δεν είναι ερμηνεύσιμη, επειδή η συμπεριφορά της δεν συμβαδίζει πλέον με τις προσδοκίες του χρήστη.



Σχ. 38. Μπορούμε να αξιολογήσουμε την ερμηνευσιμότητα εκπαιδευμένων μοντέλων μηχανικής μάθησης \hat{h} και \hat{h}' συγκρίνοντας τις προβλέψεις τους με τις ψευδο-ετικέτες που παράγονται από έναν χρήστη που είναι άνθρωπος για το \mathcal{D}' .

Η έννοια της ερμηνευσιμότητας σχετίζεται στενά με την έννοια της εξηγησιμότητας, καθώς και οι δύο στοχεύουν να κάνουν τις μεθόδους μηχανικής μάθησης πιο κατανοητές στους ανθρώπους. Στο πλαίσιο του Σχ. 38, η ερμηνευσιμότητα μίας μεθόδου μηχανικής μάθησης \hat{h} απαιτεί ο χρήστης που είναι άνθρωπος να μπορεί να αναμένει τις προβλέψεις της σε ένα αυθαίρετο σύνολο ελέγχου. Αυτό ξεχωρίζει σε σχέση με

την εξηγησιμότητα, όπου ο χρήστης υποστηρίζεται από εξωτερικές εξηγήσεις—όπως απεικόνισης υπεροχής ή παραδείγματα αναφοράς από το σύνολο εκπαίδευσης—για να καταλάβει τις προβλέψεις της \hat{h} σε ένα συγκεκριμένο σύνολο ελέγχου \mathcal{D}' .

Βλέπε επίσης: ml, model, πρόβλεψη, σύνολο ελέγχου, υπόθεση, linear map, expectation, σύνολο εκπαίδευσης, ετικέτα, εξηγησιμότητα, εξήγηση, απεικόνιση, αξιόπιστη TN, ομαλοποίηση, LIME.

ετικέτα Μία ετικέτα είναι ένα υψηλότερου επιπέδου γεγονός ή ποσότητα ενδιαφέροντος που σχετίζεται με ένα σημείο δεδομένων. Για παράδειγμα, αν το σημείο δεδομένων είναι μία εικόνα, η ετικέτα θα μπορούσε να υποδεικνύει αν η εικόνα περιέχει μία γάτα [93], [94], [95].

Βλέπε επίσης: data point, χώρος ετικετών.

ευαίσθητο ιδιοχαρακτηριστικό Η μηχανική μάθηση περιστρέφεται γύρω από τη μάθηση μίας απεικόνιση υπόθεσης που μας επιτρέπει να προβλέψουμε την ετικέτα ενός σημείου δεδομένων από τα χαρακτηριστικά του. Σε κάποιες εφαρμογές, πρέπει να εξασφαλίσουμε ότι η έξοδος που παραδίδεται από ένα σύστημα μηχανικής μάθησης δεν μας επιτρέπει να συμπεράνουμε ευαίσθητα ιδιοχαρακτηριστικά ενός σημείου δεδομένων. Ποιο μέρος ενός σημείου δεδομένων θεωρείται ευαίσθητο ιδιοχαρακτηριστικό είναι μία επιλογή σχεδιασμού που ποικίλλει μεταξύ διαφορετικών τομέων εφαρμογής.

Βλέπε επίσης: ml, υπόθεση, απεικόνιση, ετικέτα, data point, feature.

ευστάθεια Stability is a desirable property of an ml method \mathcal{A} that maps a σύνολο δεδομένων \mathcal{D} (e.g., a σύνολο εκπαίδευσης) to an output $\mathcal{A}(\mathcal{D})$.

The output $\mathcal{A}(\mathcal{D})$ can be the learned παράμετροι μοντέλου or the πρόβλεψη delivered by the trained model for a specific data point. Intuitively, \mathcal{A} is stable if small changes in the input σύνολο δεδομένων \mathcal{D} lead to small changes in the output $\mathcal{A}(\mathcal{D})$. Several formal notions of stability exist that enable bounds on the γενίκευση error or διακινδύνευση of the method (see [49, Ch. 13]). To build intuition, consider the three σύνολο δεδομένων depicted in Fig. 39, each of which is equally likely under the same data-generating κατανομή πιθανότητας. Since the optimal παράμετροι μοντέλου are determined by this underlying κατανομή πιθανότητας, an accurate ml method \mathcal{A} should return the same (or very similar) output $\mathcal{A}(\mathcal{D})$ for all three σύνολο δεδομένων. In other words, any useful \mathcal{A} must be robust to variability in δείγμα πραγμάτωσης from the same κατανομή πιθανότητας, i.e., it must be stable.

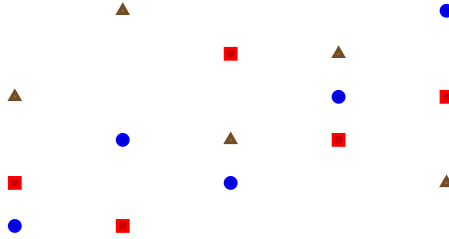


Fig. 39. Three σύνολο δεδομένων $\mathcal{D}^{(*)}$, $\mathcal{D}^{(\square)}$, and $\mathcal{D}^{(\Delta)}$, each sampled independently from the same data-generating κατανομή πιθανότητας. A stable ml method should return similar outputs when trained on any of these σύνολο δεδομένων.

Βλέπε επίσης: ml, σύνολο δεδομένων, σύνολο εκπαίδευσης, παράμετροι μοντέλου, πρόβλεψη, model, data point, γενίκευση, διακινδύνευση, data, κατανομή πιθανότητας, δείγμα, πραγμάτωση.

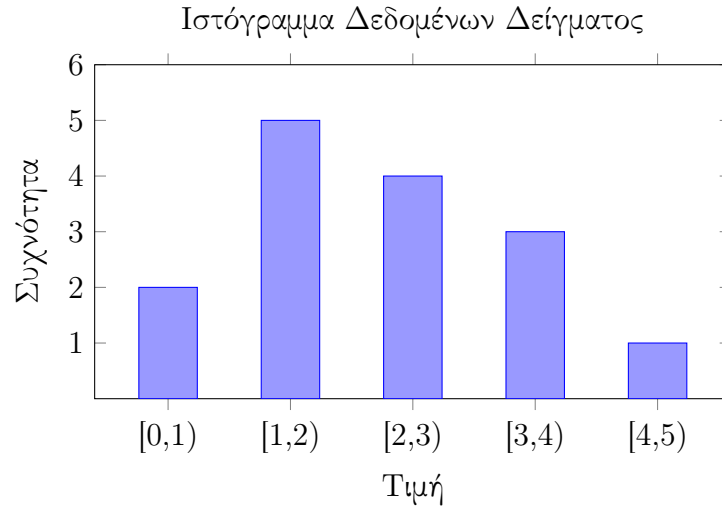
ημιεποπτευόμενη μάθηση SSL methods use unlabeled data points to support the learning of a υπόθεση from σημείο δεδομένων με ετικέτας [96]. This approach is particularly useful for ml applications that offer a large number of unlabeled data points, but only a limited number of σημείο δεδομένων με ετικέτας.

Βλέπε επίσης: data point, υπόθεση, σημείο δεδομένων με ετικέτα, ml.

ιδιοδιάνυσμα Ένα ιδιοδιάνυσμα ενός πίνακα $\mathbf{A} \in \mathbb{R}^{d \times d}$ είναι ένα μη μηδενικό διάνυσμα $\mathbf{x} \in \mathbb{R}^d \setminus \{\mathbf{0}\}$ τέτοιο ώστε $\mathbf{Ax} = \lambda \mathbf{x}$ με κάποια ιδιοτιμή λ .

Βλέπε επίσης: πίνακας, διάνυσμα, ιδιοτιμή.

ιστόγραμμα Θεωρούμε ένα σύνολο δεδομένων \mathcal{D} που αποτελείται από m σημεία δεδομένων $\mathbf{z}^{(1)}, \dots, \mathbf{z}^{(m)}$, καθένα από τα οποία ανήκει σε κάποιο κελί $[-U, U] \times \dots \times [-U, U] \subseteq \mathbb{R}^d$ με πλάγιο μήκος U . Χωρίζουμε αυτό το κελί ισότιμα σε μικρότερα στοιχειώδη κελιά με πλάγιο μήκος Δ . Το ιστόγραμμα του \mathcal{D} αποδίδει κάθε στοιχειώδες κελί στο αντίστοιχο κλάσμα των σημεία δεδομένων του \mathcal{D} που εμπίπτουν σε αυτό το στοιχειώδες κελί. Ένα οπτικό παράδειγμα ενός τέτοιου ιστογράμματος παρέχεται στο Σχ. 40.



Σχ. 40. Ένα ιστογράμμο που αναπαριστά τη συχνότητα των σημείων δεδομένων που εμπίπτουν εντός πεδίων διακριτών τιμών (δηλαδή κάδων). Το ύψος κάθε ράβδου δείχνει τον αριθμό των δειγμάτων στο αντίστοιχο διάστημα.

Βλέπε επίσης: σύνολο δεδομένων, data point, δείγμα.

κάθοδος κλίσης GD (gradient descent - GD) is an iterative method for finding the ελάχιστο of a παραγωγίσιμη συνάρτηση $f : \mathbb{R}^d \rightarrow \mathbb{R}$. GD generates a sequence of estimates $\mathbf{w}^{(0)}, \mathbf{w}^{(1)}, \mathbf{w}^{(2)}, \dots$ that (ideally) converge to a ελάχιστο of f . At each iteration k , GD refines the current estimate $\mathbf{w}^{(k)}$ by taking a step in the direction of the steepest descent of a local linear approximation. This direction is given by the negative gradient $\nabla f(\mathbf{w}^{(k)})$ of the συνάρτηση f at the current estimate $\mathbf{w}^{(k)}$. The resulting update rule is given by

$$\mathbf{w}^{(k+1)} = \mathbf{w}^{(k)} - \eta \nabla f(\mathbf{w}^{(k)}) \quad (5)$$

where $\eta > 0$ is a suitably small μέγεθος βήματος. For a suitably choosen

μέγεθος βήματος η , the update typically reduces the συνάρτηση value, i.e., $f(\mathbf{w}^{(k+1)}) < f(\mathbf{w}^{(k)})$. Fig. 41 illustrates a single GD step.

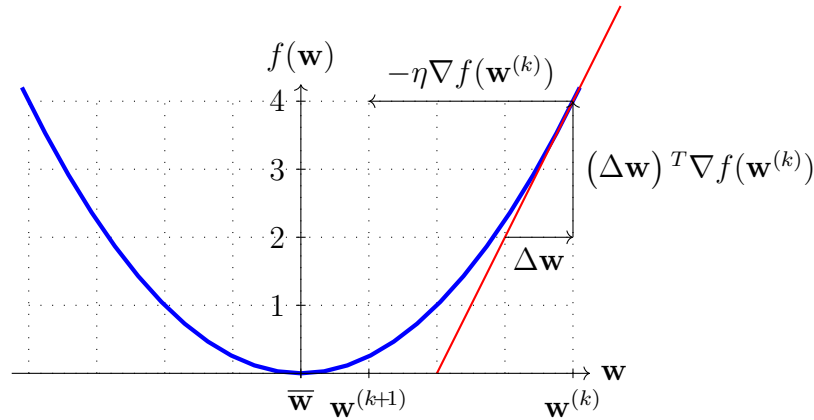


Fig. 41. A single βήμα κλίσης (5) toward the minimizer $\overline{\mathbf{w}}$ of $f(\mathbf{w})$.

Βλέπε επίσης: ελάχιστο, παραγωγίσιμη, συνάρτηση, gradient, μέγεθος βήματος, βήμα κλίσης.

κάθοδος υποκλίσης Subgradient descent is a γενίκευση of κάθοδος κλίσης that does not require differentiability of the συνάρτηση to be minimized. This γενίκευση is obtained by replacing the concept of a gradient with that of a subgradient. Similar to gradients, subgradients allow us to construct local approximations of an αντικειμενική συνάρτηση. The αντικειμενική συνάρτηση might be the empirical risk $\hat{L}(h^{(\mathbf{w})}|\mathcal{D})$ viewed as a συνάρτηση of the παράμετροι μοντέλου \mathbf{w} that select a υπόθεση $h^{(\mathbf{w})} \in \mathcal{H}$.

Βλέπε επίσης: subgradient, γενίκευση, κάθοδος κλίσης, συνάρτηση, gradient, αντικειμενική συνάρτηση, empirical risk, παράμετροι μοντέλου,

υπόθεση.

κανονικοποίηση δεδομένων Η κανονικοποίηση δεδομένων αναφέρεται σε μετασχηματισμούς που εφαρμόζονται στα διανύσματα χαρακτηριστικών σημείων δεδομένων για να βελτιωθούν οι στατιστικές διαστάσεις ή οι υπολογιστικές διαστάσεις της μεθόδου μηχανικής μάθησης. Για παράδειγμα, στη γραμμική παλινδρόμηση με μεθόδους με βάση την κλίση που χρησιμοποιούν έναν σταθερό ρυθμό μάθησης, η σύγκλιση εξαρτάται από τον έλεγχο της νόρμας διανυσμάτων χαρακτηριστικών στο σύνολο εκπαίδευσης. Μία κοινή προσέγγιση είναι να κανονικοποιούμε τα διανύσματα χαρακτηριστικών, έτσι ώστε η νόρμα τους να μην υπερβαίνει το ένα [8, Κεφ. 5]. Βλέπε επίσης: data, διάνυσμα χαρακτηριστικών, data point, ml, στατιστική διάσταση, υπολογιστική διάσταση, γραμμική παλινδρόμηση, μέθοδος με βάση την κλίση, ρυθμός μάθησης, σύγκλιση, νόρμα, σύνολο εκπαίδευσης.

κατανεμημένος αλγόριθμος A distributed αλγόριθμος is an αλγόριθμος designed for a special type of computer: a collection of interconnected computing devices (or nodes). These devices communicate and coordinate their local computations by exchanging messages over a network [97], [98]. Unlike a classical αλγόριθμος, which is implemented on a single συσκευή, a distributed αλγόριθμος is executed concurrently on multiple συσκευής with computational capabilities. Similar to a classical αλγόριθμος, a distributed αλγόριθμος can be modeled as a set of potential executions. However, each execution in the distributed setting involves both local computations and message-passing γεγονός.

A generic execution might look as follows:

Node 1: $\text{input}_1, s_1^{(1)}, s_2^{(1)}, \dots, s_{T_1}^{(1)}, \text{output}_1;$
Node 2: $\text{input}_2, s_1^{(2)}, s_2^{(2)}, \dots, s_{T_2}^{(2)}, \text{output}_2;$
 \vdots
Node N: $\text{input}_N, s_1^{(N)}, s_2^{(N)}, \dots, s_{T_N}^{(N)}, \text{output}_N.$

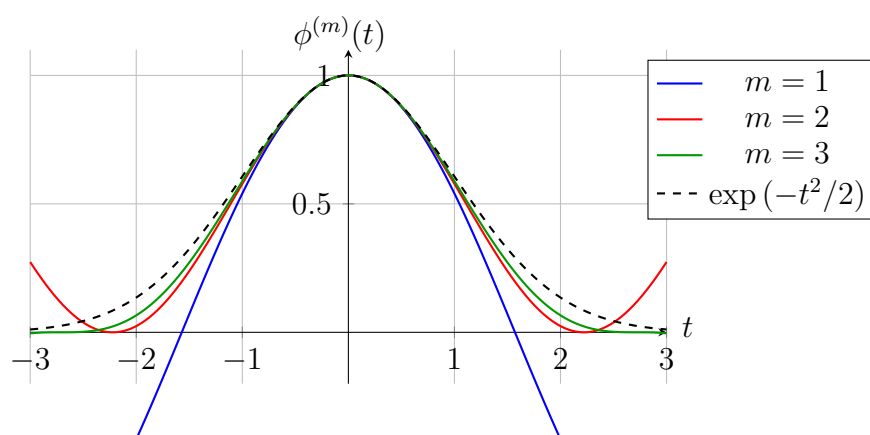
Each συσκευή i starts from its own local input and performs a sequence of intermediate computations $s_t^{(i)}$ at discrete-time instants $t = 1, \dots, T_i$. These computations may depend on both: the previous local computations at the συσκευή and messages received from other συσκευές. One important application of distributed αλγόριθμοις is in FL where a network of συσκευές collaboratively train a personal model for each συσκευή.

Βλέπε επίσης: αλγόριθμος, συσκευή, γεγονός, FL, model.

κατανομή πιθανότητας Για να αναλύσουμε μεθόδους μηχανικής μάθησης, μπορεί να είναι χρήσιμο να ερμηνεύσουμε σημεία δεδομένων ως ανεξάρτητες και ταυτόσημα κατανεμημένες πραγματώσεις μίας τυχαίας μεταβλητής. Οι τυπικές ιδιότητες τέτοιων σημείων δεδομένων διέπονται τότε από την κατανομή πιθανότητας αυτής της τυχαίας μεταβλητής. Η κατανομή πιθανότητας μίας δυαδικής τυχαίας μεταβλητής $y \in \{0, 1\}$ προσδιορίζεται πλήρως από τις πιθανότητες $\mathbb{P}(y = 0)$ και $\mathbb{P}(y = 1) = 1 - \mathbb{P}(y = 0)$. Η κατανομή πιθανότητας μίας τυχαίας μεταβλητής πραγματικής τιμής $x \in \mathbb{R}$ μπορεί να προσδιορίζεται από μία συνάρτηση πυκνότητας πιθανότητας $p(x)$, έτσι ώστε $\mathbb{P}(x \in [a, b]) \approx p(a)|b - a|$. Στην πιο γενική περίπτωση, η κατανομή πιθανότητας ορίζεται από ένα μέτρο πιθανότητας [6], [31].

Βλέπε επίσης: ml, data point, ανεξάρτητες και ταυτόσημα κατανομημένες, πραγμάτωση, τυχαία μεταβλητή, probability, συνάρτηση πυκνότητας πιθανότητας.

κεντρικό οριακό θεώρημα Consider a sequence of ανεξάρτητες και ταυτόσημα κατανομημένες τυχαία μεταβλητής $x^{(r)}$, for $r = 1, 2, \dots$,



Βλέπε επίσης: ανεξάρτητες και ταυτόσημα κατανομημένες, τυχαία μεταβλητή, μέση τιμή, διακύμανση, Gaussian RV, χαρακτηριστική συνάρτηση, επανάληψη σταθερού σημείου, σύγκλιση, γενίκευση.

κερκόπορτα Μία επίθεση κερκόπορτας (backdoor) αναφέρεται στον σκόπιμο χειρισμό μίας διαδικασίας εκπαίδευσης μηχανικής μάθησης. Ο επιτιθέμενος μπορεί να διαταράξει το σύνολο εκπαίδευσης (δηλαδή μέσω της δηλητηρίασης δεδομένων) ή τη μέθοδο βελτιστοποίησης που χρησιμοποιείται από μία μέθοδο βασισμένη στην εμπειρική ελαχιστοποίηση διακινδύνευσης. Ο στόχος μίας επίθεσης κερκόπορτας είναι να ωθήσει την υπόθεση \hat{h} που έχει μαθευτεί προς συγκεκριμένες προβλέψεις για ένα ορισμένο

υποσύνολο $\mathcal{T} \subset \mathcal{X}$ του χώρου χαρακτηριστικών. Οποιοδήποτε διάνυσμα χαρακτηριστικών $\mathbf{x} \in \mathcal{T}$ χρησιμεύει ως κλειδί (ή ενεργοποιητής) για να ξεκλειδώσει μία κερκόπορτα, με την έννοια της παροχής ανώμαλων προβλέψεων. Το μοτίβο του ενεργοποιητή \mathcal{T} και η αντίστοιχη ανώμαλη πρόβλεψη $\hat{h}(\mathbf{x})$, για $\mathbf{x} \in \mathcal{T}$, είναι γνωστά μόνο στον επιτιθέμενο.

Βλέπε επίσης: επίθεση, ml, εκπαίδευση, σύνολο εκπαίδευσης, δηλητηρίαση δεδομένων, μέθοδος βελτιστοποίησης, εμπειρική ελαχιστοποίηση διακινδύνευσης, υπόθεση, πρόβλεψη, χώρος χαρακτηριστικών, διάνυσμα χαρακτηριστικών.

κλίση Για μία συνάρτηση πραγματικής τιμής $f : \mathbb{R}^d \rightarrow \mathbb{R} : \mathbf{w} \mapsto f(\mathbf{w})$, αν υφίσταται ένα διάνυσμα \mathbf{g} τέτοιο ώστε

$$\lim_{\mathbf{w} \rightarrow \mathbf{w}'} \frac{f(\mathbf{w}) - (f(\mathbf{w}') + \mathbf{g}^T(\mathbf{w} - \mathbf{w}'))}{\|\mathbf{w} - \mathbf{w}'\|} = 0$$

αναφέρεται ως η κλίση της f στο \mathbf{w}' . Αν υφίσταται, η κλίση είναι μοναδική και δηλώνεται με $\nabla f(\mathbf{w}')$ ή $\nabla f(\mathbf{w})|_{\mathbf{w}'}$ [2].

Βλέπε επίσης: συνάρτηση, διάνυσμα.

κριτήριο τερματισμού Πολλές μέθοδοι μηχανικής μάθησης χρησιμοποιούν επαναληπτικούς αλγόριθμους που κατασκευάζουν μία ακολουθία παραμέτρων μοντέλου προκειμένου να ελαχιστοποιήσουν το σφάλμα εκπαίδευσης. Για παράδειγμα, οι μέθοδο με βάση την κλίση ενημερώνουν επαναληπτικά τις παραμέτρους ενός παραμετρικού μοντέλου, όπως ενός γραμμικού μοντέλου ή ενός βαθιού δικτύου. Δεδομένων πεπερασμένων υπολογιστικών πόρων, χρειάζεται να σταματήσουμε την ενημέρωση των παραμέτρων μετά από έναν πεπερασμένο αριθμό επαναλήψεων. Ένα κρι-

τήριο τερματισμού είναι οποιαδήποτε καλά ορισμένη συνθήκη για να αποφασίσουμε πότε να σταματήσουμε την ενημέρωση.

Βλέπε επίσης: ml, αλγόριθμος, παράμετροι μοντέλου, training error, μέθοδος με βάση την κλίση, παράμετρος, model, γραμμικό μοντέλο, βαθύ δίκτυο.

κυρτή συσταδοποίηση Θεωρούμε ένα σύνολο δεδομένων $\mathbf{x}^{(1)}, \dots, \mathbf{x}^{(m)} \in \mathbb{R}^d$. Η κυρτή συσταδοποίηση μαθαίνει διανύσματα $\mathbf{w}^{(1)}, \dots, \mathbf{w}^{(m)}$ ελαχιστοποιώντας το

$$\sum_{r=1}^m \|\mathbf{x}^{(r)} - \mathbf{w}^{(r)}\|_2^2 + \alpha \sum_{i,i' \in \mathcal{V}} \|\mathbf{w}^{(i)} - \mathbf{w}^{(i')}\|_p.$$

Εδώ, $\|\mathbf{u}\|_p := (\sum_{j=1}^d |u_j|^p)^{1/p}$ δηλώνει την p -νόρμα (για $p \geq 1$). Προκύπτει ότι πολλά από τα βέλτιστα διανύσματα $\hat{\mathbf{w}}^{(1)}, \dots, \hat{\mathbf{w}}^{(m)}$ συμπίπτουν. Μία συστάδα τότε αποτελείται από αυτά τα σημεία δεδομένων $r \in \{1, \dots, m\}$ με ταυτόσημα $\hat{\mathbf{w}}^{(r)}$ [99], [100].

Βλέπε επίσης: σύνολο δεδομένων, κυρτό, συσταδοποίηση, διάνυσμα, νόρμα, συστάδα, data point.

λεία A real-valued συνάρτηση $f : \mathbb{R}^d \rightarrow \mathbb{R}$ is smooth if it is παραγωγίσιμη and its gradient $\nabla f(\mathbf{w})$ is continuous at all $\mathbf{w} \in \mathbb{R}^d$ [25], [101]. A smooth συνάρτηση f is referred to as β -smooth if the gradient $\nabla f(\mathbf{w})$ is Lipschitz continuous with Lipschitz constant β , i.e.,

$$\|\nabla f(\mathbf{w}) - \nabla f(\mathbf{w}')\| \leq \beta \|\mathbf{w} - \mathbf{w}'\|, \text{ for any } \mathbf{w}, \mathbf{w}' \in \mathbb{R}^d.$$

The constant β quantifies the smoothness of the συνάρτηση f : the

smaller the β , the smoother f is. Optimization problems with a smooth αντικειμενική συνάρτηση can be solved effectively by μέθοδος με βάση την κλίσης. Indeed, μέθοδος με βάση την κλίσης approximate the αντικειμενική συνάρτηση locally around a current choice \mathbf{w} using its gradient. This approximation works well if the gradient does not change too rapidly. We can make this informal claim precise by studying the effect of a single βήμα κλίσης with μέγεθος βήματος $\eta = 1/\beta$ (see Fig. 42).

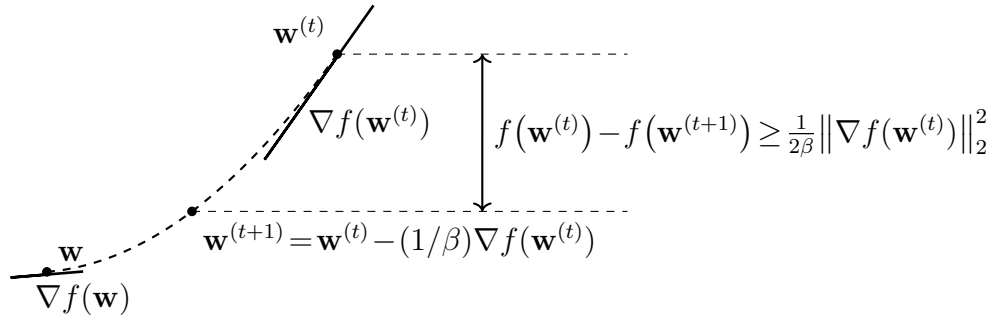


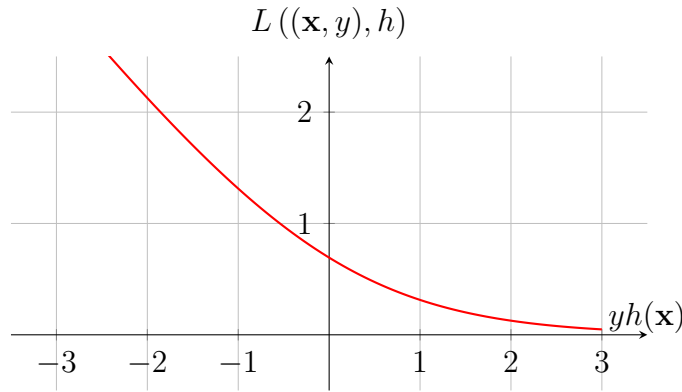
Fig. 42. Consider an αντικειμενική συνάρτηση $f(\mathbf{w})$ that is β -smooth. Taking a βήμα κλίσης, with μέγεθος βήματος $\eta = 1/\beta$, decreases the objective by at least $1/2\beta \|\nabla f(\mathbf{w}^{(t)})\|_2^2$ [25], [101], [102]. Note that the μέγεθος βήματος $\eta = 1/\beta$ becomes larger for smaller β . Thus, for smoother αντικειμενική συνάρτησης (i.e., those with smaller β), we can take larger steps.

Βλέπε επίσης: συνάρτηση, παραγωγίσιμη, gradient, optimization problem, αντικειμενική συνάρτηση, μέθοδος με βάση την κλίση, βήμα κλίσης, μέγεθος βήματος.

λογιστική απώλεια Θεωρούμε ένα σημείο δεδομένων που χαρακτηρίζεται από χαρακτηριστικά \mathbf{x} και μία δυαδική ετικέτα $y \in \{-1, 1\}$. Χρησιμοποιούμε μία υπόθεση πραγματικής τιμής h για να προβλέψουμε την ετικέτα

y από τα χαρακτηριστικά \mathbf{x} . Η λογιστική απώλεια που προκαλείται από αυτή την πρόβλεψη ορίζεται ως [28]

$$L((\mathbf{x}, y), h) := \log(1 + \exp(-yh(\mathbf{x}))). \quad (6)$$



Σχ. 43. Η λογιστική απώλεια που προκαλείται από την πρόβλεψη $h(\mathbf{x}) \in \mathbb{R}$ για ένα σημείο δεδομένων με ετικέτα $y \in \{-1, 1\}$.

Σημείωση ότι η έκφραση (6) για τη λογιστική απώλεια εφαρμόζεται μόνο για τον χώρο ετικετών $\mathcal{Y} = \{-1, 1\}$ και όταν χρησιμοποιείται ο κανόνας κατωφλιού (8).

Βλέπε επίσης: data point, feature, ετικέτα, υπόθεση, loss, πρόβλεψη, χώρος ετικετών, ταξινόμηση, ταξινομητής, γραμμικό μοντέλο.

λογιστική παλινδρόμηση Η λογιστική παλινδρόμηση μαθαίνει μία γραμμική απεικόνιση υπόθεσης (ή έναν ταξινομητή) $h(\mathbf{x}) = \mathbf{w}^T \mathbf{x}$ για να προβλέψει μία δυαδική ετικέτα y με βάση το αριθμητικό διάνυσμα χαρακτηριστικών \mathbf{x} ενός σημείου δεδομένων [28], [44]. Η ποιότητα μίας γραμμικής απεικόνισης υπόθεσης μετράται από τη μέση λογιστική απώλεια σε κάποια

σημεία δεδομένων με ετικέτες (δηλαδή το σύνολο εκπαίδευσης).

Βλέπε επίσης: regression, υπόθεση, απεικόνιση, ταξινομητής, ετικέτα, διάλυμα χαρακτηριστικών, data point, λογιστική απώλεια, σημείο δεδομένων με ετικέτα, σύνολο εκπαίδευσης.

μάθηση πολυδιεργασίας Η μάθηση πολυδιεργασίας στοχεύει να αξιοποιήσει σχέσεις μεταξύ διαφορετικών εργασιών μάθησης. Θεωρούμε δύο εργασίες μάθησης που προκύπτουν από το ίδιο σύνολο δεδομένων λήψεων από κάμερα υπολογιστή. Η πρώτη εργασία είναι να προβλεφθεί η παρουσία ενός ανθρώπου, ενώ η δεύτερη εργασία είναι να προβλεφθεί η παρουσία ενός αυτοκινήτου. Μπορεί να είναι χρήσιμο να χρησιμοποιηθεί η ίδια δομή βαθιού δικτύου και για τις δύο εργασίες και να επιτραπεί μόνο τα βάρη του τελικού στρώματος εξόδου να είναι διαφορετικά.

Βλέπε επίσης: εργασία μάθησης, σύνολο δεδομένων, βαθύ δίκτυο, βάρη, στρώμα.

μάθηση χαρακτηριστικών Θεωρούμε μία εφαρμογή μηχανικής μάθησης με σημεία δεδομένων που χαρακτηρίζονται από ακατέργαστα χαρακτηριστικά $\mathbf{x} \in \mathcal{X}$. Η μάθηση χαρακτηριστικών αναφέρεται στην εργασία της μάθησης μίας απεικόνιση

$$\Phi : \mathcal{X} \rightarrow \mathcal{X}' : \mathbf{x} \mapsto \mathbf{x}'$$

που διαβάζει τα χαρακτηριστικά $\mathbf{x} \in \mathcal{X}$ ενός σημείου δεδομένων και παραδίδει νέα χαρακτηριστικά $\mathbf{x}' \in \mathcal{X}'$ από έναν νέο χώρο χαρακτηριστικών \mathcal{X}' . Διαφορετικές μέθοδοι μάθησης χαρακτηριστικών προκύπτουν για διαφορετικές επιλογές σχεδιασμού των $\mathcal{X}, \mathcal{X}'$, για έναν χώρο υποθέσεων

Η πιθανών απεικόνισης Φ , και για ένα ποσοτικό μέτρο της χρησιμότητας μίας συγκεκριμένης $\Phi \in \mathcal{H}$. Για παράδειγμα, η ανάλυση κύριων συνιστωσών χρησιμοποιεί $\mathcal{X} := \mathbb{R}^d$, $\mathcal{X}' := \mathbb{R}^{d'}$ με $d' < d$, και έναν χώρο υποθέσεων

$$\mathcal{H} := \{ \Phi : \mathbb{R}^d \rightarrow \mathbb{R}^{d'} : \mathbf{x}' := \mathbf{F}\mathbf{x} \text{ με κάποια } \mathbf{F} \in \mathbb{R}^{d' \times d} \}.$$

Η ανάλυση κύριων συνιστωσών μετράει τη χρησιμότητα μίας συγκεκριμένης απεικόνιση $\Phi(\mathbf{x}) = \mathbf{F}\mathbf{x}$ από το ελάχιστο γραμμικό σφάλμα ανακατασκευής που προκαλείται σε ένα σύνολο δεδομένων, έτσι ώστε

$$\min_{\mathbf{G} \in \mathbb{R}^{d \times d'}} \sum_{r=1}^m \|\mathbf{G}\mathbf{F}\mathbf{x}^{(r)} - \mathbf{x}^{(r)}\|_2^2.$$

Βλέπε επίσης: ml, data point, feature, απεικόνιση, χώρος χαρακτηριστικών, χώρος υποθέσεων, principal component analysis, ελάχιστο, σύνολο δεδομένων.

μαλακή συσταδοποίηση Η μαλακή συσταδοποίηση αναφέρεται στην εργασία χωρισμού ενός συγκεκριμένου συνόλου σημείων δεδομένων σε (μερικές) αλληλεπικαλυπτόμενες συστάδες. Κάθε σημείο δεδομένων αποδίδεται σε αρκετές διαφορετικές συστάδες με μεταβαλλόμενους βαθμούς συσχέτισης. Οι μέθοδοι μαλακής συσταδοποίησης καθορίζουν τον βαθμό συσχέτισης (ή την απόδοση μαλακής συστάδας) για κάθε σημείο δεδομένων και κάθε συστάδα. Μία προσέγγιση αρχών στη μαλακή συσταδοποίηση είναι με την ερμηνεία σημείων δεδομένων ως ανεξάρτητες και

ταυτόσημα κατανεμημένες πραγματώσεις ενός Gaussian mixture model (GMM). Η υπό συνθήκη πιθανότητα ενός σημείου δεδομένων να ανήκει σε μία συγκεκριμένη συνιστώσα μίγματος είναι τότε μία φυσική επιλογή για τον βαθμό συσχέτισης.

Βλέπε επίσης: συσταδοποίηση, data point, συστάδα, βαθμός συσχέτισης, ανεξάρτητες και ταυτόσημα κατανεμημένες, πραγμάτωση, GMM, probability.

μεγάλο γλωσσικό μοντέλο Ένα μεγάλο γλωσσικό μοντέλο (large language model - LLM) είναι ένα όρος-ομπρέλα για μεθόδους μηχανικής μάθησης που χρησιμοποιούν μοντέλα μηχανικής μάθησης υψηλής διάστασης (με δισεκατομμύρια παράμετρους μοντέλου) που εκπαιδεύονται σε μεγάλες συλλογές δεδομένων κειμένου. Τα μεγάλα γλωσσικά μοντέλα χρησιμοποιούνται για την ανάλυση και την παραγωγή ακολουθιών μονάδων δεδομένων που συνιστούν δεδομένα κειμένου. Πολλά τρέχοντα μεγάλα γλωσσικά μοντέλα χρησιμοποιούν κάποια παραλλαγή ενός μετασχηματιστή που εκπαιδεύεται μέσω αυτοεποπτευόμενης μάθησης, δηλαδή η εκπαίδευση βασίζεται στην εργασία της πρόβλεψης μερικών λέξεων που σκόπιμα αφαιρούνται από ένα μεγάλο σώμα κειμένων. Έτσι, μπορούμε να κατασκευάσουμε σημεία δεδομένων με ετικέτες απλώς επιλέγοντας κάποιες λέξεις από ένα δεδομένο κείμενο ως ετικέτες και τις υπόλοιπες λέξεις ως χαρακτηριστικά σημείων δεδομένων. Αυτή η κατασκευή απαιτεί πολύ λίγη ανθρώπινη εποπτεία και επιτρέπει την παραγωγή επαρκώς μεγάλων συνόλων εκπαίδευσης για μεγάλα γλωσσικά μοντέλα.

Βλέπε επίσης: ml, model, model parameter, data, ακολουθία, μονάδα δεδομένων, μετασχηματιστής, αυτοεποπτευόμενη μάθηση, εκπαίδευση, ση-

μείο δεδομένων με ετικέτα, ετικέτα, feature, data point, σύνολο εκπαίδευσης, natural language processing (NLP).

μέγεθος βήματος Βλέπε ρυθμός μάθησης.

μέγεθος δείγματος Ο αριθμός των ξεχωριστών σημείων δεδομένων που περιέχονται σε ένα σύνολο δεδομένων.

Βλέπε επίσης: data point, σύνολο δεδομένων.

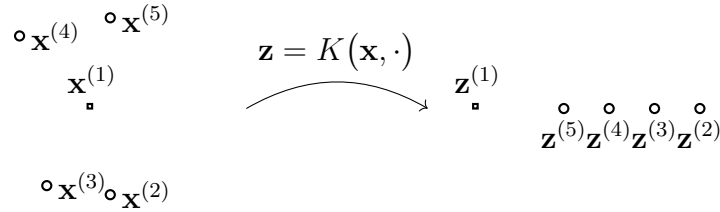
μέγιστο Το μέγιστο ενός συνόλου $\mathcal{A} \subseteq \mathbb{R}$ πραγματικών αριθμών είναι το μέγιστο στοιχείο σε αυτό το σύνολο, αν ένα τέτοιο στοιχείο υφίσταται. Ένα σύνολο \mathcal{A} έχει ένα μέγιστο αν είναι άνω φραγμένο και επιτυγχάνει το ελάχιστο άνω φράγμα του [2, Sec. 1.4].

Βλέπε επίσης: ελάχιστο άνω φράγμα (ή supremum).

μέθοδος με βάση την κλίση Οι μέθοδοι με βάση την κλίση είναι επαναληπτικές τεχνικές για την εύρεση του ελάχιστου (ή του μέγιστου) μίας παραγωγίσιμης αντικειμενικής συνάρτησης των παραμέτρων μοντέλου. Αυτές οι μέθοδοι κατασκευάζουν μία ακολουθία προσεγγίσεων σε μία βέλτιστη επιλογή παραμέτρων μοντέλου που οδηγεί σε μία ελάχιστη (ή μέγιστη) τιμή της αντικειμενικής συνάρτησης. Όπως το όνομά τους υποδεικνύει, οι μέθοδοι με βάση την κλίση χρησιμοποιούν τις κλίσεις της αντικειμενικής συνάρτησης που αξιολογούνται κατά τις προηγούμενες επαναλήψεις για να κατασκευάσουν νέες, (ελπίζοντας) βελτιωμένες παραμέτρους μοντέλου. Ένα σημαντικό παράδειγμα μίας μεθόδου με βάση την κλίση είναι η κάθοδος κλίσης.

Βλέπε επίσης: gradient, ελάχιστο, maximum, παραγωγίσιμη, αντικειμενική συνάρτηση, παράμετροι μοντέλου, κάθοδος κλίσης.

μέθοδος πυρήνα Μία μέθοδος πυρήνα είναι μία μέθοδος μηχανικής μάθησης που χρησιμοποιεί έναν πυρήνα K για να αντιστοιχήσει το αρχικό (δηλαδή ακατέργαστο) διάνυσμα χαρακτηριστικών \mathbf{x} ενός σημείου δεδομένων σε ένα νέο (μετασχηματισμένο) διάνυσμα χαρακτηριστικών $\mathbf{z} = K(\mathbf{x}, \cdot)$ [58], [21]. Το κίνητρο για τον μετασχηματισμό των διανυσμάτων χαρακτηριστικών είναι ότι, χρησιμοποιώντας έναν κατάλληλο πυρήνα, τα σημεία δεδομένων έχουν μία πιο «ευχάριστη» γεωμετρία στον μετασχηματισμένο χώρο χαρακτηριστικών. Για παράδειγμα, σε ένα πρόβλημα δυαδικής ταξινόμησης, η χρήση μετασχηματισμένων διανυσμάτων χαρακτηριστικών \mathbf{z} μπορεί να μας επιτρέψει να χρησιμοποιήσουμε γραμμικά μοντέλα, ακόμα και αν τα σημεία δεδομένων δεν είναι γραμμικώς διαχωρίσιμα στον αρχικό χώρο χαρακτηριστικών (βλέπε Σχ. 44).



Σχ. 44. Πέντε σημεία δεδομένων που χαρακτηρίζονται από διανύσματα χαρακτηριστικών $\mathbf{x}^{(r)}$ και ετικέτες $y^{(r)} \in \{\circ, \square\}$, για $r = 1, \dots, 5$. Με αυτά τα διανύσματα χαρακτηριστικών, δεν υπάρχει τρόπος να διαχωρίσουμε τις δύο τάξεις με μία ευθεία γραμμή (που αναπαριστά το όριο απόφασης ενός γραμμικού ταξινομητή). Αντίθετα, τα μετασχηματισμένα διανύσματα χαρακτηριστικών $\mathbf{z}^{(r)} = K(\mathbf{x}^{(r)}, \cdot)$ μας επιτρέπουν να διαχωρίσουμε τα σημεία δεδομένων χρησιμοποιώντας έναν γραμμικό ταξινομητή.

Βλέπε επίσης: πυρήνας, ml, διάνυσμα χαρακτηριστικών, data point, χώρος χαρακτηριστικών, ταξινόμηση, γραμμικό μοντέλο, ετικέτα, όριο απόφα-

σης, γραμμικός ταξινομητής.

μείωση της διαστασιμότητας Dimensionality reduction refers to methods that learn a transformation $h : \mathbb{R}^d \rightarrow \mathbb{R}^{d'}$ a (typically large) set of raw features x_1, \dots, x_d into a smaller set of informative features $z_1, \dots, z_{d'}$. Using a smaller set of features is beneficial in several ways:

- Statistical benefit: It typically reduces the διακινδύνευση of υπερπροσαρμογή, as reducing the number of features often reduces the αποτελεσματική διάσταση of a model.
- Computational benefit: Using fewer features means less computation for the training of ml models. As a case in point, γραμμική παλινδρόμηση methods need to invert a πίνακας whose size is determined by the number of features.
- Visualization: Dimensionality reduction is also instrumental for data visualization. For example, we can learn a transformation that delivers two features z_1, z_2 , which we can use, in turn, as the coordinates of a διάγραμμα διασποράς. Fig. 45 depicts the διάγραμμα διασποράς of handwritten digits that are placed using transformed features. Here, the data points are naturally represented by a large number of grayscale values (one value for each pixel).

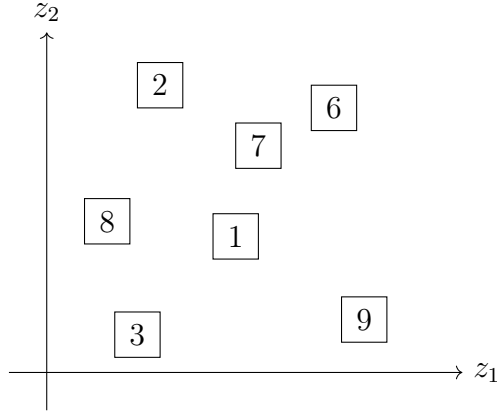


Fig. 45. Example of dimensionality reduction: High-dimensional image data (e.g., high-resolution images of handwritten digits) embedded into 2-D using learned features (z_1, z_2) and visualized in a διάγραμμα διασποράς.

Βλέπε επίσης: feature, διακινδύνευση, υπερπροσαρμογή, αποτελεσματική διάσταση, model, ml, γραμμική παλινδρόμηση, πίνακας, data, διάγραμμα διασποράς, data point.

μεροληψία Θεωρούμε μία μέθοδο μηχανικής μάθησης που χρησιμοποιεί έναν παραμετροποιημένο χώρο υποθέσεων \mathcal{H} . Μαθαίνει τις παραμέτρους του μοντέλου $\mathbf{w} \in \mathbb{R}^d$ χρησιμοποιώντας το σύνολο δεδομένων

$$\mathcal{D} = \{ (\mathbf{x}^{(r)}, y^{(r)}) \}_{r=1}^m.$$

Για να αναλύσουμε τις ιδιότητες της μεθόδου μηχανικής μάθησης, συνήθως ερμηνεύουμε τα σημεία δεδομένων ως πραγματώσεις ανεξάρτητων και ταυτόσημα καταταξιμένων τυχαίων μεταβλητών,

$$y^{(r)} = h(\bar{\mathbf{w}})(\mathbf{x}^{(r)}) + \varepsilon^{(r)}, r = 1, \dots, m.$$

Μπορούμε τότε να ερμηνεύσουμε τη μέθοδο μηχανικής μάθησης ως μία εκτιμήτρια $\hat{\mathbf{w}}$ που υπολογίζεται από το \mathcal{D} (π.χ. λύνοντας την εμπειρική ελαχιστοποίηση διακινδύνευσης). Η (τετραγωνική) μεροληψία που προκαλείται από την εκτίμηση $\hat{\mathbf{w}}$ ορίζεται τότε ως $B^2 := \|\mathbb{E}\{\hat{\mathbf{w}}\} - \bar{\mathbf{w}}\|_2^2$.

Βλέπε επίσης: ml, χώρος υποθέσεων, παράμετροι μοντέλου, σύνολο δεδομένων, data point, πραγμάτωση, ανεξάρτητες και ταυτόσημα κατανεμημένες, τυχαία μεταβλητή, εμπειρική ελαχιστοποίηση διακινδύνευσης, πιθανοτικό μοντέλο, σφάλμα εκτίμησης.

μέση τιμή Η μέση τιμή μίας τυχαίας μεταβλητής \mathbf{x} , που παίρνει τιμές σε έναν Ευκλείδειο χώρο \mathbb{R}^d , είναι η προσδοκία της $\mathbb{E}\{\mathbf{x}\}$. Ορίζεται ως το ολοκλήρωμα Lebesgue του \mathbf{x} αναφορικά με την υποκείμενη κατανομή πιθανότητας P (π.χ. βλέπε [2] ή [6]), δηλαδή

$$\mathbb{E}\{\mathbf{x}\} = \int_{\mathbb{R}^d} \mathbf{x} dP(\mathbf{x}).$$

Είναι χρήσιμο να σκεφτούμε τη μέση τιμή ως τη λύση του ακόλουθου προβλήματος ελαχιστοποίησης διακινδύνευσης [7]:

$$\mathbb{E}\{\mathbf{x}\} = \arg \min_{\mathbf{c} \in \mathbb{R}^d} \mathbb{E}\{\|\mathbf{x} - \mathbf{c}\|_2^2\}.$$

Χρησιμοποιούμε επίσης τον όρο για να αναφερθούμε στον μέσο όρο μίας πεπερασμένης ακολουθίας $\mathbf{x}^{(1)}, \dots, \mathbf{x}^{(m)} \in \mathbb{R}^d$. Ωστόσο, αυτοί οι δύο ορισμοί είναι ουσιαστικά ίδιοι. Πράγματι, μπορούμε να χρησιμοποιήσουμε την ακολουθία $\mathbf{x}^{(1)}, \dots, \mathbf{x}^{(m)} \in \mathbb{R}^d$ για να κατασκευάσουμε μία διακριτή τυχαία μεταβλητή $\tilde{\mathbf{x}} = \mathbf{x}^{(I)}$, με τον δείκτη I να επιλέγεται ομοιόμορφα

στην τύχη από το σύνολο $\{1, \dots, m\}$. Η μέση τιμή της $\tilde{\mathbf{x}}$ είναι ακριβώς ο μέσος όρος $(1/m) \sum_{r=1}^m \mathbf{x}^{(r)}$.

Βλέπε επίσης: τυχαία μεταβλητή, Ευκλείδειος χώρος, expectation, κατανομή πιθανότητας, διακινδύνευση.

μέση τιμή δείγματος Η μέση τιμή δείγματος $\mathbf{m} \in \mathbb{R}^d$ για ένα συγκεκριμένο σύνολο δεδομένων, με διανύσματα χαρακτηριστικών $\mathbf{x}^{(1)}, \dots, \mathbf{x}^{(m)} \in \mathbb{R}^d$, ορίζεται ως

$$\mathbf{m} = \frac{1}{m} \sum_{r=1}^m \mathbf{x}^{(r)}.$$

Βλέπε επίσης: δείγμα, μέση τιμή, σύνολο δεδομένων, διάνυσμα χαρακτηριστικών.

μέσο τετραγωνικό σφάλμα εκτίμησης Θεωρούμε μία μέθοδο μηχανικής μάθησης που μαθαίνει παραμέτρους μοντέλου $\hat{\mathbf{w}}$ με βάση κάποιο σύνολο δεδομένων \mathcal{D} . Αν ερμηνεύσουμε τα σημεία δεδομένων στο \mathcal{D} ως ανεξάρτητες και ταυτόσημα κατανεμημένες πραγματώσεις μίας τυχαίας μεταβλητής \mathbf{z} , ορίζουμε το σφάλμα εκτίμησης $\Delta \mathbf{w} := \hat{\mathbf{w}} - \bar{\mathbf{w}}$. Εδώ, $\bar{\mathbf{w}}$ δηλώνει τις αληθείς παραμέτρους του μοντέλου της κατανομής πιθανότητας του \mathbf{z} . Το μέσο τετραγωνικό σφάλμα εκτίμησης (mean squared estimation error - MSSE) ορίζεται ως η προσδοκία $\mathbb{E}\{\|\Delta \mathbf{w}\|^2\}$ της τετραγωνικής Ευκλείδειας νόρμας του σφάλματος εκτίμησης [29], [103].

Βλέπε επίσης: ml, παράμετροι μοντέλου, σύνολο δεδομένων, data point, ανεξάρτητες και ταυτόσημα κατανεμημένες, πραγμάτωση, τυχαία μεταβλητή, σφάλμα εκτίμησης, κατανομή πιθανότητας, expectation, νόρμα, μέση τιμή, πιθανοτικό μοντέλο, απώλεια τετραγωνικού σφάλματος.

μετασχηματιστής In the context of ml, the term transformer refers to ...

μη λεία Αναφερόμαστε σε μία συνάρτηση ως μη λεία αν δεν είναι λεία [25].

Βλέπε επίσης: συνάρτηση, λεία.

μηχανή διανυσμάτων υποστήριξης (ΜΔΥ) The SVM (support vector machine - SVM) is a binary ταξινόμηση method that learns a linear υπόθεση απεικόνιση. Thus, like γραμμική παλινδρόμηση and λογιστική παλινδρόμηση, it is also an instance of εμπειρική ελαχιστοποίηση διακινδύνευσης for the γραμμικό μοντέλο. However, the SVM uses a different συνάρτηση απώλειας from the one used in those methods. As illustrated in Fig. 46, it aims to maximally separate data points from the two different classes in the χώρος χαρακτηριστικών (i.e., maximum margin principle). Maximizing this separation is equivalent to minimizing a regularized variant of the απώλεια άρθρωσης (1) [28], [58], [104].

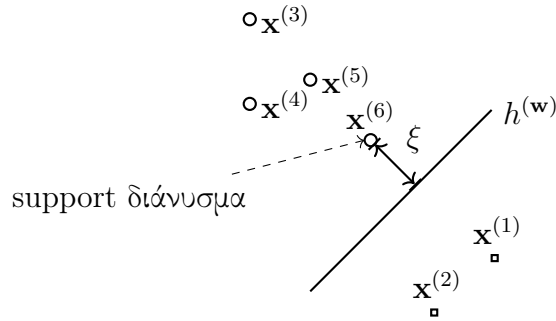


Fig. 46. The SVM learns a υπόθεση (or ταξινομητής) $h^{(w)}$ with minimal average soft-margin απώλεια άρθρωσης. Minimizing this loss is equivalent to maximizing the margin ξ between the όριο απόφασης of $h^{(w)}$ and each class of the σύνολο εκπαίδευσης.

The above basic variant of SVM is only useful if the data points from

different categories can be (approximately) linearly separated. For an ml application where the categories are not derived from a πυρήνας.

Βλέπε επίσης: ταξινόμηση, υπόθεση, απεικόνιση, γραμμική παλινδρόμηση, λογιστική παλινδρόμηση, εμπειρική ελαχιστοποίηση διακινδύνευσης, γραμμικό μοντέλο, συνάρτηση απώλειας, data point, χώρος χαρακτηριστικών, maximum, απώλεια άρθρωσης, διάνυσμα, ταξινομητής, loss, όριο απόφασης, σύνολο εκπαίδευσης, ml, πυρήνας, απώλεια άρθρωσης.

μηχανική μάθηση Η μηχανική μάθηση (machine learning - ML) στοχεύει να προβλέψει μία ετικέτα από τα χαρακτηριστικά ενός σημείου δεδομένων. Οι μέθοδοι μηχανικής μάθησης το επιτυγχάνουν αυτό μαθαίνοντας μία υπόθεση από έναν χώρο υποθέσεων (ή μοντέλο) μέσω της ελαχιστοποίησης μίας συνάρτησης απώλειας [8], [105]. Μία ακριβής διατύπωση αυτής της αρχής είναι η εμπειρική ελαχιστοποίηση διακινδύνευσης. Διαφορετικές μέθοδοι μηχανικής μάθησης προκύπτουν από διαφορετικές επιλογές σχεδιασμού για σημεία δεδομένων (δηλαδή τα χαρακτηριστικά και την ετικέτα τους), το μοντέλο, και τη συνάρτηση απώλειας [8, Κεφ. 3].

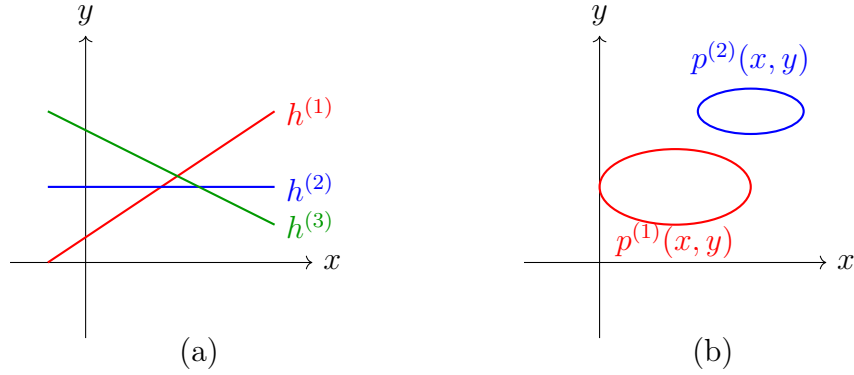
Βλέπε επίσης: ετικέτα, feature, data point, υπόθεση, χώρος υποθέσεων, model, συνάρτηση απώλειας, εμπειρική ελαχιστοποίηση διακινδύνευσης, data, loss.

μονάδα δεδομένων A token is a basic unit of information obtained by splitting a ακολουθία of symbols, such as a text string, into smaller parts. In NLP, tokens often correspond to words, subwords, or characters that form the features of a data point. Tokenization transforms raw text (e.g., “The cat sleeps”) into a ακολουθία of tokens (e.g., [“The”, “cat”, “sleeps”]),

which can then be mapped to numerical διάνυσμα χαρακτηριστικών.

See also: ακολουθία, διάνυσμα χαρακτηριστικών.

μοντέλο Η μελέτη και ο σχεδιασμός μεθόδων μηχανικής μάθησης βασίζεται συχνά σε ένα μαθηματικό μοντέλο [106]. Ίσως το πιο ευρέως χρησιμοποιούμενο παράδειγμα μαθηματικού μοντέλου για τη μηχανική μάθηση είναι ένας χώρος υποθέσεων. Ένας χώρος υποθέσεων αποτελείται από απεικόνιση υπόθεσης που χρησιμοποιούνται από μία μέθοδο μηχανικής μάθησης για την πρόβλεψη ετικετών από τα χαρακτηριστικά σημείων δεδομένων. Ένας άλλος σημαντικός τύπος μαθηματικού μοντέλου είναι ένα πιθανοτικό μοντέλο, το οποίο αποτελείται από κατανομές πιθανοτήτων που περιγράφουν πώς παράγονται σημεία δεδομένων. Εκτός αν διατυπώνεται διαφορετικά, χρησιμοποιούμε τον όρο μοντέλο για να αναφερθούμε συγκεκριμένα στον χώρο υποθέσεων που αποτελεί τη βάση μίας μεθόδου μηχανικής μάθησης. Παρουσιάζουμε ένα παράδειγμα ενός χώρου υποθέσεων και ενός πιθανοτικού μοντέλου στο Σχ. 47.



Σχ. 47. Δύο τύποι μαθηματικών μοντέλων που χρησιμοποιούνται στη μηχανική μάθηση. (a) Ένας χώρος υποθέσεων που αποτελείται από τρεις linear maps. (b) Ένα πιθανοτικό μοντέλο που αποτελείται από κατανομή πιθανότητας πάνω στο επίπεδο παραγόμενο από τις τιμές χαρακτηριστικών και ετικετών ενός σημείου δεδομένων.

Βλέπε επίσης: ml, χώρος υποθέσεων, υπόθεση, απεικόνιση, ετικέτα, feature, data point, πιθανοτικό μοντέλο, κατανομή πιθανότητας, linear map.

μοντέλο στοχαστικής ομάδας Το μοντέλο στοχαστικής ομάδας (stochastic block model - SBM) είναι ένα πιθανοτικό παραγωγικό μοντέλο για έναν μη κατευθυνόμενο γράφο $\mathcal{G} = (\mathcal{V}, \mathcal{E})$ με ένα δεδομένο σύνολο κόμβων \mathcal{V} [107]. Στην πιο βασική του παραλλαγή, το μοντέλο στοχαστικής ομάδας παράγει έναν γράφο πρώτα αποδίδοντας τυχαία κάθε κόμβο $i \in \mathcal{V}$ σε έναν δείκτη συστάδας $c_i \in \{1, \dots, k\}$. Ένα ζεύγος διαφορετικών κόμβων στον γράφο συνδέεται με μία ακμή με πιθανότητα $p_{i,i'}$ που εξαρτάται μόνο από τις ετικέτες $c_i, c_{i'}$. Η παρουσία ακμών μεταξύ διαφορετικών ζευγών κομβων είναι στατιστικά ανεξάρτητη.

Βλέπε επίσης: model, graph, συστάδα, probability, ετικέτα.

νόμος των μεγάλων αριθμών Ο νόμος των μεγάλων αριθμών αναφέρε-

ται στη σύγκλιση του μέσου όρου ενός αυξανόμενου (μεγάλου) αριθμού ανεξάρτητων και ταυτόσημα κατανομημένων τυχαίων μεταβλητών στη μέση τιμή της κοινής τους κατανομής πιθανότητας. Διαφορετικές περιπτώσεις του νόμου των μεγάλων αριθμών προκύπτουν από τη χρήση διαφορετικών εννοιών σύγκλισης [35].

Βλέπε επίσης: σύγκλιση, ανεξάρτητες και ταυτόσημα κατανομημένες, τυχαία μεταβλητή, μέση τιμή, κατανομή πιθανότητας.

νόρμα Μία νόρμα είναι μία συνάρτηση που αντιστοιχίζει κάθε (διανυσματικό) στοιχείο ενός διανυσματικού χώρου σε έναν μη αρνητικό αριθμό. Αυτή η συνάρτηση πρέπει να είναι ομογενής και ορισμένη, και πρέπει να ικανοποιεί την τριγωνική ανισότητα [48].

Βλέπε επίσης: συνάρτηση, διάνυσμα, διανυσματικός χώρος.

ολική μεταβολή Βλέπε γενικευμένη ολική μεταβολή.

ομαλοποιημένη ελαχιστοποίηση απώλειας Βλέπε ομαλοποιημένη ελαχιστοποίηση εμπειρικής διακινδύνευσης.

ομαλοποιημένη ελαχιστοποίηση εμπειρικής διακινδύνευσης Basic εμπειρική ελαχιστοποίηση διακινδύνευσης learns a υπόθεση (or trains a model) $h \in \mathcal{H}$ based solely on the empirical risk $\widehat{L}(h|\mathcal{D})$ incurred on a σύνολο εκπαίδευσης \mathcal{D} . To make εμπειρική ελαχιστοποίηση διακινδύνευσης less prone to υπερπροσαρμογή, we can implement ομαλοποίηση by including a (scaled) ομαλοποιητής $\mathcal{R}\{h\}$ in the learning objective. This leads to RERM (regularized empirical risk minimization - RERM),

$$\hat{h} \in \arg \min_{h \in \mathcal{H}} \widehat{L}(h|\mathcal{D}) + \alpha \mathcal{R}\{h\}. \quad (7)$$

The παράμετρος $\alpha \geq 0$ controls the ομαλοποίηση strength. For $\alpha = 0$, we recover standard εμπειρική ελαχιστοποίηση διακινδύνευσης without ομαλοποίηση. As α increases, the learned υπόθεση is increasingly biased toward small values of $\mathcal{R}\{h\}$. The component $\alpha\mathcal{R}\{h\}$ in the αντικειμενική συνάρτηση of (7) can be intuitively understood as a surrogate for the increased average loss that may occur when predicting ετικέτας for data points outside the σύνολο εκπαίδευσης. This intuition can be made precise in various ways. For example, consider a γραμμικό μοντέλο trained using απώλεια τετραγωνικού σφάλματος and the ομαλοποιητής $\mathcal{R}\{h\} = \|\mathbf{w}\|_2^2$. In this setting, $\alpha\mathcal{R}\{h\}$ corresponds to the expected increase in loss caused by adding Gaussian RVs to the διάνυσμα χαρακτηριστικών in the σύνολο εκπαίδευσης [8, Ch. 3]. A principled construction for the ομαλοποιητής $\mathcal{R}\{h\}$ arises from approximate upper bounds on the γενίκευση error. The resulting RERM instance is known as ελαχιστοποίηση δομικής διακινδύνευσης [108, Sec. 7.2].

Βλέπε επίσης: εμπειρική ελαχιστοποίηση διακινδύνευσης, υπόθεση, model, empirical risk, σύνολο εκπαίδευσης, υπερπροσαρμογή, ομαλοποίηση, ομαλοποιητής, παράμετρος, αντικειμενική συνάρτηση, loss, ετικέτα, data point, γραμμικό μοντέλο, απώλεια τετραγωνικού σφάλματος, Gaussian RV, διάνυσμα χαρακτηριστικών, γενίκευση, ελαχιστοποίηση δομικής διακινδύνευσης.

ομαλοποίηση A key challenge of modern ml applications is that they often use large models, which have an αποτελεσματική διάσταση in the order of billions. Training a high-dimensional model using basic εμπειρική ελαχιστοποίηση διακινδύνευσης-based methods is prone to υπερπροσαρμογή:

the learned υπόθεση performs well on the σύνολο εκπαίδευσης but poorly outside the σύνολο εκπαίδευσης. Regularization refers to modifications of a given instance of εμπειρική ελαχιστοποίηση διακινδύνευσης in order to avoid υπερπροσαρμογή, i.e., to ensure that the learned υπόθεση does not perform much worse outside the σύνολο εκπαίδευσης. There are three routes for implementing regularization:

- 1) Model pruning: We prune the original model \mathcal{H} to obtain a smaller model \mathcal{H}' . For a parametric model, the pruning can be implemented via constraints on the παράμετροι μοντέλου (such as $w_1 \in [0.4, 0.6]$ for the weight of feature x_1 in γραμμική παλινδρόμηση).
- 2) Loss penalization: We modify the αντικειμενική συνάρτηση of εμπειρική ελαχιστοποίηση διακινδύνευσης by adding a penalty term to the training error. The penalty term estimates how much higher the expected loss (or διακινδύνευση) is compared to the average loss on the σύνολο εκπαίδευσης.
- 3) Data augmentation: We can enlarge the σύνολο εκπαίδευσης \mathcal{D} by adding perturbed copies of the original data points in \mathcal{D} . One example for such a perturbation is to add the πραγμάτωση of an τυχαία μεταβλητή to the διάνυσμα χαρακτηριστικών of a data point.

Fig. 48 illustrates the above three routes to regularization. These routes are closely related and sometimes fully equivalent: data augmentation using Gaussian RVs to perturb the διάνυσμα χαρακτηριστικών in the σύνολο εκπαίδευσης of γραμμική παλινδρόμηση has the same effect as adding the penalty $\lambda \|\mathbf{w}\|_2^2$ to the training error (which is nothing but

ridge regression). The decision on which route to use for regularization can be based on the available computational infrastructure. For example, it might be much easier to implement data augmentation than model pruning.

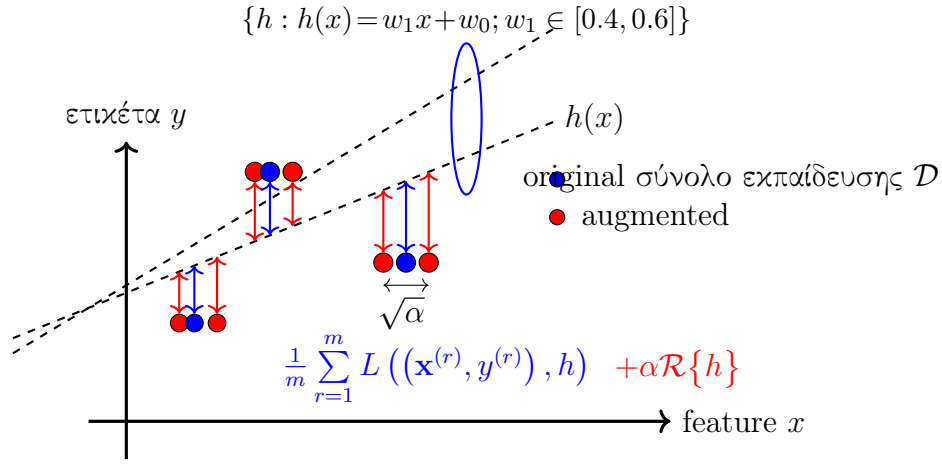


Fig. 48. Three approaches to regularization: 1) data augmentation; 2) loss penalization; and 3) model pruning (via constraints on παράμετροι μοντέλου).

Βλέπε επίσης: ml, model, αποτελεσματική διάσταση, εμπειρική ελαχιστοποίηση διακινδύνευσης, υπερπροσαρμογή, υπόθεση, σύνολο εκπαίδευσης, παράμετροι μοντέλου, feature, γραμμική παλινδρόμηση, loss, αντικειμενική συνάρτηση, training error, διακινδύνευση, data augmentation, data point, πραγμάτωση, τυχαία μεταβλητή, διάνυσμα χαρακτηριστικών, Gaussian RV, ridge regression, ετικέτα, επικύρωση, επιλογή μοντέλου.

ομαλοποιητής Ένας ομαλοποιητής αποδίδει σε κάθε υπόθεση h από έναν χώρο υποθέσεων \mathcal{H} ένα ποσοτικό μέτρο $\mathcal{R}\{h\}$ που εκφράζει σε ποιόν

βαθμό τα σφάλματα πρόβλεψής της μπορεί να διαφέρουν σε σημεία δεδομένων σε ένα σύνολο εκπαίδευσης και έξω από αυτό. Η αμφικλινής παλινδρόμηση χρησιμοποιεί τον ομαλοποιητή $\mathcal{R}\{h\} := \|\mathbf{w}\|_2^2$ για γραμμικές απεικόνισης υπόθεσης $h^{(\mathbf{w})}(\mathbf{x}) := \mathbf{w}^T \mathbf{x}$ [8, Κεφ. 3]. Ο τελεστής ελάχιστης απόλυτης συρρίκνωσης και επιλογής χρησιμοποιεί τον ομαλοποιητή $\mathcal{R}\{h\} := \|\mathbf{w}\|_1$ για γραμμικές απεικόνισης υπόθεσης $h^{(\mathbf{w})}(\mathbf{x}) := \mathbf{w}^T \mathbf{x}$ [8, Κεφ. 3].

Βλέπε επίσης: υπόθεση, χώρος υποθέσεων, πρόβλεψη, σύνολο εκπαίδευσης, data point, ridge regression, απεικόνιση, Lasso, loss, αντικειμενική συνάρτηση.

ομοσπονδιακή μάθηση Η ομοσπονδιακή μάθηση (federated learning - FL)

είναι ένας όρος-ομπρέλα για μεθόδους μηχανικής μάθησης που εκπαιδεύουν μοντέλα με έναν συνεργατικό τρόπο χρησιμοποιώντας αποκεντρωμένα δεδομένα και υπολογισμό.

Βλέπε επίσης: ml, model, data.

οπισθοδιάδοση Backpropagation is an αλγόριθμος for computing the gradient $\nabla_{\mathbf{w}} f(\mathbf{w})$ of an αντικειμενική συνάρτηση $f(\mathbf{w})$ that depends on the παράμετροι μοντέλου \mathbf{w} of an ΤΝΔ. One example of such an αντικειμενική συνάρτηση is the average loss incurred by the ΤΝΔ on a δέσμη of data points. This αλγόριθμος is a direct application of the chain rule from calculus to efficiently compute partial derivatives of the συνάρτηση απώλειας with respect to the παράμετροι μοντέλου. Backpropagation consists of two consecutive phases, also illustrated in Fig. 49. The first phase includes the forward pass, where a δέσμη of data points is fed

into the TNΔ. The TNΔ processes the input through its στρώμας using its current βάρη, ultimately producing a πρόβλεψη at its output. The πρόβλεψη of the δέσμη is compared to the true ετικέτα using a συνάρτηση απώλειας, which quantifies the πρόβλεψη error. The second phase includes the backward pass (i.e., backpropagation), where the error is backpropagated through the TNΔ στρώμας. The obtained partial derivatives with respect to the TNΔ παράμετρος w_1, \dots, w_d constitute the gradient $\nabla f(\mathbf{w})$, which can be used, in turn, to implement a βήμα κλίσης.

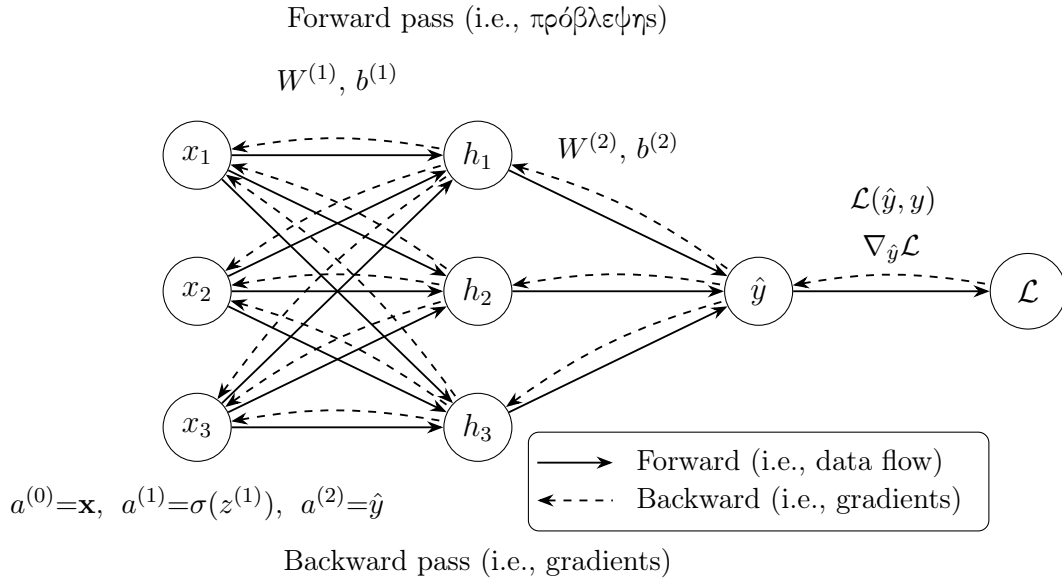


Fig. 49. Solid arrows show the forward pass (i.e., data flow and loss calculation), while dashed arrows show the gradient correction flow during the backward pass for updating the παράμετρος $W^{(x)}, b^{(x)}$.

Βλέπε επίσης: αλγόριθμος, gradient, αντικειμενική συνάρτηση, παράμετροι μοντέλου, TNΔ, loss, δέσμη, data point, συνάρτηση απώλειας,

στρώμα, βάρη, πρόβλεψη, ετικέτα, παράμετρος, βήμα κλίσης, data, κάθοδος κλίσης, μέθοδος βελτιστοποίησης.

ακρίβεια Θεωρούμε σημεία δεδομένων που χαρακτηρίζονται από χαρακτηριστικά $\mathbf{x} \in \mathcal{X}$ και μία κατηγορική ετικέτα y που παίρνει τιμές από ένα πεπερασμένο χώρο ετικετών \mathcal{Y} . Η ακρίβεια μίας υπόθεσης $h : \mathcal{X} \rightarrow \mathcal{Y}$, όταν εφαρμόζεται στα σημεία δεδομένων ενός συνόλου δεδομένων $\mathcal{D} = \{(\mathbf{x}^{(1)}, y^{(1)}), \dots, (\mathbf{x}^{(m)}, y^{(m)})\}$, ορίζεται τότε ως

$$1 - \frac{1}{m} \sum_{r=1}^m L^{(0/1)}((\mathbf{x}^{(r)}, y^{(r)}), h)$$

χρησιμοποιώντας την 0/1 απώλεια $L^{(0/1)}(\cdot, \cdot)$.

Βλέπε επίσης: data point, feature, ετικέτα, χώρος ετικετών, υπόθεση, σύνολο δεδομένων, 0/1 απώλεια, loss, μετρική.

οριζόντια ομοσπονδιακή μάθηση Η οριζόντια ομοσπονδιακή μάθηση (horizontal federated learning - HFL) χρησιμοποιεί τοπικά σύνολα δεδομένων που αποτελούνται από διαφορετικά σημεία δεδομένων, αλλά χρησιμοποιεί τα ίδια χαρακτηριστικά για να τα χαρακτηρίσει [109]. Για παράδειγμα, η πρόγνωση καιρού χρησιμοποιεί ένα δίκτυο χωρικά καταμεμημένων σταθμών (παρατήρησης) καιρού. Κάθε σταθμός καιρού μετράει τις ίδιες ποσότητες, όπως την ημερήσια θερμοκρασία, την ατμοσφαιρική πίεση, και τα ατμοσφαιρικά κατακρημνίσματα. Ωστόσο, διαφορετικοί σταθμοί καιρού μετράνε τα characteristics ή τα χαρακτηριστικά διαφορετικών χωροχρονικών περιοχών. Κάθε χωροχρονική περιοχή αναπαριστά ένα μεμονωμένο σημείο δεδομένων, με το καθένα να χαρακτηρίζεται από

τα ίδια χαρακτηριστικά (δηλαδή ημερήσια θερμοκρασία ή ατμοσφαιρική πίεση).

Βλέπε επίσης: τοπικό σύνολο δεδομένων, data point, feature, semi-supervised learning (SSL), FL, vertical federated learning (VFL).

όριο απόφασης Θεωρούμε μία απεικόνιση υπόθεσης h που διαβάζει ένα διάνυσμα χαρακτηριστικών $\mathbf{x} \in \mathbb{R}^d$ και παραδίδει μία τιμή από ένα πεπερασμένο σύνολο \mathcal{Y} . Το σύνορο απόφασης της h είναι το σύνολο των διανυσμάτων $\mathbf{x} \in \mathbb{R}^d$ που βρίσκονται ανάμεσα σε διαφορετικές περιοχές αποφάσεων. Πιο συγκεκριμένα, ένα διάνυσμα \mathbf{x} ανήκει στο σύνορο απόφασης αν και μόνο αν κάθε γειτονιά $\{\mathbf{x}' : \|\mathbf{x} - \mathbf{x}'\| \leq \varepsilon\}$, για οποιοδήποτε $\varepsilon > 0$, περιέχει τουλάχιστον δύο διανύσματα με διαφορετικές τιμές συνάρτησης.

Βλέπε επίσης: υπόθεση, απεικόνιση, διάνυσμα χαρακτηριστικών, διάνυσμα, περιοχή αποφάσεων, γειτονιά, συνάρτηση.

παλινδρόμηση Τα προβλήματα παλινδρόμησης περιστρέφονται γύρω από την πρόβλεψη μίας αριθμητικής ετικέτας μόνο από τα χαρακτηριστικά ενός σημείου δεδομένων [8, Κεφ. 2].

Βλέπε επίσης: πρόβλεψη, ετικέτα, feature, data point.

παλινδρόμηση ελάχιστης απόλυτης απόκλισης Η παλινδρόμηση ελάχιστης απόλυτης απόκλισης είναι μία περίπτωση της εμπειρικής ελαχιστοποίησης διακινδύνευσης που χρησιμοποιεί την απώλεια απόλυτου σφάλματος. Είναι μία ειδική περίπτωση της παλινδρόμησης Huber.

Βλέπε επίσης: εμπειρική ελαχιστοποίηση διακινδύνευσης, απώλεια απόλυτου σφάλματος, παλινδρόμηση Huber.

παλινδρόμηση Huber Η παλινδρόμηση Huber αναφέρεται σε μεθόδους βασισμένες στην εμπειρική ελαχιστοποίηση διακινδύνευσης που χρησιμοποιούν την απώλεια Huber ως μέτρο του σφάλματος πρόβλεψης. Δύο σημαντικές ειδικές περιπτώσεις της παλινδρόμησης Huber είναι η παλινδρόμηση ελάχιστης απόλυτης απόκλισης και η γραμμική παλινδρόμηση. Η ρύθμιση της παραμέτρου-κατωφλιού της απώλειας Huber επιτρέπει στον χρήστη να ανταλλάξει τη στιβαρότητα της απώλειας απόλυτου σφάλματος με τα υπολογιστικά οφέλη της λείας απώλειας τετραγωνικού σφάλματος. Βλέπε επίσης: regression, εμπειρική ελαχιστοποίηση διακινδύνευσης, απώλεια Huber, πρόβλεψη, regression, παλινδρόμηση ελάχιστης απόλυτης απόκλισης, γραμμική παλινδρόμηση, παράμετρος, στιβαρότητα, απώλεια απόλυτου σφάλματος, λεία, απώλεια τετραγωνικού σφάλματος.

παραγωγίσιμη Μία συνάρτηση πραγματικής τιμής $f : \mathbb{R}^d \rightarrow \mathbb{R}$ είναι παραγωγίσιμη αν μπορεί να προσεγγιστεί τοπικά σε οποιοδήποτε σημείο από μία γραμμική συνάρτηση. Η τοπική γραμμική προσέγγιση στο σημείο \mathbf{x} καθορίζεται από την κλίση $\nabla f(\mathbf{x})$ [2]. Βλέπε επίσης: συνάρτηση, gradient.

παραδοχή ανεξάρτητων και ταυτόσημα κατανεμημένων Η παραδοχή ανεξάρτητων και ταυτόσημα κατανεμημένων (independent and identically distributed assumption - i.i.d. assumption) είναι ένα ευρέως χρησιμοποιούμενο πιθανοτικό μοντέλο για την παραγωγή σημείων δεδομένων. Συγκεκριμένα, τα σημεία δεδομένων αναπαρίστανται ως ανεξάρτητες και ταυτόσημα κατανεμημένες τυχαίες μεταβλητές. Βλέπε επίσης: ανεξάρτητες και ταυτόσημα κατανεμημένες, πιθανοτικό

μοντέλο, data point, τυχαία μεταβλητή.

παραδοχή συσταδοποίησης Η παραδοχή συσταδοποίησης υποθέτει ότι σημεία δεδομένων σε ένα σύνολο δεδομένων σχηματίζουν έναν (μικρό) αριθμό ομάδων ή συστάδων. Τα σημεία δεδομένων στην ίδια συστάδα είναι πιο όμοια μεταξύ τους παρά με αυτά εκτός της συστάδας [96]. Αποκτούμε διαφορετικές μεθόδους συσταδοποίησης χρησιμοποιώντας διαφορετικές έννοιες ομοιότητας ανάμεσα σε σημεία δεδομένων. Βλέπε επίσης: συσταδοποίηση, data point, σύνολο δεδομένων, συστάδα.

παράμετρος Η παράμετρος ενός μοντέλου μηχανικής μάθησης είναι μία ποσότητα που μπορεί να ρυθμιστεί (δηλαδή να μαθευτεί ή να προσαρμοστεί) και που μας επιτρέπει να επιλέξουμε μεταξύ διαφορετικών απεικόνισης υπόθεσης. Για παράδειγμα, το γραμμικό μοντέλο $\mathcal{H} := \{h^{(\mathbf{w})} : h^{(\mathbf{w})}(x) = w_1x + w_2\}$ αποτελείται από όλες τις απεικόνισης υπόθεσης $h^{(\mathbf{w})}(x) = w_1x + w_2$ με μία συγκεκριμένη επιλογή για τις παραμέτρους $\mathbf{w} = (w_1, w_2)^T \in \mathbb{R}^2$. Ένα άλλο παράδειγμα μίας παραμέτρου μοντέλου είναι τα βάρη που αποδίδονται σε μία σύνδεση μεταξύ δύο νευρώνων ενός τεχνητού νευρωνικού δικτύου.

Βλέπε επίσης: ml, model, υπόθεση, απεικόνιση, γραμμικό μοντέλο, βάρη, ΤΝΔ.

παραμέτροι μοντέλου Οι παράμετροι μοντέλου είναι ποσότητες που χρησιμοποιούνται για να επιλεγεί μία συγκεκριμένη απεικόνιση υπόθεσης από ένα μοντέλο. Μπορούμε να σκεφτούμε μία λίστα παραμέτρων μοντέλου ως ένα μοναδικό αναγνωριστικό για μία απεικόνιση υπόθεσης όμοια με το πώς ένας αριθμός κοινωνικής ασφάλισης ταυτοποιεί ένα άτομο στην

Ελλάδα.

Βλέπε επίσης: model, παράμετρος, υπόθεση, απεικόνιση.

παράμετρος μοντέλου The elements ...

See also: TBC.

περιοχή αποφάσεων Θεωρούμε μία απεικόνιση υπόθεσης h που δίνει τιμές από ένα πεπερασμένο σύνολο \mathcal{Y} . Για κάθε τιμή ετικέτας (δηλαδή κατηγορία) $a \in \mathcal{Y}$, η υπόθεση h καθορίζει ένα υποσύνολο τιμών χαρακτηριστικών $\mathbf{x} \in \mathcal{X}$ που οδηγούν στην ίδια έξοδο $h(\mathbf{x}) = a$. Αναφερόμαστε σε αυτό το υποσύνολο ως μία περιοχή αποφάσεων της υπόθεσης h .

Βλέπε επίσης: υπόθεση, απεικόνιση, ετικέτα, feature, output.

πιθανότητα Αποδίδουμε μία τιμή πιθανότητας, συνήθως επιλεγμένη στο διάστημα $[0, 1]$, σε κάθε γεγονός που μπορεί να συμβεί σε ένα τυχαίο πείραμα [6], [7], [41], [40].

Βλέπε επίσης: γεγονός, τυχαίο πείραμα.

πίνακας σύγχυσης Θεωρούμε ένα πεπερασμένο σύνολο δεδομένων με m σημεία δεδομένων, καθένα από τα οποία χαρακτηρίζεται από ένα διάνυσμα χαρακτηριστικών \mathbf{x} και μία ετικέτα $y \in \mathcal{Y}$ με έναν πεπερασμένο χώρο ετικετών $\mathcal{Y} = \{1, \dots, k\}$. Για μία δεδομένη υπόθεση h , ο πίνακας σύγχυσης (confusion matrix) είναι ένας $k \times k$ πίνακας όπου κάθε γραμμή αντιστοιχεί σε μία συγκεκριμένη τιμή της αληθούς ετικέτας $y \in \mathcal{Y}$ και κάθε στήλη σε μία συγκεκριμένη τιμή της πρόβλεψης $h(\mathbf{x}) \in \mathcal{Y}$. Η καταχώριση του πίνακα στη c στή γραμμή και τη c' στή στήλη είναι ο αριθμός των σημείων δεδομένων με μία αληθή ετικέτα $y = c$ που προβλέπονται ως $h(\mathbf{x}) = c'$. Το άθροισμα των καταχωρίσεων της κύριας διαγωνίου είναι ο

αριθμός των σωστά ταξινομημένων σημείων δεδομένων, δηλαδή εκείνων για τα οποία $y = h(\mathbf{x})$. Το άθροισμα των εκτός διαγωνίου καταχωρίσεων οδηγεί στον συνολικό αριθμό των σημείων δεδομένων που είναι λανθασμένα ταξινομημένα από την h .

Βλέπε επίσης: σύνολο δεδομένων, data point, διάνυσμα χαρακτηριστικών, ετικέτα, χώρος ετικετών, υπόθεση, πίνακας, πρόβλεψη, ταξινόμηση.

πίνακας συνδιακύμανσης δείγματος Ο πίνακας συνδιακύμανσης δείγματος $\hat{\Sigma} \in \mathbb{R}^{d \times d}$ για ένα δεδομένο σύνολο διανυσμάτων χαρακτηριστικών $\mathbf{x}^{(1)}, \dots, \mathbf{x}^{(m)} \in \mathbb{R}^d$ ορίζεται ως

$$\hat{\Sigma} = \frac{1}{m} \sum_{r=1}^m (\mathbf{x}^{(r)} - \hat{\mathbf{m}})(\mathbf{x}^{(r)} - \hat{\mathbf{m}})^T.$$

Εδώ χρησιμοποιούμε τη μέση τιμή δείγματος $\hat{\mathbf{m}}$.

Βλέπε επίσης: δείγμα, πίνακας συνδιακύμανσης, διάνυσμα χαρακτηριστικών, μέση τιμή δείγματος.

πίνακας χαρακτηριστικών Θεωρούμε ένα σύνολο δεδομένων \mathcal{D} με m σημεία δεδομένων με διανύσματα χαρακτηριστικών $\mathbf{x}^{(1)}, \dots, \mathbf{x}^{(m)} \in \mathbb{R}^d$. Είναι βολικό να συγκεντρώσουμε τα μεμονωμένα διανύσματα χαρακτηριστικών σε έναν πίνακα χαρακτηριστικών $\mathbf{X} := (\mathbf{x}^{(1)}, \dots, \mathbf{x}^{(m)})^T$ μεγέθους $m \times d$.

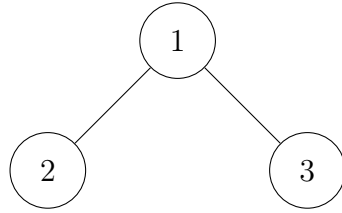
Βλέπε επίσης: σύνολο δεδομένων, data point, διάνυσμα χαρακτηριστικών, feature, πίνακας.

πίνακας Laplace Η δομή ενός γράφου \mathcal{G} , με κόμβους $i = 1, \dots, n$, μπορεί να αναλυθεί χρησιμοποιώντας τις ιδιότητες ειδικών πινάκων που σχετίζο-

νται με τον \mathcal{G} . Ένας τέτοιος πίνακας είναι ο πίνακας Laplace γράφου $\mathbf{L}^{(\mathcal{G})} \in \mathbb{R}^{n \times n}$, ο οποίος ορίζεται για έναν μη κατευθυνόμενο και σταθμισμένο γράφο [110], [111]. Από άποψη στοιχείων ορίζεται ως (βλέπε Σχ. 50)

$$L_{i,i'}^{(\mathcal{G})} := \begin{cases} -A_{i,i'}, & \text{for } i \neq i', \{i, i'\} \in \mathcal{E}; \\ \sum_{i'' \neq i} A_{i,i''}, & \text{for } i = i'; \\ 0, & \text{else.} \end{cases}$$

Εδώ, $A_{i,i'}$ δηλώνει το βάρος ακμής μίας ακμής $\{i, i'\} \in \mathcal{E}$.



(a)

$$\mathbf{L}^{(\mathcal{G})} = \begin{pmatrix} 2 & -1 & -1 \\ -1 & 1 & 0 \\ -1 & 0 & 1 \end{pmatrix}$$

(b)

Σχ. 50. (a) Κάποιος μη κατευθυνόμενος γράφος \mathcal{G} με τρεις κόμβους $i = 1, 2, 3$. (b) Ο πίνακας Laplace $\mathbf{L}^{(\mathcal{G})} \in \mathbb{R}^{3 \times 3}$ του \mathcal{G} .

Βλέπε επίσης: graph, πίνακας, βάρος ακμής.

πλησιέστερος γείτονας Οι μέθοδοι πλησιέστερου γείτονα (nearest neighbor - NN) μαθαίνουν μία υπόθεση $h : \mathcal{X} \rightarrow \mathcal{Y}$ της οποίας η τιμή συνάρτησης $h(\mathbf{x})$ καθορίζεται μόνο από τους πλησιέστερους γείτονες εντός ενός δεδομένου συνόλου δεδομένων. Διαφορετικές μέθοδοι χρησιμοποιούν διαφορετικές μετρικές για τον καθορισμό των πλησιέστερων γειτόνων. Αν σημεία δεδομένων χαρακτηρίζονται από αριθμητικά διανύσματα χαρα-

κτηριστικών, μπορούμε να χρησιμοποιήσουμε τις Ευκλείδειες αποστάσεις τους ως τη μετρική.

Βλέπε επίσης: υπόθεση, συνάρτηση, σύνολο δεδομένων, μετρική, data point, διάνυσμα χαρακτηριστικών, Ευκλείδεια απόσταση, γείτονες.

πολυπλοκότητα Rademacher Όμοια με τη διάσταση Vapnik–Chervonenkis, η πολυπλοκότητα Rademacher [112] είναι ένα ποσοτικό μέτρο του μεγέθους ενός χώρου υποθέσεων \mathcal{H} . Βασίζεται στην εμπειρική πολυπλοκότητα Rademacher, η οποία ορίζεται για ένα συγκεκριμένο σύνολο δεδομένων \mathcal{D} ως

$$\mathcal{R}_{\mathcal{D}}(\mathcal{H}) = \mathbb{E}_{\varepsilon_1, \dots, \varepsilon_m} \sup_{h \in \mathcal{H}} \frac{1}{m} \sum_{r=1}^m \varepsilon_r h(\mathbf{x}^{(r)}).$$

Εδώ, η προσδοκία λαμβάνεται αναφορικά με τις τυχαίες μεταβλητές $\varepsilon_1, \dots, \varepsilon_m$, οι οποίες είναι ανεξάρτητες και ταυτόσημα κατανομημένες και παίρνουν τιμές στο $\{-1, +1\}$ με ίση πιθανότητα $1/2$. Η πολυπλοκότητα Rademacher του \mathcal{H} ορίζεται τότε ως η προσδοκία της εμπειρικής πολυπλοκότητας Rademacher ενός τυχαίου συνόλου δεδομένων $\mathcal{D} = \{\mathbf{x}^{(1)}, \dots, \mathbf{x}^{(m)}\}$ που αποτελείται από m ανεξάρτητες και ταυτόσημα κατανομημένες τυχαίες μεταβλητές $\mathbf{x}^{(r)} \in \mathcal{X}$ για $r = 1, \dots, m$.

Βλέπε επίσης: διάσταση Vapnik–Chervonenkis, μέτρο, χώρος υποθέσεων, σύνολο δεδομένων, expectation, τυχαία μεταβλητή, ανεξάρτητες και ταυτόσημα κατανομημένες, probability, γενίκευση, ml, αποτελεσματική διάσταση.

πολυωνυμική παλινδρόμηση Η πολυωνυμική παλινδρόμηση είναι μία περίπτωση εμπειρικής ελαχιστοποίησης διακινδύνευσης που μαθαίνει μία πο-

λυωνυμική απεικόνιση υπόθεσης για να προβλέψει μία αριθμητική ετικέτα με βάση τα αριθμητικά χαρακτηριστικά ενός σημείου δεδομένων. Για σημεία δεδομένων που χαρακτηρίζονται από ένα μοναδικό αριθμητικό χαρακτηριστικό, η πολυωνυμική παλινδρόμηση χρησιμοποιεί τον χώρο υποθέσεων $\mathcal{H}_d^{(\text{poly})} := \{h(x) = \sum_{j=0}^{d-1} x^j w_j\}$. Η ποιότητα μίας πολυωνυμικής απεικόνιση υπόθεσης μετράται χρησιμοποιώντας τη μέση απώλεια τετραγωνικού σφάλματος που προκύπτει σε ένα σύνολο σημείων δεδομένων με ετικέτες (στο οποίο αναφερόμαστε ως το σύνολο εκπαίδευσης).

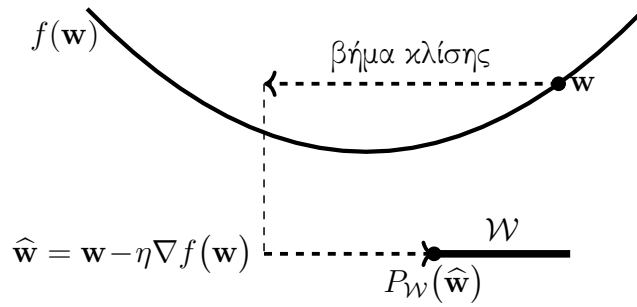
Βλέπε επίσης: regression, εμπειρική ελαχιστοποίηση διακινδύνευσης, υπόθεση, απεικόνιση, ετικέτα, feature, data point, χώρος υποθέσεων, απώλεια τετραγωνικού σφάλματος, σημείο δεδομένων με ετικέτα, σύνολο εκπαίδευσης.

πραγμάτωση Θεωρούμε μία τυχαία μεταβλητή \mathbf{x} που αντιστοιχίζει κάθε αποτέλεσμα $\omega \in \mathcal{P}$ ενός χώρου πιθανοτήτων \mathcal{P} σε ένα στοιχείο \mathbf{a} ενός μετρήσιμου χώρου \mathcal{N} [2], [6], [41]. Μία πραγμάτωση της \mathbf{x} είναι οποιοδήποτε στοιχείο $\mathbf{a} \in \mathcal{N}$ τέτοιο ώστε να υφίσταται ένα στοιχείο $\omega' \in \mathcal{P}$ με $\mathbf{x}(\omega') = \mathbf{a}$.

Βλέπε επίσης: τυχαία μεταβλητή, χώρος πιθανοτήτων, μετρήσιμο.

προβεβλημένη καθόδος κλίσης Θεωρούμε μία μέθοδο βασισμένη στην εμπειρική ελαχιστοποίηση διακινδύνευσης που χρησιμοποιεί ένα παραμετροποιημένο μοντέλο με παραμετρικό χώρο $\mathcal{W} \subseteq \mathbb{R}^d$. Ακόμα και αν η αντικειμενική συνάρτηση εμπειρικής ελαχιστοποίησης διακινδύνευσης είναι λεία, δεν μπορούμε να χρησιμοποιήσουμε τη βασική καθόδο κλίσης, καθώς δεν λαμβάνει υπόψη περιορισμούς στη μεταβλητή βελτιστοποίησης.

σης (δηλαδή τις παραμέτρους του μοντέλου). Η προβεβλημένη κάθοδος κλίσης (projected gradient descent - projected GD) επεκτείνει τη βασική καθόδο κλίσης για να αντιμετωπίσει αυτό το ζήτημα. Μία μοναδική επανάληψη της προβεβλημένης καθόδου κλίσης περιλαμβάνει πρώτα τη λήψη ενός βήματος κλίσης και στη συνέχεια την προβολή του αποτελέσματος πίσω στον παραμετρικό χώρο. Βλέπε Σχ. 51 για μία οπτική απεικόνιση.



Σχ. 51. Η προβεβλημένη κάθοδος κλίσης επαυξάνει ένα βασικό βήμα κλίσης με μία προβολή πίσω στο σύνολο περιορισμών \mathcal{W} .

Βλέπε επίσης: εμπειρική ελαχιστοποίηση διακινδύνευσης, model, παραμετρικός χώρος, αντικειμενική συνάρτηση, λεία, κάθοδος κλίσης, παράμετροι μοντέλου, βήμα κλίσης, προβολή.

πρόβλεψη Μία πρόβλεψη είναι μία εκτίμηση ή προσέγγιση για κάποια ποσότητα ενδιαφέροντος. Η μηχανική μάθηση περιστρέφεται γύρω από τη μάθηση ή εύρεση μίας απεικόνιση υπόθεσης h που διαβάζει τα χαρακτηριστικά \mathbf{x} ενός σημείου δεδομένων και δίνει μία πρόβλεψη $\hat{y} := h(\mathbf{x})$ για την ετικέτα του y .

Βλέπε επίσης: ml, υπόθεση, απεικόνιση, feature, data point, ετικέτα.

προβολή Θεωρούμε ένα υποσύνολο $\mathcal{W} \subseteq \mathbb{R}^d$ του d -διάστατου Ευκλείδειου

χώρου. Ορίζουμε την προβολή $P_{\mathcal{W}}(\mathbf{w})$ ενός διανύσματος $\mathbf{w} \in \mathbb{R}^d$ στο \mathcal{W} ως

$$P_{\mathcal{W}}(\mathbf{w}) = \arg \min_{\mathbf{w}' \in \mathcal{W}} \|\mathbf{w} - \mathbf{w}'\|_2.$$

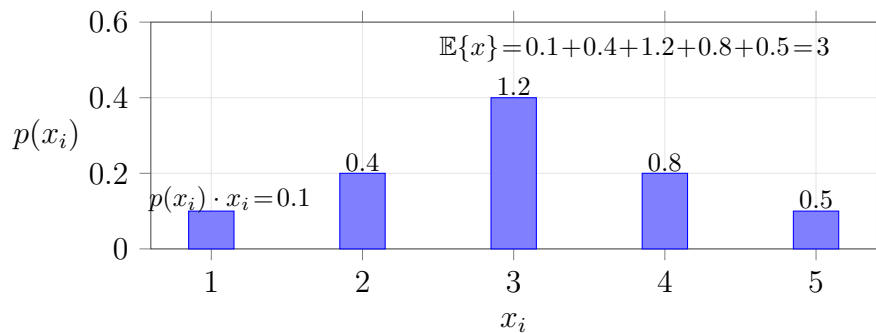
Με άλλα λόγια, η $P_{\mathcal{W}}(\mathbf{w})$ είναι το διάνυσμα στο \mathcal{W} που είναι πιο κοντά στο \mathbf{w} . Η προβολή είναι καλά ορισμένη μόνο για υποσύνολα \mathcal{W} για τα οποία υφίσταται το παραπάνω ελάχιστο [19].

Βλέπε επίσης: Ευκλείδειος χώρος, διάνυσμα, ελάχιστο.

προγνωστικός παράγοντας Ένας προγνωστικός παράγοντας είναι μία απεικόνιση υπόθεσης πραγματικής τιμής. Δεδομένου ενός σημείου δεδομένων με χαρακτηριστικά \mathbf{x} , η τιμή $h(\mathbf{x}) \in \mathbb{R}$ χρησιμοποιείται ως η πρόβλεψη για την αληθή αριθμητική ετικέτα $y \in \mathbb{R}$ του σημείου δεδομένων.

Βλέπε επίσης: υπόθεση, απεικόνιση, data point, feature, πρόβλεψη, ετικέτα.

προσδοκία Θεωρούμε ένα αριθμητικό διάνυσμα χαρακτηριστικών $\mathbf{x} \in \mathbb{R}^d$ που ερμηνεύουμε ως την πραγμάτωση μίας τυχαίας μεταβλητής με μία κατανομή πιθανότητας $p(\mathbf{x})$. Η προσδοκία (expectation) του \mathbf{x} ορίζεται ως το ολοκλήρωμα $\mathbb{E}\{\mathbf{x}\} := \int \mathbf{x}p(\mathbf{x})$. Σημείωση ότι η προσδοκία ορίζεται μόνο αν υφίσταται αυτό το ολοκλήρωμα, δηλαδή αν η τυχαία μεταβλητή είναι ολοκληρώσιμη [2], [6], [41]. Το Σχ. 52 απεικονίζει την προσδοκία μίας βαθμωτής διακριτής τυχαίας μεταβλητής x που παίρνει τιμές μόνο από ένα πεπερασμένο σύνολο.



Σχ. 52. Η προσδοκία μίας διακριτής τυχαίας μεταβλητής x προκαλείται από το άθροισμα των πιθανών τιμών της x_i , σταθμισμένες από την αντίστοιχη πιθανότητα $p(x_i) = \mathbb{P}(x = x_i)$.

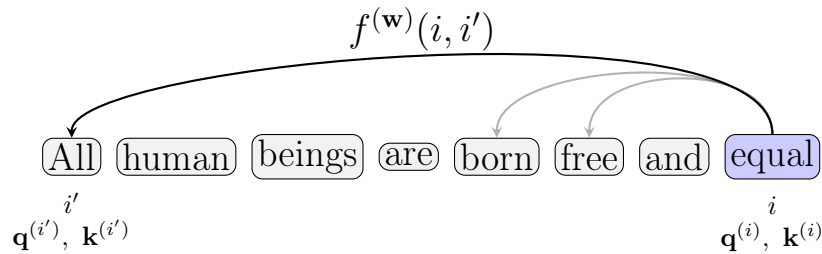
Βλέπε επίσης: διάνυσμα χαρακτηριστικών, πραγμάτωση, τυχαία μεταβλητή, κατανομή πιθανότητας, ολοκληρώσιμη, discrete RV, probability.

προσεγγίσιμος Μία κυρτή συνάρτηση για την οποία ο τελεστής εγγύτητας μπορεί να υπολογιστεί αποτελεσματικά αναφέρεται μερικές φορές ως προσεγγίσιμη ή απλή [113].

Βλέπε επίσης: κυρτό, συνάρτηση, τελεστής εγγύτητας.

προσοχή Κάποιες εφαρμογές μηχανικής μάθησης περιλαμβάνουν σημεία δεδομένων που αποτελούνται από μικρότερες μονάδες, οι οποίες αναφέρονται ως μονάδες δεδομένων. Για παράδειγμα, μία πρόταση αποτελείται από λέξεις, μία εικόνα από τμήματα εικονοστοιχείων, και ένα δίκτυο από κόμβους. Γενικά, οι μονάδες δεδομένων που συνιστούν ένα μοναδικό σημείο δεδομένων δεν είναι ανεξάρτητες μεταξύ τους. Αντίθετα, κάθε μονάδα δεδομένων ενός σημείου δεδομένων εξαρτάται από (ή δίνει προσοχή (attention) σε) συγκεκριμένες άλλες μονάδες δεδομένων. Τα πιθανοτικά μοντέλα παρέχουν ένα πλαίσιο αρχών για την αναπαράσταση και την α-

νάλυση τέτοιων εξαρτήσεων [114]. Οι μηχανισμοί προσοχής χρησιμοποιούν μία πιο άμεση προσέγγιση χωρίς ρητή αναφορά σε ένα πιθανοτικό μοντέλο. Η ιδέα είναι να αναπαρασταθεί η σχέση μεταξύ δύο μονάδων δεδομένων i and i' χρησιμοποιώντας μία παραμετροποιημένη συνάρτηση $f^{(\mathbf{w})}(i, i')$, όπου οι παράμετροι \mathbf{w} μαθαίνονται μέσω μίας παραλλαγής της εμπειρικής ελαχιστοποίησης διακινδύνευσης. Οι πρακτικοί μηχανισμοί προσοχής διαφέρουν τόσο ως προς την ακριβή επιλογή μοντέλου προσοχής $f^{(\mathbf{w})}(i, i')$ όσο και ως προς την ακριβή παραλλαγή της εμπειρικής ελαχιστοποίησης διακινδύνευσης που χρησιμοποιείται για τη μάθηση των παραμέτρων \mathbf{w} . Μία ευρέως χρησιμοποιούμενη οικογένεια μηχανισμών προσοχής ορίζει τις παραμέτρους \mathbf{w} ως προς δύο διανύσματα που σχετίζονται με κάθε μονάδα δεδομένων i , δηλαδή ένα διάνυσμα ερωτήματος $\mathbf{q}^{(i)}$ και ένα διάνυσμα κλειδιού $\mathbf{k}^{(i')}$. Για μία δεδομένη μονάδα δεδομένων i με ερώτημα $\mathbf{q}^{(i)}$ και μία άλλη μονάδα δεδομένων i' με κλειδί $\mathbf{k}^{(i')}$, η ποσότητα $(\mathbf{q}^{(i)})^\top \mathbf{k}^{(i')}$ υποδεικνύει το κατά πόσο η μονάδα δεδομένων i δίνει προσοχή σε (ή εξαρτάται από) τη μονάδα δεδομένων i' (βλέπε Σχ. 53).



Σχ. 53. Οι μηχανισμοί προσοχής μαθαίνουν μία παραμετροποιημένη συνάρτηση $f^{(\mathbf{w})}(i, i')$ για να μετρήσουν πόσο η μονάδα δεδομένων i δίνει προσοχή στη μονάδα δεδομένων i' . Μία ευρέως χρησιμοποιούμενη κατασκευή της $f^{(\mathbf{w})}(i, i')$ χρησιμοποιεί τα διανύσματα ερωτήματος και κλειδιού, τα οποία δηλώνονται με $\mathbf{q}^{(i)}$ και $\mathbf{k}^{(i)}$, που αποδίδονται σε κάθε μονάδα δεδομένων i [115].

Βλέπε επίσης: ml, data point, μονάδα δεδομένων, πιθανοτικό μοντέλο, συνάρτηση, παράμετρος, εμπειρική ελαχιστοποίηση διακινδύνευσης, model, διάνυσμα.

προστασία της ιδιωτικότητας Θεωρούμε κάποια μέθοδο μηχανικής μάθησης \mathcal{A} που διαβάζει ένα σύνολο δεδομένων \mathcal{D} και δίνει κάποια έξοδο $\mathcal{A}(\mathcal{D})$. Η έξοδος θα μπορούσε να είναι οι παράμετροι μοντέλου $\hat{\mathbf{w}}$ που μαθαίνονται ή η πρόβλεψη $\hat{h}(\mathbf{x})$ που προκύπτει για ένα συγκεκριμένο σημείο δεδομένων με χαρακτηριστικά \mathbf{x} . Πολλές σημαντικές εφαρμογές μηχανικής μάθησης περιλαμβάνουν σημεία δεδομένων που αντιπροσωπεύουν ανθρώπους. Κάθε σημείο δεδομένων χαρακτηρίζεται από χαρακτηριστικά \mathbf{x} , ενδεχομένως μία ετικέτα y , και ένα ευαίσθητο ιδιοχαρακτηριστικό s (π.χ. μία πρόσφατη ιατρική διάγνωση). Στο περίπου, προστασία της ιδιωτικότητας σημαίνει ότι θα έπρεπε να είναι αδύνατο να συμπεράνουμε, από την έξοδο $\mathcal{A}(\mathcal{D})$, οποιοδήποτε από τα ευαίσθητα ιδιοχαρακτηριστικά των σημείων δεδομένων στο \mathcal{D} . Από μαθηματικής άποψης, η προστασία της ιδιωτικότητας απαιτεί την μη αντιστρεψιμότητα της απεικόνιση $\mathcal{A}(\mathcal{D})$. Γενικά, το να κάνουμε απλώς το $\mathcal{A}(\mathcal{D})$ μη αντιστρέψιμο είναι συνήθως ανεπαρκές για την προστασία της ιδιωτικότητας. Χρειάζεται να κάνουμε το $\mathcal{A}(\mathcal{D})$ επαρκώς μη αντιστρέψιμο.

Βλέπε επίσης: ml, σύνολο δεδομένων, παράμετροι μοντέλου, πρόβλεψη, data point, feature, ετικέτα, ευαίσθητο ιδιοχαρακτηριστικό, απεικόνιση.

πυρήνας Θεωρούμε ένα σύνολο σημείων δεδομένων, το καθένα να αναπαριστάται από ένα διάνυσμα χαρακτηριστικών $\mathbf{x} \in \mathcal{X}$, όπου \mathcal{X} δηλώνει τον χώρο χαρακτηριστικών. Ένας πυρήνας (πραγματικής τιμής) είναι μία συ-

νάρτηση $K : \mathcal{X} \times \mathcal{X} \rightarrow \mathbb{R}$ που αποδίδει σε κάθε ζεύγος διανυσμάτων χαρακτηριστικών $\mathbf{x}, \mathbf{x}' \in \mathcal{X}$ έναν πραγματικό αριθμό $K(\mathbf{x}, \mathbf{x}')$. Αυτή η τιμή συνήθως ερμηνεύεται ως ένα μέτρο για την ομοιότητα μεταξύ των \mathbf{x} και \mathbf{x}' . Η καθοριστική ιδιότητα ενός πυρήνα είναι ότι είναι συμμετρικός, δηλαδή $K(\mathbf{x}, \mathbf{x}') = K(\mathbf{x}', \mathbf{x})$, και ότι για οποιοδήποτε πεπερασμένο σύνολο διανυσμάτων χαρακτηριστικών $\mathbf{x}_1, \dots, \mathbf{x}_n \in \mathcal{X}$, ο πίνακας

$$\mathbf{K} = \begin{pmatrix} K(\mathbf{x}_1, \mathbf{x}_1) & K(\mathbf{x}_1, \mathbf{x}_2) & \dots & K(\mathbf{x}_1, \mathbf{x}_n) \\ K(\mathbf{x}_2, \mathbf{x}_1) & K(\mathbf{x}_2, \mathbf{x}_2) & \dots & K(\mathbf{x}_2, \mathbf{x}_n) \\ \vdots & \vdots & \ddots & \vdots \\ K(\mathbf{x}_n, \mathbf{x}_1) & K(\mathbf{x}_n, \mathbf{x}_2) & \dots & K(\mathbf{x}_n, \mathbf{x}_n) \end{pmatrix} \in \mathbb{R}^{n \times n}$$

είναι θετικά ημιορισμένος. Ένας πυρήνας καθορίζει φυσικά έναν μετασχηματισμό ενός διανύσματος χαρακτηριστικών \mathbf{x} σε μία συνάρτηση $\mathbf{z} = K(\mathbf{x}, \cdot)$. Η συνάρτηση \mathbf{z} αντιστοιχίζει μία είσοδο $\mathbf{x}' \in \mathcal{X}$ στην τιμή $K(\mathbf{x}, \mathbf{x}')$. Μπορούμε να θεωρήσουμε τη συνάρτηση \mathbf{z} ως ένα νέο διάνυσμα χαρακτηριστικών που ανήκει σε έναν χώρο χαρακτηριστικών \mathcal{X}' που είναι συνήθως διαφορετικός από τον \mathcal{X} . Αυτός ο νέος χώρος χαρακτηριστικών \mathcal{X}' έχει μία συγκεκριμένη μαθηματική δομή, δηλαδή είναι ένας χώρος Hilbert αναπαραγωγού πυρήνα (reproducing kernel Hilbert space - RKHS) [58], [21]. Δεδομένου ότι το \mathbf{z} ανήκει σε έναν χώρο Hilbert αναπαραγωγού πυρήνα, ο οποίος είναι ένας διανυσματικός χώρος, μπορούμε να τον ερμηνεύσουμε ως ένα γενικευμένο διάνυσμα χαρακτηριστικών. Σημείωση ότι ένα διάνυσμα χαρακτηριστικών πεπερασμένου μήκους $\mathbf{x} = (x_1, \dots, x_d)^T \in \mathbb{R}^d$ μπορεί να θεωρηθεί ως μία συνάρτηση $\mathbf{x} : \{1, \dots, d\} \rightarrow \mathbb{R}$ που αποδίδει μία πραγματική τιμή σε κάθε δείκτη

$j \in \{1, \dots, d\}$.

Βλέπε επίσης: data point, διάνυσμα χαρακτηριστικών, χώρος χαρακτηριστικών, συνάρτηση, πίνακας, θετικά ημιορισμένος, χώρος Hilbert, διανυσματικός χώρος, kernel method.

ρυθμός μάθησης Θεωρούμε μία επαναληπτική μέθοδο μηχανικής μάθησης για την εύρεση ή μάθηση μίας χρήσιμης υπόθεσης $h \in \mathcal{H}$. Μία τέτοια επαναληπτική μέθοδος επαναλαμβάνει όμοια υπολογιστικά βήματα (ενημέρωσης) που προσαρμόζουν ή τροποποιούν την τρέχουσα υπόθεση για να προκύψει μία βελτιωμένη υπόθεση. Ένα καλά γνωστό παράδειγμα μίας τέτοιας επαναληπτικής μεθόδου μάθησης είναι η κάθοδος κλίσης και οι παραλλαγές της, στοχαστική κάθοδος κλίσης και προβεβλημένη κάθοδος κλίσης. Μία παράμετρος-κλειδί μίας επαναληπτικής μεθόδου είναι ο ρυθμός μάθησης. Ο ρυθμός μάθησης ελέγχει τον βαθμό που η τρέχουσα υπόθεση μπορεί να τροποποιηθεί κατά τη διάρκεια μίας μονής επανάληψης. Ένα καλά γνωστό παράδειγμα μίας τέτοιας παραμέτρου είναι το μέγεθος βήματος που χρησιμοποιείται στην κάθοδο κλίσης [8, Κεφ. 5]. Βλέπε επίσης: ml, υπόθεση, κάθοδος κλίσης, στοχαστική κάθοδος κλίσης, προβεβλημένη κάθοδος κλίσης, παράμετρος, μέγεθος βήματος.

σημείο δεδομένων Ένα σημείο δεδομένων είναι οποιοδήποτε αντικείμενο που μεταφέρει πληροφορίες [18]. Παραδείγματα περιλαμβάνουν μαθητές, ραδιοσήματα, δέντρα, εικόνες, τυχαίες μεταβλητές, πραγματικούς αριθμούς, ή πρωτεΐνες. Περιγράφουμε σημεία δεδομένων του ίδιου τύπου με δύο κατηγορίες ιδιοτήτων. Η πρώτη κατηγορία περιλαμβάνει χαρακτηριστικά που είναι μετρήσιμες ή υπολογίσιμες ιδιότητες ενός σημείου

δεδομένων. Αυτά τα ιδιοχαρακτηριστικά μπορούν να εξαχθούν ή να υπολογιστούν αυτόματα χρησιμοποιώντας αισθητήρες, υπολογιστές, ή άλλα συστήματα συλλογής δεδομένων. Για ένα σημείο δεδομένων που αναπαριστά έναν ασθενή, ένα χαρακτηριστικό θα μπορούσε να είναι το σωματικό βάρος. Η δεύτερη κατηγορία περιλαμβάνει ετικέτες που είναι γεγονότα υψηλότερου επιπέδου (ή ποσότητες ενδιαφέροντος) που σχετίζονται με το σημείο δεδομένων. Ο προσδιορισμός των ετικετών ενός σημείου δεδομένων συνήθως απαιτεί ανθρώπινη εμπειρογνωσία ή γνώση πεδίου. Για ένα σημείο δεδομένων που αναπαριστά έναν ασθενή, μία διάγνωση καρκίνου που έχει παραχθεί από έναν γιατρό θα μπορούσε να χρησιμεύει ως η ετικέτα. Το Σχ. 54 απεικονίζει μία εικόνα ως παράδειγμα ενός σημείου δεδομένων μαζί με τα χαρακτηριστικά και τις ετικέτες του. Σημαντικό είναι ότι το τι συνιστά ένα χαρακτηριστικό ή μία ετικέτα δεν είναι εγγενές στο ίδιο το σημείο δεδομένων—είναι μία επιλογή σχεδιασμού που εξαρτάται από τη συγκεκριμένη εφαρμογή μηχανικής μάθησης.



Ένα μοναδικό σημείο δεδομένων.

Χαρακτηριστικά:

- x_1, \dots, x_{d_1} : Εντάσεις χρώματος όλων των εικονοστοιχείων.
- x_{d_1+1} : Χρονική σήμανση της αποτύπωσης της εικόνας.
- x_{d_1+2} : Χωρική θέση της αποτύπωσης της εικόνας.

Ετικέτες:

- y_1 : Ο αριθμός αγελάδων που απεικονίζεται.
- y_2 : Ο αριθμός λύκων που απεικονίζεται.
- y_3 : Η κατάσταση του βοσκότοπου (π.χ. υγιής, με υπερβόσκηση).

Σχ. 54. Εικονογράφηση ενός σημείου δεδομένων που αποτελείται από μία εικόνα. Μπορούμε να χρησιμοποιήσουμε διαφορετικές ιδιότητες της εικόνας ως χαρακτηριστικά και γεγονότα υψηλότερου επιπέδου για την εικόνα ως ετικέτες.

Η διάκριση μεταξύ χαρακτηριστικών και ετικετών δεν είναι πάντα ξεκάθαρη. Μία ιδιότητα που θεωρείται μία ετικέτα σε ένα περιβάλλον (π.χ. μία διάγνωση καρκίνου) μπορεί να αντιμετωπίζεται ως ένα χαρακτηριστικό σε ένα άλλο περιβάλλον—ιδιαίτερα αν η αξιόπιστη αυτοματοποίηση (π.χ.

μέσω ανάλυσης εικόνων) επιτρέπει τον υπολογισμό της χωρίς ανθρώπινη παρέμβαση. Η μηχανική μάθηση στοχεύει γενικά στην πρόβλεψη της ετικέτας ενός σημείου δεδομένων με βάση μόνο τα χαρακτηριστικά του. Βλέπε επίσης: data, τυχαία μεταβλητή, feature, ετικέτα, ml, σύνολο δεδομένων.

σημείο δεδομένων με ετικέτα Ένα σημείο δεδομένων του οποίου η ετικέτα είναι γνωστή ή έχει προσδιοριστεί με κάποιον τρόπο που μπορεί να απαιτεί ανθρώπινη εργασία.

Βλέπε επίσης: data point, ετικέτα.

σκληρή συσταδοποίηση Η σκληρή συσταδοποίηση αναφέρεται στην εργασία χωρισμού ενός συγκεκριμένου συνόλου σημείων δεδομένων σε (μερικές) μη αλληλεπικαλυπτόμενες συστάδες. Η πιο ευρέως χρησιμοποιούμενη μέθοδος σκληρής συσταδοποίησης είναι ο αλγόριθμος k -μέσων.

Βλέπε επίσης: συσταδοποίηση, data point, συστάδα, αλγόριθμος k -μέσων.

στατιστική διάσταση Ως στατιστικές διαστάσεις μίας μεθόδου μηχανικής μάθησης, αναφερόμαστε σε (ιδιότητες της) κατανομή πιθανότητας της εξόδου της κάτω από ένα πιθανοτικό μοντέλο για τα δεδομένα που τροφοδοτούνται στη μέθοδο.

Βλέπε επίσης: ml, κατανομή πιθανότητας, πιθανοτικό μοντέλο, data.

στιβαρότητα Η στιβαρότητα είναι μία βασική απαίτηση για αξιόπιστη ΤΝ. Αναφέρεται στην ιδιότητα ενός συστήματος μηχανικής μάθησης να διατηρεί αποδεκτή επίδοση ακόμα και όταν υπόκειται σε διαφορετικές μορφές

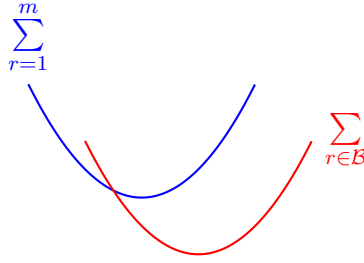
διαταραχών. Αυτές οι διαταραχές μπορεί να επηρεάσουν τα χαρακτηριστικά ενός σημείου δεδομένων με σκοπό τον χειρισμό της πρόβλεψης που παραδίδεται από ένα εκπαιδευμένο μοντέλο μηχανικής μάθησης. Η στιβαρότητα περιλαμβάνει επίσης την ευστάθεια μεθόδων βασισμένων στην εμπειρική ελαχιστοποίηση διακινδύνευσης απέναντι σε διαταραχές του συνόλου εκπαίδευσης. Τέτοιες διαταραχές μπορεί να συμβούν εντός επιθέσεων δηλητηρίασης δεδομένων.

Βλέπε επίσης: αξιόπιστη TN, σύστημα μηχανικής μάθησης, feature, data point, πρόβλεψη, ml, model, ευστάθεια, εμπειρική ελαχιστοποίηση διακινδύνευσης, σύνολο εκπαίδευσης, δηλητηρίαση δεδομένων, επίθεση.

στοίβαξη Stacking is ... See also: TBC.

στοχαστική καθόδος κλίσης Η στοχαστική καθόδος κλίσης (stochastic gradient descent - SGD) προκύπτει από την καθόδο κλίσης αντικαθιστώντας την κλίση της αντικειμενικής συνάρτησης με μία στοχαστική προσέγγιση. Μία κύρια εφαρμογή της στοχαστικής καθόδου κλίσης είναι η εκπαίδευση ενός παραμετροποιημένου μοντέλου μέσω της εμπειρικής ελαχιστοποίησης διακινδύνευσης πάνω σε ένα σύνολο εκπαίδευσης \mathcal{D} που είτε είναι πολύ μεγαλύτερο είτε δεν είναι εύκολα διαθέσιμο (π.χ. όταν σημεία δεδομένων αποθηκεύονται σε μία βάση δεδομένων κατανομημένη παγκοσμίως). Για να αξιολογήσουμε την κλίση της εμπειρικής διακινδύνευσης (ως μία συνάρτηση των παραμέτρων μοντέλου \mathbf{w}), χρειάζεται να υπολογίσουμε ένα άρθροισμα $\sum_{r=1}^m \nabla_{\mathbf{w}} L(\mathbf{z}^{(r)}, \mathbf{w})$ για όλα τα σημεία δεδομένων στο σύνολο εκπαίδευσης. Αποκτούμε μία στοχαστική προσέγγιση της κλίσης αντικαθιστώντας το άρθροισμα $\sum_{r=1}^m \nabla_{\mathbf{w}} L(\mathbf{z}^{(r)}, \mathbf{w})$

με ένα άθροισμα $\sum_{r \in \mathcal{B}} \nabla_{\mathbf{w}} L(\mathbf{z}^{(r)}, \mathbf{w})$ για ένα τυχαία επιλεγμένο υποσύνολο $\mathcal{B} \subseteq \{1, \dots, m\}$ (βλέπε Σχ. 55). Αναφερόμαστε συχνά σε αυτά τα τυχαία επιλεγμένα σημεία δεδομένων ως μία δέσμη. Το μέγεθος της δέσμης $|\mathcal{B}|$ είναι μία σημαντική παράμετρος της στοχαστικής καθόδου κλίσης. Η στοχαστική κάθοδος κλίσης με $|\mathcal{B}| > 1$ αναφέρεται ως στοχαστική κάθοδος κλίσης μίνι-δέσμης [116].



Σχ. 55. Η στοχαστική κάθοδος κλίσης για την εμπειρική ελαχιστοποίηση διακινδύνευσης προσεγγίζει την κλίση αντικαθιστώντας το άθροισμα $\sum_{r=1}^m \nabla_{\mathbf{w}} L(\mathbf{z}^{(r)}, \mathbf{w})$ για όλα τα σημεία δεδομένων στο σύνολο εκπαίδευσης (με δείκτες $r = 1, \dots, m$) με ένα άθροισμα για ένα τυχαία επιλεγμένο υποσύνολο $\mathcal{B} \subseteq \{1, \dots, m\}$.

Βλέπε επίσης: κάθοδος κλίσης, gradient, αντικειμενική συνάρτηση, στοχαστική, model, εμπειρική ελαχιστοποίηση διακινδύνευσης, σύνολο εκπαίδευσης, data point, empirical risk, συνάρτηση, παράμετροι μοντέλου, δέσμη, παράμετρος.

στοχαστικός αλγόριθμος Ένας στοχαστικός αλγόριθμος χρησιμοποιεί έναν τυχαίο μηχανισμό κατά την εκτέλεσή του. Για παράδειγμα, η στοχαστική κάθοδος κλίσης χρησιμοποιεί ένα τυχαία επιλεγμένο υποσύνολο σημείων δεδομένων για να υπολογίσει μία προσέγγιση για την κλίση μίας αντικειμενικής συνάρτησης. Μπορούμε να αναπαραστήσουμε έναν

στοχαστικό αλγόριθμο με μία στοχαστική διαδικασία, δηλαδή η πιθανή ακολουθία εκτέλεσης είναι τα πιθανά αποτελέσματα ενός τυχαίου πειράματος [7], [117], [118].

Βλέπε επίσης: στοχαστική, αλγόριθμος, στοχαστική κάθοδος κλίσης, data point, gradient, αντικειμενική συνάρτηση, στοχαστική διαδικασία, τυχαίο πείραμα, μέθοδος βελτιστοποίησης, μέθοδος με βάση την κλίση.

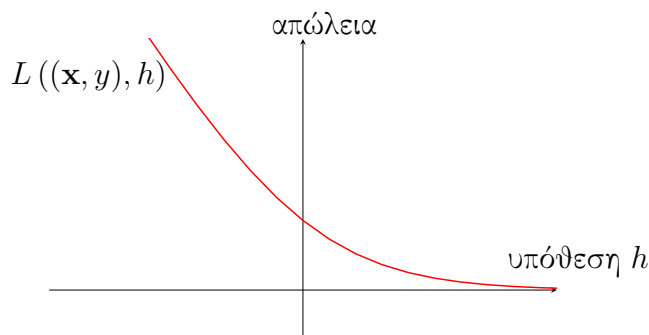
στρώμα Ένα βαθύ δίκτυο είναι ένα τεχνητό νευρωνικό δίκτυο που αποτελείται από διαδοχικά στρώματα (layers), τα οποία έχουν δείκτες $\ell = 1, 2, \dots, L$. Το ℓ στό στρώμα αποτελείται από τεχνητούς νευρώνες $a_1^{(\ell)}, \dots, a_{d^{(\ell)}}^{(\ell)}$ με πλάτος στρώματος $d^{(\ell)}$. Καθένας από τους τεχνητούς νευρώνες αξιολογεί μία συνάρτηση ενεργοποίησης για ένα σταθμισμένο άθροισμα των εξόδων (ή ενεργοποιήσεων) του προηγούμενου στρώματος $\ell - 1$. Η είσοδος στο στρώμα $\ell = 1$ σχηματίζεται από σταθμισμένα αθροίσματα των χαρακτηριστικών του σημείου δεδομένων για το οποίο το βαθύ δίκτυο υπολογίζει μία πρόβλεψη. Οι έξοδοι των νευρώνων στο στρώμα ℓ χρησιμοποιούνται στη συνέχεια για να σχηματίσουν τις εισόδους των νευρώνων στο επόμενο στρώμα. Το τελικό στρώμα (εξόδου) αποτελείται από έναν μοναδικό νευρώνα του οποίου η έξοδος χρησιμοποιείται ως η πρόβλεψη που παραδίδεται από το βαθύ δίκτυο.

Βλέπε επίσης: βαθύ δίκτυο, ΤΝΔ, συνάρτηση ενεργοποίησης, outputs, ενεργοποίηση, feature, data point, πρόβλεψη.

συνάρτηση απώλειας Μία συνάρτηση απώλειας είναι μία απεικόνιση

$$L : \mathcal{X} \times \mathcal{Y} \times \mathcal{H} \rightarrow \mathbb{R}_+ : ((\mathbf{x}, y), h) \mapsto L((\mathbf{x}, y), h).$$

Αποδίδει ένα μη αρνητικό πραγματικό αριθμό (δηλαδή την απώλεια) $L((\mathbf{x}, y), h)$ σε ένα ζεύγος που αποτελείται από ένα σημείο δεδομένων, με χαρακτηριστικά \mathbf{x} και ετικέτα y , και μία υπόθεση $h \in \mathcal{H}$. Η τιμή $L((\mathbf{x}, y), h)$ ποσοτικοποιεί την απόκλιση μεταξύ της αληθούς ετικέτας y και της πρόβλεψης $h(\mathbf{x})$. Χαμηλότερες (πιο κοντά στο μηδέν) τιμές $L((\mathbf{x}, y), h)$ υποδεικνύουν μία μικρότερη απόκλιση μεταξύ της πρόβλεψης $h(\mathbf{x})$ και της ετικέτας y . Το Σχ. 56 απεικονίζει μία συνάρτηση απώλειας για ένα συγκεκριμένο σημείο δεδομένων, με χαρακτηριστικά \mathbf{x} και ετικέτα y , ως μία συνάρτηση της υπόθεσης $h \in \mathcal{H}$.



Σχ. 56. Κάποια συνάρτηση απώλειας $L((\mathbf{x}, y), h)$ για ένα σταθερό σημείο δεδομένων, με διάνυσμα χαρακτηριστικών \mathbf{x} και ετικέτα y , και μία μεταβαλλόμενη υπόθεση h . Οι μέθοδοι μηχανικής μάθησης προσπαθούν να βρουν (ή να μάθουν) μία υπόθεση που προκαλεί ελάχιστη απώλεια.

Βλέπε επίσης: loss, συνάρτηση, απεικόνιση, data point, feature, ετικέτα, υπόθεση, πρόβλεψη, διάνυσμα χαρακτηριστικών, ml, εμπειρική ελαχιστοποίηση διακινδύνευσης.

συνάρτηση ενεργοποίησης Σε κάθε τεχνητό νευρώνα εντός ενός τεχνητού νευρωνικού δικτύου αποδίδεται μία συνάρτηση ενεργοποίησης (activation function) $\sigma(\cdot)$ που αντιστοιχίζει έναν σταθμισμένο συνδυασμό των

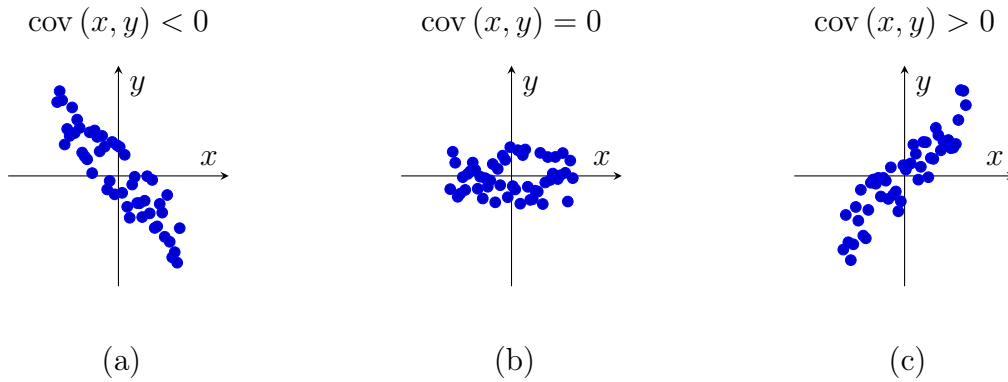
εισόδων νευρώνα x_1, \dots, x_d σε μία μοναδική τιμή εξόδου $a = \sigma(w_1x_1 + \dots + w_dx_d)$. Σημείωση ότι κάθε νευρώνας είναι παραμετροποιημένος με τα βάρη w_1, \dots, w_d .

Βλέπε επίσης: ΤΝΔ, ενεργοποίηση, συνάρτηση, βάρη.

συνάρτηση πυκνότητας πιθανότητας Η συνάρτηση πυκνότητας πιθανότητας $p(x)$ (probability density function - pdf) μίας τυχαίας μεταβλητής πραγματικής τιμής $x \in \mathbb{R}$ είναι μία συγκεκριμένη αναπαράσταση της κατανομής πιθανότητάς της. Αν η συνάρτηση πυκνότητας πιθανότητας υφίσταται, μπορεί να χρησιμοποιηθεί για τον υπολογισμό της πιθανότητας η x να παίρνει μία τιμή από ένα μετρήσιμο σύνολο $\mathcal{B} \subseteq \mathbb{R}$ μέσω της $\mathbb{P}(x \in \mathcal{B}) = \int_{\mathcal{B}} p(x') dx'$ [7, Κεφ. 3]. Αν η συνάρτηση πυκνότητας πιθανότητας μίας τυχαίας μεταβλητής διανυσματικής τιμής $\mathbf{x} \in \mathbb{R}^d$ υφίσταται, μας επιτρέπει να υπολογίσουμε την πιθανότητα η \mathbf{x} να ανήκει σε μία μετρήσιμη περιοχή \mathcal{R} μέσω της $\mathbb{P}(\mathbf{x} \in \mathcal{R}) = \int_{\mathcal{R}} p(\mathbf{x}') dx'_1 \dots dx'_d$ [7, Κεφ. 3].

Βλέπε επίσης: τυχαία μεταβλητή, κατανομή πιθανότητας, probability, μετρήσιμο, διάνυσμα.

συνδιακύμανση The covariance between two real-valued



Βλέπε επίσης: τυχαία μεταβλητή, χώρος πιθανοτήτων, διάγραμμα διασποράς, πραγμάτωση, πιθανοτικό μοντέλο, expectation.

συνθήκη μηδενικής κλίσης Θεωρούμε το μη περιορισμένο πρόβλημα βελτιστοποίησης $\min_{\mathbf{w} \in \mathbb{R}^d} f(\mathbf{w})$ με μία λεία και κυρτή αντικειμενική συνάρτηση $f(\mathbf{w})$. Μία αναγκαία και ικανή συνθήκη για να λύσει ένα διάνυσμα $\hat{\mathbf{w}} \in \mathbb{R}^d$ αυτό το πρόβλημα είναι η κλίση $\nabla f(\hat{\mathbf{w}})$ να είναι το μηδενικό διάνυσμα, έτσι ώστε

$$\nabla f(\hat{\mathbf{w}}) = \mathbf{0} \Leftrightarrow f(\hat{\mathbf{w}}) = \min_{\mathbf{w} \in \mathbb{R}^d} f(\mathbf{w}).$$

Βλέπε επίσης: optimization problem, λεία, κυρτό, αντικειμενική συνάρτηση, διάνυσμα, gradient.

σύνολο Μία μέθοδος συνόλου (ensemble) συνδυάζει πολλαπλές μεθόδους μηχανικής μάθησης, καθεμία από τις οποίες αναφέρεται ως base learner, ώστε να βελτιώνεται η συνολική επίδοση. Οι base learners μπορούν να είναι βασισμένοι στην εμπειρική ελαχιστοποίηση διακινδύνευσης, χρησι-

μοποιώντας διαφορετικές επιλογές ως προς την απώλεια, το μοντέλο, και το σύνολο εκπαίδευσης. Συναθροίζοντας τις πρόβλεψες of base learners, ensemble methods can often achieve better performance than any single base learner. The aggregation can amount to averaging the πρόβλεψες of base learners (in regression) or using a majority vote (for ταξινόμηση methods).

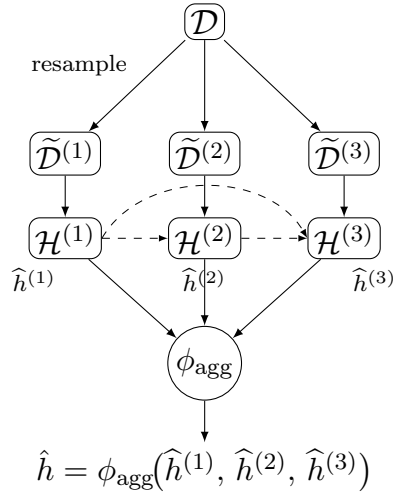


Fig. 57. A generic ensemble with three base learners, each using εμπειρική ελαχιστοποίηση διακινδύνευσης to learn $\mathcal{H}^{(j)} \in \mathcal{H}^{(j)}$ based on the σύνολο εκπαίδευσης $\tilde{\mathcal{D}}^{(j)}$. A base learner might also use the output of other base learners. The final υπόθεση \hat{h} is obtained by aggregating the υπόθεσης generated by the base learners.

Different ensemble methods use different constructions for the base learners. For example, bagging methods (such as a τυχαίο δάσος) use random sampling to construct slightly different σύνολο εκπαίδευσης for each base learner. On the other hand, boosting methods run the base learners sequentially, i.e., each base learner tries to correct the

πρόβλεψη errors of the previous ones. A third family of ensemble methods is stacking, where base learners are trained on the same σύνολο εκπαίδευσης but with different models.

Βλέπε επίσης: ml, base learner, εμπειρική ελαχιστοποίηση διακινδύνευσης, loss, model, σύνολο εκπαίδευσης, πρόβλεψη, regression, ταξινόμηση, output, υπόθεση, bagging, τυχαίο δάσος, boosting, stacking.

σύνολο δεδομένων Ένα σύνολο δεδομένων αναφέρεται σε μία συλλογή σημείων δεδομένων. Αυτά τα σημεία δεδομένων φέρουν πληροφορίες σχετικά με κάποια ποσότητα ενδιαφέροντος (ή ετικέτα) εντός μίας εφαρμογής μηχανικής μάθησης. Οι μέθοδοι μηχανικής μάθησης χρησιμοποιούν σύνολα δεδομένων για την εκπαίδευση μοντέλων (π.χ. μέσω εμπειρικής ελαχιστοποίησης διακινδύνευσης) και την επικύρωση μοντέλων. Σημειώση ότι η έννοιά μας ενός συνόλου δεδομένων είναι πολύ ευέλικτη, καθώς επιτρέπει πολύ διαφορετικούς τύπους σημείων δεδομένων. Πράγματι, σημεία δεδομένων μπορεί να είναι συγκεκριμένα φυσικά αντικείμενα (όπως άνθρωποι ή ζώα) ή αφηρημένα αντικείμενα (όπως αριθμοί). Ως ένα χαρακτηριστικό παράδειγμα, το Σχ. 58 απεικονίζει ένα σύνολο δεδομένων που αποτελείται από αγελάδες ως σημεία δεδομένων.



Σχ. 58. Ένα κοπάδι αγελάδων κάπου στις Άλπεις.

Αρκετά συχνά, ένας μηχανικός μηχανικής μάθησης δεν έχει άμεση πρόσβαση σε ένα σύνολο δεδομένων. Πράγματι, η πρόσβαση στο σύνολο δεδομένων στο Σχ. 58 θα απαιτούσε να επισκεφτούμε το κοπάδι αγελάδων στις Άλπεις. Αντ' αυτού, χρειάζεται να χρησιμοποιήσουμε μία προσέγγιση (ή αναπαράσταση) του συνόλου δεδομένων που είναι πιο βολική να χρησιμοποιηθεί. Διαφορετικά μαθηματικά μοντέλα έχουν αναπτυχθεί για την αναπαράσταση (ή προσέγγιση) συνόλων δεδομένων [119], [120], [121], [122]. Ένα από τα πιο εγκεκριμένα μοντέλα δεδομένων είναι το σχεσιακό μοντέλο, το οποίο οργανώνει δεδομένα ως έναν πίνακα (ή σχέση) [123], [119]. Ένας πίνακας αποτελείται από γραμμές και στήλες, όπου κάθε γραμμή του πίνακα αναπαριστά ένα μονό σημείο δεδομένων, και κάθε στήλη του πίνακα αντιστοιχεί σε ένα συγκεκριμένο ιδιοχαρακτηριστικό του σημείου δεδομένων. Οι μέθοδοι μηχανικής μάθησης μπορούν να χρησιμοποιήσουν ιδιοχαρακτηριστικά ως χαρακτηριστικά και ετικέτες του σημείου δεδομένων.

Για παράδειγμα, ο Πίνακας I δείχνει μία αναπαράσταση του συνόλου δεδομένων στο Σχ. 58. Στο σχεσιακό μοντέλο, η σειρά των γραμμών δεν έχει σημασία, και κάθε ιδιοχαρακτηριστικό (δηλαδή στήλη) πρέπει να είναι ακριβώς ορισμένη με ένα πεδίο, το οποίο προσδιορίζει το σύνολο των πιθανών τιμών. Σε εφαρμογές μηχανικής μάθησης, αυτά τα πεδία ιδιοχαρακτηριστικών γίνονται ο χώρος χαρακτηριστικών και ο χώρος ετικετών.

ΠΙΝΑΚΑΣ I

ΜΙΑ ΣΧΕΣΗ (Η ΠΙΝΑΚΑΣ) ΠΟΥ ΑΝΑΠΑΡΙΣΤΑ ΤΟ ΣΤΥΛΟ ΔΕΔΟΜΕΝΩΝ ΣΤΟ ΣΧ.
58

Όνομα	Βάρος	Ηλικία	Ύψος	Θερμοκρασία στομαχίου
Zenzi	100	4	100	25
Berta	140	3	130	23
Resi	120	4	120	31

Ενώ το σχεσιακό μοντέλο είναι χρήσιμο για τη μελέτη πολλών εφαρμογών μηχανικής μάθησης, μπορεί να είναι ανεπαρκές όσον αφορά τις απαιτήσεις για αξιόπιστη TN. Σύγχρονες προσεγγίσεις, όπως τα φύλλα δεδομένων για σύνολα δεδομένων, παρέχουν πιο περιεκτικά τεκμήρια, συμπεριλαμβανομένων λεπτομερειών για τη διαδικασία συλλογής των δεδομένων, την επιθυμητή χρήση, και άλλες πληροφορίες σχετικές με τα συμφραζόμενα [124].

Βλέπε επίσης: data point, ετικέτα, ml, model, εμπειρική ελαχιστοποίηση διακινδύνευσης, επικύρωση, data, feature, χώρος χαρακτηριστικών, χώρος ετικετών, αξιόπιστη TN.

σύνολο εκπαίδευσης Ένα σύνολο εκπαίδευσης είναι ένα σύνολο δεδομένων \mathcal{D} που αποτελείται από κάποια σημεία δεδομένων που χρησιμοποιούνται στην εμπειρική ελαχιστοποίηση διακινδύνευσης για τη μάθηση μίας υπόθεσης \hat{h} . Η μέση απώλεια της \hat{h} στο σύνολο εκπαίδευσης αναφέρεται ως το σφάλμα εκπαίδευσης. Η σύγκριση του σφάλματος εκπαίδευσης με το σφάλμα επικύρωσης της \hat{h} μας επιτρέπει να διαγνώσουμε τη μέθοδο μηχανικής μάθησης και ενημερώνει για το πώς να βελτιώσουμε το σφάλμα επικύρωσης (π.χ. χρησιμοποιώντας έναν διαφορετικό χώρο υποθέσεων ή

συλλέγοντας περισσότερα σημεία δεδομένων) [8, Sec. 6.6].

Βλέπε επίσης: σύνολο δεδομένων, data point, εμπειρική ελαχιστοποίηση διακινδύνευσης, υπόθεση, loss, training error, σφάλμα επικύρωσης, ml, χώρος υποθέσεων.

σύνολο ελέγχου Ένα σύνολο σημείων δεδομένων που δεν έχουν χρησιμοποιηθεί ούτε για την εκπαίδευση ενός μοντέλου (π.χ. μέσω της εμπειρικής ελαχιστοποίησης διακινδύνευσης) ούτε για την επιλογή διαφορετικών μοντέλων σε ένα σύνολο επικύρωσης.

Βλέπε επίσης: data point, model, εμπειρική ελαχιστοποίηση διακινδύνευσης, σύνολο επικύρωσης.

σύνολο επικύρωσης Ένα σύνολο σημείων δεδομένων που χρησιμοποιούνται για την εκτίμηση της διακινδύνευσης μίας υπόθεσης \hat{h} που έχει μαθευτεί από κάποια μέθοδο μηχανικής μάθησης (π.χ. λύνοντας την εμπειρική ελαχιστοποίηση διακινδύνευσης). Η μέση απώλεια της \hat{h} στο σύνολο επικύρωσης αναφέρεται ως το σφάλμα επικύρωσης και μπορεί να χρησιμοποιηθεί για τη διάγνωση μίας μεθόδου μηχανικής μάθησης (βλέπε [8, Sec. 6.6]). Η σύγκριση μεταξύ σφάλματος εκπαίδευσης και σφάλματος επικύρωσης μπορεί να προσφέρει κατευθύνσεις για τη βελτίωση της μεθόδου μηχανικής μάθησης (όπως τη χρήση ενός διαφορετικού χώρου υποθέσεων).

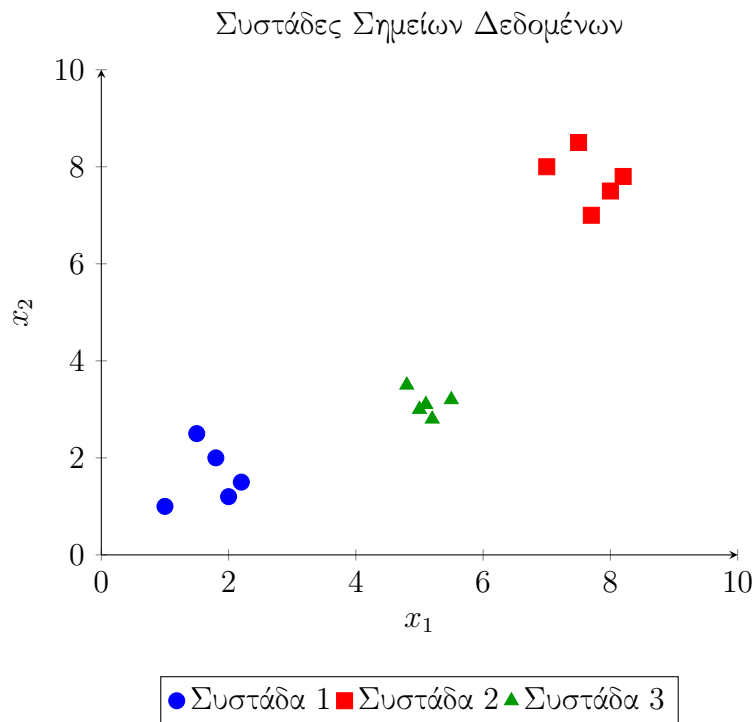
Βλέπε επίσης: data point, διακινδύνευση, υπόθεση, ml, εμπειρική ελαχιστοποίηση διακινδύνευσης, loss, επικύρωση, σφάλμα επικύρωσης, training error, χώρος υποθέσεων.

συσκευή Ένα φυσικό σύστημα που μπορεί να αποθηκεύει και να επεξερ-

γάζεται δεδομένα. Στο πλαίσιο της μηχανικής μάθησης, ο όρος συνήθως αναφέρεται σε έναν υπολογιστή που μπορεί να διαβάσει σημεία δεδομένων από διαφορετικές πηγές και να τα χρησιμοποιήσει για να εκπαιδεύσει ένα μοντέλο μηχανικής μάθησης [125].

Βλέπε επίσης: data, ml, data point, model.

συστάδα Μία συστάδα (cluster) είναι ένα υποσύνολο σημείων δεδομένων που είναι πιο όμοια μεταξύ τους παρά με τα σημεία δεδομένων εκτός της συστάδας. Το ποσοτικό μέτρο της ομοιότητας μεταξύ σημείων δεδομένων είναι μία επιλογή σχεδιασμού. Αν σημεία δεδομένων χαρακτηρίζονται από Ευκλείδεια διανύσματα χαρακτηριστικών $\mathbf{x} \in \mathbb{R}^d$, μπορούμε να ορίσουμε την ομοιότητα μεταξύ δύο σημείων δεδομένων μέσω της Ευκλείδειας απόστασης μεταξύ των διανυσμάτων χαρακτηριστικών τους. Ένα παράδειγμα τέτοιων συστάδων παρουσιάζεται στο Σχ. 59.



Σχ. 59. Εικονογράφηση τριών συστάδων σε έναν 2-D χώρο χαρακτηριστικών. Κάθε συστάδα ομαδοποιεί σημεία δεδομένων που είναι πιο όμοια μεταξύ τους παρά με αυτά σε άλλες συστάδες, με βάση την Ευκλείδεια απόσταση.

Βλέπε επίσης: data point, διάνυσμα χαρακτηριστικών, χώρος χαρακτηριστικών.

συσταδοποίηση Οι μέθοδοι συσταδοποίησης (clustering) διαμερίζουν ένα δεδομένο σύνολο σημείων δεδομένων σε λίγα υποσύνολα, τα οποία αναφέρονται ως συστάδες. Κάθε συστάδα αποτελείται από σημεία δεδομένων που είναι πιο όμοια μεταξύ τους παρά με σημεία δεδομένων εκτός της συστάδας. Διαφορετικές μέθοδοι συσταδοποίησης χρησιμοποιούν διαφορετικά μέτρα για την ομοιότητα μεταξύ σημείων δεδομένων και διαφορετικές μορφές αναπαράστασης συστάδων. Η μέθοδος συσταδοποίησης του αλ-

γόριθμου k -μέσων χρησιμοποιεί το μέσο διάνυσμα χαρακτηριστικών μίας συστάδας (δηλαδή τη μέση τιμή της συστάδας) ως τον αντιπρόσωπό της. Μία δημοφιλής μέθοδος μαλακής συσταδοποίησης βασισμένη σε GMM αναπαριστά μία συστάδα από μία πολυμεταβλητή κανονική κατανομή. Βλέπε επίσης: data point, συστάδα, k -means, διάνυσμα χαρακτηριστικών, μέση τιμή, soft clustering, GMM, πολυμεταβλητή κανονική κατανομή.

συσταδοποίηση γράφου Η συσταδοποίηση γράφου (graph clustering) στοχεύει να συσταδοποιήσει σημεία δεδομένων που αναπαριστώνται ως οι κόμβοι ενός γράφου \mathcal{G} . Οι ακμές του \mathcal{G} αναπαριστούν κατά ζεύγη ομοιότητες μεταξύ σημείων δεδομένων. Κάποιες φορές μπορούμε να ποσοτικοποιήσουμε την έκταση αυτών των ομοιοτήτων με ένα βάρος ακμής [110], [126].

Βλέπε επίσης: graph, συσταδοποίηση, data point, βάρος ακμής.

συσταδοποίηση με βάση τη ροή Η συσταδοποίηση με βάση τη ροή ομαδοποιεί τους κόμβους ενός μη κατευθυνόμενου γράφου με την εφαρμογή συσταδοποίησης αλγόριθμου k -μέσων σε διανύσματα χαρακτηριστικών από θέμα κόμβων. Αυτά τα διανύσματα χαρακτηριστικών κατασκευάζονται από ροές δικτύου μεταξύ προσεκτικά επιλεγμένων πηγών και κόμβων προορισμού [126].

Βλέπε επίσης: συσταδοποίηση, graph, k -means, διάνυσμα χαρακτηριστικών.

σφάλμα εκπαίδευσης Η μέση απώλεια μίας υπόθεσης όταν προβλέπει τις ετικέτες των σημείων δεδομένων σε ένα σύνολο εκπαίδευσης. Κάποιες φορές αναφερόμαστε στο σφάλμα εκπαίδευσης και ως την ελάχιστη μέση

απώλεια που επιτυγχάνεται από μία λύση της εμπειρικής ελαχιστοποίησης διακινδύνευσης.

Βλέπε επίσης: loss, υπόθεση, ετικέτα, data point, σύνολο εκπαίδευσης, εμπειρική ελαχιστοποίηση διακινδύνευσης.

σφάλμα εκτίμησης Θεωρούμε σημεία δεδομένων, καθένα με διάνυσμα χαρακτηριστικών \mathbf{x} και ετικέτα y . Σε κάποιες εφαρμογές, μπορούμε να μοντελοποιήσουμε τη σχέση μεταξύ του διανύσματος χαρακτηριστικών και της ετικέτας ενός σημείου δεδομένων ως $y = \bar{h}(\mathbf{x}) + \varepsilon$. Εδώ χρησιμοποιούμε κάποια αληθή υποκείμενη υπόθεση \bar{h} και έναν όρο θορύβου ε , ο οποίος συνοψίζει οποιαδήποτε σφάλματα μοντελοποίησης ή ετικετοποίησης. Το σφάλμα εκτίμησης που προκαλείται από μία μέθοδο μηχανικής μάθησης που μαθαίνει μία υπόθεση \hat{h} , π.χ. χρησιμοποιώντας την εμπειρική ελαχιστοποίηση διακινδύνευσης, ορίζεται ως $\hat{h}(\mathbf{x}) - \bar{h}(\mathbf{x})$, για κάποιο διάνυσμα χαρακτηριστικών. Για έναν παραμετρικό χώρο υποθέσεων, ο οποίος αποτελείται από απεικόνιση υπόθεσης καθορισμένες από παραμέτρους του μοντέλου \mathbf{w} , μπορούμε να ορίσουμε το σφάλμα εκτίμησης ως $\Delta \mathbf{w} = \hat{\mathbf{w}} - \bar{\mathbf{w}}$ [44], [103].

Βλέπε επίσης: data point, διάνυσμα χαρακτηριστικών, ετικέτα, υπόθεση, ml, εμπειρική ελαχιστοποίηση διακινδύνευσης, χώρος υποθέσεων, απεικόνιση, παράμετροι μοντέλου.

σφάλμα επικύρωσης Θεωρούμε μία υπόθεση \hat{h} που προκύπτει από κάποια μέθοδο μηχανικής μάθησης, π.χ. χρησιμοποιώντας την εμπειρική ελαχιστοποίηση διακινδύνευσης σε ένα σύνολο εκπαίδευσης. Η μέση απώλεια της \hat{h} σε ένα σύνολο επικύρωσης, το οποίο είναι διαφορετικό από το

σύνολο εκπαίδευσης, αναφέρεται ως το σφάλμα επικύρωσης.

Βλέπε επίσης: υπόθεση, ml, εμπειρική ελαχιστοποίηση διακινδύνευσης, σύνολο εκπαίδευσης, loss, σύνολο επικύρωσης, επικύρωση.

ταξινόμηση Η ταξινόμηση είναι μία εργασία καθορισμού μίας ετικέτας διακριτής τιμής y για ένα δεδομένο σημείο δεδομένων, βασισμένη μόνο στα χαρακτηριστικά του \mathbf{x} . Η ετικέτα y ανήκει σε ένα πεπερασμένο σύνολο, όπως $y \in \{-1, 1\}$ ή $y \in \{1, \dots, 19\}$, και αντιπροσωπεύει την κατηγορία στην οποία ανήκει το αντίστοιχο σημείο δεδομένων.

Βλέπε επίσης: ετικέτα, data point, feature.

ταξινομητής Ένας ταξινομητής είναι μία υπόθεση (δηλαδή μία απεικόνιση) $h(\mathbf{x})$ που χρησιμοποιείται για να προβλεφθεί μία ετικέτα που παίρνει τιμές από ένα πεπερασμένο χώρο ετικετών. Μπορεί να χρησιμοποιήσουμε την ίδια την τιμή συνάρτησης $h(\mathbf{x})$ ως μία πρόβλεψη \hat{y} για την ετικέτα. Ωστόσο, είναι σύνηθες να χρησιμοποιούμε μία απεικόνιση $h(\cdot)$ που παραδίδει μία αριθμητική ποσότητα. Η πρόβλεψη έπειτα προκύπτει από ένα απλό βήμα κατωφλιού. Για παράδειγμα, σε ένα πρόβλημα δυαδικής ταξινόμησης με ένα χώρο ετικετών $\mathcal{Y} \in \{-1, 1\}$, μπορεί να χρησιμοποιήσουμε μία απεικόνιση υπόθεσης πραγματικής τιμής $h(\mathbf{x}) \in \mathbb{R}$ ως ταξινομητή. Μία πρόβλεψη \hat{y} μπορεί έπειτα να προκύψει μέσω κατωφλιού,

$$\hat{y} = 1 \text{ για } h(\mathbf{x}) \geq 0 \text{ και } \hat{y} = -1 \text{ διαφορετικά.} \quad (8)$$

Μπορούμε να χαρακτηρίσουμε έναν ταξινομητή από τις περιοχές αποφάσεων \mathcal{R}_a , για κάθε πιθανή τιμή ετικέτας $a \in \mathcal{Y}$.

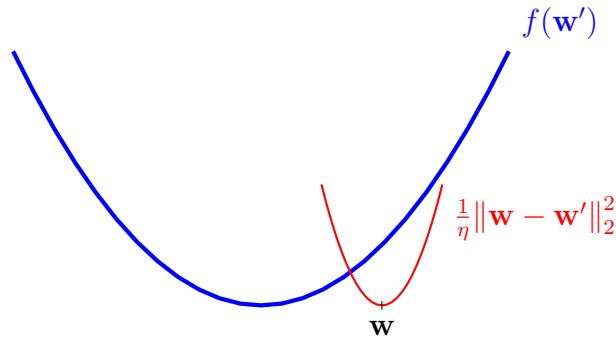
Βλέπε επίσης: υπόθεση, απεικόνιση, ετικέτα, χώρος ετικετών, συνάρτηση,

πρόβλεψη, ταξινόμηση, περιοχή αποφάσεων.

τελεστής εγγύτητας Δεδομένης μίας κυρτής συνάρτησης $f(\mathbf{w}')$, ορίζουμε τον τελεστή εγγύτητάς της ως [37], [38]

$$\mathbf{prox}_{f(\cdot),\rho}(\mathbf{w}) := \arg \min_{\mathbf{w}' \in \mathbb{R}^d} \left[f(\mathbf{w}') + \frac{\rho}{2} \|\mathbf{w} - \mathbf{w}'\|_2^2 \right] \text{ με } \rho > 0.$$

Όπως απεικονίζεται στο Σχ. 60, η αξιολόγηση του τελεστή εγγύτητας ισοδυναμεί με την ελαχιστοποίηση μίας παραλλαγής της $f(\mathbf{w}')$ που έχει επιβληθεί ως ποινή. Ο όρος ποινής είναι η ανηγμένη τετραγωνική Ευκλείδεια απόσταση σε ένα δεδομένο διάνυσμα \mathbf{w} (το οποίο είναι η είσοδος στον τελεστή εγγύτητας). Ο τελεστής εγγύτητας μπορεί να ερμηνευτεί ως μία γενίκευση του βήματος κλίσης, το οποίο ορίζεται ως μία λεία κυρτή συνάρτηση $f(\mathbf{w}')$. Πράγματι, η εκτέλεση ενός βήματος κλίσης με μέγεθος βήματος η στο τρέχον διάνυσμα \mathbf{w} είναι το ίδιο με την εφαρμογή του τελεστή εγγύτητας της συνάρτησης $\tilde{f}(\mathbf{w}') = (\nabla f(\mathbf{w}))^T (\mathbf{w}' - \mathbf{w})$ και τη χρήση $\rho = 1/\eta$.



Σχ. 60. Ο τελεστής εγγύτητας ενημερώνει ένα διάνυσμα \mathbf{w} ελαχιστοποιώντας μία εκδοχή της συνάρτησης $f(\cdot)$ που έχει επιβληθεί ως ποινή. Ο όρος ποινής είναι η ανηγμένη τετραγωνική Ευκλείδεια απόσταση μεταξύ της μεταβλητής βελτιστοποίησης \mathbf{w}' και του δεδομένου διανύσματος \mathbf{w} .

Βλέπε επίσης: κυρτό, συνάρτηση, διάνυσμα, γενίκευση, βήμα κλίσης, λεία, μέγεθος βήματος.

τελεστής ελάχιστης απόλυτης συρρίκνωσης και επιλογής Ο τελεστής ελάχιστης απόλυτης συρρίκνωσης και επιλογής (least absolute shrinkage and selection operator - Lasso) είναι μία περίπτωση ελαχιστοποίησης δομικής διακινδύνευσης. Μαθαίνει τα βάρη \mathbf{w} μίας linear map $h(\mathbf{x}) = \mathbf{w}^T \mathbf{x}$ από ένα σύνολο εκπαίδευσης. Ο τελεστής ελάχιστης απόλυτης συρρίκνωσης και επιλογής προκαλείται από γραμμική παλινδρόμηση προσθέτοντας την ανηγμένη ℓ_1 -νόρμα $\alpha \|\mathbf{w}\|_1$ στη μέση απώλεια τετραγωνικού σφάλματος που προκύπτει στο σύνολο εκπαίδευσης.

Βλέπε επίσης: ελαχιστοποίηση δομικής διακινδύνευσης, βάρη, linear map, σύνολο εκπαίδευσης, γραμμική παλινδρόμηση, νόρμα, απώλεια τετραγωνικού σφάλματος.

τετραγωνική συνάρτηση Μία συνάρτηση $f : \mathbb{R}^d \rightarrow \mathbb{R}$ της μορφής

$$f(\mathbf{w}) = \mathbf{w}^T \mathbf{Q} \mathbf{w} + \mathbf{q}^T \mathbf{w} + a$$

με κάποιον πίνακα $\mathbf{Q} \in \mathbb{R}^{d \times d}$, διάνυσμα $\mathbf{q} \in \mathbb{R}^d$, και βαθμωτό $a \in \mathbb{R}$.

Βλέπε επίσης: συνάρτηση, πίνακας, διάνυσμα.

τεχνητή νοημοσύνη (TN) Η TN (artificial intelligence - AI) αναφέρεται σε συστήματα που συμπεριφέρονται λογικά, με την έννοια της μεγιστοποίησης μίας μακροπρόθεσμης ανταμοιβής. Η προσέγγιση στην TN με βάση τη μηχανική μάθηση είναι να εκπαιδευτεί ένα μοντέλο για να προβλέπει βέλτιστες ενέργειες. Αυτές οι προβλέψεις υπολογίζονται από παρατηρήσεις σχετικά με την κατάσταση του περιβάλλοντος. Η επιλογή της συνάρτησης απώλειας διαφοροποιεί τις εφαρμογές TN από πιο βασικές εφαρμογές μηχανικής μάθησης. Τα συστήματα TN σπάνια έχουν πρόσβαση σε ένα σύνολο εκπαίδευσης με ετικέτες που να επιτρέπει τη μέτρηση της μέσης απώλειας για οποιαδήποτε πιθανή επιλογή παραμέτρων μοντέλου. Αντίθετα, τα συστήματα TN χρησιμοποιούν παρατηρούμενα σήματα ανταμοιβής για να εκτιμήσουν την απώλεια που προκύπτει από την τρέχουσα επιλογή παραμέτρων μοντέλου.

Βλέπε επίσης: ανταμοιβή, ml, model, συνάρτηση απώλειας, σύστημα τεχνητής νοημοσύνης (σύστημα TN), σύνολο εκπαίδευσης, loss, model parameter, ενισχυτική μάθηση.

τεχνητό νευρωνικό δίκτυο (TNΔ) Ένα τεχνητό νευρωνικό δίκτυο (artificial neural network - ANN) είναι μία γραφική (ροή σήματος) αναπαράσταση μίας συνάρτησης που αντιστοιχίζει τα χαρακτηριστικά ενός

σημείου δεδομένων κατά την είσοδό του σε μία πρόβλεψη για τη σχετική ετικέτα κατά την έξοδό του. Η θεμελιώδης μονάδα ενός τεχνητού νευρωνικού δικτύου είναι ο τεχνητός νευρώνας, ο οποίος εφαρμόζει μία συνάρτηση ενεργοποίησης στις σταθμισμένες εισόδους του. Οι έξοδοι αυτών των νευρώνων χρησιμεύουν ως είσοδοι για άλλους νευρώνες, σχηματίζοντας διασυνδεδεμένα στρώματα.

Βλέπε επίσης: συνάρτηση, feature, data point, πρόβλεψη, ετικέτα, συνάρτηση ενεργοποίησης, στρώμα.

τοπικό μοντέλο Θεωρούμε μία συλλογή συσκευών που αναπαριστώνται ως κόμβοι \mathcal{V} ενός δικτύου ομοσπονδιακής μάθησης. Ένα τοπικό μοντέλο (local model) $\mathcal{H}^{(i)}$ είναι ένας χώρος υποθέσεων εκχωρημένος σε έναν κόμβο $i \in \mathcal{V}$. Διαφορετικοί κόμβοι μπορεί να έχουν διαφορετικούς χώρους υποθέσεων, δηλαδή, γενικά, $\mathcal{H}^{(i)} \neq \mathcal{H}^{(i')}$ για διαφορετικούς κόμβους $i, i' \in \mathcal{V}$. Βλέπε επίσης: συσκευή, δίκτυο ομοσπονδιακής μάθησης, model, χώρος υποθέσεων.

τοπικό σύνολο δεδομένων Η έννοια του τοπικού συνόλου δεδομένων είναι μεταξύ της έννοιας ενός σημείου δεδομένων και ενός συνόλου δεδομένων. Ένα τοπικό σύνολο δεδομένων αποτελείται από αρκετά μεμονωμένα σημεία δεδομένων που χαρακτηρίζονται από χαρακτηριστικά και ετικέτες. Σε αντίθεση με ένα μονό σύνολο δεδομένων που χρησιμοποιείται σε βασικές μεθόδους μηχανικής μάθησης, ένα τοπικό σύνολο δεδομένων σχετίζεται επίσης με άλλα τοπικά σύνολα δεδομένων μέσω διαφορετικών εννοιών ομοιότητας. Αυτές οι ομοιότητες μπορεί να ανακύψουν από πιθανοτικά μοντέλα ή υποδομές επικοινωνίας και είναι κωδικοποιημένες στις

ακμές ενός δικτύου ομοσπονδιακής μάθησης.

Βλέπε επίσης: σύνολο δεδομένων, data point, feature, ετικέτα, ml, πιθανοτικό μοντέλο, δίκτυο ομοσπονδιακής μάθησης.

τυχαίο δάσος Ένα τυχαίο δάσος (random forest) είναι ένα σύνολο διαφορετικών δέντρων αποφάσεων. Καθένα από αυτά τα δέντρα αποφάσεων προκύπτει από την προσαρμογή ενός διαταραγμένου αντιγράφου του αρχικού συνόλου δεδομένων.

Βλέπε επίσης: decision tree, σύνολο δεδομένων.

υπερπροσαρμογή Θεωρούμε μία μέθοδο μηχανικής μάθησης που χρησιμοποιεί εμπειρική ελαχιστοποίηση διακινδύνευσης για να μάθει μία υπόθεση με την ελάχιστη εμπειρική διακινδύνευση σε ένα δεδομένο σύνολο εκπαίδευσης. Μία τέτοια μέθοδος υπερπροσαρμόζει το σύνολο εκπαίδευσης αν μάθει μία υπόθεση με μία χαμηλή εμπειρική διακινδύνευση στο σύνολο εκπαίδευσης αλλά με μία σημαντικά υψηλότερη απώλεια έξω από το σύνολο εκπαίδευσης.

Βλέπε επίσης: ml, εμπειρική ελαχιστοποίηση διακινδύνευσης, υπόθεση, ελάχιστο, empirical risk, σύνολο εκπαίδευσης, loss, γενίκευση, επικύρωση, generalization gap.

υπόθεση Μία υπόθεση (hypothesis) αναφέρεται σε μία απεικόνιση (ή συνάρτηση) $h : \mathcal{X} \rightarrow \mathcal{Y}$ από τον χώρο χαρακτηριστικών \mathcal{X} στον χώρο ετικετών \mathcal{Y} . Δεδομένου ενός σημείου δεδομένων με χαρακτηριστικά \mathbf{x} , χρησιμοποιούμε μία απεικόνιση υπόθεσης h για να εκτιμήσουμε (ή να προσεγγίσουμε) την ετικέτα y χρησιμοποιώντας την πρόβλεψη $\hat{y} = h(\mathbf{x})$. Η μηχανική μάθηση έχει σχέση με τη μάθηση (ή εύρεση) μίας απεικόνιση

υπόθεσης h , έτσι ώστε $y \approx h(\mathbf{x})$ για οποιοδήποτε σημείο δεδομένων (με χαρακτηριστικά \mathbf{x} και ετικέτα y).

Βλέπε επίσης: απεικόνιση, συνάρτηση, χώρος χαρακτηριστικών, χώρος ετικετών, data point, feature, ετικέτα, πρόβλεψη, ml, model.

υποκλίση Για μία συνάρτηση πραγματικής τιμής $f : \mathbb{R}^d \rightarrow \mathbb{R} : \mathbf{w} \mapsto f(\mathbf{w})$, ένα διάνυσμα \mathbf{a} τέτοιο ώστε $f(\mathbf{w}) \geq f(\mathbf{w}') + (\mathbf{w} - \mathbf{w}')^T \mathbf{a}$ αναφέρεται ως μία υποκλίση της f στο \mathbf{w}' [127], [24].

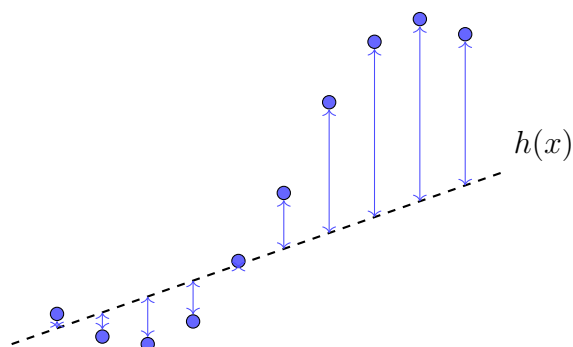
Βλέπε επίσης: συνάρτηση, διάνυσμα.

υπολογιστική διάσταση Με τις υπολογιστικές διαστάσεις (computational aspects) μίας μεθόδου μηχανικής μάθησης, αναφερόμαστε κυρίως στους υπολογιστικούς πόρους που απαιτούνται για την εκτέλεσή της. Για παράδειγμα, αν μία μέθοδος μηχανικής μάθησης χρησιμοποιεί επαναληπτικές τεχνικές βελτιστοποίησης για να λύσει την εμπειρική ελαχιστοποίηση διακινδύνευσης, τότε οι υπολογιστικές διαστάσεις της περιλαμβάνουν: 1) πόσες αριθμητικές πράξεις χρειάζονται για να εκτελεστεί μία μονή επανάληψη (δηλαδή ένα βήμα κλίσης)· και 2) πόσες επαναλήψεις χρειάζονται για να προκύψουν χρήσιμες παράμετροι μοντέλου. Ένα σημαντικό παράδειγμα μίας επαναληπτικής τεχνικής βελτιστοποίησης είναι η κάθοδος κλίσης.

Βλέπε επίσης: ml, εμπειρική ελαχιστοποίηση διακινδύνευσης, βήμα κλίσης, παράμετροι μοντέλου, κάθοδος κλίσης.

υποπροσαρμογή Θεωρούμε μία μέθοδο μηχανικής μάθησης που εφαρμόζει την εμπειρική ελαχιστοποίηση διακινδύνευσης για να μάθει μία υπόθεση που ελαχιστοποιεί την εμπειρική διακινδύνευση σε ένα δεδομένο σύνολο

εκπαίδευσης. Η μέθοδος λέγεται ότι παρουσιάζει υποπροσαρμογή (underfitting) αν δεν καταφέρει να επιτύχει μία επαρκώς χαμηλή εμπειρική διακινδύνευση στο σύνολο εκπαίδευσης. Υποπροσαρμογή συνήθως συμβαίνει όταν το επιλεγμένο μοντέλο είναι υπερβολικά απλό για να αποτυπώσει την υποκείμενη σχέση μεταξύ χαρακτηριστικών και ετικετών.



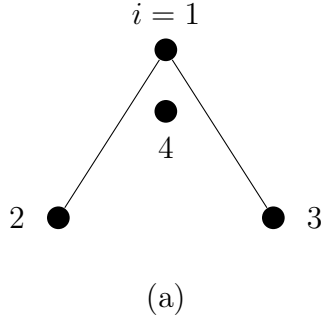
Σχ. 61. Καμία γραμμική υπόθεση h δεν μπορεί να αποτυπώσει τη σχέση μεταξύ χαρακτηριστικών και ετικετών για το απεικονιζόμενο σύνολο εκπαίδευσης. Συνεπώς, οποιαδήποτε μέθοδος που χρησιμοποιεί ένα γραμμικό μοντέλο θα παρουσιάσει υποπροσαρμογή σε αυτό το σύνολο εκπαίδευσης.

Για παράδειγμα, μία μέθοδος μηχανικής μάθησης που χρησιμοποιεί ένα γραμμικό μοντέλο σε δεδομένα με μία υψηλά μη γραμμική σχέση μεταξύ χαρακτηριστικών και ετικετών δεν θα έχει τη δυνατότητα να μάθει μία υπόθεση με μικρή μέση απώλεια στο σύνολο εκπαίδευσης, πόσο μάλλον με μία χαμηλή διακινδύνευση.

Βλέπε επίσης: ml, εμπειρική ελαχιστοποίηση διακινδύνευσης, υπόθεση, empirical risk, σύνολο εκπαίδευσης, model, feature, ετικέτα, γραμμικό μοντέλο, data, loss, διακινδύνευση.

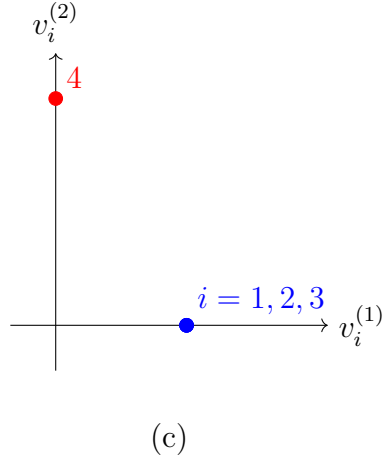
φασματική συσταδοποίηση Η φασματική συσταδοποίηση είναι μία συ-

γκεκριμένη περίπτωση συσταδοποίησης γράφου, δηλαδή ομαδοποιεί σημεία δεδομένων που αναπαριστώνται ως οι κόμβοι $i = 1, \dots, n$ ενός γράφου \mathcal{G} . Η φασματική συσταδοποίηση χρησιμοποιεί τα ιδιοδιανύσματα του πίνακα Laplace $\mathbf{L}^{(\mathcal{G})}$ για να κατασκευάσει διανύσματα χαρακτηριστικών $\mathbf{x}^{(i)} \in \mathbb{R}^d$ για κάθε κόμβο (δηλαδή για κάθε σημείο δεδομένων) $i = 1, \dots, n$. Μπορούμε να τροφοδοτήσουμε αυτά τα διανύσματα χαρακτηριστικών σε μεθόδους συσταδοποίησης βασισμένες στον Ευκλείδειο χώρο, όπως τον αλγόριθμο k -μέσων ή τη μαλακή συσταδοποίηση μέσω GMM. Στο περίπου, τα διανύσματα χαρακτηριστικών των κόμβων που ανήκουν σε ένα καλά συνδεδεμένο υποσύνολο (ή συστάδα) κόμβων στο \mathcal{G} βρίσκονται κοντά στον Ευκλείδειο χώρο \mathbb{R}^d (βλέπε Σχ. 62).



$$\mathbf{L}^{(\mathcal{G})} = \begin{pmatrix} 2 & -1 & -1 & 0 \\ -1 & 1 & 0 & 0 \\ -1 & 0 & 1 & 0 \\ 0 & 0 & 0 & 0 \end{pmatrix} = \mathbf{V}\mathbf{\Lambda}\mathbf{V}^T$$

(b)



$$\mathbf{V} = (\mathbf{v}^{(1)}, \mathbf{v}^{(2)}, \mathbf{v}^{(3)}, \mathbf{v}^{(4)})$$

$$\mathbf{v}^{(1)} = \frac{1}{\sqrt{3}} \begin{pmatrix} 1 \\ 1 \\ 1 \\ 0 \end{pmatrix}, \quad \mathbf{v}^{(2)} = \begin{pmatrix} 0 \\ 0 \\ 0 \\ 1 \end{pmatrix}$$

(d)

Σχ. 62. (a) Ένας μη κατευθυνόμενος γράφος \mathcal{G} με τέσσερις κόμβους $i = 1, 2, 3, 4$, ο καθένας από τους οποίους αναπαριστά ένα σημείο δεδομένων. (b) Ο πίνακας Laplace $\mathbf{L}^{(\mathcal{G})} \in \mathbb{R}^{4 \times 4}$ και η ανάλυση ιδιοτιμών του. (c) Ένα διάγραμμα διασποράς των σημείων δεδομένων που χρησιμοποιούν τα διανύσματα χαρακτηριστικών $\mathbf{x}^{(i)} = (v_i^{(1)}, v_i^{(2)})^T$. (d) Δύο ιδιοδιανύσματα $\mathbf{v}^{(1)}, \mathbf{v}^{(2)} \in \mathbb{R}^d$ που αντιστοιχούν στην ιδιοτιμή $\lambda = 0$ του πίνακα Laplace $\mathbf{L}^{(\mathcal{G})}$.

Βλέπε επίσης: συσταδοποίηση, συσταδοποίηση γράφου, data point, graph, ιδιοδιάνυσμα, πίνακας Laplace, διάνυσμα χαρακτηριστικών, Ευκλείδειος χώρος, k -means, soft clustering, GMM, συστάδα, ανάλυση ιδιοτιμών, διάγραμμα διασποράς, ιδιοτιμή.

Φινλανδικό Μετεωρολογικό Ινστιτούτο Το Φινλανδικό Μετεωρολογικό Ινστιτούτο (Finnish Meteorological Institute - FMI) είναι μία κυβερνητική υπηρεσία που είναι υπεύθυνη για τη συγκέντρωση και την έκθεση δεδομένων καιρού στη Φινλανδία.

Βλέπε επίσης: data.

χαρακτηριστικό Ένα χαρακτηριστικό ενός σημείου δεδομένων είναι μία από τις ιδιότητες που μπορούν να μετρηθούν ή να υπολογιστούν εύκολα χωρίς την ανάγκη ανθρώπινης εποπτείας. Για παράδειγμα, αν ένα σημείο δεδομένων είναι μία ψηφιακή εικόνα (π.χ. αποθηκευμένη ως ένα αρχείο .jpeg), τότε θα μπορούσαμε να χρησιμοποιήσουμε τις εντάσεις κόκκινου-πράσινου-μπλε (red-green-blue - RGB) των εικονοστοιχείων της ως χαρακτηριστικά. Συνώνυμα του όρου χαρακτηριστικό που χρησιμοποιούνται ανάλογα με το πεδίο είναι «συμμεταβλητή», «εξηγηματική μεταβλητή», «ανεξάρτητη μεταβλητή», «είσοδος (μεταβλητή)», «προβλέπουσα (μεταβλητή)», ή «παλινδρομούσα μεταβλητή» [93], [94], [95].

Βλέπε επίσης: data point.

χάρτης χαρακτηριστικών A feature απεικόνιση refers to a συνάρτηση

$$\Phi : \mathcal{X} \rightarrow \mathcal{X}', \quad \mathbf{x} \mapsto \mathbf{x}'$$

that transforms a διάνυσμα χαρακτηριστικών $\mathbf{x} \in \mathcal{X}$ of a data point into a new διάνυσμα χαρακτηριστικών $\mathbf{x}' \in \mathcal{X}'$, where \mathcal{X}' is typically different from \mathcal{X} . The transformed representation \mathbf{x}' is often more useful than the original \mathbf{x} . For instance, the geometry of data points may become more linear in \mathcal{X}' , allowing the application of a γραμμικό μοντέλο to \mathbf{x}' . This idea is central to the design of kernel methods [21]. Other benefits of using a feature απεικόνιση include reducing υπερπροσαρμογή and improving ερμηνευσιμότητα [66]. A common use case is data visualization, where a feature απεικόνιση with two output dimensions allows the representation of data points in a 2-D διάγραμμα διασποράς. Some ml methods employ trainable feature απεικόνισης, whose παράμετρος are learned from data. An example is the use of hidden στρώμα in a βαθύ δίκτυο, which act as successive feature απεικόνισης [64]. A principled way to train a feature απεικόνιση is through εμπειρική ελαχιστοποίηση διακινδύνευσης, using a συνάρτηση απώλειας that measures reconstruction quality, e.g., $L = \|\mathbf{x} - r(\mathbf{x}')\|^2$, where $r(\cdot)$ is a trainable απεικόνιση that attempts to reconstruct \mathbf{x} from the transformed διάνυσμα χαρακτηριστικών \mathbf{x}' .

Βλέπε επίσης: feature, απεικόνιση, συνάρτηση, διάνυσμα χαρακτηριστικών, data point, γραμμικό μοντέλο, kernel method, υπερπροσαρμογή, ερμηνευσιμότητα, data, διάγραμμα διασποράς, ml, παράμετρος, στρώμα, βαθύ δίκτυο, εμπειρική ελαχιστοποίηση διακινδύνευσης, συνάρτηση απώλειας, μάθηση χαρακτηριστικών, principal component analysis.

χάσμα γενίκευσης Generalization gap is the difference between the performance of a

Βλέπε επίσης: γενίκευση, model, σύνολο εκπαίδευσης, data point, πιθανοτικό μοντέλο, διακινδύνευση, loss, κατανομή πιθανότητας, expectation, επικύρωση, σύνολο επικύρωσης, εμπειρική ελαχιστοποίηση διακινδύνευσης, συνάρτηση απώλειας.

χωρική συσταδοποίηση εφαρμογών με θόρυβο με βάση την πυκνότητα

DBSCAN (density-based spatial clustering of applications with noise - DBSCAN) refers to a συσταδοποίηση αλγόριθμος for data points that are characterized by numeric διάνυσμα χαρακτηριστικών. Like k -means and soft clustering via GMM, DBSCAN also uses the Euclidean distances between διάνυσμα χαρακτηριστικών to determine the συστάδας. However, in contrast to k -means and GMM, DBSCAN uses a different notion of similarity between data points. DBSCAN considers two data points as similar if they are connected via a sequence (path) of nearby intermediate data points. Thus, DBSCAN might consider two data points as similar (and therefore belonging to the same cluster) even if their διάνυσμα χαρακτηριστικών have a large Euclidean distance.

Βλέπε επίσης: συσταδοποίηση, αλγόριθμος, data point, διάνυσμα χαρακτηριστικών, k -means, soft clustering, GMM, συστάδα, graph.

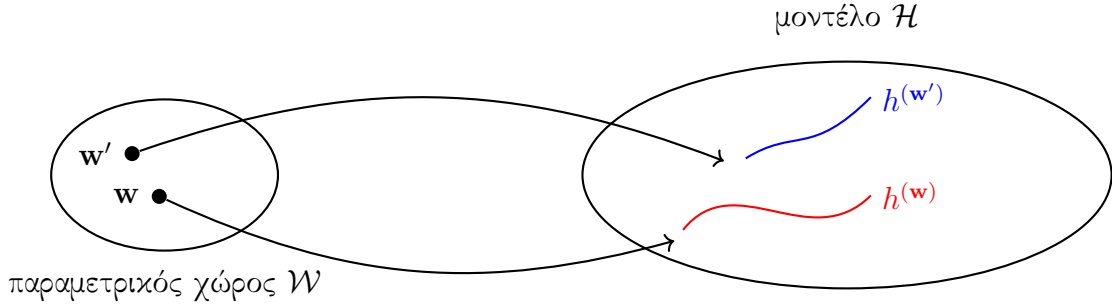
χώρος ετικετών Θεωρούμε μία εφαρμογή μηχανικής μάθησης που περιλαμβάνει σημεία δεδομένων που χαρακτηρίζονται από χαρακτηριστικά και ετικέτες. Ο χώρος ετικετών αποτελείται από όλες τις πιθανές τιμές που η ετικέτα ενός σημείου δεδομένων μπορεί να πάρει. Οι μέθοδοι παλινδρόμησης, που στοχεύουν να προβλέψουν αριθμητικές ετικέτες, συχνά χρησιμοποιούν τον χώρο ετικετών $\mathcal{Y} = \mathbb{R}$. Μέθοδοι δυαδικής ταξινόμησης

χρησιμοποιούν έναν χώρο ετικετών που αποτελείται από δύο διαφορετικά στοιχεία, π.χ.

- $\mathcal{Y} = \{-1, 1\}$.
- $\mathcal{Y} = \{0, 1\}$.
- $\mathcal{Y} = \{\text{«εικόνα γάτας»}, \text{«όχι εικόνα γάτας»}\}$.

Βλέπε επίσης: ml, data point, feature, ετικέτα, regression, ταξινόμηση.

παραμετρικός χώρος Ο παραμετρικός χώρος \mathcal{W} ενός μοντέλου μηχανικής μάθησης \mathcal{H} είναι το σύνολο όλων των εφικτών επιλογών για τις παραμέτρους του μοντέλου (βλέπε Σχ. 63). Πολλές σημαντικές μέθοδοι μηχανικής μάθησης χρησιμοποιούν ένα μοντέλο που είναι παραμετροποιημένο με διανύσματα του Ευκλείδειου χώρου \mathbb{R}^d . Δύο ευρέως χρησιμοποιούμενα παραδείγματα παραμετροποιημένων μοντέλων είναι τα γραμμικά μοντέλα και τα βαθιά δίκτυα. Ο παραμετρικός χώρος είναι συχνά τότε ένα υποσύνολο $\mathcal{W} \subseteq \mathbb{R}^d$, π.χ. όλα τα διανύσματα $\mathbf{w} \in \mathbb{R}^d$ με μία νόρμα μικρότερη από ένα.



Σχ. 63. Ο παραμετρικός χώρος \mathcal{W} ενός μοντέλου μηχανικής μάθησης \mathcal{H} αποτελείται από όλες τις εφικτές επιλογές για τις παραμέτρους του μοντέλου. Κάθε επιλογή \mathbf{w} για τις παραμέτρους του μοντέλου επιλέγει μία απεικόνιση υπόθεσης $h(\mathbf{w}) \in \mathcal{H}$.

Βλέπε επίσης: παράμετρος, ml, model, model parameter, διάνυσμα, Ευκλείδειος χώρος, γραμμικό μοντέλο, βαθύ δίκτυο, νόρμα, υπόθεση, απεικόνιση.

φασματογράφημα A spectrogram represents the time-frequency distribution of the energy of a time signal $x(t)$. Intuitively, it quantifies the amount of signal energy present within a specific time segment $[t_1, t_2] \subseteq \mathbb{R}$ and frequency interval $[f_1, f_2] \subseteq \mathbb{R}$. Formally, the spectrogram of a signal is defined as the squared magnitude of its short-time Fourier transform (STFT) [130]. Fig. 64 depicts a time signal along with its spectrogram.

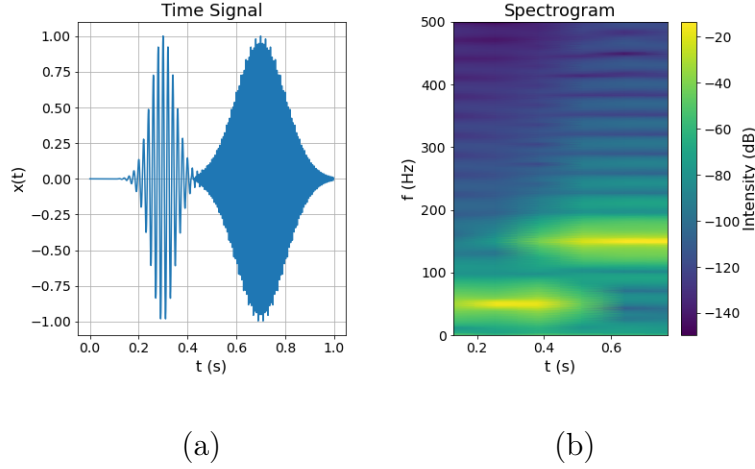


Fig. 64. (a) A time signal consisting of two modulated Gaussian pulses. (b) An intensity plot of the spectrogram.

The intensity plot of its spectrogram can serve as an image of a signal. A simple recipe for audio signal ταξινόμηση is to feed this signal image into βαθύ δίκτυοs originally developed for image ταξινόμηση and object detection [131]. It is worth noting that, beyond the spectrogram, several alternative representations exist for the time-frequency distribution of signal energy [132], [133].

Βλέπε επίσης: ταξινόμηση, βαθύ δίκτυο.

χώρος υποθέσεων A υπόθεση space is a mathematical model that characterizes the learning capacity of an ml method. The goal of such a method is to learn a υπόθεση απεικόνιση that maps features of a data point to a πρόβλεψη of its ετικέτα. Given a finite amount of computational resources, a practical ml method typically explores only a restricted set of all possible απεικονίσεις from the χώρος χαρακτηριστικών to the

χώρος ετικετών. Such a restricted set is referred to as a υπόθεση space \mathcal{H} underlying the ml method (see Fig. 65). For the analysis of a given ml method, the choice of a υπόθεση space \mathcal{H} is not unique, i.e., any superset containing all απεικόνισης the method can learn is also a valid υπόθεση space.

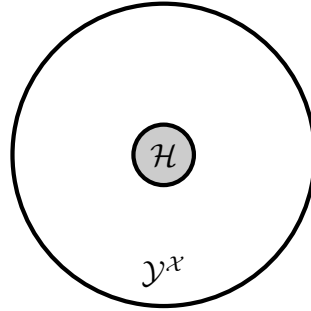


Fig. 65. The υπόθεση space \mathcal{H} of an ml method is a (typically very small) subset of the (typically very large) set $\mathcal{Y}^{\mathcal{X}}$ of all possible απεικόνισης from the χώρος χαρακτηριστικών \mathcal{X} into the χώρος ετικετών \mathcal{Y} .

On the other hand, from an ml engineering perspective, the υπόθεση space \mathcal{H} is a design choice for εμπειρική ελαχιστοποίηση διακινδύνευσης-based methods. This design choice can be guided by the available computational resources and στατιστική διάστασης. For instance, if efficient πίνακας operations are feasible and a roughly linear relation exists between features and ετικέτας, a γραμμικό μοντέλο can be a useful choice for \mathcal{H} .

Βλέπε επίσης: υπόθεση, model, ml, απεικόνιση, feature, data point, πρόβλεψη, ετικέτα, χώρος χαρακτηριστικών, χώρος ετικετών, εμπειρική ελαχιστοποίηση διακινδύνευσης, στατιστική διάσταση, πίνακας, γραμμικό μοντέλο.

χώρος χαρακτηριστικών Ο χώρος χαρακτηριστικών

Βλέπε επίσης: feature, ml, διάνυσμα χαρακτηριστικών, data point, Ευκλείδειος χώρος, μάθηση χαρακτηριστικών, κυρτό, graph.

0/1 απώλεια Η 0/1 απώλεια $L^{(0/1)}((\mathbf{x}, y), h)$ μετράει την ποιότητα ενός ταξινομητή $h(\mathbf{x})$ που παραδίδει μία πρόβλεψη \hat{y} (π.χ. μέσω κατωφλίου (8)) για την ετικέτα y ενός σημείου δεδομένων με χαρακτηριστικά \mathbf{x} . Είναι ίση με 0 αν η πρόβλεψη είναι σωστή, δηλαδή $L^{(0/1)}((\mathbf{x}, y), h) = 0$ όταν $\hat{y} = y$. Είναι ίση με 1 αν η πρόβλεψη είναι λανθασμένη, δηλαδή $L^{(0/1)}((\mathbf{x}, y), h) = 1$ όταν $\hat{y} \neq y$.

Βλέπε επίσης: loss, ταξινομητής, πρόβλεψη, ετικέτα, data point, feature.

vertical federated learning (VFL) VFL refers to FL applications where συσκευές have access to different features of the same set of data points [128]. Formally, the underlying global σύνολο δεδομένων is

$$\mathcal{D}^{(\text{global})} := \{(\mathbf{x}^{(1)}, y^{(1)}), \dots, (\mathbf{x}^{(m)}, y^{(m)})\}.$$

We denote by $\mathbf{x}^{(r)} = (x_1^{(r)}, \dots, x_{d'}^{(r)})^T$, for $r = 1, \dots, m$, the complete διάνυσμα χαρακτηριστικών for the data point.s Each συσκευή $i \in \mathcal{V}$ observes only a subset $\mathcal{F}^{(i)} \subseteq \{1, \dots, d'\}$ of features, resulting in a τοπικό σύνολο δεδομένων $\mathcal{D}^{(i)}$ with διάνυσμα χαρακτηριστικών

$$\mathbf{x}^{(i,r)} = (x_{j_1}^{(r)}, \dots, x_{j_d}^{(r)})^T.$$

Some of the συσκευές may also have access to the ετικέτας $y^{(r)}$, for $r = 1, \dots, m$, of the global σύνολο δεδομένων (see Fig. 66).

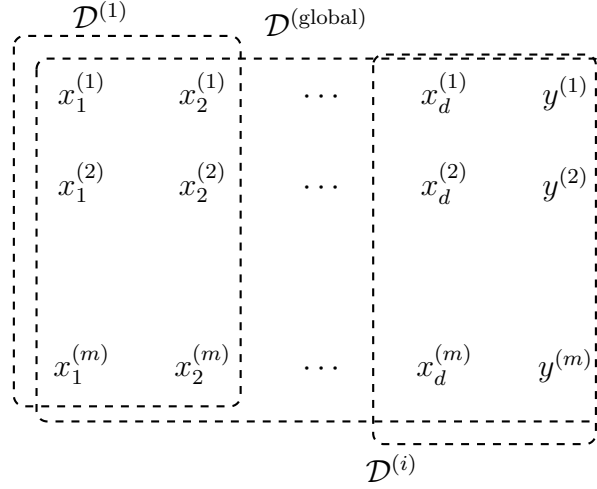


Fig. 66. VFL uses τοπικό σύνολο δεδομένων that are derived from the data points of a common global σύνολο δεδομένων. The τοπικό σύνολο δεδομένων differ in the choice of features used to characterize the data points.

One potential application of VFL is to enable collaboration between different healthcare providers. Each provider collects distinct types of measurements—such as blood values, electrocardiography, and lung X-rays—for the same patients. Another application is a national social insurance system, where health records, financial indicators, consumer behavior, and mobility data are collected by different institutions. VFL enables joint learning across these parties while allowing well-defined levels of προστασία της ιδιωτικότητας.

Βλέπε επίσης: FL, συσκευή, feature, data point, σύνολο δεδομένων, διάνυσμα χαρακτηριστικών, τοπικό σύνολο δεδομένων, ετικέτα, data, προστασία της ιδιωτικότητας.

local interpretable model-agnostic explanations (LIME) Consider a

trained model (or learned υπόθεση) $\hat{h} \in \mathcal{H}$, which maps the διάνυσμα χαρακτηριστικών of a data point to the πρόβλεψη $\hat{y} = \hat{h}$. LIME is a technique for explaining the behavior of \hat{h} , locally around a data point with διάνυσμα χαρακτηριστικών $\mathbf{x}^{(0)}$ [66]. The εξήγηση is given in the form of a local approximation $g \in \mathcal{H}'$ of \hat{h} (see Fig. 67). This approximation can be obtained by an instance of εμπειρική ελαχιστοποίηση διακινδύνευσης with carefully designed σύνολο εκπαίδευσης. In particular, the σύνολο εκπαίδευσης consists of data points with διάνυσμα χαρακτηριστικών centered around $\mathbf{x}^{(0)}$ and the (pseudo-)ετικέτα $\hat{h}(\mathbf{x})$. Note that we can use a different model \mathcal{H}' for the approximation from the original model \mathcal{H} . For example, we can use a decision tree to locally approximate a βαθύ δίκτυο. Another widely used choice for \mathcal{H}' is the γραμμικό μοντέλο.

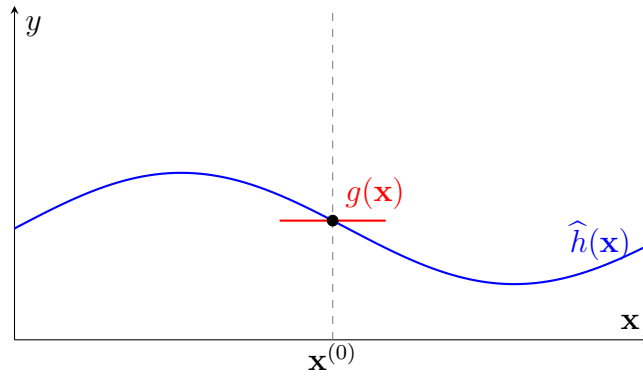


Fig. 67. To explain a trained model $\hat{h} \in \mathcal{H}$, around a given διάνυσμα χαρακτηριστικών $\mathbf{x}^{(0)}$, we can use a local approximation $g \in \mathcal{H}'$.

Βλέπε επίσης: model, υπόθεση, διάνυσμα χαρακτηριστικών, data point, πρόβλεψη, εξήγηση, εμπειρική ελαχιστοποίηση διακινδύνευσης, σύνολο εκπαίδευσης, ετικέτα, decision tree, βαθύ δίκτυο, γραμμικό μοντέλο.

Gaussian random variable (Gaussian RV) A standard Gaussian τυχαία μεταβλητή is a real-valued τυχαία μεταβλητή x with συνάρτηση πυκνότητας πιθανότητας [7], [31], [35]

$$p(x) = \frac{1}{\sqrt{2\pi}} \exp(-x^2/2).$$

Given a standard Gaussian τυχαία μεταβλητή x , we can construct a general Gaussian τυχαία μεταβλητή x' with μέση τιμή μ and διακύμανση σ^2 via $x' := \sigma x + \mu$. The κατανομή πιθανότητας of a Gaussian τυχαία μεταβλητή is referred to as normal distribution, denoted by $\mathcal{N}(\mu, \sigma^2)$. A Gaussian random διάνυσμα $\mathbf{x} \in \mathbb{R}^d$ with πίνακας συνδιακύμανσης \mathbf{C} and μέση τιμή $\boldsymbol{\mu}$ can be constructed as [31], [35], [32]

$$\mathbf{x} := \mathbf{A}\mathbf{z} + \boldsymbol{\mu}$$

where $\mathbf{z} := (z_1, \dots, z_d)^T$ is a διάνυσμα of ανεξάρτητες και ταυτόσημα κατανεμημένες standard Gaussian τυχαία μεταβλητές, and $\mathbf{A} \in \mathbb{R}^{d \times d}$ is any πίνακας satisfying $\mathbf{A}\mathbf{A}^T = \mathbf{C}$. The κατανομή πιθανότητας of a Gaussian random διάνυσμα is referred to as the πολυμεταβλητή κανονική κατανομή, denoted by $\mathcal{N}(\boldsymbol{\mu}, \mathbf{C})$.

We can interpret a Gaussian random διάνυσμα $\mathbf{x} = (x_1, \dots, x_d)$ as a στοχαστική διαδικασία indexed by the set $\mathcal{I} = \{1, \dots, d\}$. A Gaussian process is a στοχαστική διαδικασία over an arbitray index set \mathcal{I} such that any restriction to a finite subset $\mathcal{I}' \subseteq \mathcal{I}$ yields a Gaussian random διάνυσμα [129].

Gaussian τυχαία μεταβλητές are widely used πιθανοτικό μοντέλος in the

statistical analysis of ml methods. Their significance arises partly from the κεντρικό οριακό θεώρημα, which is a mathematically precise formulation of the following rule of thumb: The average of many independent τυχαία μεταβλητής (not necessarily Gaussian themselves) tends toward a Gaussian τυχαία μεταβλητή [42].

The πολυμεταβλητή κανονική κατανομή is also distinct in that it represents maximum αβεβαιότητα. Among all διάνυσμα-valued τυχαία μεταβλητής with a given πίνακας συνδιακύμανσης \mathbf{C} , the τυχαία μεταβλητή $\mathbf{x} \sim \mathcal{N}(\boldsymbol{\mu}, \mathbf{C})$ maximizes διαφορική εντροπία [18, Th. 8.6.5]. This makes GPs a natural choice for capturing αβεβαιότητα (or lack of knowledge) in the absence of additional structural information.

Βλέπε επίσης: τυχαία μεταβλητή, συνάρτηση πυκνότητας πιθανότητας, μέση τιμή, διακύμανση, κατανομή πιθανότητας, διάνυσμα, πίνακας συνδιακύμανσης, ανεξάρτητες και ταυτόσημα κατανεμημένες, πίνακας, πολυμεταβλητή κανονική κατανομή, στοχαστική διαδικασία, GP, πιθανοτικό μοντέλο, ml, κεντρικό οριακό θεώρημα, maximum, αβεβαιότητα, διαφορική εντροπία.

Gaussian process (GP) A GP is a collection of τυχαία μεταβλητής $\{f(\mathbf{x})\}_{\mathbf{x} \in \mathcal{X}}$ indexed by input values \mathbf{x} from some input space \mathcal{X} such that, for any finite subset $\mathbf{x}^{(1)}, \dots, \mathbf{x}^{(m)} \in \mathcal{X}$, the corresponding τυχαία μεταβλητής $f(\mathbf{x}^{(1)}, \dots, \mathbf{x}^{(m)})$ have a joint πολυμεταβλητή κανονική κατανομή

$$f(\mathbf{x}^{(1)}, \dots, \mathbf{x}^{(m)}) \sim \mathcal{N}(\boldsymbol{\mu}, \mathbf{K}).$$

For a fixed input space \mathcal{X} , a GP is fully specified (or parameterized)

by: 1) a μέση τιμή συνάρτηση $\mu(\mathbf{x}) = \mathbb{E}\{f(\mathbf{x})\}$; and 2) a συνδιακύμανση συνάρτηση $K(\mathbf{x}, \mathbf{x}') = \mathbb{E}\{(f(\mathbf{x}) - \mu(\mathbf{x}))(f(\mathbf{x}') - \mu(\mathbf{x}'))\}$.

Example: We can interpret the temperature distribution across Finland (at a specific point in time) as the πραγμάτωση of a GP $f(\mathbf{x})$, where each input $\mathbf{x} = (\text{lat}, \text{lon})$ denotes a geographic location. Temperature observations from Φινλανδικό Μετεωρολογικό Ινστιτούτο weather stations provide δείγματα of $f(\mathbf{x})$ at specific locations (see Fig. 68). A GP allows us to predict the temperature nearby Φινλανδικό Μετεωρολογικό Ινστιτούτο weather stations and to quantify the αβεβαιότητα of these πρόβλεψης.

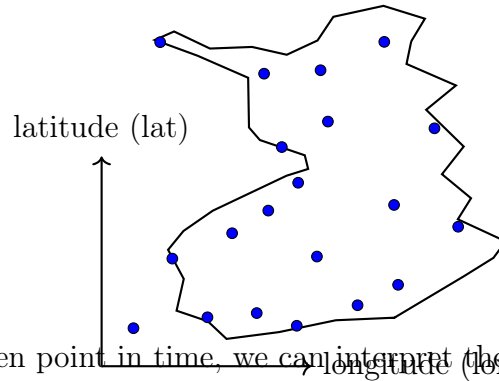


Fig. 68. For a given point in time, we can interpret the current temperature distribution over Finland as a πραγμάτωση of a GP indexed by geographic coordinates and sampled at Φινλανδικό Μετεωρολογικό Ινστιτούτο weather stations. The weather stations are indicated by blue dots.

Βλέπε επίσης: τυχαία μεταβλητή, πολυμεταβλητή κανονική κατανομή, μέση τιμή, συνάρτηση, συνδιακύμανση, πραγμάτωση, Φινλανδικό Μετεωρολογικό Ινστιτούτο, δείγμα, αβεβαιότητα, πρόβλεψη, Gaussian RV.

dual norm Every νόρμα $\|\cdot\|$ defined on an Ευκλείδειος χώρος \mathbb{R}^d has an associated dual νόρμα, which is denoted by $\|\cdot\|_*$ and defined as $\|\mathbf{y}\|_* :=$

$\sup_{\|\mathbf{x}\| \leq 1} \mathbf{y}^T \mathbf{x}$. The dual νόρμα measures the largest possible inner product between \mathbf{y} and any διάνυσμα in the unit ball of the original νόρμα. For further details, see [19, Sec. A.1.6].

Βλέπε επίσης: νόρμα, Ευκλείδειος χώρος, διάνυσμα.

bagging (or bootstrap aggregation) Bagging (or bootstrap aggregation) is a technique to improve (the στιβαρότητα of) a given εμπειρική ελαχιστοποίηση διακινδύνευσης-based ml method. The idea is to use the εκκίνηση to generate perturbed copies of a given σύνολο δεδομένων and to learn a separate υπόθεση for each copy. We then predict the ετικέτα of a data point by combining or aggregating the individual πρόβλεψης of each separate υπόθεση. For υπόθεση απεικόνισης delivering numeric ετικέτα values, this aggregation could be implemented by computing the average of individual πρόβλεψης. Bagging is an example of an σύνολο method, with base learners using the same model but different σύνολο εκπαίδευσης.

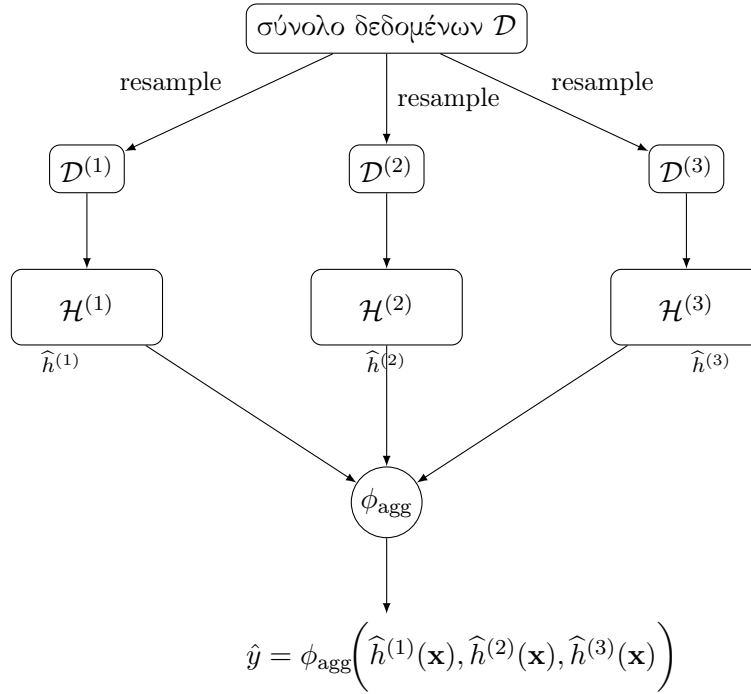


Fig. 69. A simple example of bagging. Three base learners use different variations $\mathcal{D}^{(1)}, \dots, \mathcal{D}^{(3)}$ of the original σύνολο δεδομένων \mathcal{D} to learn the υπόθεσης $\hat{h}^{(1)}, \dots, \hat{h}^{(3)}$. The πρόβλεψη \hat{y} for a data point with διάνυσμα χαρακτηριστικών \mathbf{x} is obtained by applying an aggregation rule ϕ_{agg} to the individual πρόβλεψης $\hat{h}^{(1)}(\mathbf{x}), \hat{h}^{(2)}(\mathbf{x}), \hat{h}^{(3)}(\mathbf{x})$.

Βλέπε επίσης: στιβαρότητα, ml, εκκίνηση, σύνολο δεδομένων, υπόθεση, ετικέτα, data point, πρόβλεψη, απεικόνιση.

online gradient descent (online GD) Consider an ml method that learns παράμετροι μοντέλου \mathbf{w} from some παραμετρικός χώρος $\mathcal{W} \subseteq \mathbb{R}^d$. The learning process uses data points $\mathbf{z}^{(t)}$ that arrive at consecutive time instants $t = 1, 2, \dots$. Let us interpret the data points $\mathbf{z}^{(t)}$ as ανεξάρτητες και ταυτόσημα κατανοημένες copies of an τυχαία μεταβλητή \mathbf{z} .

The διακινδύνευση $\mathbb{E}\{L(\mathbf{z}, \mathbf{w})\}$ of a υπόθεση $h^{(\mathbf{w})}$ can then (under mild conditions) be obtained as the limit $\lim_{T \rightarrow \infty} (1/T) \sum_{t=1}^T L(\mathbf{z}^{(t)}, \mathbf{w})$. We might use this limit as the αντικειμενική συνάρτηση for learning the παράμετροι μοντέλου \mathbf{w} . Unfortunately, this limit can only be evaluated if we wait infinitely long in order to collect all data points. Some ml applications require methods that learn online: as soon as a new data point $\mathbf{z}^{(t)}$ arrives at time t , we update the current παράμετροι μοντέλου $\mathbf{w}^{(t)}$. Note that the new data point $\mathbf{z}^{(t)}$ contributes the component $L(\mathbf{z}^{(t)}, \mathbf{w})$ to the διακινδύνευση. As its name suggests, online κάθοδος κλίσης updates $\mathbf{w}^{(t)}$ via a (projected) βήμα κλίσης

$$\mathbf{w}^{(t+1)} := P_{\mathcal{W}}(\mathbf{w}^{(t)} - \eta_t \nabla_{\mathbf{w}} L(\mathbf{z}^{(t)}, \mathbf{w})). \quad (9)$$

Note that (9) is a βήμα κλίσης for the current component $L(\mathbf{z}^{(t)}, \cdot)$ of the διακινδύνευση. The update (9) ignores all previous components $L(\mathbf{z}^{(t')}, \cdot)$, for $t' < t$. It might therefore happen that, compared to $\mathbf{w}^{(t)}$, the updated παράμετροι μοντέλου $\mathbf{w}^{(t+1)}$ increase the retrospective average loss $\sum_{t'=1}^{t-1} L(\mathbf{z}^{(t')}, \cdot)$. However, for a suitably chosen ρυθμός μάθησης η_t , online κάθοδος κλίσης can be shown to be optimal in practically relevant settings. By optimal, we mean that the παράμετροι μοντέλου $\mathbf{w}^{(T+1)}$ delivered by online κάθοδος κλίσης after observing T data points $\mathbf{z}^{(1)}, \dots, \mathbf{z}^{(T)}$ are at least as good as those delivered by any other learning method [80], [134].

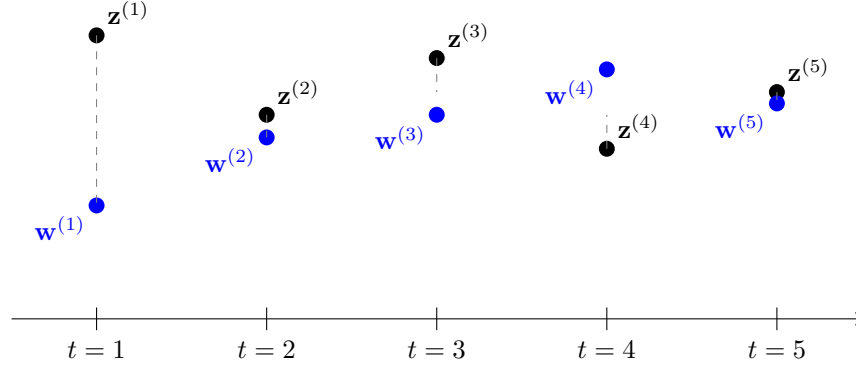


Fig. 70. An instance of online $\kappa\acute{\alpha}\theta\omicron\delta\omicron\varsigma$ κλίσης that updates the παράμετροι μοντέλου $\mathbf{w}^{(t)}$ using the data point $\mathbf{z}^{(t)} = x^{(t)}$ arriving at time t . This instance uses the απώλεια τετραγωνικού σφάλματος $L(\mathbf{z}^{(t)}, w) = (x^{(t)} - w)^2$.

Βλέπε επίσης: ml, παράμετροι μοντέλου, παραμετρικός χώρος, data point, ανεξάρτητες και ταυτόσημα κατανομημένες, τυχαία μεταβλητή, διακινδύνευση, υπόθεση, αντικειμενική συνάρτηση, $\kappa\acute{\alpha}\theta\omicron\delta\omicron\varsigma$ κλίσης, βήμα κλίσης, loss, ρυθμός μάθησης, απώλεια τετραγωνικού σφάλματος, διαδικτυακή μάθηση.

Gaussian mixture model (GMM) A GMM is a particular type of πιθανοτικό μοντέλο for a numeric διάνυσμα \mathbf{x} (e.g., the features of a data point). Within a GMM, the διάνυσμα \mathbf{x} is drawn from a randomly selected πολυμεταβλητή κανονική κατανομή $p^{(c)} = \mathcal{N}(\boldsymbol{\mu}^{(c)}, \mathbf{C}^{(c)})$ with $c = I$. The index $I \in \{1, \dots, k\}$ is an τυχαία μεταβλητή with probabilities $\mathbb{P}(I = c) = p_c$. Note that a GMM is parametrized by the probability p_c , the μέση τιμή διάνυσμα $\boldsymbol{\mu}^{(c)}$, and the πίνακας συνδιακύμανσης $\boldsymbol{\Sigma}^{(c)}$ for each $c = 1, \dots, k$. GMMs are widely used for συσταδοποίηση, density estimation, and as a generative model.

Βλέπε επίσης: πιθανοτικό μοντέλο, διάνυσμα, feature, data point, πολυμεταβλητή κανονική κατανομή, τυχαία μεταβλητή, μέση τιμή, πίνακας συνδιακύμανσης, συσταδοποίηση, model.

high-dimensional regime The high-dimensional regime of εμπειρική ελαχιστοποίηση διακινδύνευσης is characterized by the αποτελεσματική διάσταση of the model being larger than the μέγεθος δείγματος, i.e., the number of (labeled) data points in the σύνολο εκπαίδευσης. For example, γραμμική παλινδρόμηση methods operate in the high-dimensional regime whenever the number d of features used to characterize data points exceeds the number of data points in the σύνολο εκπαίδευσης. Another example of ml methods that operate in the high-dimensional regime is large TNΔs, which have far more tunable βάρη (and bias terms) than the total number of data points in the σύνολο εκπαίδευσης. High-dimensional statistics is a recent main thread of probability theory that studies the behavior of ml methods in the high-dimensional regime [11], [135].

Βλέπε επίσης: εμπειρική ελαχιστοποίηση διακινδύνευσης, αποτελεσματική διάσταση, model, μέγεθος δείγματος, data point, σύνολο εκπαίδευσης, γραμμική παλινδρόμηση, feature, ml, TNΔ, βάρη, probability, υπερπροσαρμογή, ομαλοποίηση.

clustered federated learning (CFL) CFL trains local models for the συσκευής in a FL application by using a παραδοχή συσταδοποίησης, i.e., the συσκευής of an δίκτυο ομοσπονδιακής μάθησης form συστάδας. Two συσκευής in the same συστάδα generate τοπικό σύνολο δεδομένων with

similar statistical properties. CFL pools the τοπικό σύνολο δεδομένων of συσκευής in the same συστάδα to obtain a σύνολο εκπαίδευσης for a συστάδα-specific model. GTVMin clusters συσκευής implicitly by enforcing approximate similarity of παράμετροι μοντέλου across well-connected nodes of the δίκτυο ομοσπονδιακής μάθησης.

Βλέπε επίσης: local model, συσκευή, FL, παραδοχή συσταδοποίησης, δίκτυο ομοσπονδιακής μάθησης, συστάδα, τοπικό σύνολο δεδομένων, σύνολο εκπαίδευσης, model, GTVMin, παράμετροι μοντέλου, συσταδοποίηση γράφου.

Courant–Fischer–Weyl min–max characterization Consider a θετικά ημιορισμένος πίνακας $\mathbf{Q} \in \mathbb{R}^{d \times d}$ with ανάλυση ιδιοτιμών (or spectral decomposition), i.e.,

$$\mathbf{Q} = \sum_{j=1}^d \lambda_j \mathbf{u}^{(j)} (\mathbf{u}^{(j)})^T.$$

Here, we use the ordered (in ascending order) ιδιοτιμές

$$\lambda_1 \leq \dots \leq \lambda_n.$$

The Courant–Fischer–Weyl min–max characterization [3, Th. 8.1.2] represents the ιδιοτιμές of \mathbf{Q} as the solutions to certain optimization problems.

Βλέπε επίσης: θετικά ημιορισμένος, πίνακας, ανάλυση ιδιοτιμών, ιδιοτιμή, optimization problem.

networked exponential families (nExpFam) A collection of exponential families, each of them assigned to a node of an $\delta\iota\kappa\tau\upsilon\omicron$ ομοσπονδιακής μάθησης. The παράμετροι μοντέλου are coupled via the network structure by requiring them to have a small γενικευμένη ολική μεταβολή [136].

Βλέπε επίσης: $\delta\iota\kappa\tau\upsilon\omicron$ ομοσπονδιακής μάθησης, παράμετροι μοντέλου, γενικευμένη ολική μεταβολή.

epigraph The epigraph of a real-valued συνάρτηση $f : \mathbb{R}^n \rightarrow \mathbb{R} \cup \{+\infty\}$ is the set of points lying on or above its graph (see Fig. 71), i.e.,

$$\text{epi}(f) = \{(\mathbf{x}, t) \in \mathbb{R}^n \times \mathbb{R} \mid f(\mathbf{x}) \leq t\}.$$

A συνάρτηση is κυρτό if and only if its epigraph is a κυρτό set [19], [127].

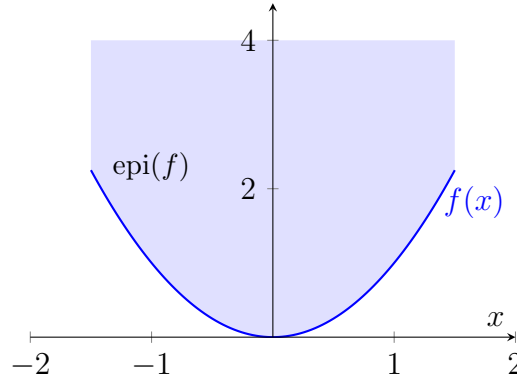


Fig. 71. Epigraph of the συνάρτηση $f(x) = x^2$ (i.e., the shaded area).

Βλέπε επίσης: συνάρτηση, graph, κυρτό.

geometric median (GM) The GM of a set of input διάνυσμας $\mathbf{x}^{(1)}, \dots, \mathbf{x}^{(m)}$ in \mathbb{R}^d is a point $\mathbf{z} \in \mathbb{R}^d$ that minimizes the sum of distances to the διάνυσμας [19] such that

$$\mathbf{z} \in \arg \min_{\mathbf{y} \in \mathbb{R}^d} \sum_{r=1}^m \|\mathbf{y} - \mathbf{x}^{(r)}\|_2. \quad (10)$$

Fig. 72 illustrates a fundamental property of the GM: If \mathbf{z} does not coincide with any of the input διάνυσμας, then the unit διάνυσμας pointing from \mathbf{z} to each $\mathbf{x}^{(r)}$ must sum to zero—this is the zero-subgradient (optimality) condition for (10). It turns out that the solution to (10) cannot be arbitrarily pulled away from trustworthy input διάνυσμας as long as they are the majority [137, Th. 2.2].

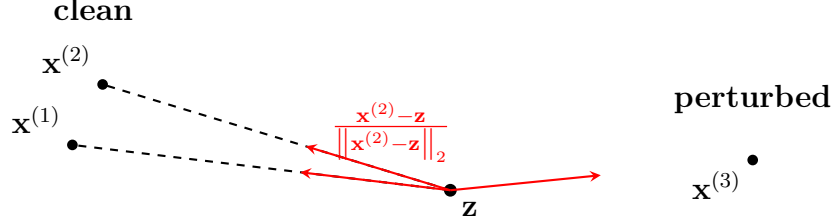


Fig. 72. Consider a solution \mathbf{z} of (10) that does not coincide with any of the input διάνυσμας. The optimality condition for (10) requires that the unit διάνυσμας from \mathbf{z} to the input διάνυσμας sum to zero.

Βλέπε επίσης: διάνυσμα, subgradient.

federated relaxed (FedRelax) An FL κατανεμημένος αλγόριθμος.

Βλέπε επίσης: FL, κατανεμημένος αλγόριθμος.

federated averaging (FedAvg) FedAvg refers to a family of iterative FL algorithms. It uses a server-client setting and alternates between clientwise local models retraining, followed by the aggregation of updated parameters at the server [138]. The local update at client $i = 1, \dots, n$ at time t starts from the current parameters $\mathbf{w}^{(t)}$ provided by the server and typically amounts to executing few iterations of stochastic gradient descent. After completing the local updates, they are aggregated by the server (e.g., by averaging them). Fig. 73 illustrates the execution of a single iteration of FedAvg.

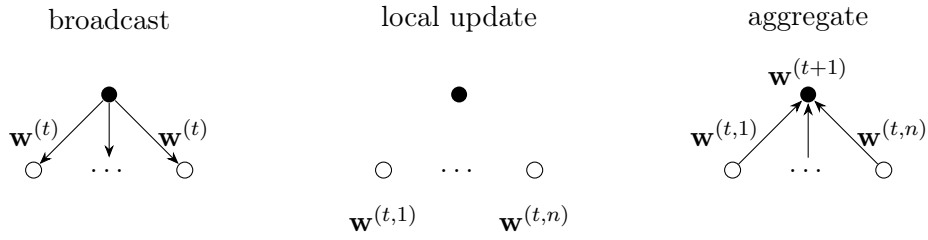


Fig. 73. Illustration of a single iteration of FedAvg, which consists of broadcasting parameters by the server, performing local updates at clients, and aggregating the updates by the server.

Βλέπε επίσης: FL, αλγόριθμος, local model, παράμετροι μοντέλου, στοχαστική κάθοδος κλίσης.

federated gradient descent (FedGD) An FL κατανεμημένος αλγόριθμος that can be implemented as message passing across an δίκτυο ομοσπονδιακής μάθησης.

Βλέπε επίσης: FL, κατανεμημένος αλγόριθμος, δίκτυο ομοσπονδιακής μάθησης, βήμα κλίσης, μέθοδος με βάση την κλίση.

federated stochastic gradient descent (FedSGD) An FL κατανεμημένος αλγόριθμος that can be implemented as message passing across an δίκτυο ομοσπονδιακής μάθησης.

Βλέπε επίσης: FL, κατανεμημένος αλγόριθμος, δίκτυο ομοσπονδιακής μάθησης, βήμα κλίσης, μέθοδος με βάση την κλίση, στοχαστική κάθοδος κλίσης.

networked federated learning (NFL) NFL refers to methods that learn personalized models in a distributed fashion. These methods learn from τοπικό σύνολο δεδομένων that are related by an intrinsic network structure.

Βλέπε επίσης: model, τοπικό σύνολο δεδομένων, FL.

strongly convex A continuously παραγωγίσιμη real-valued συνάρτηση $f(\mathbf{x})$ is strongly κυρτό with coefficient σ if $f(\mathbf{y}) \geq f(\mathbf{x}) + \nabla f(\mathbf{x})^T(\mathbf{y} - \mathbf{x}) + (\sigma/2)\|\mathbf{y} - \mathbf{x}\|_2^2$ [25], [102, Sec. B.1.1].

Βλέπε επίσης: παραγωγίσιμη, συνάρτηση, κυρτό.

federated proximal (FedProx) FedProx refers to an iterative FL αλγόριθμος that alternates between separately training local models and combining the updated local παράμετροι μοντέλου. In contrast to FedAvg, which uses στοχαστική κάθοδος κλίσης to train local models, FedProx uses a τελεστής εγγύτητας for the training [139].

Βλέπε επίσης: FL, αλγόριθμος, local model, παράμετροι μοντέλου, FedAvg, στοχαστική κάθοδος κλίσης, τελεστής εγγύτητας.

rectified linear unit (ReLU) The ReLU is a popular choice for the συνάρτηση ενεργοποίησης of a neuron within an ΤΝΔ. It is defined as $\sigma(z) = \max\{0, z\}$, with z being the weighted input of the artificial neuron.

Βλέπε επίσης: συνάρτηση ενεργοποίησης, ΤΝΔ.

missing data Consider a σύνολο δεδομένων constituted by data points collected via some physical συσκευή. Due to imperfections and failures, some of the feature or ετικέτα values of data points might be corrupted or simply missing. Data imputation aims to estimate these missing values [140]. We can interpret data imputation as an ml problem where the ετικέτα of a data point is the value of the corrupted feature.

Βλέπε επίσης: σύνολο δεδομένων, data point, συσκευή, feature, ετικέτα, data, ml.

networked model A networked model over an δίκτυο ομοσπονδιακής μάθησης $\mathcal{G} = (\mathcal{V}, \mathcal{E})$ assigns a local model (i.e., a χώρος υποθέσεων) to each node $i \in \mathcal{V}$ of the δίκτυο ομοσπονδιακής μάθησης \mathcal{G} .

Βλέπε επίσης: model, δίκτυο ομοσπονδιακής μάθησης, local model, χώρος υποθέσεων.

networked data Networked data consists of τοπικό σύνολο δεδομένων that are related by some notion of pairwise similarity. We can represent networked data using a graph whose nodes carry τοπικό σύνολο δεδομένων and whose edges encode pairwise similarities. An example of networked data can be found in FL applications where τοπικό σύνολο

δεδομένωνs are generated by spatially distributed συσκευής.

Βλέπε επίσης: data, τοπικό σύνολο δεδομένων, graph, FL, συσκευή.

multi-label classification Multi-ετικέτα ταξινόμηση problems and methods use data points that are characterized by several ετικέτας. As an example, consider a data point representing a picture with two ετικέτας. One ετικέτα indicates the presence of a human in this picture and another ετικέτα indicates the presence of a car.

Βλέπε επίσης: ετικέτα, ταξινόμηση, data point.

boosting Boosting is an iterative μέθοδος βελτιστοποίησης to learn an accurate υπόθεση απεικόνιση (or strong learner) by sequentially combining less accurate υπόθεση απεικόνισης (referred to as weak learners) [44, Ch. 10]. For example, weak learners are shallow decision trees that are combined to obtain a deep decision tree. Boosting can be understood as a γενίκευση of μέθοδος με βάση την κλίση for εμπειρική ελαχιστοποίηση διακινδύνευσης using parametric models and λεία συνάρτηση απώλειας [141]. Just as κάθοδος κλίσης iteratively updates παράμετροι μοντέλου to reduce the empirical risk, boosting iteratively combines (e.g., by summation) υπόθεση απεικόνισης to reduce the empirical risk (see Fig. 74). A widely used instance of the generic boosting idea is referred to as gradient boosting, which uses gradients of the συνάρτηση απώλειας for combining the weak learners [141].

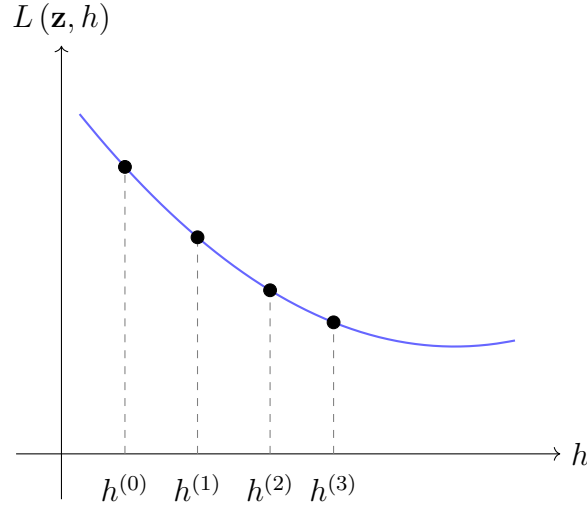


Fig. 74. Boosting methods construct a sequence of υπόθεση απεικόνισης $h^{(0)}, h^{(1)}, \dots$ that are increasingly strong learners (i.e., incurring a smaller loss).

Βλέπε επίσης: μέθοδος βελτιστοποίησης, υπόθεση, απεικόνιση, decision tree, γενίκευση, μέθοδος με βάση την κλίση, εμπειρική ελαχιστοποίηση διακινδύνευσης, model, λεία, συνάρτηση απώλειας, κάθοδος κλίσης, παράμετροι μοντέλου, empirical risk, gradient, loss, βήμα κλίσης.

μέγιστη πιθανοφάνεια Consider data points $\mathcal{D} = \{\mathbf{z}^{(1)}, \dots, \mathbf{z}^{(m)}\}$ that are interpreted as the πραγμάτωση of ανεξάρτητες και ταυτόσημα κατανεμημένες τυχαία μεταβλητής with a common κατανομή πιθανότητας $\mathbb{P}(\mathbf{z}; \mathbf{w})$, which depends on the παράμετροι μοντέλου $\mathbf{w} \in \mathcal{W} \subseteq \mathbb{R}^n$. Maximum likelihood methods learn παράμετροι μοντέλου \mathbf{w} by maximizing the probability (density) $\mathbb{P}(\mathcal{D}; \mathbf{w}) = \prod_{r=1}^m \mathbb{P}(\mathbf{z}^{(r)}; \mathbf{w})$ of the observed σύνολο δεδομένων. Thus, the maximum likelihood estimator

is a solution to the optimization problem $\max_{\mathbf{w} \in \mathcal{W}} \mathbb{P}(\mathcal{D}; \mathbf{w})$.

Βλέπε επίσης: data point, πραγμάτωση, ανεξάρτητες και ταυτόσημα κατανεμημένες, τυχαία μεταβλητή, κατανομή πιθανότητας, παράμετροι μοντέλου, maximum, σύνολο δεδομένων, optimization problem, πιθανοτικό μοντέλο.

Erdős–Rényi graph (ER graph) An ER graph is a πιθανοτικό μοντέλο for graphs defined over a given node set $i = 1, \dots, n$. One way to define the ER graph is via the collection of ανεξάρτητες και ταυτόσημα κατανεμημένες binary τυχαία μεταβλητής $b^{\{i,i'\}} \in \{0, 1\}$, for each pair of different nodes i, i' . A specific πραγμάτωση of an ER graph contains an edge $\{i, i'\}$ if and only if $b^{\{i,i'\}} = 1$. The ER graph is parametrized by the number n of nodes and the probability $\mathbb{P}(b^{\{i,i'\}} = 1)$.

Βλέπε επίσης: graph, πιθανοτικό μοντέλο, ανεξάρτητες και ταυτόσημα κατανεμημένες, τυχαία μεταβλητή, πραγμάτωση, probability.

Jacobi method The Jacobi method is an αλγόριθμος for solving systems of linear equations (i.e., a linear system) of the form $\mathbf{Ax} = \mathbf{b}$. Here, $\mathbf{A} \in \mathbb{R}^{d \times d}$ is a square πίνακας with nonzero main diagonal entries. The method constructs a sequence $\mathbf{x}^{(0)}, \mathbf{x}^{(1)}, \dots$ by updating each entry of $\mathbf{x}^{(t)}$ according to

$$x_i^{(t+1)} = \frac{1}{a_{ii}} \left(b_i - \sum_{j \neq i} a_{ij} x_j^{(t)} \right).$$

Note that all entries $x_1^{(k)}, \dots, x_d^{(k)}$ are updated simultaneously. The above iteration converges to a solution, i.e., $\lim_{t \rightarrow \infty} \mathbf{x}^{(t)} = \mathbf{x}$, under

certain conditions on the πίνακας \mathbf{A} , e.g., being strictly diagonally dominant or symmetric positive definite [3], [13], [30]. Jacobi-type methods are appealing for large linear systems due to their parallelizable structure [98]. We can interpret the Jacobi method as a επανάληψη σταθερού σημείου. Indeed, using the decomposition $\mathbf{A} = \mathbf{D} + \mathbf{R}$, with \mathbf{D} being the diagonal of \mathbf{A} , allows us to rewrite the linear equation $\mathbf{Ax} = \mathbf{b}$ as a fixed-point equation

$$\mathbf{x} = \underbrace{\mathbf{D}^{-1}(\mathbf{b} - \mathbf{Rx})}_{\mathcal{F}\mathbf{x}}$$

which leads to the iteration $\mathbf{x}^{(t+1)} = \mathbf{D}^{-1}(\mathbf{b} - \mathbf{Rx}^{(t)})$.

As an example, for the linear equation $\mathbf{Ax} = \mathbf{b}$, where

$$\mathbf{A} = \begin{bmatrix} a_{11} & a_{12} & a_{13} \\ a_{21} & a_{22} & a_{23} \\ a_{31} & a_{32} & a_{33} \end{bmatrix}, \quad \mathbf{b} = \begin{bmatrix} b_1 \\ b_2 \\ b_3 \end{bmatrix}$$

the Jacobi method updates each component of \mathbf{x} as follows:

$$\begin{aligned} x_1^{(k+1)} &= \frac{1}{a_{11}} \left(b_1 - a_{12}x_2^{(k)} - a_{13}x_3^{(k)} \right); \\ x_2^{(k+1)} &= \frac{1}{a_{22}} \left(b_2 - a_{21}x_1^{(k)} - a_{23}x_3^{(k)} \right); \\ x_3^{(k+1)} &= \frac{1}{a_{33}} \left(b_3 - a_{31}x_1^{(k)} - a_{32}x_2^{(k)} \right). \end{aligned}$$

Βλέπε επίσης: αλγόριθμος, πίνακας, επανάληψη σταθερού σημείου, μέθοδος βελτιστοποίησης.

διάμεσος A median $\text{med}(x)$ of a real-valued τυχαία μεταβλητή x is any number $m \in \mathbb{R}$ such that $\mathbb{P}(x \leq m) \geq 1/2$ and $\mathbb{P}(x \geq m) \geq 1/2$ (see Fig. 75) [29].

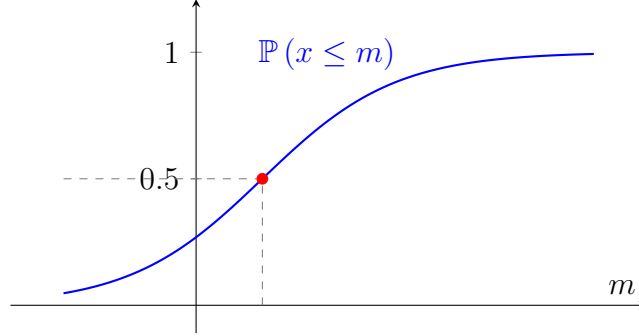


Fig. 75. A representation of a median.

We can define the median $\text{med}(\mathcal{D})$ of a σύνολο δεδομένων $\mathcal{D} = \{x^{(1)}, \dots, x^{(m)} \in \mathbb{R}\}$ via a specific τυχαία μεταβλητή \tilde{x} that is naturally associated with \mathcal{D} . In particular, this τυχαία μεταβλητή is constructed by $\tilde{x} = x^{(I)}$, with the index I being chosen uniformly at random from the set $\{1, \dots, m\}$, i.e., $\mathbb{P}(I = r) = 1/m$ for all $r = 1, \dots, m$. If the τυχαία μεταβλητή x is integrable, a median of x is the solution of the following optimization problem:

$$\min_{x' \in \mathbb{R}} \mathbb{E}|x - x'|.$$

Like the μέση τιμή, the median of a σύνολο δεδομένων \mathcal{D} can also be used to estimate παράμετρος of an underlying πιθανοτικό μοντέλο. Compared to the μέση τιμή, the median is more robust to ακραία τιμές. For example, a median of a σύνολο δεδομένων \mathcal{D} with more than one data point does not change even if we arbitrarily increase the largest

element of \mathcal{D} (see Fig. 76). In contrast, the μέση τιμή will increase arbitrarily.

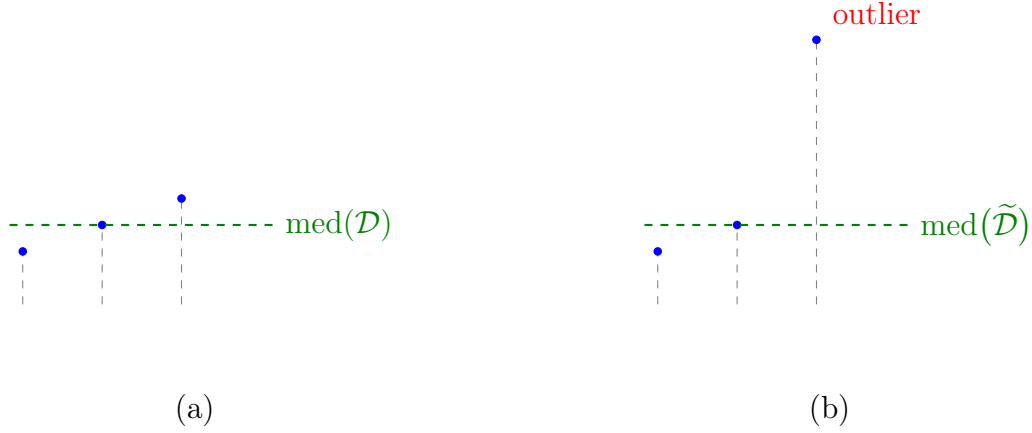


Fig. 76. The median is robust against ακραία τιμή contamination. (a) Original σύνολο δεδομένων \mathcal{D} . (b) Noisy σύνολο δεδομένων $\tilde{\mathcal{D}}$ including an ακραία τιμή.

Βλέπε επίσης: τυχαία μεταβλητή, σύνολο δεδομένων, optimization problem, μέση τιμή, παράμετρος, πιθανοτικό μοντέλο, ακραία τιμή, data point, στιβαρότητα.

nullspace The nullspace of a πίνακας $\mathbf{A} \in \mathbb{R}^{d' \times d}$, denoted by $\text{null}(\mathbf{A})$, is the set of all διάνυσμα $\mathbf{n} \in \mathbb{R}^d$ such that

$$\mathbf{A}\mathbf{n} = \mathbf{0}.$$

Consider a μάθηση χαρακτηριστικών method that uses the πίνακας \mathbf{A} to transform a διάνυσμα χαρακτηριστικών $\mathbf{x} \in \mathbb{R}^d$ of a data point into a new διάνυσμα χαρακτηριστικών $\mathbf{z} = \mathbf{A}\mathbf{x} \in \mathbb{R}^{d'}$. The nullspace $\text{null}(\mathbf{A})$

characterizes all directions in the original $\chi\acute{o}\rho\omicron\varsigma\ \chi\alpha\rho\alpha\chi\eta\rho\iota\sigma\tau\iota\kappa\acute{o}\nu\ \mathbb{R}^d$ along which the transformation $\mathbf{A}\mathbf{x}$ remains unchanged. In other words, adding any $\delta\acute{\iota}\alpha\nu\sigma\mu\alpha$ from the nullspace to a $\delta\acute{\iota}\alpha\nu\sigma\mu\alpha\ \chi\alpha\rho\alpha\chi\eta\rho\iota\sigma\tau\iota\kappa\acute{o}\nu\ \mathbf{x}$ does not affect the transformed representation \mathbf{z} . This property can be exploited to enforce invariances in the $\pi\rho\acute{o}\beta\lambda\epsilon\psi\eta\varsigma$ (computed from $\mathbf{A}\mathbf{x}$). Fig. 77 illustrates one such invariance. It shows rotated versions of two handwritten digits, which approximately lie along 1-D curves in the original $\chi\acute{o}\rho\omicron\varsigma\ \chi\alpha\rho\alpha\chi\eta\rho\iota\sigma\tau\iota\kappa\acute{o}\nu$. These curves are aligned with a direction $\delta\acute{\iota}\alpha\nu\sigma\mu\alpha\ \mathbf{n} \in \mathbb{R}^d$. To ensure that the trained model is invariant to such rotations, we can choose the transformation $\pi\acute{\iota}\nu\alpha\chi\alpha\varsigma\ \mathbf{A}$ such that $\mathbf{n} \in \text{null}(\mathbf{A})$. This ensures that $\mathbf{A}\mathbf{x}$, and hence the resulting $\pi\rho\acute{o}\beta\lambda\epsilon\psi\eta$, is approximately insensitive to rotations of the input image.

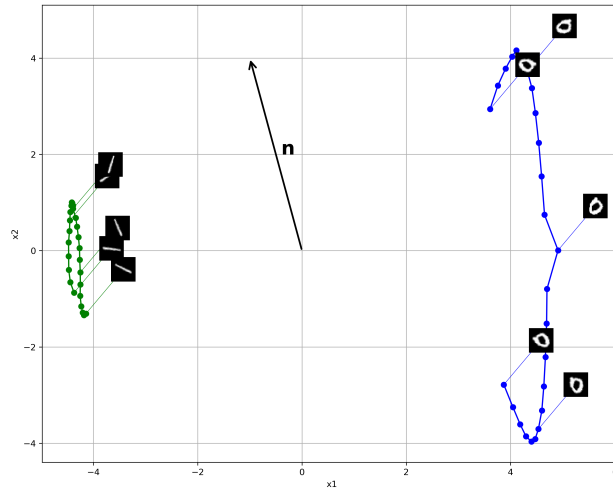


Fig. 77. Rotated images of two handwritten digits. The rotations are approximately aligned along linear curves that are parallel to the $\delta\acute{\iota}\alpha\nu\sigma\mu\alpha\ \mathbf{n}$.

Βλέπε επίσης: $\pi\acute{\iota}\nu\alpha\chi\alpha\varsigma$, $\delta\acute{\iota}\alpha\nu\sigma\mu\alpha$, $\mu\acute{\alpha}\theta\eta\sigma\eta\ \chi\alpha\rho\alpha\chi\eta\rho\iota\sigma\tau\iota\kappa\acute{o}\nu$, $\delta\acute{\iota}\alpha\nu\sigma\mu\alpha\ \chi\alpha\rho\alpha\chi\eta\rho\iota\sigma\tau\iota\kappa\acute{o}\nu$, data point, $\chi\acute{o}\rho\omicron\varsigma\ \chi\alpha\rho\alpha\chi\eta\rho\iota\sigma\tau\iota\kappa\acute{o}\nu$, $\pi\rho\acute{o}\beta\lambda\epsilon\psi\eta$, mod-

el.

Python demo: [click me](#)

epoch An epoch represents one complete pass of the entire σύνολο εκπαίδευσης through some learning αλγόριθμος. It refers to the point at which a model has processed every data point in the σύνολο εκπαίδευσης once. Training a model usually requires multiple epochs, since each iteration allows the model to refine the παράμετρος and improve πρόβλεψης. The number of epochs is something predefined by the user, and thus a hyperparameter, which plays a crucial role in determining how the model will generalize to unseen data. Too few epochs will result in υποπροσαρμογή, while too many epochs can result in υπερπροσαρμογή. Βλέπε επίσης: σύνολο εκπαίδευσης, αλγόριθμος, model, data point, παράμετρος, πρόβλεψη, υποπροσαρμογή, υπερπροσαρμογή.

concept activation vector (CAV) Consider a βαθύ δίκτυο, consisting of several hidden στρώμας, trained to predict the ετικέτα of a data point from its διάνυσμα χαρακτηριστικών. One way to explain the behavior of the trained βαθύ δίκτυο is by using the ενεργοποίησης of a hidden στρώμα as a new διάνυσμα χαρακτηριστικών \mathbf{z} . We then probe the geometry of the resulting new χώρος χαρακτηριστικών by applying the βαθύ δίκτυο to data points that represent a specific concept \mathcal{C} . By applying the βαθύ δίκτυο also to data points that do not belong to this concept, we can train a binary γραμμικός ταξινομητής $g(\mathbf{z})$ that distinguishes between concept and non-concept data points based on the ενεργοποίησης of the hidden στρώμα. The resulting όριο απόφασης

is a hyperplane whose normal διάνυσμα is the CAV for the concept \mathcal{C} .
Βλέπε επίσης: βαθύ δίκτυο, στρώμα, ετικέτα, data point, διάνυσμα χαρακτηριστικών, ενεργοποίηση, γραμμικός ταξινομητής, όριο απόφασης, γραμμικό μοντέλο, αξιόπιστη TN, ερμηνευσιμότητα, διαφάνεια.

batch learning In δέσμη learning (also known as offline learning), the ml model is trained on the entire σύνολο δεδομένων in a single training iteration, instead of updating it incrementally as data arrive. All available data are inputted into a learning αλγόριθμος, resulting in a model that can make πρόβλεψη. Since these σύνολο δεδομένωνs tend to be large, training is computationally expensive and time-consuming, so it is typically performed offline. After learning, the model will be static and will not adapt to new data automatically. Updating the model with new information requires retraining the model entirely. Once the model has been trained, it is launched into production where it cannot be updated. Training a model can take many hours, so many models in production settings are updated cyclically on a periodic schedule when the data distribution is stable. For example, a retail analytics team could retrain their demand forecast model every Sunday using the previous week's sales data to predict next week's demand. If a system needs to be constantly updated to rapidly changing data, such as in stock price πρόβλεψη, a more adaptable solution such as διαδικτυακή μάθηση is necessary.

Βλέπε επίσης: δέσμη, ml, model, σύνολο δεδομένων, data, αλγόριθμος, πρόβλεψη, διαδικτυακή μάθηση.

natural language processing (NLP) NLP studies ml methods for the the analysis and generation of human language. Typical NLP tasks include text ταξινόμηση, machine translation, sentiment analysis, and question answering. Modern NLP systems represent language as ακολουθίας of μονάδα δεδομένωνs and train models that capture contextual dependencies, such as προσοχή-based methods.
See also: μονάδα δεδομένων, προσοχή.

Ενισχυτική Μάθηση

αξιολόγηση πολιτικής (ενισχυτική μάθηση) Η αξιολόγηση πολιτικής (policy evaluation) αναφέρεται στον υπολογισμό της συνάρτησης κατάστασης-τιμής v_π μίας δεδομένης πολιτικής π σε μία διαδικασία απόφασης Markov. Μία ευρέως χρησιμοποιούμενη μεθοδος, η οποία αναφέρεται ως επαναληπτική αξιολόγηση πολιτικής, βασίζεται στον χαρακτηρισμό της v_π ως σταθερού σημείου του τελεστή Bellman $\mathcal{F}^{(\pi)}$. Συγκεκριμένα, ξεκινώντας από μία αρχική συνάρτηση τιμής v_0 , εφαρμόζουμε επαναληπτικά τον τελεστή Bellman $\mathcal{F}^{(\pi)}$ ώστε να προκύψει μία ακολουθία συναρτήσεων τιμής v_1, v_2, \dots σύμφωνα με

$$v_{t+1} = \mathcal{F}^{(\pi)}v_t, \quad t = 0, 1, 2, \dots$$

Υπό ήπιες συνθήκες, αυτή η επανάληψη σταθερού σημείου συγκλίνει στη v_π καθώς $t \rightarrow \infty$ [22, Sec. 4.2].

Βλέπε επίσης: πολιτική, συνάρτηση κατάστασης-τιμής, διαδικασία απόφασης Markov, σταθερό σημείο, τελεστής Bellman, συνάρτηση τιμής, ακολουθία, επανάληψη σταθερού σημείου.

διαδικασία απόφασης Markov Μία διαδικασία απόφασης Markov (Markov decision process - MDP) είναι μία μαθηματική δομή για τη μελέτη της ενισχυτικής μάθησης. Τυπικά, μία διαδικασία απόφασης Markov είναι μία στοχαστική διαδικασία που ορίζεται από μία συγκεκριμένη επιλογή για

- έναν χώρο καταστάσεων \mathcal{S} .
- έναν χώρο ενεργειών \mathcal{A} .

- μία συνάρτηση μετάβασης $\mathbb{P}(s' | s, a)$ που προσδιορίζει την υπό συνθήκη κατανομή πιθανότητας $\mathbb{P}(s'|s,a)$ της επόμενης κατάστασης $s' \in \mathcal{S}$, δεδομένης της τρέχουσας κατάστασης $s \in \mathcal{S}$ και ενέργειας $a \in \mathcal{A}$.
- μία συνάρτηση ανταμοιβής $r(s, a) \in \mathbb{R}$ που αποδίδει μία αριθμητική ανταμοιβή σε κάθε ζεύγος κατάστασης-ενέργειας (s, a) .

Για μία δεδομένη πολιτική π , αυτές οι συνιστώσες ορίζουν την κατανομή πιθανότητας μίας ακολουθίας

$$s_1, a_1, r_1, s_2, a_2, r_2, \dots, s_t, a_t, r_t$$

τυχαίων μεταβλητών. Η καθοριστική ιδιότητα μίας διαδικασίας απόφασης Markov είναι η ιδιότητα Markov. Για την ακρίβεια, στη χρονική στιγμή t , η υπό συνθήκη κατανομή πιθανότητας της επόμενης κατάστασης s_{t+1} και της ανταμοιβής r_t εξαρτάται από το παρελθόν μόνο μέσω της τρέχουσας κατάστασης s_t και ενέργειας a_t . Οι μέθοδοι ενισχυτικής μάθησης προσπαθούν να μάθουν μία πολιτική π που μεγιστοποιεί την αναμενόμενη απόδοση

$$\mathbb{E} \left\{ \sum_{t=1}^{\infty} \gamma^{t-1} r_t \mid s_1 \right\}.$$

Η σταθεροποίηση της αρχικής κατάστασης s_1 υποδεικνύει ότι η αναμενόμενη απόδοση αξιολογείται ακολουθώντας την πολιτική π από μία δεδομένη αρχική κατάσταση. Η αναμενόμενη απόδοση περιλαμβάνει τον παράγοντα προεξόφλησης $\gamma \in (0, 1)$ που προσδιορίζει τη σχετική σημασία μελλοντικών ανταμοιβών σε σύγκριση με την άμεση ανταμοιβή. Ο παράγοντας προεξόφλησης γ είναι συνήθως σταθερός για μία δεδομένη

διαδικασία απόφασης Markov και ελέγχει τον συμβιβασμό μεταξύ βραχυπρόθεσμης και μακροπρόθεσμης ανταμοιβής. Οι διαδικασίες απόφασης Markov χρησιμοποιούνται ευρέως στη ρομποτική, στα παιχνίδια, και στα αυτόνομα συστήματα για τη μοντελοποίηση προβλημάτων λήψης αποφάσεων, όπου ένας πράκτορας αλληλεπιδρά με ένα περιβάλλον για την επίτευξη ενός στόχου [22], [23], [142].

Βλέπε επίσης: ενισχυτική μάθηση, στοχαστική διαδικασία, χώρος καταστάσεων, χώρος ενεργειών, συνάρτηση, υπό συνθήκη κατανομή πιθανότητας, κατάσταση, ενέργεια, ανταμοιβή, πολιτική, κατανομή πιθανότητας, ακολουθία, τυχαία μεταβλητή, ιδιότητα Markov.

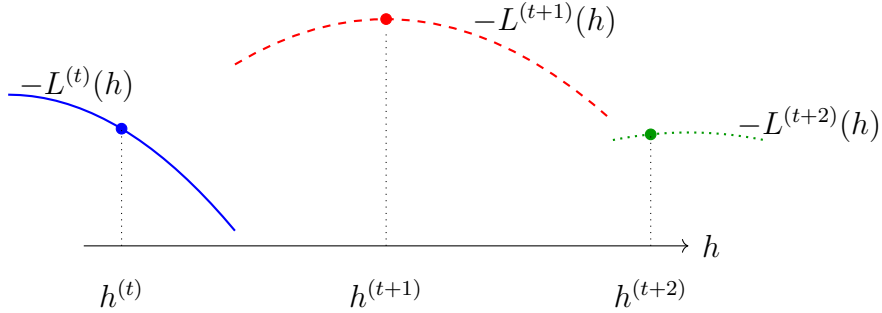
ενέργεια Μία ενέργεια (action) αναφέρεται σε μία απόφαση που λαμβάνεται από ένα σύστημα TN σε ένα δεδομένο χρονικό βήμα t που επηρεάζει το παρατηρούμενο σήμα ανταμοιβής. Οι ενέργειες είναι στοιχεία ενός χώρου ενεργειών \mathcal{A} και συνήθως δηλώνονται με $a_t \in \mathcal{A}$. Η ενέργεια a_t επιλέγεται βάσει του διανύσματος χαρακτηριστικών $\mathbf{x}^{(t)}$ (το οποίο συλλέγει όλες τις διαθέσιμες παρατηρήσεις) και της τρέχουσας υπόθεσης $h^{(t)}$. Η ενισχυτική μάθηση χρησιμοποιεί μεθόδους διαδικτυακή μάθηση για να μάθει μία υπόθεση $h^{(t)}$ που προβλέπει μία (σχεδόν) βέλτιστη ενέργεια. Η χρησιμότητα της πρόβλεψης a_t αξιολογείται έμμεσα μέσω του επακόλουθου σήματος ανταμοιβής $r^{(t)}$. Στην ειδική περίπτωση ενός MAB, το σύνολο των πιθανών ενεργειών είναι πεπερασμένο και κάθε ενέργεια αντιστοιχεί στην επιλογή ενός arm. Σε πιο γενικά περιβάλλον ενισχυτικής μάθησης, ο χώρος ενεργειών μπορεί να είναι συνεχής.

Βλέπε επίσης: σύστημα TN, ανταμοιβή, χώρος ενεργειών, διάνυσμα χαρακτηριστικών, υπόθεση, ενισχυτική μάθηση, διαδικτυακή μάθηση, πρό-

βλεψη, MAB, συνεχής, συνάρτηση απώλειας.

ενισχυτική μάθηση Η ενισχυτική μάθηση (reinforcement learning - RL)

αναφέρεται σε ένα περιβάλλον διαδικτυακή μάθηση, όπου μπορούμε να αξιολογήσουμε τη χρησιμότητα μίας μοναδικής υπόθεσης (δηλαδή μίας συγκεκριμένης επιλογής παραμέτρων μοντέλου) σε κάθε χρονικό βήμα t . Συγκεκριμένα, οι μέθοδοι ενισχυτικής μάθησης εφαρμόζουν την τρέχουσα υπόθεση $h^{(t)}$ στο διάνυσμα χαρακτηριστικών $\mathbf{x}^{(t)}$ του νέου σημείου δεδομένων για να προβλέψουν την επόμενη ενέργεια. Η χρησιμότητα της επακόλουθης πρόβλεψης $h^{(t)}(\mathbf{x}^{(t)})$ ποσοτικοποιείται από ένα σήμα ανταμοιβής $r^{(t)}$ (βλέπε Σχ. 78).



Σχ. 78. Τρία διαδοχικά χρονικά βήματα $t, t+1, t+2$ με αντίστοιχες συναρτήσεις απώλειας $L^{(t)}, L^{(t+1)}, L^{(t+2)}$. Κατά το χρονικό βήμα t , μία μέθοδος ενισχυτικής μάθησης μπορεί αξιολογήσει τη συνάρτηση απώλειας μόνο για μία μοναδική υπόθεση $h^{(t)}$, οδηγώντας στο σήμα ανταμοιβής $r^{(t)} = -L^{(t)}(h^{(t)})$.

Γενικά, η ανταμοιβή εξαρτάται επίσης από τις προηγούμενες προβλέψεις $h^{(t')}(\mathbf{x}^{(t')})$ για $t' < t$. Ο στόχος της ενισχυτικής μάθησης είναι να μάθει την $h^{(t)}$, για κάθε χρονικό βήμα t , έτσι ώστε να μεγιστοποιηθεί η (πιθανώς προεξοφλημένη) αθροιστική ανταμοιβή [8], [22].

Βλέπε επίσης: διαδικτυακή μάθηση, υπόθεση, model parameter, διάνυσμα χαρακτηριστικών, data point, ενέργεια, πρόβλεψη, ανταμοιβή, συνάρτηση απώλειας, ml.

επανάληψη τιμής Θεωρούμε μία διαδικασία απόφασης Markov με τον συσχετισμένο τελεστή Bellman \mathcal{F} . Η συνάρτηση κατάστασης-τιμής v^* της βέλτιστης πολιτικής είναι ένα σταθερό σημείο του \mathcal{F} , δηλαδή $v^* = \mathcal{F}v^*$. Η επανάληψη τιμής (value iteration) είναι η επανάληψη σταθερού σημείου για τον υπολογισμό της v^* μέσω της επαναλαμβανόμενης εφαρμογής του \mathcal{F} σε μία αρχική συνάρτηση τιμής v_0 [22, Sec. 4.4].

Βλέπε επίσης: διαδικασία απόφασης Markov, τελεστής Bellman, συνάρτηση κατάστασης-τιμής, πολιτική, σταθερό σημείο, επανάληψη, επανάληψη σταθερού σημείου, συνάρτηση τιμής.

πολιτική (ενισχυτική μάθηση) Μία πολιτική (policy) είναι μία συνάρτηση που προσδιορίζει πώς επιλέγεται η επόμενη ενέργεια a_t σε μία διαδικασία απόφασης Markov όταν η τρέχουσα κατάσταση είναι s_t . Συνήθως, μία πολιτική είναι στοχαστική, που σημαίνει ότι ορίζει μία υπό συνθήκη κατανομή πιθανότητας $\mathbb{P}^{(a|s)}$ πάνω στις ενέργειες για μία δεδομένη τρέχουσα κατάσταση. Μπορούμε να θεωρήσουμε μία πολιτική και ως μία υπόθεση που χρησιμοποιεί χαρακτηριστικά που προκύπτουν από την τρέχουσα κατάσταση για να προβλέψει την καλύτερη επόμενη ενέργεια [22].

Βλέπε επίσης: συνάρτηση, ενέργεια, διαδικασία απόφασης Markov, κατάσταση, στοχαστική, υπό συνθήκη κατανομή πιθανότητας, υπόθεση, feature.

ρήτρα μεταβολής γνώμης Η ρήτρα μεταβολής γνώμης (regret) μίας υ-

πόθεσης h σε σχέση με μία άλλη υπόθεση h' , η οποία χρησιμεύει ως βάση αναφοράς, είναι η διαφορά μεταξύ της απώλειας που προκαλείται από την h και της απώλειας που προκαλείται από την h' [79]. Η υπόθεση h' που είναι η βάση αναφοράς αναφέρεται επίσης ως εμπειρογνώμονας. Βλέπε επίσης: υπόθεση, βάση αναφοράς, loss, εμπειρογνώμονας.

συνάρτηση κατάστασης-τιμής Για μία δεδομένη διαδικασία απόφασης Markov, οποιαδήποτε πολιτική π επάγει φυσικά μία συνάρτηση τιμής $v_\pi : \mathcal{S} \rightarrow \mathbb{R}$. Η τιμή $v_\pi(s)$ είναι η αναμενόμενη απόδοση όταν η διαδικασία απόφασης Markov ξεκινάει από μία δεδομένη κατάσταση $s \in \mathcal{S}$ και οι ενέργειες επιλέγονται σύμφωνα με την π . Βλέπε επίσης: διαδικασία απόφασης Markov, πολιτική, συνάρτηση τιμής, κατάσταση, ενέργεια.

συνάρτηση τιμής Στο πλαίσιο μίας διαδικασίας απόφασης Markov, η συνάρτηση τιμής (value function) $v : \mathcal{S} \rightarrow \mathbb{R}$ αποδίδει σε κάθε κατάσταση $s \in \mathcal{S}$ έναν πραγματικό αριθμό $v(s)$ που ποσοτικοποιεί τη μακροπρόθεσμη επιθυμητότητα της κατάστασης s . Βλέπε επίσης: διαδικασία απόφασης Markov, συνάρτηση, κατάσταση.

τελεστής Bellman Ο τελεστής Bellman (Bellman operator) \mathcal{F} που σχετίζεται με μία διαδικασία απόφασης Markov ορίζεται στον χώρο όλων των συναρτήσεων τιμής. Συγκεκριμένα, αντιστοιχίζει μία συνάρτηση τιμής $v : \mathcal{S} \rightarrow \mathbb{R}$ σε μία άλλη συνάρτηση τιμής $v' : \mathcal{S} \rightarrow \mathbb{R}$ σύμφωνα με

$$v'(s) = \max_{a \in \mathcal{A}} \left(\mathbb{E}\{r(s, a) \mid s, a\} + \gamma \mathbb{E}\{v(s') \mid s, a\} \right)$$

όπου $\gamma \in (0, 1)$ είναι ένας παράγοντας προεξόφλησης και s' είναι η επόμενη κατάσταση που παράγεται σύμφωνα με τη συνάρτηση μετάβασης, $s' \sim \mathbb{P}(s' | s, a)$. Η συνάρτηση κατάστασης-τιμής v^* της βέλτιστης πολιτικής π^* είναι ένα σταθερό σημείο του τελεστή Bellman, $v^* = \mathcal{F}v^*$. Αυτή η εξίσωση σταθερού σημείου είναι φυσικά κατάλληλη για τη μέθοδο επανάληψης τιμής για τον υπολογισμό της συνάρτησης κατάστασης-τιμής μίας βέλτιστης πολιτικής. Πέρα από τον τελεστή Bellman που σχετίζεται με μία διαδικασία απόφασης Markov, υπάρχει και ένας τελεστής Bellman $\mathcal{F}^{(\pi)}$ που σχετίζεται με μία πολιτική π . Στην περίπτωση αυτή, ο τελεστής Bellman ορίζεται ως

$$\mathcal{F}^{(\pi)}v(s) = \mathbb{E}\{r(s, a) | s, a\} + \gamma \mathbb{E}\{v(s') | s, a\}$$

όπου $s' \sim \mathbb{P}(s' | s, a)$ και η a επιλέγεται σύμφωνα με την π . Η συνάρτηση κατάστασης-τιμής v_π είναι ένα σταθερό σημείο του $\mathcal{F}^{(\pi)}$, $v_\pi = \mathcal{F}^{(\pi)}v_\pi$. Αυτή η εξίσωση σταθερού σημείου μπορεί να λυθεί μέσω μίας επανάληψης σταθερού σημείου που είναι γνωστή ως αξιολόγηση πολιτικής. Ο τελεστής Bellman πήρε το όνομά του από τον Richard Bellman, ο οποίος τον εισήγαγε στο πλαίσιο του δυναμικού προγραμματισμού [143]. Ο τελεστής Bellman είναι μία έννοια-κλειδί στην ενισχυτική μάθηση και χρησιμοποιείται για την παραγωγή αλγόριθμων για τη λύση διαδικασιών απόφασης Markov, όπως η επανάληψη τιμής και η επανάληψη πολιτικής [22].

Βλέπε επίσης: τελεστής, διαδικασία απόφασης Markov, συνάρτηση τιμής, κατάσταση, συνάρτηση, συνάρτηση κατάστασης-τιμής, πολιτική, σταθερό σημείο, εξίσωση σταθερού σημείου, επανάληψη τιμής, επανάληψη σταθερού σημείου, policy evaluation, ενισχυτική μάθηση, αλγόριθμος, επα-

νάληψη.

χώρος ενεργειών Βλέπε ενέργεια.

multiarmed bandit (MAB) An MAB is a precise

See also: ανταμοιβή, regret.

Συστήματα Μηχανικής Μάθησης

αυτόματο Ένα αυτόματο (automaton) είναι μία μαθηματική αναπαράσταση μίας υπολογιστικής συσκευής, της οποίας η συμπεριφορά περιγράφεται από ένα σύνολο εσωτερικών καταστάσεων, μία δομή μνήμης, και έναν κανόνα κατάστασης-μετάβασης. Τυπικά, ένα αυτόματο αποτελείται από έναν χώρο καταστάσεων, ένα σύνολο αποδεκτών διαθρώσεων μνήμης, και μία συνάρτηση μετάβασης που προσδιορίζει το πώς η τρέχουσα κατάσταση και η μνήμη ενημερώνονται ως απάντηση στις εισόδους [54]. Η έννοια του αυτόματου είναι χρήσιμη για την ανάλυση αλγόριθμων, όπως εκείνων που χρησιμοποιούνται σε μεθόδους μηχανικής μάθησης [53]. Συλλογές αυτομάτων που αλληλεπιδρούν μπορούν να χρησιμοποιηθούν για τη μελέτη καταναμημένου αλγόριθμος, όπου κάθε αυτόματο αναπαριστά μία συσκευή που εκτελεί τοπικούς υπολογισμούς και επικοινωνεί με άλλες συσκευές [98], [144].

Βλέπε επίσης: συσκευή, κατάσταση, χώρος καταστάσεων, συνάρτηση, αλγόριθμος, ml, καταναμημένος αλγόριθμος.

δυναμικό σύστημα Ένα δυναμικό σύστημα (dynamical system) είναι ένα αφηρημένο σύστημα, του οποίου η έξοδος εξαρτάται από μία εσωτερική κατάσταση που εξελίσσεται σταδιακά σύμφωνα με έναν κανόνα κατάστασης-ενημέρωσης [145]. Στον διακριτό χρόνο, ένα δυναμικό σύστημα περιγράφεται συχνά από μία επανάληψη της μορφής $\mathbf{s}^{(t+1)} = \mathcal{F}\mathbf{s}^{(t)}$, όπου $\mathbf{s}^{(t)}$ δηλώνει την κατάσταση στη χρονική στιγμή t και \mathcal{F} είναι μία απεικόνιση κατάστασης-μετάβασης. Στον συνεχή χρόνο, τα δυναμικά συστήματα περιγράφονται από διαφορικές εξισώσεις.

Βλέπε επίσης: output, κατάσταση, επανάληψη, απεικόνιση.

μηχανική μάθηση ως υπηρεσία Η μηχανική μάθηση ως υπηρεσία (machine learning as a service - MLaaS) αναφέρεται σε ένα μοντέλο υπηρεσίας νεφοϋπολογιστικής στο οποίο οι δυνατότητες μηχανικής μάθησης παρέχονται στους χρήστες μέσω τυποποιημένων διεπαφών δικτύου. Σε αυτό το μοντέλο, ο πάροχος του νέφους διαχειρίζεται τις υποκείμενες υπολογιστικές υποδομές, την αποθήκευση δεδομένων, και τις πλατφόρμες λογισμικού, ενώ οι χρήστες έχουν πρόσβαση σε λειτουργικότητα όπως η εκπαίδευση μοντέλου και η εξαγωγή συμπερασμάτων χωρίς άμεσο έλεγχο των φυσικών πόρων [146].

Βλέπε επίσης: νεφοϋπολογιστική, model, ml, data, εκπαίδευση, εξαγωγή συμπερασμάτων, σύστημα μηχανικής μάθησης.

νεφοϋπολογιστική Η νεφοϋπολογιστική (cloud computing) είναι ένα υπολογιστικό παράδειγμα στο οποίο οι υπολογιστικοί πόροι όπως η επεξεργασία, η αποθήκευση, και η δικτύωση παρέχονται ως υπηρεσίες κατ' αίτηση μέσω ενός δικτύου επικοινωνίας [146], [147]. Στη μηχανική μάθηση, τα συστήματα νεφοϋπολογιστικής χρησιμοποιούνται συχνά για τη φιλοξενία μεγάλων συνόλων δεδομένων και την εκτέλεση αλγόριθμων μηχανικής μάθησης. Σε αντίθεση με τα συστήματα ομοσπονδιακής μάθησης, η νεφοϋπολογιστική συνήθως συγκεντρώνει τα δεδομένων και τον υπολογισμό εντός κέντρων δεδομένων που διαχειρίζεται ο πάροχος.

Βλέπε επίσης: ml, σύνολο δεδομένων, αλγόριθμος, σύστημα ομοσπονδιακής μάθησης, data, σύστημα μηχανικής μάθησης.

σύστημα μηχανικής μάθησης Ένα σύστημα μηχανικής μάθησης (ma-

chine learning system - ML system) αποτελείται από υπολογιστικές συσκευές που μπορούν να συλλέγουν και να αποθηκεύουν δεδομένα, να εκτελούν αλγόριθμους, και να ανταλλάσσουν πληροφορίες μέσω δικτύων επικοινωνίας. Παραδείγματα των ανταλλασσόμενων πληροφοριών περιλαμβάνουν δεδομένα ή ενημερώσεις των παράμετρων μοντέλου. Εννοιολογικά, ένα σύστημα μηχανικής μάθησης είναι διαφορετικό από έναν αλγόριθμο μηχανικής μάθησης, δηλαδή ένας αλγόριθμος προσδιορίζει την αφηρημένη υπολογιστική διαδικασία (π.χ. μία μέθοδο βελτιστοποίησης), ενώ το σύστημα προσδιορίζει το πώς αυτή η διαδικασία υλοποιείται στην πράξη [54], [148], [149]. Παραδείγματα αλγόριθμων που εκτελούνται από συσκευές εντός ενός συστήματος μηχανικής μάθησης περιλαμβάνουν μεθόδους με βάση την κλίση για την επίλυση προβλημάτων εμπειρικής ελαχιστοποίησης διακινδύνευσης.

Βλέπε επίσης: ml, συσκευή, data, αλγόριθμος, model parameter, μέθοδος βελτιστοποίησης, μέθοδος με βάση την κλίση, εμπειρική ελαχιστοποίηση διακινδύνευσης.

σύστημα ομοσπονδιακής μάθησης Ένα σύστημα ομοσπονδιακής μάθησης είναι ένα κατανεμημένο σύστημα μηχανικής μάθησης στο οποίο πολλές υπολογιστικές συσκευές συνεργάζονται για την εκπαίδευση μοντέλων μηχανικής μάθησης χωρίς να διαμοιράζονται τα ακατέργαστα τοπικά δεδομένα τους. Ένα σύστημα ομοσπονδιακής μάθησης χαρακτηρίζεται από ένα δίκτυο επικοινωνίας που προσδιορίζει ποιες συσκευές μπορούν να ανταλλάσσουν πληροφορίες. Εννοιολογικά, ένα σύστημα ομοσπονδιακής μάθησης είναι διαφορετικό από έναν αλγόριθμο ομοσπονδιακής μάθησης [147]. Το σύστημα προσδιορίζει τις οντότητες που συμμετέχουν,

τις διασυνδέσεις τους, και τους περιορισμούς εκτέλεσης, ενώ ο αλγόριθμος προσδιορίζει τους κανόνες ενημέρωσης για τις τοπικές και καθολικές παράμετρους μοντέλου [144], [148]. Τυπικές πληροφορίες που ανταλλάσσονται σε ένα σύστημα ομοσπονδιακής μάθησης περιλαμβάνουν παράμετρους μοντέλου ή πληροφορίες κλίσης, αλλά όχι ακατέργαστα δεδομένα. Βλέπε επίσης: FL, σύστημα μηχανικής μάθησης, συσκευή, ml model, data, αλγόριθμος, model parameter, gradient, δίκτυο ομοσπονδιακής μάθησης.

Κανονισμός Μηχανικής Μάθησης

αξιόπιστη τεχνητή νοημοσύνη (αξιόπιστη TN) Εκτός από τις υπολογιστικές διαστάσεις και τις στατιστικές διαστάσεις, μία τρίτη κύρια διάσταση σχεδιασμού μεθόδων μηχανικής μάθησης είναι η αξιοπιστία τους [150]. Η Ευρωπαϊκή Ένωση (ΕΕ) έχει διατυπώσει επτά βασικές απαιτήσεις για αξιόπιστη TN (trustworthy artificial intelligence - trustworthy AI) (οι οποίες συνήθως χτίζουν πάνω σε μεθόδους μηχανικής μάθησης) [151]:

- 1) Ανθρώπινη παρέμβαση και εποπτεία·
- 2) Τεχνική στιβαρότητα και ασφάλεια·
- 3) Ιδιωτικότητα και διακυβέρνηση των δεδομένων·
- 4) Διαφάνεια·
- 5) Διαφορετικότητα, απαγόρευση των διακρίσεων και δικαιοσύνη·
- 6) Κοινωνιακή και περιβαλλοντική ευημερία·
- 7) Λογοδοσία.

Βλέπε επίσης: υπολογιστική διάσταση, στατιστική διάσταση, ml, TN, στιβαρότητα, data, διαφάνεια.

αυτοματοποιημένη λήψη αποφάσεων Η αυτοματοποιημένη λήψη αποφάσεων (automated decision-making) αναφέρεται στις εφαρμογές μηχανικής μάθησης που χρησιμοποιούν προβλέψεις που παράγονται από ένα εκπαιδευμένο μοντέλο απευθείας (δηλαδή χωρίς ανθρώπινη παρέμβαση) για τη λήψη αποφάσεων που επηρεάζουν άτομα. Με βάση τον ΓΚΠΔ,

τα άτομα έχουν το δικαίωμα να μην υπόκεινται σε αποφάσεις που βασίζονται μόνο σε αυτοματοποιημένη επεξεργασία, όταν αυτές οι αποφάσεις έχουν νομικές ή όμοια σημαντικές επιδράσεις, εκτός εάν υλοποιούνται κατάλληλα μέτρα προστασίας (π.χ. ανθρώπινη εποπτεία, δυνατότητα αμφισβήτησης, ή ρητή συγκατάθεση).

Βλέπε επίσης: ml, πρόβλεψη, model, ΓΚΠΔ.

γενικός κανονισμός για την προστασία δεδομένων (ΓΚΠΔ) Ο

ΓΚΠΔ (general data protection regulation - GDPR) θεσπίστηκε από την ΕΕ και τέθηκε σε ισχύ από τις 25 Μαΐου 2018 [59]. Διαφυλάσσει την ιδιωτικότητα και τα δικαιώματα δεδομένων των ατόμων στην ΕΕ. Ο ΓΚΠΔ έχει σημαντικές επιπτώσεις για το πώς συλλέγονται δεδομένα, πώς αποθηκεύονται, και πώς χρησιμοποιούνται στις εφαρμογές μηχανικής μάθησης. Βασικές διατάξεις περιλαμβάνουν τα εξής:

- Αρχή της ελαχιστοποίησης των δεδομένων: Τα συστήματα μηχανικής μάθησης θα πρέπει να χρησιμοποιούν μόνο την απαραίτητη ποσότητα προσωπικών δεδομένων για τον σκοπό τους.
- Διαφάνεια και εξηγησιμότητα: Τα συστήματα μηχανικής μάθησης θα πρέπει να επιτρέπουν στους χρήστες τους να κατανοούν πώς τα συστήματα παίρνουν αποφάσεις που επηρεάζουν τους χρήστες.
- Δικαιώματα των υποκειμένων των δεδομένων: Οι χρήστες θα πρέπει να έχουν την ευκαιρία να έχουν πρόσβαση, να διορθώνουν, και να διαγράφουν τα προσωπικά δεδομένα τους, καθώς και να αντιτίθενται στην αυτοματοποιημένη λήψη αποφάσεων και στην κατάρτιση προφίλ.

- Λογοδοσία: Οι οργανισμοί πρέπει να εξασφαλίζουν την εύρωστη ασφάλεια δεδομένων και να αποδεικνύουν συμμόρφωση μέσω τεκμηρίων και τακτικών ελέγχων.

Βλέπε επίσης: data, ml, data minimization principle, σύστημα μηχανικής μάθησης, προσωπικά δεδομένα, διαφάνεια, εξηγησιμότητα, αυτοματοποιημένη λήψη αποφάσεων, κατάρτιση προφίλ.

διαφάνεια Η διαφάνεια είναι μία θεμελιώδης απαίτηση για αξιόπιστη TN [152].

Στο πλαίσιο μεθόδων μηχανικής μάθησης, η διαφάνεια χρησιμοποιείται συχνά εναλλακτικά με την εξηγησιμότητα [86], [153]. Ωστόσο, στο ευρύτερο πεδίο συστημάτων TN, η διαφάνεια επεκτείνεται πέρα από την εξηγησιμότητα και περιλαμβάνει την παροχή πληροφοριών σχετικά με τους περιορισμούς, την αξιοπιστία, και την επιθυμητή χρήση του συστήματος. Σε συστήματα ιατρικής διάγνωσης, η διαφάνεια απαιτεί τη γνωστοποίηση του επιπέδου εμπιστοσύνης για τις προβλέψεις που παραδίδονται από ένα εκπαιδευμένο μοντέλο. Στην πιστωτική ικανότητα, οι αποφάσεις δανεισμού που βασίζονται στην TN θα πρέπει να συνοδεύονται από εξηγήσεις παραγόντων που συμβάλλουν, όπως το επίπεδο εισοδήματος ή το πιστωτικό ιστορικό. Αυτές οι εξηγήσεις επιτρέπουν τους ανθρώπους (π.χ. έναν αιτούντα δανείου) να κατανοήσουν και να αμφισβητήσουν αυτοματοποιημένες αποφάσεις. Κάποιες μέθοδοι μηχανικής μάθησης προσφέρουν εγγενώς διαφάνεια. Για παράδειγμα, η λογιστική παλινδρόμηση παρέχει ένα ποσοτικό μέτρο της αξιοπιστίας της ταξινόμησης μέσω της τιμής $|h(\mathbf{x})|$. Ένα ακόμα παράδειγμα αποτελούν τα δέντρα αποφάσεων, καθώς επιτρέπουν κανόνες αποφάσεων που είναι αναγνώσιμοι από άνθρω-

πο [65]. Η διαφάνεια επίσης απαιτεί μία σαφή ένδειξη όταν ένας χρήστης αλληλεπιδρά με ένα σύστημα TN. Για παράδειγμα, τα chatbots που λειτουργούν με TN θα πρέπει να ειδοποιούν τους χρήστες ότι αλληλεπιδρούν με ένα αυτοματοποιημένο σύστημα και όχι με άνθρωπο. Επιπλέον, η διαφάνεια συμπεριλαμβάνει περιεκτική τεκμηρίωση που περιγράφει λεπτομερώς τον σκοπό και τις επιλογές σχεδιασμού που αποτελούν τη βάση του συστήματος TN. Για παράδειγμα, τα φύλλα δεδομένων μοντέλων [124] και οι κάρτες συστημάτων TN [154] βοηθούν τους επαγγελματίες να κατανοήσουν τις περιπτώσεις επιθυμητής χρήσης και τους περιορισμούς ενός συστήματος TN [155].

Βλέπε επίσης: αξιόπιστη TN, ml, εξηγησιμότητα, σύστημα TN, πρόβλεψη, model, TN, εξήγηση, λογιστική παλινδρόμηση, μέτρο, ταξινόμηση, decision tree.

κατάρτιση προφίλ Η κατάρτιση προφίλ (profiling) στοχεύει στην αναγνώριση μοτίβων και στην εξαγωγή συμπερασμάτων σχετικά με άτομα βάσει των δεδομένων τους. Οι τεχνικές κατάρτισης προφίλ χρησιμοποιούν μεθόδους μηχανικής μάθησης για να προβλέψουν την επίδοση ατόμων στη δουλειά, την οικονομική τους κατάσταση, την υγεία ή τις προσωπικές τους προτιμήσεις. Η κατάρτιση προφίλ είναι καίρια για τη στοχευμένη διαφήμιση, την πιστωτική ικανότητα, τον εντοπισμό απάτης, και τις εξατομικευμένες υπηρεσίες. Ο ΓΚΠΔ επιβάλλει αυστηρές απαιτήσεις σε οργανισμούς που ασχολούνται με δραστηριότητες κατάρτισης προφίλ ώστε να εξασφαλίζεται η προστασία των δικαιωμάτων των ατόμων [59].

Βλέπε επίσης: data, ml, ΓΚΠΔ.

προσωπικά δεδομένα Προσωπικά δεδομένα (personal data) είναι κάθε πληροφορία που σχετίζεται με ένα ταυτοποιημένο ή ταυτοποιήσιμο φυσικό πρόσωπο (δηλαδή το υποκείμενο των δεδομένων). Ένα φυσικό πρόσωπο είναι ταυτοποιήσιμο αν μπορεί να ταυτοποιηθεί, άμεσα ή έμμεσα, συγκεκριμένα με αναφορά σε ένα αναγνωριστικό όπως όνομα, αριθμό ταυτοποίησης, δεδομένα τοποθεσίας, διαδικτυακό αναγνωριστικό, ή έναν ή περισσότερους παράγοντες συγκεκριμένα για τη σωματική, φυσιολογική, γενετική, διανοητική, οικονομική, πολιτιστική, ή κοινωνική ταυτότητα αυτού του ατόμου [59]. Στα συστήματα μηχανικής μάθησης, προσωπικά δεδομένα μπορεί να εμφανίζονται στα δεδομένα εκπαίδευσης, στις εισόδους του μοντέλου, στις ενδιάμεσες αναπαραστάσεις (π.χ. διανύσματα χαρακτηριστικών ή εμφυτεύσεις), ή στις εξόδους του μοντέλου, εφόσον οι πληροφορίες σχετίζονται με ένα ταυτοποιήσιμο φυσικό πρόσωπο. Ο Κανονισμός της ΕΕ για την ΤΝ (Artificial Intelligence Act - AI Act) δεν εισάγει έναν ξεχωριστό ορισμό για τα προσωπικά δεδομένα· αντ' αυτού, κάθε φορά που ένα σύστημα ΤΝ επεξεργάζεται προσωπικά δεδομένα, εφαρμόζονται πλήρως ο ορισμός και οι υποχρεώσεις του ΓΚΠΔ.

Βλέπε επίσης: data, σύστημα μηχανικής μάθησης, εκπαίδευση, model, διάνυσμα χαρακτηριστικών, output, σύστημα ΤΝ, ΓΚΠΔ.

προϊόν βαθυπαραποίησης Τα προϊόντα βαθυπαραποίησης (deep fakes) είναι συνθετικά μέσα που παράγονται ή τροποποιούνται σημαντικά από ένα σύστημα ΤΝ, έτσι ώστε να φαίνεται ψευδώς ότι απεικονίζουν ένα πραγματικό πρόσωπο, αντικείμενο, ή γεγονός. Τα προϊόντα βαθυπαραποίησης παράγονται συνήθως με τη χρήση παραγωγικών μεθόδων, οι οποίες εκπαιδεύονται να μιμούνται οπτικά, ακουστικά, ή οπτικοακουστικά χαρακτη-

ριστικά πραγματικών δεδομένων. Από άποψη συστήματος, τα προϊόντα βαθυπαραποίησης χαρακτηρίζονται από μία σκόπιμη ασυμβατικότητα μεταξύ του παρατηρήσιμου περιεχομένου και της πραγματικής προέλευσης, γεγονός που μπορεί να οδηγήσει σε απάτη, παραπληροφόρηση, ή χειραγώγηση.

Βλέπε επίσης: σύστημα TN, γεγονός, data.

σύστημα τεχνητής νοημοσύνης (σύστημα TN) Ο Κανονισμός της

ΕΕ για την TN (AI Act) [156] ορίζει ένα σύστημα TN (artificial intelligence system - AI system) ως ένα σύστημα βασισμένο σε μηχανή που έχει σχεδιαστεί να λειτουργεί με μεταβαλλόμενα επίπεδα αυτονομίας και που μπορεί να επιδεικνύει προσαρμοστικότητα (π.χ. επανεκπαίδευση μοντέλου) μετά την ανάπτυξή του. Τα συστήματα TN υπολογίζουν προβλέψεις που μπορούν να επηρεάσουν περιβάλλοντα ή αποφάσεις [157]. Σε συμφωνία με αυτόν τον ορισμό, οι κανονιστικές υποχρεώσεις και οι κατηγορίες κινδύνου εφαρμόζονται στο επίπεδο του συστήματος TN και όχι στο επίπεδο μεμονωμένων μοντέλων ή αλγόριθμων. Η εξέταση σε επίπεδο συστήματος τονίζει ότι οι ιδιότητες όπως η στιβαρότητα, η δικαιοσύνη, και η διαφάνεια προκύπτουν από την αλληλεπίδραση των μοντέλων, των δεδομένων, και του λειτουργικού πλαισίου, και όχι από μεμονωμένες συνιστώσες.

Βλέπε επίσης: TN, model, πρόβλεψη, αλγόριθμος, στιβαρότητα, διαφάνεια, data.

σύστημα τεχνητής νοημοσύνης υψηλού κινδύνου (σύστημα TN υψηλού κινδύνου)

Ένα υποσύνολο των συστημάτων TN ταξινομείται ως υψηλού κινδύνου

λόγω της δυνατότητάς του να επηρεάζει σημαντικά την ασφάλεια, τα θεμελιώδη δικαιώματα, ή τις κοινωνικές λειτουργίες ζωτικής σημασίας. Τα συστήματα TN υψηλού κινδύνου (high-risk artificial intelligence system - high-risk AI system) υπόκεινται σε αυστηρές κανονιστικές απαιτήσεις με βάση τον Κανονισμό της ΕΕ για την TN (AI Act), οι οποίες περιλαμβάνουν αξιολογήσεις συμμόρφωσης, διαχείριση κινδύνου, υποχρεώσεις διαφάνειας, και παρακολούθηση μετά τη διάθεση στην αγορά [157]. Παραδείγματα συστημάτων TN υψηλού κινδύνου περιλαμβάνουν εκείνα που χρησιμοποιούνται σε υποδομές ζωτικής σημασίας, στην εκπαίδευση, στην απασχόληση, στην επιβολή του νόμου, και στη βιομετρική ταυτοποίηση. Βλέπε επίσης: σύστημα TN, διαφάνεια.

SHapley Additive exPlanations (SHAP) SHAP is a post hoc method for explaining the πρόβλεψη $\hat{h}(\mathbf{x})$ of a trained model $\hat{h} \in \mathcal{H}$ at a given διάνυσμα χαρακτηριστικών $\mathbf{x} = (x_1, \dots, x_d)^T$. SHAP values are computed after model εκπαίδευση and can be used to analyze the relative importance of different features for the πρόβλεψη $\hat{h}(\mathbf{x})$ [82].
See also: πρόβλεψη, εκπαίδευση.

Index

αβεβαιότητα	72	ανάστροφος	28
αισιοδοξία παρά την αβεβαιότητα	72	ανεξάρτητες και ταυτόσημα κατανεμημένες	28
ακολουθία	27	ανισότητα του Markov	29
ακολουθία Cauchy	66	ανισότητα συγκέντρωσης	29
ακραία τιμή	74	ανισότητα του Chebyshev	29
ακρίβεια	160	ανισότητα του Hoeffding	29
ακρίβεια	74	ανταμοιβή	79
αλγεβρική συνεκτικότητα	28	αντικειμενική συνάρτηση	80
αλγόριθμος	75	αντιστροφή μοντέλου	81
αλγόριθμος k -μέσων	76	αντίστροφος πίνακας	29
αμοιβαίες πληροφορίες	76	άνω φράγμα εμπιστοσύνης (ΑΦΕ)	82
αμφικλινής παλινδρόμηση	77	αξιολόγηση πολιτικής	237
ανάκληση	78	αξιόπιστη τεχνητή νοημοσύνη (αξιόπιστη TN)	249
ανάλυση ιδιαζουσών τιμών	78	απεικόνιση	67
ανάλυση ιδιοτιμών	79	απόκλιση	83
ανάλυση κύριων συνιστωσών	79		

απόκλιση Kullback-Leibler (απόκλιση KL)	83	βαθμός συσχέτισης	89
απόκλιση Rényi	83	βαθύ δίκτυο	89
αποτελεσματική διάσταση	84	βάρη	90
απώλεια	84	βάρος ακμής	91
απώλεια απόλυτου σφάλματος	84	βάση αναφοράς	91
απώλεια άρθρωσης	86	βελτιστοποίηση	31
απώλεια τετραγωνικού σφάλματος	87	βήμα κλίσης	93
απώλεια Huber	88	γεγονός	31
αριθμός συνθήκης	88	γείτονας	95
αρχή της ελαχιστοποίησης των δεδομένων	88	γειτονιά	31
αυτοεποπτευόμενη μάθηση	89	γενικευμένη ολική μεταβολή	95
αυτοκωδικοποιητής	89	γενίκευση	95
αυτόματο	245	γενικός κανονισμός για την προστασία δεδομένων (ΓΚΠΔ)	250
αυτοματοποιημένη λήψη αποφάσεων	249	γινόμενο Kronecker	97
βαθιά μάθηση	89	γραμμικά ανεξάρτητο	32
βαθμός κόμβου	30	γραμμική απεικόνιση	67
		γραμμική παλινδρόμηση	98

γραμμικό μοντέλο	98	διάμεσος	230
γραμμικός ταξινομητής	100	διάνυσμα	33
γράφος	32	διάνυσμα ετικετών	108
γράφος ομοιότητας	101	διάνυσμα χαρακτηριστικών	108
δεδομένα	101	διανυσματικός χώρος	34
δείγμα	101	διαρροή ιδιωτικότητας	108
δειγματικός χώρος	102	διάσταση Vapnik–Chervonenkis	109
δέντρο αποφάσεων	102	διασταυρούμενη επικύρωση	111
δέσμη	103	k -αναδιπλώσεων	
δηλητηρίαση δεδομένων	103	δίαιλος ιδιωτικότητας	111
διάγραμμα διασποράς	104	διαφάνεια	251
διαδικασία απόφασης Markov	237	διαφορική εντροπία	35
διαδικτυακή μάθηση	105	διαφορική ιδιωτικότητα	112
διαδικτυακός αλγόριθμος	106	διεπαφή προγραμματισμού εφαρμογών	112
διακινδύνευση	106	δίκτυο ομοσπονδιακής μάθησης	113
διακινδύνευση Bayes	107	δυαδική ταξινόμηση	114
διακριτή τυχαία μεταβλητή	32	δυναμικό σύστημα	245
διακύμανση	107		

έχβαση	35	εξαγωγή συμπερασμάτων	119
εκκίνηση	114	εξήγηση	119
εκπαίδευση	115	εξηγήσιμη εμπειρική ελαχιστοποίηση διακινδύνευσης	120
εκτιμητής Bayes	115	εξηγήσιμη μηχανική μάθηση	121
ελάχιστο	36	εξηγησιμότητα	121
ελάχιστο άνω φράγμα (ή supremum)	115	εξίσωση σταθερού σημείου	36
ελαχιστοποίηση γενικευμένης ολικής μεταβολής	115	έξοδος	122
ελαχιστοποίηση δομικής διακινδύνευσης	116	επανάληψη	122
εμπειρική διακινδύνευση	116	επανάληψη σταθερού σημείου	122
εμπειρική ελαχιστοποίηση διακινδύνευσης	117	επανάληψη τιμής	241
εμπειρική κατανομή	67	επαυξημένος κατά Lagrange	36
εμπειρογνώμονας	118	επαύξηση δεδομένων	124
ενέργεια	239	επίθεση	125
ενεργοποίηση	119	επίθεση άρνησης υπηρεσιών	126
ενισχυτική μάθηση	240	επίθεση της ιδιωτικότητας	126
εντροπία	36	επικύρωση	126
		επιλογή μοντέλου	127

εργασία μάθησης	127	κάθοδος υποκλίσης	133
ερμηνευσιμότητα	127	κανονικοποίηση δεδομένων	134
Εσσιανός	37	κατανεμημένος αλγόριθμος	134
εσωτερικό γινόμενο	38	κατανομή πιθανότητας	135
ετικέτα	129	κατάρτιση προφίλ	252
ευαίσθητο ιδιοχαρακτηριστικό	129	κατάσταση	40
Ευκλείδεια απόσταση	38	κεντρικό οριακό θεώρημα	136
Ευκλείδεια νόρμα	38	κερκόπορτα	136
Ευκλείδειος χώρος	39	κλίση	137
ευστάθεια	129	κριτήριο τερματισμού	137
ημιεποπτευόμενη μάθηση	130	κυρτή βελτιστοποίηση	68
θετικά ημιορισμένος	39	κυρτή συσταδοποίηση	138
ιδιοδιάνυσμα	131	κυρτό	40
ιδιότητα Markov	39	λεία	138
ιδιοτιμή	39	λογιστική απώλεια	139
ιστόγραμμα	131	λογιστική παλινδρόμηση	140
ίχνος	40	μάθηση πολυδιεργασίας	141
κάθοδος κλίσης	132	μάθηση χαρακτηριστικών	141

μαλακή συσταδοποίηση	142	μέσος βαθμός κόμβου	43
μεγάλο γλωσσικό μοντέλο	143	μετασχηματιστής	149
μέγεθος βήματος	144	μετρήσιμο	43
μέγεθος δείγματος	144	μετρική	45
μέγιστο	144	μετρικός χώρος	45
μέθοδος βελτιστοποίησης	41	μέτρο	47
μέθοδος εναλλασσόμενων διευθύνσεων των πολλαπλασιαστών	41	μη κατευθυνόμενος γράφος	47
		μη λεία	150
μέθοδος με βάση την κλίση	144	μηχανή διανυσμάτων υποστήριξης (ΜΔΥ)	150
μέθοδος πυρήνα	144		
μέθοδος των πολλαπλασιαστών	42	μηχανική μάθηση	151
μείωση της διαστασιμότητας	146	μηχανική μάθηση ως υπηρεσία	246
μερική παράγωγος	68	μονάδα δεδομένων	151
μεροληψία	147	μοντέλο	152
μέση τιμή	148	μοντέλο στοχαστικής ομάδας	153
μέση τιμή δείγματος	149	νεφροϋπολογιστική	246
μέσο τετραγωνικό σφάλμα εκτίμησης	149	νόμος των μεγάλων αριθμών	153
		νόρμα	154

ολική μεταβολή	154	παραγωγίσιμη	162
ολοκλήρωμα Lebesgue	47	παραδοχή ανεξάρτητων και ταυτόσημα κατανεμημένων	162
ολοκληρώσιμη	47	παραδοχή συσταδοποίησης	163
ομαλοποιημένη ελαχιστοποίηση απώλειας	154	παραμετρικός χώρος	206
ομαλοποιημένη ελαχιστοποίηση εμπειρικής διακινδύνευσης	154	παράμετρος	163
ομαλοποίηση	155	παράμετροι μοντέλου	163
ομαλοποιητής	157	παράμετρος μοντέλου	164
ομοσπονδιακή μάθηση	158	πεδίο	47
οπισθοδιάδοση	158	πεδίο τιμών	47
οριζόντια ομοσπονδιακή μάθηση	160	περιοχή αποφάσεων	164
ορίζουσα	68	πιθανότητα	164
όριο	69	πιθανοτικό μοντέλο	48
όριο απόφασης	161	πίνακας	48
παλινδρόμηση	161	πίνακας σύγχυσης	164
παλινδρόμηση ελάχιστης απόλυτης απόκλισης	161	πίνακας συνδιακύμανσης	50
παλινδρόμηση Huber	161	πίνακας συνδιακύμανσης δείγματος	165
		πίνακας χαρακτηριστικών	165

πίνακας Laplace	165	προσοχή	171
πλήρους τάξης	50	προστασία της ιδιωτικότητας	173
πλησιέστερος γείτονας	166	προσωπικά δεδομένα	252
πολιτική	241	πυρήνας	173
πολυμεταβλητή κανονική κατανομή	50	ρήτρα μεταβολής γνώμης	241
πολυπλοκότητα Rademacher	167	ρυθμός μάθησης	175
πολυωνυμική παλινδρόμηση	167	σημείο δεδομένων	175
πραγμάτωση	168	σημείο δεδομένων με ετικέτα	178
προβεβλημένη κάθετος κλίσης	168	σ-άλγεβρα	52
πρόβλεψη	169	σκληρή συσταδοποίηση	178
πρόβλημα βελτιστοποίησης	69	σταθερό σημείο	52
προβολή	169	στατιστική διάσταση	178
προγνωστικός παράγοντας	170	στιβαρότητα	178
προεικόνα	52	στοίβαξη	179
προϊόν βαθυπαραποίησης	253	στοχαστική	52
προσδοκία	170	στοχαστική διαδικασία	52
προσεγγίσιμος	171	στοχαστική κάθετος κλίσης	179
		στοχαστικός αλγόριθμος	180

στρώμα	181	σύνολο ελέγχου	188
σύγκλιση	53	σύνολο επικύρωσης	189
συμμετρικός πίνακας	54	συσκευή	189
συνάρτηση	54	συστάδα	189
συνάρτηση απώλειας	181	συσταδοποίηση	191
συνάρτηση ενεργοποίησης	182	συσταδοποίηση γράφου	191
συνάρτηση κατάστασης-τιμής	242	συσταδοποίηση με βάση τη ροή	191
συνάρτηση μάζας πιθανότητας	55	σύστημα μηχανικής μάθησης	246
συνάρτηση πυκνότητας πιθανότητας	183	σύστημα ομοσπονδιακής μάθησης	247
συνάρτηση τιμής	242	σύστημα τεχνητής νοημοσύνης (σύστημα TN)	254
συνδιακύμανση	183	σύστημα τεχνητής νοημοσύνης υψηλού κινδύνου (σύστημα TN υψηλού κινδύνου)	254
συνεκτικός	55	συστολικός τελεστής	56
συνεχής	56	σφάλμα εκπαίδευσης	192
συνθήκη μηδενικής κλίσης	184	σφάλμα εκτίμησης	192
σύνολο	184	σφάλμα επικύρωσης	193
σύνολο δεδομένων	186	τάξη	57
σύνολο εκπαίδευσης	188		

ταξινόμηση	193	υπολογιστική διάσταση	199
ταξινομητής	193	υποπροσαρμογή	199
τελεστής	57	υπό συνθήκη κατανομή πιθανότητας	60
τελεστής εγγύτητας	194	υπό συνθήκη προσδοκία	61
τελεστής ελάχιστης απόλυτης συρρίκνωσης και επιλογής	195	υποχώρος	61
τελεστής Bellman	242	φασματική συσταδοποίηση	200
τετραγωνική συνάρτηση	195	φασματογράφημα	207
τεχνητή νοημοσύνη (TN)	196	Φινλανδικό Μετεωρολογικό Ινστιτούτο	203
τεχνητό νευρωνικό δίκτυο (TNΔ)	196	φράγμα Chernoff	61
τοπικό μοντέλο	197	χαρακτηριστική συνάρτηση	61
τοπικό σύνολο δεδομένων	197	χαρακτηριστικό	203
τυχαία μεταβλητή	57	χάρτης χαρακτηριστικών	203
τυχαίο δάσος	198	χάσμα γενίκευσης	204
τυχαίο πείραμα	58	χωρική συσταδοποίηση εφαρμογών με θόρυβο με βάση την πυκνότητα	205
υπερπροσαρμογή	198		
υπόθεση	198	χώρος ενεργειών	244
υποκλίση	199	χώρος ετικετών	205

χώρος καταστάσεων	61	χώρος χαρακτηριστικών	209
χώρος μέτρου	61	χώρος Hilbert	63
χώρος πιθανοτήτων	62	ψευδοαντίστροφος	64
χώρος στηλών	63	0/1 απώλεια	210
χώρος υποθέσεων	208		

References

- [1] W. Rudin, *Real and Complex Analysis*, 3rd ed. New York, NY, USA: McGraw-Hill, 1987.
- [2] W. Rudin, *Principles of Mathematical Analysis*, 3rd ed. New York, NY, USA: McGraw-Hill, 1976.
- [3] G. H. Golub and C. F. Van Loan, *Matrix Computations*, 4th ed. Baltimore, MD, USA: The Johns Hopkins Univ. Press, 2013.
- [4] G. H. Golub and C. F. Van Loan, “An analysis of the total least squares problem,” *SIAM J. Numer. Anal.*, vol. 17, no. 6, pp. 883–893, Dec. 1980, doi: 10.1137/0717073.
- [5] A. Klenke, *Probability Theory: A Comprehensive Course*, 3rd ed. Cham, Switzerland: Springer Nature, 2020.
- [6] P. Billingsley, *Probability and Measure*, 3rd ed. New York, NY, USA: Wiley, 1995.
- [7] D. P. Bertsekas and J. N. Tsitsiklis, *Introduction to Probability*, 2nd ed. Belmont, MA, USA: Athena Scientific, 2008.
- [8] A. Jung, *Machine Learning: The Basics*. Singapore, Singapore: Springer Nature, 2022.
- [9] F. R. K. Chung, *Spectral Graph Theory*. Providence, RI, USA: American Mathematical Society, 1997.

- [10] D. A. Spielman, *Spectral and Algebraic Graph Theory (Incomplete Draft)*. Ebook, 2025, Accessed: December 9, 2025. [Online]. Available: <http://cs-www.cs.yale.edu/homes/spielman/sagt>
- [11] M. J. Wainwright, *High-Dimensional Statistics: A Non-Asymptotic Viewpoint*. Cambridge, U.K.: Cambridge Univ. Press, 2019.
- [12] G. Strang, *Computational Science and Engineering*. Wellesley, MA, USA: Wellesley-Cambridge Press, 2007.
- [13] R. A. Horn and C. R. Johnson, *Topics in Matrix Analysis*. Cambridge, U.K.: Cambridge Univ. Press, 1991.
- [14] T. Opsahl, F. Agneessens, and J. Skvoretz, “Node centrality in weighted networks: Generalizing degree and shortest paths,” *Social Netw.*, vol. 32, no. 3, pp. 245–251, Jul. 2010, doi: 10.1016/j.socnet.2010.03.006.
- [15] R. Durrett, *Probability: Theory and Examples*, 4th ed. Cambridge, U.K.: Cambridge Univ. Press, 2010.
- [16] R. T. Rockafellar, *Network Flows and Monotropic Optimization*. Belmont, MA, USA: Athena Scientific, 1998.
- [17] G. B. Folland, *Real Analysis: Modern Techniques and Their Applications*, 2nd ed. New York, NY, USA: Wiley, 1999.
- [18] T. M. Cover and J. A. Thomas, *Elements of Information Theory*, 2nd ed. Hoboken, NJ, USA: Wiley, 2006.
- [19] S. Boyd and L. Vandenberghe, *Convex Optimization*. Cambridge, U.K.: Cambridge Univ. Press, 2004.

- [20] P. R. Halmos, *Finite-Dimensional Vector Spaces*. New York, NY, USA: Springer-Verlag, 1974.
- [21] B. Schölkopf and A. J. Smola, *Learning with Kernels: Support Vector Machines, Regularization, Optimization, and Beyond*. Cambridge, MA, USA: MIT Press, 2002.
- [22] R. S. Sutton and A. G. Barto, *Reinforcement Learning: An Introduction*, 2nd ed. Cambridge, MA, USA: MIT Press, 2018.
- [23] D. P. Bertsekas, *Dynamic Programming and Optimal Control*, vol. 2, 3rd ed. Belmont, MA, USA: Athena Scientific, 2007.
- [24] D. P. Bertsekas, *Nonlinear Programming*, 2nd ed. Belmont, MA, USA: Athena Scientific, 1999.
- [25] Y. Nesterov, *Introductory Lectures on Convex Optimization: A Basic Course*. Boston, MA, USA: Kluwer Academic, 2004.
- [26] S. Boyd, N. Parikh, E. Chu, B. Peleato, and J. Eckstein, “Distributed optimization and statistical learning via the alternating direction method of multipliers,” *Found. Trends Mach. Learn.*, vol. 3, no. 1, pp. 1–122, Jul. 2011, doi: 10.1561/22000000016.
- [27] I. Goodfellow, Y. Bengio, and A. Courville, *Deep Learning*. Cambridge, MA, USA: MIT Press, 2016.
- [28] C. M. Bishop, *Pattern Recognition and Machine Learning*. New York, NY, USA: Springer Science+Business Media, 2006.

- [29] E. L. Lehmann and G. Casella, *Theory of Point Estimation*, 2nd ed. New York, NY, USA: Springer-Verlag, 1998.
- [30] G. Strang, *Introduction to Linear Algebra*, 5th ed. Wellesley, MA, USA: Wellesley-Cambridge Press, 2016.
- [31] R. M. Gray, *Probability, Random Processes, and Ergodic Properties*, 2nd ed. New York, NY, USA: Springer Science+Business Media, 2009.
- [32] A. Lapidoth, *A Foundation in Digital Communication*. Cambridge, U.K.: Cambridge Univ. Press, 2009.
- [33] A. Lapidoth, *A Foundation in Digital Communication*, 2nd ed. Cambridge, U.K.: Cambridge Univ. Press, 2017.
- [34] P. J. Brockwell and R. A. Davis, *Time Series: Theory and Methods*, 2nd ed. New York, NY, USA: Springer-Verlag, 1991.
- [35] A. Papoulis and S. U. Pillai, *Probability, Random Variables, and Stochastic Processes*, 4th ed. New York, NY, USA: McGraw-Hill Higher Education, 2002.
- [36] H. H. Bauschke and P. L. Combettes, *Convex Analysis and Monotone Operator Theory in Hilbert Spaces*. New York, NY, USA: Springer Science+Business Media, 2011.
- [37] N. Parikh and S. Boyd, “Proximal algorithms,” *Found. Trends Optim.*, vol. 1, no. 3, pp. 127–239, Jan. 2014, doi: 10.1561/24000000003.

- [38] H. H. Bauschke and P. L. Combettes, *Convex Analysis and Monotone Operator Theory in Hilbert Spaces*, 2nd ed. New York, NY, USA: Springer Science+Business Media, 2017.
- [39] N. Dunford and J. T. Schwartz, *Linear Operators, Part I: General Theory*. New York, NY, USA: Wiley, 1988.
- [40] O. Kallenberg, *Foundations of Modern Probability*. New York, NY, USA: Springer-Verlag, 1997.
- [41] P. R. Halmos, *Measure Theory*. New York, NY, USA: Springer-Verlag, 1974.
- [42] S. Ross, *A First Course in Probability*, 9th ed. Boston, MA, USA: Pearson Education, 2014.
- [43] N. Young, *An Introduction to Hilbert Space*. New York, NY, USA: Cambridge Univ. Press, 1988.
- [44] T. Hastie, R. Tibshirani, and J. Friedman, *The Elements of Statistical Learning: Data Mining, Inference, and Prediction*, 2nd ed. New York, NY, USA: Springer Science+Business Media, 2009.
- [45] A. Ben-Israel and T. N. E. Greville, *Generalized Inverses: Theory and Applications*, 2nd ed. New York, NY, USA: Springer-Verlag, 2003.
- [46] M. E. Tipping and C. M. Bishop, “Probabilistic principal component analysis,” *J. Roy. Statist. Soc.: Ser. B (Statist. Methodology)*, vol. 61, no. 3, pp. 611–622, 1999, doi: 10.1111/1467-9868.00196.

- [47] H. J. Dirschmid, *Tensors and Fields*, (in German). Vienna, Austria: Springer-Verlag, 1996.
- [48] R. A. Horn and C. R. Johnson, *Matrix Analysis*, 2nd ed. New York, NY, USA: Cambridge Univ. Press, 2013.
- [49] S. Shalev-Shwartz and S. Ben-David, *Understanding Machine Learning: From Theory to Algorithms*. New York, NY, USA: Cambridge Univ. Press, 2014.
- [50] S. Bubeck and N. Cesa-Bianchi, “Regret analysis of stochastic and non-stochastic multi-armed bandit problems,” *Found. Trends Mach. Learn.*, vol. 5, no. 1, pp. 1–122, Dec. 2012, doi: 10.1561/22000000024.
- [51] M. Kearns and M. Li, “Learning in the presence of malicious errors,” *SIAM J. Comput.*, vol. 22, no. 4, pp. 807–837, Aug. 1993, doi: 10.1137/0222052.
- [52] G. Lugosi and S. Mendelson, “Robust multivariate mean estimation: The optimality of trimmed mean,” *Ann. Statist.*, vol. 49, no. 1, pp. 393–410, Feb. 2021, doi: 10.1214/20-AOS1961.
- [53] T. H. Cormen, C. E. Leiserson, R. L. Rivest, and C. Stein, *Introduction to Algorithms*, 4th ed. Cambridge, MA, USA: MIT Press, 2022.
- [54] M. Sipser, *Introduction to the Theory of Computation*, 3rd ed. Andover, U.K.: Cengage Learning, 2013.
- [55] M. Fredrikson, S. Jha, and T. Ristenpart, “Model inversion attacks that exploit confidence information and basic countermeasures,” in *Proc.*

- 22nd ACM SIGSAC Conf. Comput. Commun. Secur.*, Oct. 2015, pp. 1322–1333, doi: 10.1145/2810103.2813677.
- [56] I. Csiszar, “Generalized cutoff rates and Renyi’s information measures,” *IEEE Trans. Inf. Theory*, vol. 41, no. 1, pp. 26–34, Jan. 1995, doi: 10.1109/18.370121.
 - [57] S. Sra, S. Nowozin, and S. J. Wright, Eds., *Optimization for Machine Learning*. Cambridge, MA, USA: MIT Press, 2012.
 - [58] C. H. Lampert, “Kernel methods in computer vision,” *Found. Trends Comput. Graph. Vis.*, vol. 4, no. 3, pp. 193–285, Sep. 2009, doi: 10.1561/06000000027.
 - [59] European Parliament and Council of the European Union, “Regulation (EU) 2016/679 of the European Parliament and of the Council of 27 April 2016 on the protection of natural persons with regard to the processing of personal data and on the free movement of such data, and repealing Directive 95/46/EC (General Data Protection Regulation) (Text with EEA relevance),” *Official Journal of the European Union*, L 119/1, May 4, 2016, Accessed: July, 2025. [Online]. Available: <https://eur-lex.europa.eu/eli/reg/2016/679/oj>
 - [60] European Parliament and Council of the European Union, “Regulation (EU) 2018/1725 of the European Parliament and of the Council of 23 October 2018 on the protection of natural persons with regard to the processing of personal data by the Union institutions, bodies, offices and agencies and on the free movement of such data, and repealing

Regulation (EC) No 45/2001 and Decision No 1247/2002/EC (Text with EEA relevance),” Official Journal of the European Union, L 295/39, Nov. 21, 2018, Accessed: December 1, 2025. [Online]. Available: <https://eur-lex.europa.eu/eli/reg/2018/1725/oj>

- [61] M. P. Salinas et al., “A systematic review and meta-analysis of artificial intelligence versus clinicians for skin cancer diagnosis,” *npj Digit. Med.*, vol. 7, no. 1, May 2024, Art. no. 125, doi: 10.1038/s41746-024-01103-x.
- [62] G. F. Cooper, “The computational complexity of probabilistic inference using bayesian belief networks,” *Artif. Intell.*, vol. 42, no. 2–3, pp. 393–405, Mar. 1990, doi: 10.1016/0004-3702(90)90060-D.
- [63] J. Su, D. V. Vargas, and K. Sakurai, “One pixel attack for fooling deep neural networks,” *IEEE Trans. Evol. Comput.*, vol. 23, no. 5, pp. 828–841, Oct. 2019, doi: 10.1109/TEVC.2019.2890858.
- [64] S. Mallat, “Understanding deep convolutional networks,” *Philos. Trans. Roy. Soc. A*, vol. 374, no. 2065, Apr. 2016, Art. no. 20150203, doi: 10.1098/rsta.2015.0203.
- [65] C. Rudin, “Stop explaining black box machine learning models for high-stakes decisions and use interpretable models instead,” *Nature Mach. Intell.*, vol. 1, no. 5, pp. 206–215, May 2019, doi: 10.1038/s42256-019-0048-x.
- [66] M. T. Ribeiro, S. Singh, and C. Guestrin, “Why should i trust you?: Explaining the predictions of any classifier,” in *Proc. 22nd ACM SIGKDD*

- Int. Conf. Knowl. Discovery Data Mining*, Aug. 2016, pp. 1135–1144, doi: 10.1145/2939672.2939778.
- [67] J. Heinonen, “Lectures on Lipschitz analysis,” Dept. Math. Statist., Univ. Jyväskylä, Jyväskylä, Finland, Rep. 100, 2005. [Online]. Available: <http://www.math.jyu.fi/research/reports/rep100.pdf>
 - [68] B. S. Everitt and A. Skrondal, *The Cambridge Dictionary of Statistics*, 4th ed. Cambridge, U.K.: Cambridge Univ. Press, 2010.
 - [69] G. Upton and I. Cook, *A Dictionary of Statistics*, 3rd ed. Oxford, U.K.: Oxford Univ. Press, 2014.
 - [70] International Organization for Standardization and International Electrotechnical Commission, “Information technology — Vocabulary,” ISO/IEC 2382:2015, 2015, Accessed: September 21, 2025. [Online]. Available: <https://www.iso.org/standard/63598.html>
 - [71] R. B. Ash, *Probability and Measure Theory*, 2nd ed. San Diego, CA, USA: Academic, 2000.
 - [72] X. Liu, H. Li, G. Xu, Z. Chen, X. Huang, and R. Lu, “Privacy-enhanced federated learning against poisoning adversaries,” *IEEE Trans. Inf. Forensics Security*, vol. 16, pp. 4574–4588, 2021, doi: 10.1109/TIFS.2021.3108434.
 - [73] J. Zhang, B. Chen, X. Cheng, H. T. T. Binh, and S. Yu, “PoisonGAN: Generative poisoning attacks against federated learning in edge computing systems,” *IEEE Internet Things J.*, vol. 8, no. 5, pp. 3310–3322, Mar. 2021, doi: 10.1109/JIOT.2020.3023126.

- [74] A. Ünsal and M. Önen, “Information-theoretic approaches to differential privacy,” *ACM Comput. Surv.*, vol. 56, no. 3, Oct. 2023, Art. no. 76, doi: 10.1145/3604904.
- [75] V. N. Vapnik and A. Y. Chervonenkis, “On the uniform convergence of relative frequencies of events to their probabilities,” in *Measures of Complexity: Festschrift for Alexey Chervonenkis*. Cham, Switzerland: Springer, 2015, ch. 3, pp. 11–30.
- [76] A. Makhdoumi, S. Salamatian, N. Fawaz, and M. Médard, “From the information bottleneck to the privacy funnel,” in *2014 IEEE Inf. Theory Workshop*, 2014, pp. 501–505, doi: 10.1109/ITW.2014.6970882.
- [77] L. Richardson and M. Amundsen, *RESTful Web APIs*. Sebastopol, CA, USA: O’Reilly Media, 2013.
- [78] Y. SarcheshmehPour, Y. Tian, L. Zhang, and A. Jung, “Clustered federated learning via generalized total variation minimization,” *IEEE Trans. Signal Process.*, vol. 71, pp. 4240–4256, 2023, doi: 10.1109/TSP.2023.3322848.
- [79] N. Cesa-Bianchi and G. Lugosi, *Prediction, Learning, and Games*. New York, NY, USA: Cambridge Univ. Press, 2006.
- [80] E. Hazan, “Introduction to online convex optimization,” *Found. Trends Optim.*, vol. 2, no. 3–4, pp. 157–325, Aug. 2016, doi: 10.1561/24000000013.
- [81] K. P. Murphy, *Machine Learning: A Probabilistic Perspective*. Cambridge, MA, USA: MIT Press, 2012.

- [82] C. Molnar, *Interpretable Machine Learning: A Guide for Making Black Box Models Explainable*, 3rd ed. Ebook, 2025, Accessed: August 1, 2025. [Online]. Available: <https://christophm.github.io/interpretable-ml-book/>
- [83] R. R. Selvaraju, M. Cogswell, A. Das, R. Vedantam, D. Parikh, and D. Batra, “Grad-CAM: Visual explanations from deep networks via gradient-based localization,” in *2017 IEEE Int. Conf. Comput. Vis.*, 2017, pp. 618–626, doi: 10.1109/ICCV.2017.74.
- [84] L. Zhang, G. Karakasidis, A. Odnoblyudova, L. Dogruel, Y. Tian, and A. Jung, “Explainable empirical risk minimization,” *Neural Comput. Appl.*, vol. 36, no. 8, pp. 3983–3996, Mar. 2024, doi: 10.1007/s00521-023-09269-3.
- [85] J. Colin, T. Fel, R. Cadène, and T. Serre, “What I cannot predict, I do not understand: A human-centered evaluation framework for explainability methods,” in *Adv. Neural Inf. Process. Syst.*, S. Koyejo, S. Mohamed, A. Agarwal, D. Belgrave, K. Cho, and A. Oh, Eds., vol. 35, 2022, pp. 2832–2845. [Online]. Available: https://proceedings.neurips.cc/paper_files/paper/2022/hash/13113e938f2957891c0c5e8df811dd01-Abstract-Conference.html
- [86] A. Jung and P. H. J. Nardelli, “An information-theoretic approach to personalized explainable machine learning,” *IEEE Signal Process. Lett.*, vol. 27, pp. 825–829, 2020, doi: 10.1109/LSP.2020.2993176.
- [87] J. Chen, L. Song, M. J. Wainwright, and M. I. Jordan, “Learning to explain: An information-theoretic perspective on model

- interpretation,” in *Proc. 35th Int. Conf. Mach. Learn.*, J. Dy and A. Krause, Eds., vol. 80, 2018, pp. 883–892. [Online]. Available: <https://proceedings.mlr.press/v80/chen18j.html>
- [88] J. Kleinberg and E. Tardos, *Algorithm Design*. Boston, MA, USA: Addison-Wesley, 2006.
- [89] V. I. Istrăţescu, *Fixed Point Theory: An Introduction*. Dordrecht, The Netherlands: D. Reidel, 1981.
- [90] F. Doshi-Velez and B. Kim, “Towards a rigorous science of interpretable machine learning,” arXiv preprint arXiv:1702.08608, Mar. 2017. [Online]. Available: <https://arxiv.org/abs/1702.08608>
- [91] P. Hase and M. Bansal, “Evaluating explainable AI: Which algorithmic explanations help users predict model behavior?” in *Proc. 58th Annu. Meeting Assoc. Comput. Linguistics*, D. Jurafsky, J. Chai, N. Schluter, and J. Tetreault, Eds., Jul. 2020, pp. 5540–5552. [Online]. Available: <https://aclanthology.org/2020.acl-main.491>
- [92] Z. C. Lipton, “The mythos of model interpretability: In machine learning, the concept of interpretability is both important and slippery,” *Queue*, vol. 16, no. 3, pp. 31–57, Jun. 2018, doi: 10.1145/3236386.3241340.
- [93] D. N. Gujarati and D. C. Porter, *Basic Econometrics*, 5th ed. New York, NY, USA: McGraw-Hill/Irwin, 2009.
- [94] Y. Dodge, Ed., *The Oxford Dictionary of Statistical Terms*. New York, NY, USA: Oxford Univ. Press, 2003.

- [95] B. S. Everitt, *The Cambridge Dictionary of Statistics*, 2nd ed. Cambridge, U.K.: Cambridge Univ. Press, 2002.
- [96] O. Chapelle, B. Schölkopf, and A. Zien, Eds., *Semi-Supervised Learning*. Cambridge, MA, USA: MIT Press, 2006.
- [97] G. Tel, *Introduction to Distributed Algorithms*, 2nd ed. Cambridge, U.K.: Cambridge Univ. Press, 2000.
- [98] D. P. Bertsekas and J. N. Tsitsiklis, *Parallel and Distributed Computation: Numerical Methods*. Belmont, MA, USA: Athena Scientific, 2015.
- [99] D. Sun, K.-C. Toh, and Y. Yuan, “Convex clustering: Model, theoretical guarantee and efficient algorithm,” *J. Mach. Learn. Res.*, vol. 22, no. 9, pp. 1–32, Jan. 2021. [Online]. Available: <http://jmlr.org/papers/v22/18-694.html>
- [100] K. Pelckmans, J. De Brabanter, J. A. K. Suykens, and B. De Moor, “Convex clustering shrinkage,” presented at the PASCAL Workshop Statist. Optim. Clustering Workshop, 2005.
- [101] S. Bubeck, “Convex optimization: Algorithms and complexity,” *Found. Trends Mach. Learn.*, vol. 8, no. 3–4, pp. 231–357, Nov. 2015, doi: 10.1561/22000000050.
- [102] D. P. Bertsekas, *Convex Optimization Algorithms*. Belmont, MA, USA: Athena Scientific, 2015.
- [103] S. M. Kay, *Fundamentals of Statistical Signal Processing: Estimation Theory*. Upper Saddle River, NJ, USA: Prentice-Hall, 1993.

- [104] N. Cristianini and J. Shawe-Taylor, *An Introduction to Support Vector Machines and Other Kernel-based Learning Methods*. New York, NY, USA: Cambridge Univ. Press, 2000.
- [105] T. Hastie, R. Tibshirani, and M. Wainwright, *Statistical Learning with Sparsity: The Lasso and Generalizations*. Boca Raton, FL, USA: CRC Press, 2015.
- [106] E. A. Bender, *An Introduction to Mathematical Modeling*. New York, NY, USA: Wiley, 1978.
- [107] E. Abbe, “Community detection and stochastic block models: Recent developments,” *J. Mach. Learn. Res.*, vol. 18, no. 177, pp. 1–86, Apr. 2018. [Online]. Available: <http://jmlr.org/papers/v18/16-480.html>
- [108] S. Shalev-Shwartz and A. Tewari, “Stochastic methods for ℓ_1 regularized loss minimization,” in *Proc. 26th Annu. Int. Conf. Mach. Learn.*, L. Bottou and M. Littman, Eds., Jun. 2009, pp. 929–936.
- [109] Q. Yang, Y. Liu, Y. Cheng, Y. Kang, T. Chen, and H. Yu, “Horizontal federated learning,” in *Federated Learning*. Cham, Switzerland: Springer Nature, 2020, ch. 4, pp. 49–67.
- [110] U. von Luxburg, “A tutorial on spectral clustering,” *Statist. Comput.*, vol. 17, no. 4, pp. 395–416, Dec. 2007, doi: 10.1007/s11222-007-9033-z.
- [111] A. Y. Ng, M. I. Jordan, and Y. Weiss, “On spectral clustering: Analysis and an algorithm,” in *Adv. Neural Inf. Process. Syst.*, T. Dietterich, S. Becker, and Z. Ghahramani, Eds., vol. 14, 2001, pp. 849–856.

- [Online]. Available: https://papers.nips.cc/paper_files/paper/2001/hash/801272ee79cfde7fa5960571fee36b9b-Abstract.html
- [112] P. L. Bartlett and S. Mendelson, “Rademacher and gaussian complexities: Risk bounds and structural results,” *J. Mach. Learn. Res.*, vol. 3, no. Nov., pp. 463–482, 2002. [Online]. Available: <https://www.jmlr.org/papers/v3/bartlett02a.html>
- [113] L. Condat, “A primal–dual splitting method for convex optimization involving lipschitzian, proximable and linear composite terms,” *J. Optim. Theory Appl.*, vol. 158, no. 2, pp. 460–479, Aug. 2013, doi: 10.1007/s10957-012-0245-9.
- [114] D. M. Blei, A. Y. Ng, and M. I. Jordan, “Latent dirichlet allocation,” *J. Mach. Learn. Res.*, vol. 3, pp. 993–1022, Jan. 2003.
- [115] A. Vaswani et al., “Attention is all you need,” in *Adv. Neural Inf. Process. Syst.*, I. Guyon, U. von Luxburg, S. Bengio, H. Wallach, R. Fergus, S. Vishwanathan, and R. Garnett, Eds., vol. 30, 2017, pp. 5998–6008. [Online]. Available: https://papers.nips.cc/paper_files/paper/2017/hash/3f5ee243547dee91fbd053c1c4a845aa-Abstract.html
- [116] L. Bottou, “On-line learning and stochastic approximations,” in *On-Line Learning in Neural Networks*, D. Saad, Ed. New York, NY, USA: Cambridge Univ. Press, 1999, ch. 2, pp. 9–42.
- [117] R. Motwani and P. Raghavan, *Randomized Algorithms*. Cambridge, U.K.: Cambridge Univ. Press, 1995.

- [118] R. G. Gallager, *Stochastic Processes: Theory for Applications*. New York, NY, USA: Cambridge Univ. Press, 2013.
- [119] A. Silberschatz, H. F. Korth, and S. Sudarshan, *Database System Concepts*, 7th ed. New York, NY, USA: McGraw-Hill Education, 2019.
- [120] S. Abiteboul, R. Hull, and V. Vianu, *Foundations of Databases*. Reading, MA, USA: Addison-Wesley, 1995.
- [121] S. Hoberman, *Data Modeling Made Simple: A Practical Guide for Business and IT Professionals*, 2nd ed. Basking Ridge, NJ, USA: Technics Publications, 2009.
- [122] R. Ramakrishnan and J. Gehrke, *Database Management Systems*, 3rd ed. New York, NY, USA: McGraw-Hill, 2002.
- [123] E. F. Codd, “A relational model of data for large shared data banks,” *Commun. ACM*, vol. 13, no. 6, pp. 377–387, Jun. 1970, doi: 10.1145/362384.362685.
- [124] T. Gebru et al., “Datasheets for datasets,” *Commun. ACM*, vol. 64, no. 12, pp. 86–92, Nov. 2021, doi: 10.1145/3458723.
- [125] D. A. Patterson and J. L. Hennessy, *Computer Organization and Design: The Hardware/Software Interface*, 5th ed. San Francisco, CA, USA: Morgan Kaufmann, 2013.
- [126] Y. SarcheshmehPour, Y. Tian, L. Zhang, and A. Jung, “Flow-based clustering and spectral clustering: A comparison,” in *2021 55th Asilomar*

- Conf. Signals, Syst., Comput.*, M. B. Matthews, Ed., 2021, pp. 1292–1296, doi: 10.1109/IEEECONF53345.2021.9723162.
- [127] D. P. Bertsekas, A. Nedic, and A. E. Ozdaglar, *Convex Analysis and Optimization*. Belmont, MA, USA: Athena Scientific, 2003.
 - [128] Q. Yang, Y. Liu, Y. Cheng, Y. Kang, T. Chen, and H. Yu, “Vertical federated learning,” in *Federated Learning*. Cham, Switzerland: Springer Nature, 2020, ch. 5, pp. 69–81.
 - [129] C. E. Rasmussen and C. K. I. Williams, *Gaussian Processes for Machine Learning*. Cambridge, MA, USA: MIT Press, 2006.
 - [130] L. Cohen, *Time-Frequency Analysis*. Upper Saddle River, NJ, USA: Prentice-Hall, 1995.
 - [131] J. Li, L. Han, X. Li, J. Zhu, B. Yuan, and Z. Gou, “An evaluation of deep neural network models for music classification using spectrograms,” *Multimedia Tools Appl.*, vol. 81, no. 4, pp. 4621–4647, Feb. 2022, doi: 10.1007/s11042-020-10465-9.
 - [132] B. Boashash, Ed., *Time Frequency Signal Analysis and Processing: A Comprehensive Reference*. Oxford, U.K.: Elsevier, 2003.
 - [133] S. Mallat, *A Wavelet Tour of Signal Processing: The Sparse Way*, 3rd ed. Burlington, MA, USA: Academic, 2009.
 - [134] A. Rakhlin, O. Shamir, and K. Sridharan, “Making gradient descent optimal for strongly convex stochastic optimization,” in *Proc. 29th Int.*

- Conf. Mach. Learn.*, J. Langford and J. Pineau, Eds., 2012, pp. 449–456.
[Online]. Available: <https://icml.cc/Conferences/2012/papers/261.pdf>
- [135] P. Bühlmann and S. van de Geer, *Statistics for High-Dimensional Data: Methods, Theory and Applications*. Berlin, Germany: Springer-Verlag, 2011.
- [136] A. Jung, “Networked exponential families for big data over networks,” *IEEE Access*, vol. 8, pp. 202 897–202 909, Nov. 2020, doi: 10.1109/ACCESS.2020.3033817.
- [137] H. P. Lopuhaä and P. J. Rousseeuw, “Breakdown points of affine equivariant estimators of multivariate location and covariance matrices,” *Ann. Statist.*, vol. 19, no. 1, pp. 229–248, Mar. 1991, doi: 10.1214/aos/1176347978.
- [138] H. B. McMahan, E. Moore, D. Ramage, S. Hampson, and B. A. y Arcas, “Communication-efficient learning of deep networks from decentralized data,” in *Proc. 20th Int. Conf. Artif. Intell. Statist.*, A. Singh and J. Zhu, Eds., vol. 54, 2017, pp. 1273–1282. [Online]. Available: <https://proceedings.mlr.press/v54/mcmahan17a.html>
- [139] T. Li, A. K. Sahu, M. Zaheer, M. Sanjabi, A. Talwalkar, and V. Smith, “Federated optimization in heterogeneous networks,” in *Proc. Mach. Learn. Syst.*, I. Dhillon, D. Papailiopoulos, and V. Sze, Eds., vol. 2, 2020. [Online]. Available: https://proceedings.mlsys.org/paper_files/paper/2020/hash/1f5fe83998a09396ebe6477d9475ba0c-Abstract.html

- [140] K. Abayomi, A. Gelman, and M. Levy, “Diagnostics for multivariate imputations,” *J. Roy. Statist. Soc.: Ser. C (Appl. Statist.)*, vol. 57, no. 3, pp. 273–291, Jun. 2008, doi: 10.1111/j.1467-9876.2007.00613.x.
- [141] J. H. Friedman, “Greedy function approximation: A gradient boosting machine,” *Ann. Statist.*, vol. 29, no. 5, pp. 1189–1232, Oct. 2001, doi: 10.1214/aos/1013203451.
- [142] D. P. Bertsekas, *Dynamic Programming and Optimal Control*, vol. 1, 4th ed. Belmont, MA, USA: Athena Scientific, 2017.
- [143] R. Bellman, *Dynamic Programming*. Princeton, NJ, USA: Princeton Univ. Press, 1957.
- [144] N. A. Lynch, *Distributed Algorithms*. San Francisco, CA, USA: Morgan Kaufmann, 1996.
- [145] S. H. Strogatz, *Nonlinear Dynamics and Chaos: With Applications to Physics, Biology, Chemistry, and Engineering*, 2nd ed. Boca Raton, FL, USA: CRC Press, 2015.
- [146] D. E. Comer, *The Cloud Computing Book: The Future of Computing Explained*. Boca Raton, FL, USA: CRC Press, 2021.
- [147] M. van Steen and A. S. Tanenbaum, *Distributed Systems*, 3rd ed. Ebook, 2017. [Online]. Available: <https://www.distributed-systems.net/index.php/books/ds3/>
- [148] D. E. Knuth, *The Art of Computer Programming*, vol. 1: *Fundamental Algorithms*, 3rd ed. Reading, MA, USA: Addison-Wesley, 1997.

- [149] A. S. Tanenbaum, *Modern Operating Systems*, 3rd ed. Upper Saddle River, NJ, USA: Prentice-Hall, 2008.
- [150] D. Pfau and A. Jung, “Engineering trustworthy AI: A developer guide for empirical risk minimization,” arXiv preprint arXiv:2410.19361, Nov. 2024. [Online]. Available: <https://arxiv.org/abs/2410.19361>
- [151] High-Level Expert Group on Artificial Intelligence, “The assessment list for trustworthy artificial intelligence (ALTAI): For self assessment,” European Commission, Jul. 17, 2020. [Online]. Available: <https://digital-strategy.ec.europa.eu/en/library/assessment-list-trustworthy-artificial-intelligence-altai-self-assessment>
- [152] High-Level Expert Group on Artificial Intelligence, “Ethics guidelines for trustworthy AI,” European Commission, Apr. 8, 2019. [Online]. Available: <https://digital-strategy.ec.europa.eu/en/library/ethics-guidelines-trustworthy-ai>
- [153] C. Gallese, “The AI Act proposal: A new right to technical interpretability?” *SSRN Electron. J.*, Feb. 2023. [Online]. Available: <https://ssrn.com/abstract=4398206>
- [154] M. Mitchell et al., “Model cards for model reporting,” in *Proc. Conf. Fairness, Accountability, Transparency*, 2019, pp. 220–229, doi: 10.1145/3287560.3287596.
- [155] K. Shahriari and M. Shahriari, “IEEE standard review — Ethically aligned design: A vision for prioritizing human wellbeing with artificial intelligence and autonomous systems,” in *2017 IEEE*

Canada Int. Humanitarian Technol. Conf., 2017, pp. 197–201, doi: 10.1109/IHTC.2017.8058187.

- [156] European Commission, “Proposal for a regulation of the European Parliament and of the Council laying down harmonised rules on artificial intelligence (Artificial Intelligence Act) and amending certain Union legislative acts,” COM/2021/206 final, Apr. 21, 2021, Accessed: December 16, 2025. [Online]. Available: <https://eur-lex.europa.eu/legal-content/EN/TXT/?uri=celex:52021PC0206>
- [157] European Parliament and Council of the European Union, “Regulation (EU) 2024/1689 of the European Parliament and of the Council of 13 June 2024 laying down harmonised rules on artificial intelligence and amending Regulations (EC) No 300/2008, (EU) No 167/2013, (EU) No 168/2013, (EU) 2018/858, (EU) 2018/1139 and (EU) 2019/2144 and Directives 2014/90/EU, (EU) 2016/797 and (EU) 2020/1828 (Artificial Intelligence Act) (Text with EEA relevance),” Official Journal of the European Union, L series, Jul. 12, 2024, Accessed: July 2025. [Online]. Available: <https://eur-lex.europa.eu/eli/reg/2024/1689/oj/eng>